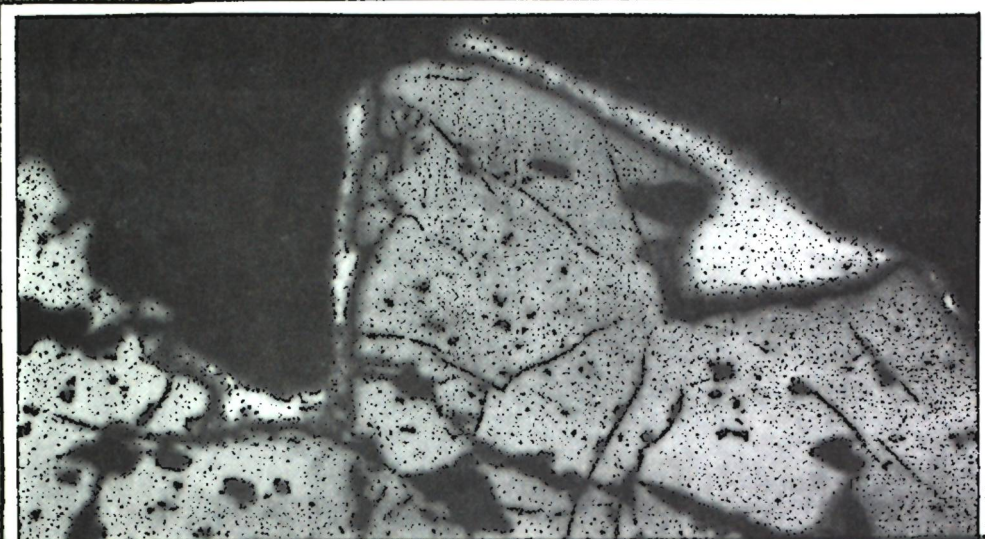


П - 59 | 3
340



МИНЕРАЛОГИЯ И ГЕОХИМИЯ РУДНЫХ МЕСТОРОЖДЕНИЙ СИБИРИ

АКАДЕМИЯ НАУК СССР
СИБИРСКОЕ ОТДЕЛЕНИЕ
Х ТРУДЫ ИНСТИТУТА ГЕОЛОГИИ И ГЕОФИЗИКИ
Выпуск 370

ВСЕСОЮЗНОЕ МИНЕРАЛОГИЧЕСКОЕ ОБЩЕСТВО
ЗАПИСКИ ЗАПАДНО-СИБИРСКОГО ОТДЕЛЕНИЯ
Выпуск 5

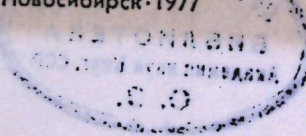
МИНЕРАЛОГИЯ
И ГЕОХИМИЯ
РУДНЫХ
МЕСТОРОЖДЕНИЙ
СИБИРИ

Ответственные редакторы
д-р геол.-мин. наук Ю. Г. Щербаков,
канд. геол.-мин. наук В. И. Сотников

НоуЧ32



ИЗДАТЕЛЬСТВО «НАУКА»
СИБИРСКОЕ ОТДЕЛЕНИЕ
Новосибирск·1977



УГРД.

ПРЕДИСЛОВИЕ

В сборнике приводятся новые данные по минералогии и геохимии медно-молибденовых, ртутных, железорудных, редкometальных и других месторождений Сибири. Значительное место отводится геохимии золота в эндогенных и экзогенных процессах. Приводятся результаты детального анализа ряда минералов с использованием современных методов исследования.

Работа представляет интерес для минералогов, геохимиков и специалистов в области эндогенного и экзогенного рудообразования.

РЕДАКЦИОННАЯ КОЛЛЕГИЯ

Академик В. С. Соболев (главный редактор), д-р геол.-мин. наук Н. И. Амшинский (зам. главного редактора), канд. геол.-мин. наук А. В. Ван, канд. геол.-мин. наук Н. С. Варташова, д-р геол.-мин. наук А. А. Годовиков, канд. геол.-мин. наук В. И. Довгаль, д-р геол.-мин. наук Ю. А. Долгов, канд. геол.-мин. наук Ю. В. Индукаев, д-р геол.-мин. наук Ю. П. Казанский, канд. геол.-мин. наук В. Г. Корель, канд. геол.-мин. наук Н. В. Марич, С. В. Ростовцев, канд. геол.-мин. наук В. И. Сотников, д-р геол.-мин. наук Ю. Г. Щербаков, канд. геол.-мин. наук А. И. Чепуров (отв. секретарь).

В геологической науке последнего времени расширяется круг проблем, решаемых с привлечением новых прецизионных методов анализа состава и строения пород и минералов. Кроме минералого-геохимических все более используются точные методы исследования вещества для реконструкции условий образования рудных месторождений и совершенствования теоретической основы их поисков и оценки. Именно такую цель преследуют авторы данного сборника. В книге рассматриваются главным образом те аспекты минералогии и геохимии рудных месторождений, которые способствуют пониманию закономерностей их размещения в пределах пород того или иного состава и прежде всего путем выявления связей с ними как с источниками концентрируемых в рудах металлов. Во многих случаях объектами детальных геохимических исследований служат как неизмененные вмещающие и подстилающие рудные поля, магматические и осадочные породы, так и продукты их гидротермального метаморфизма.

Систематическое прослеживание судьбы элементов в геологических событиях, предшествующих и сопутствующих рудообразованию, позволяет по-новому, на количественной основе подходить к выявлению многообразных способов заимствования рудного вещества и условий его концентрации. Сочетание детальных исследований отдельных минералов и их парагенетических ассоциаций с широкими обобщениями региональной геохимии создает научный потенциал для совершенствования, а иногда и для пересмотра принципов теории рудообразования, методов поисков и оценки месторождений. Сказанное позволяет надеяться, что сборник будет с интересом воспринят исследователями, занимающимися изучением и поисками рудных месторождений.

Д-р геол.-мин. наук Ю. Г. Щербаков

17.90432

М 20805-808 238-77
055(02)-77



©Издательство «Наука», 1977.

СИСТЕМАТИКА МЕСТОРОЖДЕНИЙ ЗОЛОТА

Многообразие состава руд, структур и геологической позиции золоторудных месторождений, различие их масштабов, перспективности и условий отработки давно вызывают у исследователей желание выявить главный критерий их отличия и служат причиной разработки многочисленных вариантов систематики. Основными классификационными признаками эндогенных золоторудных месторождений с прошлого столетия считаются генезис, глубина формирования, температура минералообразования, структура и морфология рудных тел, их геохимический состав, минеральные парагенезисы, околоврудные изменения, связь с магматизмом и некоторые другие. Н. В. Петровская (1973), например, обосновывает диагностическое значение кварц-сульфидного отношения, или критерия сульфидности в рудах.

Не умалая роли названных признаков, мы считаем, что ни один из них не может быть использован в качестве классификационного и тем более универсального. Целесообразно воспользоваться систематикой месторождений по формационному принципу. Под рудной формацией при этом мы вслед за С. С. Смирновым (1947), Е. А. Радкевич (1966) и В. А. Кузнецовым (1972) понимаем совокупность месторождений, основные черты химико-минералогического состава которых устойчивы в сходных геологических условиях. Преимущество такого типа систематики в том, что ею можно охватить все генетически разнородные концентрации золота, которые в классификациях, основанных на одном, двух или нескольких фиксированных признаках, обычно своего места не находят. Вместе с тем в природе они существуют, обладают выраженной геологической индивидуальностью, из них извлекается либо может извлекаться золото (например, из скарнов, метасоматических кварцитов, древних конгломератов, медно-молибденовых месторождений и т. д.).

Другое достоинство формационного принципа систематики рудных месторождений — лаконичность определений выделяемых формаций. Некоторая неоднородность их наименований, вызванная попеременным привлечением названий элементов, минералов, их классов, околоврудных пород и иных признаков означает, что они по существу представляют собой всего лишь понятные геологам символы, на основании которых каждая формация может быть достаточно подробно охарактеризована по всем названным и другим, имеющим хоть сколько-нибудь диагностическое значение параметрам. Обзору и краткой характеристике золотоносных рудных формаций и посвящено настоящее сообщение. В числе выделяемых национальных формаций 11 можно считать собственно золоторудными, а 5 — золотосодержащими. И среди них нет ни одной ранее по фигурировавшей в иных классификациях под таким же или сходным названием.

Особенность предлагаемой систематики в группировке формаций по преимущественной их принадлежности к определенным типам земной коры, отвечающим последовательным уровням ее развития и поэтому заключающимся в своей геохимической специализацией. Последняя дана в соответствии с ранее аргументированными подразделениями элементов по тенденции их радиального распределения в Земле на центростремительные (Ц_1), минимально-центробежные (Ц_2), дефицитно-центробежные (Ц_3) и центробежные (Ц_4) (Щербаков, 1971). Максимально-центробежные элементы, концентрация которых достигает максимума в атмо-, гидро- и биосфере, в данном случае не рассматриваются, поскольку в рудах их накопления не происходит (см. таблицу).

Для каждого основного типа земной коры приведены главные комплексы пород-носителей и источников золота в процессах рудообразования с присущим для них средним его содержанием. Помимо перечисленных данных сопоставлены золото-серебряные отношения в рудах и золотоматеринских комплексах пород, а также ассоциации элементов, концентрирующихся с золотом в различных по уровню развития и геохимической специализации провинциях. В качестве одной из ведущих причин отличия месторождений и формаций выделена их принадлежность к определенным фрагментам термофлюидных систем (см. таблицу).

Хромит-платиновая формація золотоносных руд представлена обыкновенно мелкими месторождениями магматических сульфидных вкраепленников и хромитовых шлиров в дифференцированных гипербазитах. Проявлена формация на Урале, в Восточной Африке, Алтае-Саянской складчатой области. Характерна вкраепленность золота в оливинах. Некоторая часть благородных металлов передко перераспределена и сконцентрирована метасоматически. Значительные масштабы месторождений не известны.

Золото-листенитовая формація, как и предыдущая, связана с гипербазитами — наиболее тугоплавким продуктом расщепления глубинного земного вещества. Возникновение месторождений этой формации обязано гидротермальному перераспределению золота и других халькофилов из числа центростремительных элементов при воздействии на гипербазиты горячих растворов разного происхождения и возраста. Месторождения этой формации, обыкновенно представленные зонами вкраепленно-штокверковой минерализации в массивах ультраосновных пород, расположены вдоль протяженных, доложивших глубинных разломов. Эти же разломы в породах иного состава контролируют золотое оруденение других типов. При листенитизации гипербазитов под воздействием растворов, связанных с кислыми и щелочными магмами, спектр выщелоченных из ультраосновных пород и сконцентрированных в рудах центростремительных элементов пополняется центробежными элементами, первоначальное содержание которых в гипербазитах очень мало. Подобного рода гидротермальный гибридизм проявлен концентрацией Ba , Te , B и других в Зодском рудном поле, приуроченном к гипербазитам офиолитового пояса Армении.

Медно-колчедановая формація с золотом проявлена исключительно в вулканогенных толщах базитового состава. Главным ее поисковым признаком в обширных полях вулканитов служат участки интенсивных гидротермальных изменений, выраженных хлоритизацией, альбитизацией, эпидотизацией, окварцеванием и осветлением пород, их дорудной пиритизацией. Представляя в основной своей массе зоны выщелачивания и выноса железа, меди, цинка и золота из петрогенных силикатов и акцессорного магнетита, предрудные поля метасоматитов характеризуются общим понижением магнитности, слабыми и локальными отрицательными аномалиями силы тяжести, связанными с понижением плотности гидротермально измененных пород и повышением электропроводности. Геохимические аномалии представлены центростремительными (Cu , Co , Ni) и минимально-центробежными элементами (Zn , P , Ti , V , Mn). Благодаря значительным масштабам оруденения добыча золота при невысоком его содержании рентабельна при разработке попутно с медью. Наиболее изучены месторождения этих формаций на Восточном Урале и в Рудном Алтае. Существенная особенность состава руд заключается в близости количественных отношений Zn/Pb , V/Fe , Mn/Fe , Co/Ni .

Геохимические провинции и главные эндогенные

Тип поры	Группа элементов в рудах	Геохимическая специализация	Главные носители и источники золота (средние содержания, мг/т)	Рудная формация	Фрагменты термофлюидных систем	Структурно-формационные зоны складчатых областей, в том числе древних		
						Группа элементов в рудах	Геохимическая специализация	Главные носители и источники золота (средние содержания, мг/т)
Зоны тектономагматической активизации и посторогенетического магманизма	Силикатных областей	Ц ₁	Гипербазиты (5–10)	Хромит-платиноидная, золото-листвещитовая	Корневые			
			Базальтоиды (3–7)	Медно-колчеданная	Корневые	10	5–15	Pt, Os, Ir, Ni, Co, Cr
			Гранитоиды (2–5)	Золото-сульфидно-кварцевая	»	25	10–15	Fe, Cu, Zn
			Их контактовые ореолы (5–10)	Золото-сульфидно-скарионая	Корневые, стволовые	40	0,5–60	»
			Гетерогенные железистые породы (5–15)	Золото-окисно-железистая	Корневая	20	0,5–1,0	»
	Вулканогенно-осадочные и осадочно-существоны с калиевыми гранитоидами	Ц ₁₊₂	Граувакки и эффузивные разновидности (2–4)	Колчеданно-полиметаллическая	Корневые, стволовые	20–50	10–100	Pb, Zn, Cu, Ag, Ba, Bi, Te, Se
			Углеродистые черные сланцы (2–50)	Золото-кварцитовая	Стволовые, апикальные	50–100	0,5–3	Fe, As
			Граниты и их контактовые ореолы (3–10)	Золото-кварц-сульфидная (вкрапленно- прожилковая)	Корневая			As, Sb, Hg, W, B, Mo
				Золото-кварцевая (жильная)	Стволовые			U, Zr, Ti, Os, Ir, Cr
			Конгломераты (10–100)	Древних золотоносных конгломератов (последняя)	Корневые			
	Платформ и щитов	Ц ₁₊₃₊₄ (халькофиль)	Анделиты, дациты, липариты, щелочные базальтоиды (2–7)	Золото-серебряная	Стволовые, апикальные	50	30–200	Ag, Te, Mn, Sb, Hg, Sn, Mo, Pb, Zn, Ca, Co
			Глинистые сланцы (2–10)	Медно-молибденовая	То же	20	10–40	Cu, Mo
			Метаморфические сланцы, граниты (2–4)	Золото-кварц-халцедоновая (бонаницевая, близповерхностная)	Апикальные			Fe, Ag, F, Hg, Pb, Sb
			Малые интрузии (2–4)	Золото-сульфидная (в карбоатных породах)	»	20–40	0,5–50	Fe, As, Te, Se, Bi, Pb
	Ц _{1–2}	Ц _{1–2}	Базальтоиды (2–7)			25	10–100	Cu, Ni, Co, Pt, Pb
			Трапы (10–100)	Медно-никелевая	Корневые			

и других геохимически родственных металлов в рудовмещающих толщах, что наряду с перераспределением при гидротермальном метаморфизме приводит к выводу об их местном источнике. Золотоносные кварцевые жилы среди вкрапленных медно-колчеданных руд, всегда более поздние, малочисленные, бедные, невелики и редко представляют самостоятельный промышленный интерес.

Золото-сульфидо-кварцевая рудная формация, пожалуй наиболее классическая и лучше изученная, про-прежнему вызывает дискуссии по поводу источника золота в кварцевых жилах. Месторождения этой формации распределены в силикатных породах разного типа и возраста преимущественно повышенной основности, нередко вне видимой связи с интрузиями, а если в гранитоидах, то главным обра-

золоторудные и золотосодержащие формации

Ag/Au в породах	Элементы, концентрирующиеся в рудах	Минеральный тип	Примеры месторождений
		в рудах	
10	5–15	Pt, Os, Ir, Ni, Co, Cr	Золоторудный, золотосульфидный
25	10–15	Fe, Cu, Zn	Сибайское, Бляминское, Урупское
40	0,5–60	»	Поркупай, Коммунар, Стеник
20	0,5–1,0	»	Синюхинское, Натальевское
			Карийское
20–50	10–100	Pb, Zn, Cu, Ag, Ba, Bi, Te, Se	Копиа, Урское, Салайрское, Зменинское
50–100	0,5–3	Fe, As	Мурунтау
		As, Sb, Hg, W, B, Mo	Советское, Бендиго, Колар
		U, Zr, Ti, Os, Ir, Cr	Витватерсранд, Жакобица, Блайнд Ривер
50	30–200	Ag, Te, Mn, Sb, Hg, Sn, Mo, Pb, Zn, Ca, Co	Сакэрымб, Бая Сирия, Тонопа, Комсток, Пачука, Карамекен
20	10–40	Cu, Mo	Каджаранско
		Fe, Ag, F, Hg, Pb, Sb	Балейское
20–40	0,5–50	Fe, As, Te, Se, Bi, Pb	Лебединское, Ольховское
25	10–100	Cu, Ni, Co, Pt, Pb	Норильское, Седбери, Ивисизва

зом кальций-натровых. В рудах формации концентрируется крайне ограниченный спектр халькофильных элементов только из числа Ц_{1–2}. Их соотношения близки к базальтоидным. Следовательно, первоисточники золота основных пород, отличающихся, как известно, несколько повышенным (3–7 мг/т) его средним содержанием, в месторождениях тождественны.

Для формации характерны месторождения жильного типа. В корневых частях жильных систем значительно возрастают объемы предрудно-метасоматических измененных боковых пород, из которых вынесена большая часть золота, о чем можно судить, сопоставляя рудные поля, по-разному вскрытые эрозией и горными работами. В корневых частях жилы малочисленней и бедней, чем на верхних горизонтах. По восстанию жиль-

ных систем среднее содержание в них золота с учетом неравномерности его столбового распределения возрастает, а объем предрудно измененных пород с пониженным содержанием благородного металла сокращается. Изменение объема окологильных и рудных образований отражено на крупномасштабных магнито- и гравиметрических картах и указывает зоны растворения золотоносного акцессорного магнетита. Гидротермальный процесс, стимулировавший вынос и перераспределение, подчас неоднократное, и рудную концентрацию золота, связан с пульсационно затухающей магматической деятельностью гранитоидных plutонов либо с региональным метаморфизмом.

В последнем случае масштабы месторождений, если судить по материковой жиле в Калифорнии, могут быть особенно значительными. Вертикальный размах промышленного оруденения определяется устойчивостью на глубину трещинных структур и термостатированных интервалов ($250-150^{\circ}\text{C}$). Их протяженность, судя по рудному полю Колар в Индии, значительно вскрытое эрозией, может превышать 5–6 км. Подразделение месторождений на типы разной глубинности, основанное на материале по месторождениям главным образом золото-сульфидно-кварцевой формации, видимо, чаще отражает не принципиальные различия условий рудообразования, а лишь разный уровень от поверхности вскрытых рудных полей. Не случайно, что к глубинным отнесены наиболее древние, а к близповерхностным — молодые рудные поля.

Золото-сульфидно-скариловая формация характеризуется четко выраженным наложением вкраепленно-штокверкового кварцево-сульфидного оруденения на гидротермально дорудно измененные скары различного состава. Такое наложение не случайно. Оно происходит исключительно в приконтактовой части палингенных гранитоидных массивов, залегающих и возникающих внутри и за счет вулканогенно-осадочных пород с более высоким содержанием золота, чем в гранитоидах при их кристаллизации (1–2 мг/т). Избыточное золото совместно с такими избыточными против гранитоидной эвтектики железом обособляется отмагмы, видимо, при ее возникновении и отлагается вокруг массивов в слабо золотоносных (5–10 мг/т) высокотемпературных ореолах магнетитовых импренций и скариах. При наложении на них гидротермального ($250-150^{\circ}\text{C}$) метаморфизма золото перераспределяется с образованием зон истощения и зон повышенных концентраций. Последние часто отличаются сложной морфологией и высоким двух-, трехзначным средним содержанием золота, прослеживающимися на значительную глубину. В крупных скариевых провинциях формация может представить значительный промышленный интерес, ранее явно не дооценивавшийся.

Золото-окисно-железистая формация относится пока к числу наименее изученных. Ее особенность заключается в развитии среди высокожелезистых отложений, главным образом осадочных или вулканогенно-осадочных. Ассоциация видимого самородного золота с гематитом или магнетитом имеет эпигенетический характер. Повторяемость подобного рода почти полностью бессульфидных золото-окисно-железистых ассоциаций преимущественно в докембрийских комплексах Бразилии, Австралии, Казахстана и Восточного Забайкалья довольно устойчива и нуждается в специальных исследованиях.

Общий признак колчеданно-полиметаллической формации — весьма сложный состав руд, в котором основная роль принадлежит помимо пирита галениту, сфалериту, халькопириту, а также бариту, теллуридам, сульфидам серебра, висмута, ртути и в меньшей мере другим минералам, образующим метасоматические вкраепленные и сливные залежи в вулканогенно-осадочных толщах. В отличие от медно-колчеданной формации месторождения колчеданно-полиметаллической развиваются в более дифференцированных и сложных по составу комплексах пород, в которых заметная роль принадлежит кислым эфузивам

и несчано-сланцевым отложениям с более высоким средним содержанием центробежных элементов. Это отражено в составе руд, наследующих их количественное соотношение. Содержание золота в месторождениях обычно невелико, но всегда представляет интерес для попутной добычи. Во многих крупных рудных телах повышенное содержание золота приурочено к их апикальным участкам и к поздним минеральным генерациям. Поисковыми признаками рудных полей считаются обширные зоны околоврудных метасоматитов, осложняющие конфигурацию физических полей и многоэлементные вторичные ореолы.

Геологическая позиция золото-кварцитовой формации и близка к колчеданно-полиметаллической. Ее самостоятельное выделение оправдано распространностью обширных полей золотоносных метасоматических кварцитов в вулканогенных и карбонатных комплексах пород не только в связи с полиметаллическими рудами, но и независимо от них. Золотоносные кварциты возникают как остаточные, реже перемещенные продукты гидротермально-метасоматического разделения петротермальных компонентов вулканогенных пород. Золото в них связано с завершающей и потому наложенной на кварциты стадией минерализации. Состав оруденения подчинен составу подвергнутых окварцеванию образований. С увеличением их кислотности и дифференцированности возрастает сопутствующая золоту концентрация центробежных элементов свинца, бария, серебра, теллура и других, как это прослеживается на месторождениях Салаира и Рудного Алтая.

Золото-кварц-сульфидная формация вкраепленно- прожилковых руд в черных сланцах характеризуется сравнительно низким, но устойчивым средним содержанием золота. Особенностью формации представляется развитие ее в осадочных или частично метасоматических углеродистых породах с повышенным местным содержанием золота (10–100 мг/т) и относительно небольшое его перераспределение при гидротермальном метаморфизме, проявляющееся на обширных площадях и часто на значительном удалении от интрузий. Месторождения формации отвечают кориевым зонам гидротермально-метаморфических систем, что фиксируется возникновением сульфидных и кварцевых прожилков. Наряду с преобладающим пиритом в рудах повышены концентрации мышьяка, иногда сурьмы, урана и других центробежных, но химически довольно активных элементов из числа накапливающихся сингенетически в углеродистых сланцах. Формация широко проявлена в докембрийском многоеосинклинальном обрамлении Сибирской платформы, в палеозойских отложениях Средней Азии и мезозойских — Северо-Востока СССР.

Золото-кварцевая жильная формация отвечает в основных чертах выделаемой Н. В. Петровской (1973) малосульфидной формации, развитой в многоеосинклинальных областях. Представляя главную стволовую зону гидротермальных систем, термостатированных на значительную глубину, месторождения формации беднее сульфидами и особенно пиритом, чем их аналоги в более железистой обстановке эвгено-синклиналей, отнесенные нами к золото-сульфидно-кварцевой формации. Наличие переходных или промежуточных типов, на наш взгляд, обусловлено долей участия в рудогенерирующем и вмещающем жилы разрезе глинисто-сланцевых, базальтических либо карбонатных пород. Их состав определяет общее количество сульфидов в рудах, спектр концентрирующихся с золотом элементов и в конечном счете минеральные типы. О промышленном значении формации можно судить по месторождениям Сибири и района Белдиго в Австралии. Среднее содержание золота в рудах закономерно и значительно выше, чем в месторождениях золото-кварц-сульфидной вкраепленно-прожилковой при более неравномерном, столбовом их распределении и, пожалуй, меньших запасах.

Формация золотоносных конгломератов представлена одним крупнейшим промышленным месторождением Витватерсраид в Южной Африке. Сходные по минерало-петрографическим и геохимическим признакам поля Бразилии, Канады и Курской магнитной аномалии по богатству и масштабам оруденения с ними не сопоставимы. Уникальность Витватерсраида и формации, как представляется, связана с многоэтапностью ее развития при исключительно благоприятных условиях проявления каждого последовательного процесса концентрации золота — первоначально в кварцево-жильных полях древнейшего этапа рудообразования, затем в древней коре выветривания и питающихся в ней россыпях и, наконец, при регионально-гидротермальном метаморфизме золотоносных отложений. Данные по этому гигантскому рудному полю убеждают в том, что, чем крупнее и интенсивнее последовательные процессы концентрации элемента, тем уникальнее их сочетание.

Золото-серебряная формация известна по близповерхностным месторождениям, возникающим в посторогенном этапе или при тектоно-магматической активизации в связи с вулканизмом, развитым на коре континентального или переходного типа. Для рудных провинций характерно понижение мощности коры, сопровождающееся увеличением щелочности магматических процессов. В рудах при этом возрастает роль дефицитно-центробежных элементов (Ag, Te, Se, Hg) наряду с резким смещением их количественных соотношений сравнительно с главными типами магматических и осадочных пород (в пользу относительно более центробежных и дефицитно-центробежных). Так, с увеличением серебро-золотого отношения возрастают кобальт-никелевое, молибденомедное, свинцово-цинковое, уран-ториевое, калий-натриевое и др. Объясняется это увеличением вертикального интервала эндогенного предрудного фракционирования элементов с удалением на глубину источников рудного вещества, каковыми в данном случае нам представляются области глубинной базификации и эклогитизации корней континентальной коры. Подобный механизм понижения мощности коры не только за счет ее эрозии, но, главное, за счет вздыmania поверхности М и К объясняет вынос наряду с химически наиболее активными центростремительными золотом, кобальтом, марганцем, в первую очередь не накапливающихся в базальтоидах, транзитных для основных пород дефицитно-центробежных элементов: ртути, молибдена, теллура, селена и др. Таким образом, в уровне геохимической эволюции коры, понижении ее мощности, щелочном вулканизме и возникновении характернейшей для названных условий золото-серебряной формации прослеживаются черты сходства рудных провинций тихоокеанского вулканического кольца и Трансильвании.

Медно-молибденовая формация, не являясь в общепринятом смысле собственно золоторудной, как показывают данные по Забайкалью, Монголии, Болгарии, несет и заслуживающую внимания золотоносность. Месторождения формации образуют вкраепленно-штокверковые мощные зоны в участках брекчирования куполов и краевых частей гранитоидных, граносиенитовых интрузий повышенной щелочности. Связь формации с глубоко дифференцированными магматическими комплексами, сходными с только что описанными и характерными для участков тектонической активации консолидированных блоков, позволяет допустить близкие условия рудообразования.

Золото-кварц-халцедоновая формация молодых бонанцевых близповерхностных месторождений отличается, пожалуй, наибольшим богатством руд, но вместе с тем и наиболее выраженной неравномерностью распределения благородного металла. Размещаясь, как правило, в древних гранитоидных и метаморфических комплексах и проникая в перекрывающие их вулканогенно-осадочные отложения юных тектонических депрессий, месторождения Балейско-Тасеевского типа в

Забайкалье и Криппл-Крик в штате Колорадо США отличаются огромной экономической ценностью, хотя и не всегда прослеживаются на значительную глубину. Они также часто приурочены к породам с повышенной дорудной золотоносностью и железистостью, что позволяет использовать при их поисках геофизические методы. В отличие от золото-серебряной формации, судя по более близким к кларковым соотношениям рудных элементов, а также другим геологическим признакам, эти месторождения имеют менее глубинный источник рудного вещества и, возможно, потому менее благонадежны и на глубину, что, впрочем, нуждается в серьезной проверке.

Золото-сульфидная формация в карбонатных, иногда песчано-сланцевых с карбонатами породах также связана с зонами тектоно-магматической активизации платформ и щитов. Месторождения характеризуются нередко высокой продуктивностью руд, обусловленной нейтрализующим воздействием карбонатов на кислые железо- и золотоносные растворы, что влечет за собой развитие сульфидных тел и гнезд на контактах с известняками или доломитами.

Медно-никелевая формация, связанная с траппами платформ, отличается постоянной и нередко высокой примесью золота и других благородных металлов, более существенной, чем в габбро-гипербазитовых комплексах ранних стадий развития геосинклиналей. Отвечает это, по-видимому, оптимальным условиям магматической и затем метасоматической дифференциаций материала в субвулканизме, которому, возможно, способствует существенное заимствование сульфатной серы в подстилающих траппах осадочных толщах. Все многообразие собственно золоторудных и других золотоносных формаций закономерно подчинено общей геохимической эволюции земной коры и происходящим в ней процессам метаморфической, магматической и гидротермальной дифференциации вещества. При развитии коры и увеличении ее мощности состав золотоносных формаций изменяется в сторону расширения спектра концентрирующихся в них элементов все более центробежных, а при посторогенном сокращении мощности коры и ее тектоно-магматической активизации — в сторону все большего накопления элементов дефицитно-центробежных (Ag, Sn, Te, Se, Hg, Mo).

В фациальном отношении по мере развития термофлюидных систем различной глубины заложения и разного генезиса с переходом от корневых зон к стволовым и аникальным бедные большеобъемные вкраепленно-сульфидные и вкраепленно- прожилковые рудные формации метаморфических комплексов сменяются кварцево-жильными и затем близповерхностными жильно-штокверковыми-бонанцевыми наиболее локальными, но максимально богатыми концентрированными рудами (см. таблицу).

Отмеченные закономерности должны быть использованы для прогнозной оценки рудных формаций в последовательных уровнях развития участков земной коры и для выбора рациональных принципов и методов поисков и разведки месторождений, которые в силу возникновения на разных стадиях термофлюидных систем характеризуются существенно отличающимися масштабами, структурно-морфологическими типами, богатством руд и распределением в них золота.

ЛИТЕРАТУРА

Кузнецов В. А. Рудные формации. — «Геол. и геофиз.», 1972, № 6, с. 3—14.

Петровская И. В. Самородное золото. М., «Наука», 1973. 347 с.

Радкевич Е. А. К вопросу о классификации постмагматических месторождений и принципах выделения рудных формаций. — В кн.: Эндогенные рудные формации Сибири и Дальнего Востока. М., «Наука», 1966, с. 31—40.

Смирнов С. С. О современном состоянии теории образования магматогенных рудных месторождений.—«Записки Минералог. об-ва», 1947, серия 2, ч. 76, вып. 1, с. 23—36.

Щербаков Ю. Г. Геохимические условия размещения эндогенных месторождений.—В кн.: Основные проблемы металлогенеза Тянь-Шаня. Фрузин, «ИЛИМ», 1971, с. 49—55.

Н. В. РОСЛЯКОВА, Н. Е. РАДОСТЕВА, Л. Н. ПОСПЕЛОВА,
А. Д. КИРЕЕВ, Л. Д. ШИПИЛОВ

ЗОЛОТО-СЕРЕБРЯНАЯ МИНЕРАЛИЗАЦИЯ В НИЖНЕПАЛЕОЗОЙСКОМ КОМПЛЕКСЕ КУЗНЕЦКОГО АЛАТАУ

Как известно, месторождения золото-серебряной формации наиболее широко развиты в мезо-кайнозойских вулканогенных поясах. В средне-верхнепалеозойских породах локализуются, например, золото-серебряные месторождения Узбекистана (Рудные формации..., 1969). Менее всего известны месторождения рассматриваемой формации, залегающие в еще более древних породах. К их числу относится изученное нами месторождение Кузнецкого Алатау. Оно приурочено к диоритовым порфиритам и диоритам эндоконтактовой части Дудетского массива ордовик-силурийского гранитоидного мартайгинского комплекса. В пределах месторождения развиты дайки аплитового, сиенит-аплитового и диабазового состава, а к югу от него выходят девонские граносиениты.

Рудные тела представлены круто падающими жилами умеренной мощности и протяженности, развивающимися преимущественно вдоль контактов диоритов с диоритовыми порфиритами. Жилы сложены главным образом кварцем и в небольшом количестве кальцитом. Рудные минералы в жилах распределены очень неравномерно. В одних участках их практически нет, в других (значительно реже) они составляют до 15% и более, образуя гнезда.

Для изучения минерального состава руд использовались рентгеноспектральный и микроспектральный анализы.

Рентгеноспектральный анализ выполнялся на рентгеновском микронализаторе MS-46 производства фирмы «Камека». Использовались наиболее интенсивные $\text{K}\alpha$ - $\text{L}\alpha$ - и $\text{M}\alpha$ -аналитические линии определяемых элементов. Ускоряющее напряжение при определении всех элементов составляло 15 кВ, а для железа и меди — 20 кВ. В качестве эталонов использовались: на золото — сплав Au (750) — Ag (250) и чистое золото; на серебро — Ag_3AsS_3 и чистое серебро; на серу, сурьму и мышьяк — Sb_2S_3 и Ag_3AsS_3 ; на свинец — PbS ; на медь и железо — CuFeS_2 ; на висмут — Bi_2S_3 ; на селен — Bi_2Se_3 ; на олово и теллур — чистые металлы.

Измеренное отношение интенсивности исправлялось на поглощение рентгеновского излучения в образце по методу Филибера, на влияние атомного номера — по Данкамбу — Риду и на флюоресценцию от характеристического спектра — по Риду. Использовались массовые коэффициенты поглощения из таблиц Хейнриха. Поправки вычислялись методом последовательных приближений на ЭВМ БЭСМ-6 по специальной программе. Следует отметить нестабильное поведение под зондом серебро-содержащих минералов и в связи с этим сложность установления их состава.

Микроспектральный анализ выполнялся на лазерном микроспектронализаторе при работе лазера в режиме свободной генерации (Ариаутов,

Киреев, 1971). Диаметр кратера испарения составляет около 150 мкм, глубина поражения галенита 320, пирита — 300, сфалерита — 180 мкм. Фотоматериал: высокочувствительная аэрофотопленка тип 15-800. Среднее относительное стандартное отклонение повторных определений составляет 15—25%. В связи с тем, что анализу подвергались зерна очень малых размеров, результаты чаще оказывались лишь качественными.

Проведенные исследования позволили наряду с обычными для золоторудных месторождений района минералами, такими, как пирит, арсенопирит, пирротин, халькопирит, сфалерит, галенит и т. п., установить и специфические минералы: гессит, алтант, фрейбергит, биннит, теллурсодержащий кан菲尔дит и другие (табл. 1). Замеры температуры гомогенизации включений в жильных кварцах показывают, что температурный интервал формирования золото-сереброрудных тел 500—60°C.

По наблюдениям взаимоотношений минеральных ассоциаций в подземных горных выработках установлено три стадии минералообразования. В первую отложилась большая часть жильного кварца, пирит, шеелит, в меньшем количестве пирротин, арсенопирит и халькопирит. Здесь отмечены реликты вмещающей породы — ильменит и лейкоксен, темпе-

Минеральный состав и схема последовательности образования минералов месторождения

Минерал	Стадия минерализации		
	ранняя, 400—300 °C	продуктивная, 250—120 °C	пострудная, менее 100 °C
Кварц			
Ильменит			
Шеелит	—		
Пирит	—	—	—
Арсенопирит		—	—
Пирротин		—	
Халькопирит	—	—	—
Карбонат	—		—
Сфалерит			—
Галенит			—
Фрейбергит			—
Биннит (?)			—
Буланжерит			—
Джемсонит			—
Пираргирит			—
Алтант			—
Гессит			—
Аргентит			—
Электрум			—
Серебро самородное			—
Арамайоит			—
Бенжаминит (?)			—
Теллур самородный (?)			—
Теллурсодержащий кан菲尔дит			—
Теллурсодержащие сульфоантимониты серебра			—

Таблица 2

Результаты нейтронно-активационного анализа на золото в мономинералах

Минерал	Стадия	Содержание золота, усл. ед.
Кварц	Ранняя	16,40
	Продуктивная	40,25
Шеелит	Ранняя	Не обн.
	»	9,08
Пирит	»	539,00
	»	287,70
	»	51 937
	»	65 076
Галенит	»	38 440
	»	5 869
	»	1 845
Сфалерит	»	14 371
	»	1 262

Примечание. Аналитик Р. Д. Мельникова.

ратура гомогенизации вакуолей в кварце около которых наиболее высокая — 500—400°C. С удалением от последних она понижается до 350—300°C. Следующая стадия среднетемпературная, продуктивная. Наряду с пиритом, арсенопиритом, пирротином, для нее характерны сфалерит, галенит, буланикерт, джемсонит, теллуриды, электрум и др. Температура гомогенизации микровключений в кварце 250—200°C, а около выделений галенита с золотом, серебром и серебряными минералами — 200—120°C. Минералы продуктивной стадии в целом тяготеют к бокам жил, сложенным минералами первой стадии, чаще распределяясь в виде полос, параллельных зальбандам, но нередко образуют гнезда и вкрапленности по всей мощности жил. В участках жил с большим количеством раниего пирита они тяготеют к нему. Третья стадия минералообразования, постпродуктивная, развита повсеместно широко и представлена главным образом кварцем, кальцитом и пиритом. Температура гомогенизации вакуолей здесь преимущественно ниже 100°C.

По содержанию в рудах заслуживают внимания золото, серебро, теллур, висмут, сурьма и олово.

Золото в рудах находится преимущественно в твердом растворе с серебром в виде микроскопически обнаруживаемых выделений в галените, пираргирите, гессите, сфалерите, пирите, карбонате, чаще на контактах этих минералов (фото 1). Размер выделений от <0,001 мм до 0,05 мм и более. Форма их округлая, угловатая до правильной с шестиугольными сечениями или соответствует конфигурации контакта минералов и интерстиций. По пробности выделяются две разновидности твердого раствора, где золото в среднем составляет 74 и 52,5% по двум и трем микроанализам соответственно. Обе разновидности практически относятся к электруму и являются результатом одной, продуктивной, стадии минералообразования. Наблюдаются они на одних и тех же гипсометрических уровнях, поскольку в пределах одного полированного шлифа они совместно не встречены, прямых возрастных взаимоотношений между ними не установлено. Можно лишь отметить, что высокопробный электрум характеризуется большими размерами выделений и развивается около пиритовых зерен, в то время как низкопробный — на контакте с серебряными минералами. Это позволяет предположить более раннее образование электрума с 74% золота. Низкопробный электрум, по-видимому, завершает процесс выделения золота как минерала. Распространены электрумы повсеместно.

Кроме того, в сульфидах широко развито тонкодисперсное золото. Так, по данным рентгеноспектрального микроанализа и микроспектрального анализа в участках без микроскопически обнаруживаемых выделений золота в галените его содержится до 0,4%, в гессите — до 0,2%, в аргентите, пираргирите — сотни граммов на тонну и т. д.

Минералы ранней, высокотемпературной, стадии характеризуются, как и во всех золоторудных месторождениях, более низкими содержаниями золота (табл. 2).

Наиболее богаты золотом сульфиды продуктивной среднетемпературной (250—150°C) стадии минералообразования. Так, в пирите этой стадии оно достигает 0,065%, в то время как в раннем высокотемпературном пирите его менее 1·10⁻⁴%, что на порядок ниже обычного для ранних пиритов золоторудных месторождений (Сахарова, 1968; Рослякова, 1968; и др.).

Серебро входит в состав электрума и образует самостоятельные выделения и ряд минералов с теллуром, сурьмой, серой, оловом и висмутом: гессит, аргентит, пираргирит и другие более сложные соединения в виде мелких включений, главным образом в галените, реже сфалерите и пирите.

Гессит — наиболее распространенный минерал серебра. Он встречается повсеместно и составляет иногда до 1—5% массы галенита. Размер выделений гессита от 0,001 мм и менее до 0,36 мм, обычными являются

0,001—0,005 мм. Наиболее крупные из них приурочены к контакту галенита с кварцем, пиритом, сфалеритом. Контуры выделений чаще прямолинейные, иногда округлые (фото 2, а — г). Выделения гессита, как правило, представлены мелкозернистыми агрегатами. Характерно наличие пластинчатых и паркетных двойников, хорошо различимых при скрещенных николях (фото 2, б), что служит показателем низкой температуры образования минерала (Бесмертная и др., 1969). Отражательная способность во всех сечениях зерен и при разных положениях столика микроскопа ниже, чем у галенита. Цвет минерала серовато-белый с коричневатым оттенком. Анизотропия отчетливая, от серой до оранжевой. В масляной иммерсии при скрещенных николях он изменяется от коричневого до зеленоватого или голубовато-зеленоватого. Световое травление проявляется в значительной степени. Определение химического состава с помощью микроанализатора показало, что минерал содержит серебра несколько меньше, чем типичный гессит (Минералы Узбекистана, 1960) (табл. 3). В некоторых зернах гессита содержится до 1,84% висмута, возможно, за счет примеси тетрадимита, до десятых долей процента серы. Селен, сурьма, медь, железо, олово, мышьяк, свинец не обнаружены.

Аргентит в рудах наблюдается значительно реже, чем гессит. От гессита отличается отсутствием коричневатого оттенка, очень слабой анизотропностью и более «грязным» видом после светового травления. Размеры и форма зерен гессита и этих выделений аналогичны. Два микроспектральных анализа минерала показали наличие большого количества серебра и отсутствие теллура. Обнаружены медь, свинец, висмут и 0,01% золота.

Пираргирит в галените очень мало (десятие или даже сотые доли процента) в виде включений 0,005—0,007 мм, изредка до 0,04 мм, обычно на контакте с вмещающим кварцем или сфалеритом. Из-за сильных внутренних рефлексов темнокрасного цвета внутреннее строение зерен не установлено. Очень часто минерал несет вкрапленность мельчайших (<0,001 мм) зерен электрума и серебра. Возможно, этим и объясняется несколько повышенное содержание серебра в минерале по сравнению с теоретическим (см. табл. 2).

Блеклы руды распространены примерно так же, как и пираргирит. Наблюдаются они в виде мелких (редко до 0,04 мм) включений в галените и сфалерите. Встречены две разновидности минерала: фрейбергит и биннит.

Минерал	Количество по анализам	Результаты количественного рентгеноспектрального микроанализа, %										Сумма
		Ag	Pb	Bi	Sn	Cu	Fe	Sb	Tc	Se	S	
Гессит.	2	60,69 64,86							36,79	—	0,15 12,98	97,63 101,06
Пираргирит	2	29,56 18,79						23,23 26,58	—	—	21,33 21,76	
Фрейбергит	1							5,65	—	—	—	
Теллурсодержащий № 1	1							26,43	—	—	—	
Сульфосоль № 1	2							0,03	7,42	24,15	6,07	97,99
Сульфосоль № 2	2								—	—	—	
Кан菲尔дит	2								13,16	—	11,37	
Буланжерит	2								18,84	0,10	9,49	
Джемсонит	2								—	—	18,09	

* Элемент в минерале установлен, но количество не оценено.

Фрейбергит в отраженном свете характеризуется серовато-белым цветом со слабым зеленоватым оттенком. Результаты микроанализа (см. табл. 2) показали, что состав минерала в общем соответствует фрейбергитам, химический анализ которых приведен в справочнике «Минералы» (1960). Микроспектральным анализом установлены следы висмута. Мышьяк не обнаружен.

Биннит из-за редкой встречаемости и мелких размеров выделений анализу не подвергался, но четкий синий оттенок зерен в отраженном свете указывает на богатую серебром медно-мышьяковую блеклую руду.

Арамайоит ассоциирует с гесситом. Образует включения 0,01, иногда до 0,04 мм в гессите, на контакте его с вмещающим галенитом, от неправильной до овальной формы. Это зеленовато-белый с высоким двупреломлением анизотропный минерал. По данным рентгеноспектрального анализа, в нем содержится (%): сурьмы — 23, серы — 20,4, висмута — 2,7, теллура — 0,5, свинца и меди нет, золото и серебро не определялись. Микроспектральным анализом установлено наличие серебра более 10%, золото не обнаружено.

Бенжаминит (?) наблюдается в виде редких включений (до 0,03 мм) в галените в срастании с гесситом. По цвету, отражательной способности, анизотропии из-за малых размеров зерен и разобщенности он трудно отличим от арамайоита. Различить удается только при анализе состава минерала. Микроспектральным анализом в нем установлены (%): серебро (более 10), висмут (1—10), свинец (более 10), медь и железо. Золото, сурьма, теллур, олово, цинк не обнаружены. По данным П. Рамдора (1962), формула бенжаминита выглядит так: $Pb_2(Ag, Cu)_2Bi_4S_9$. Зеленоватый оттенок при сравнении с галенитом наряду с другими свойствами затрудняет отличие минерала и от буланжерита.

Кроме рассмотренных минералов серебра в рудах в тесной ассоциации с гесситом содержатся два минерала сложного состава. Как показали результаты рентгеноспектрального микроанализа (см. табл. 3), это теллур содержащие серебряные сульфосоли. Ни П. Рамдором (1962), ни М. С. Безсмертной и др. (1969), ни в справочнике «Минералы» (1960), ни в Трудах минералогического музея им. А. Е. Ферсмана минералов подобного состава не рассмотрено. Сульфосоли № 1 (см. табл. 3) соответствует формуле $Ag_{0,1}Sb(S_{3,1}Te_{3,1})_{6,2}$. Ее зерна во всех положениях столика микроскопа чуть темнее галенита, со слабым зеленоватым оттенком, чем очень похожи на арамайоит. Отчетливо анизотропны. Форма выделений нередко с прямолинейными очертаниями, до овальной (фото 2, *в*). Сульфосоль № 2 (см. табл. 3) в отраженном свете зеленовато-серовато-белого цвета, заметно темнее первой, с более слабой, но вполне заметной анизотропностью. Форма ее выделений (фото 2, *г*, *з*) пластинчатая и в общем заметно отличается от сульфосоли № 1. Как показывает результат рентгеноспектрального микроанализа (см. табл. 3), элементный состав рассматриваемых сульфосолей одинаков, но количественные соотношения компонентов в них различны. Из-за малых размеров зерен не представилось возможным провести рентгеноструктурный анализ теллурсодержащих серебряных сульфосолей.

Кан菲尔дит наблюдался в срастании с гесситом, с теллурсодержащими сульфоантимонитами серебра, буланжеритом (см. фото 2, *в*, *г*). Размеры его зерен 0,003—0,01 мм, изредка до 0,02 мм. Цвет минерала серовато-белый, отражательная способность заметно ниже, чем у галенита. Изотропен. По составу он отличается от обычного кан菲尔дита наличием теллура (см. табл. 3), который в формуле замещает два атома серы — $Ag_{7,8}Sn_{1,0}S_{4,1}Te_2$.

Выделения самородного серебра (1 мкм и менее) развиваются кроме галенита в аргентите, по периферии аргентитовых зерен, на контакте гессита с галенитом, в пиаргирите, в карбонате. В качестве примеси серебро обнаружено в блеклых рудах, галените, пирите, арсенопирите, сфалерите, пирротине в количествах, значительно превышающих содержание в них золота.

Большая часть серебряных минералов и самородное серебро не выходят за пределы галенитовых агрегатов. Иногда они здесь играют заметную роль — до 5—10% (см. фото 2, *а*). Примечательно, что количество этих включений с глубиной месторождения уменьшается, а количество ряжих сульфидов (пириита, пирротина, арсенопирита и халькопирита) при этом увеличивается.

Теллур связан главным образом с серебром в гессите, сульфоантимонитах серебра и кан菲尔дите, которые рассмотрены выше, а также со свинцом в алтайте. В аргентите, пиаргирите, буланжерите он обнаружен в качестве примеси.

Алтатит распространен в рудах в значительно меньшей степени, чем гессит, примерно как аргентит и пиаргирит. Обычен в срастании с галенитом (фото 4, *а*, *б*). Проникновение алтата по спайности в галените свидетельствует об образовании его одновременно с галенитом и несколько позже него. Размер выделений минерала от менее 0,001 до $0,08 \times 0,01$ мм. Рентгеноспектральным микроанализом в нем установлены свинец и теллур. Сера, медь, серебро, золото и висмут не обнаружены.

На контакте гессита с арамайоитом (?) встречен высокоотражающий сильно анизотропный минерал размером до $0,002 \times 0,0005$ мм. По микроскопическим наблюдениям и ассоциации минералов наиболее вероятен самородный теллур. Из-за малых размеров зерна микрозондирование провести не удалось.

Висмут входит в состав арамайоита и бенжаминита (?). В буланжерите его содержится до 3,28%, в гессите — до 1,84, в пиаргирите — до 0,9, в галените — до нескольких процентов, в кан菲尔дите — до 1% и

Таблица 4

Результаты изотопного спектрального анализа свинца галенитов, %

Pb ²⁰⁴	Pb ²⁰⁶	Pb ²⁰⁷	Pb ²⁰⁸	Pb ²⁰⁴	Pb ²⁰⁶	Pb ²⁰⁷	Pb ²⁰⁸
Золото-серебряное месторождение				Золоторудное месторождение			
1,39	24,20	21,20	53,20	1,35	24,60	21,50	52,55
1,46	24,00	22,20	52,35	1,39	24,60	22,00	52,00
1,43	24,35	21,70	52,50	1,37	24,55	22,00	52,10
1,32	24,75	21,60	52,30	1,42	24,00	21,30	53,30
1,37	24,55	21,60	52,50	1,40	24,55	21,60	52,45
1,35	24,40	21,70	52,55	1,34	24,40	21,35	52,90
1,38	24,90	21,80	51,90	1,38	24,40	21,40	52,80
1,39	24,30	21,45	52,85	1,36	24,60	21,45	52,60
Среднее				Среднее			
1,385	24,43	21,66	52,52	1,38	24,47	21,57	52,58

Распределение всех рассмотренных элементов в золото-серебряных рудах контролируется проявлением продуктивной стадии минерализации. Все их минералы по времени образования близки галениту и тесно с ним ассоциируют.

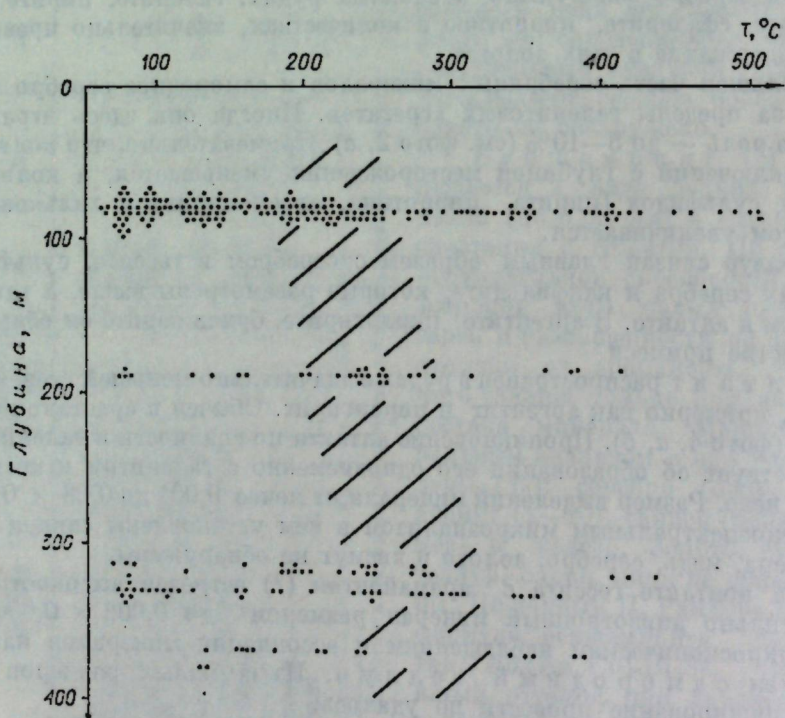
Температура образования золото-серебряной минерализации Кузнецкого Алатау характеризуется теми же пределами, что и месторождения, пространственно связанные с мезо-кайнозойскими вулканогенными образованиями молодых подвижных поясов земной коры (Сидоров, Югай, 1972) и располагающиеся в непосредственной близости золоторудные месторождения (Рослякова, 1976). Изучение температуры гомогенизации вакуолей до глубины 394 м от поверхности показало, что в вертикальном интервале 300 м с глубиной температура формирования продуктивной минеральной ассоциации повышается примерно на 50° (см. рисунок).

Изотопный анализ свинца галенитов из руд золото-серебряного месторождения при параллельном анализе галенитов соседнего золоторудного месторождения показал близость изотопного состава этих свинцов (табл. 4). Абсолютный возраст оруденения, рассчитанный методами Холмса — Гаутерманса, Рассела — Стантона — Фаркуара и Рассела — Фаркуара — Камминга, оценивается как нижнепалеозойский.

Н. А. Шило (1972) на примере мезозойских складчатых зон Северо-Востока СССР и Охотско-Чукотского вулканогенного пояса показал изменение способности золота к тесной ассоциации с другими элементами (от примесей до соединений) в связи со сменой структурных зон земной коры. Данное явление им рассматривается как общая геохимическая эволюция золотоносных провинций, характерная для районов сложного сопряжения разновозрастных тектонических зон, развивавшихся на различном по своему фазовому состоянию мантийном основании.

В западных штатах США и в Карпатах, по Т. Нолану, Г. Фергусону и А. Хельке (Сидоров, Югай, 1972), есть золото-серебряные месторождения, приуроченные к крупным сбросам и не связанные прямо с вулканическими аппаратами. В рассматриваемом нами случае жилы приурочены к участку тектонической трещиноватости пород, вблизи длительно живущего крупного глубинного Кузнецко-Алтайского разлома и оперяющих его нарушений (Дмитриев и др., 1963). Но характерное для этой морфологической группы месторождений усложнение (разветвление и т. п.) жил к поверхности здесь не наблюдается.

Таким образом, по минеральному составу золото-серебряная минерализация Кузнецкого Алатау занимает промежуточное положение между



Температура гомогенизации включений в жильных кварцах золото-серебряного месторождения, Кузнецкий Алатау.

месторождениями Чаткало-Кураминских гор Узбекистана, образовавшимися в условиях приповерхностных глубин в палеозойских породах (Рудные формации..., 1969; Минералы Узбекистана, 1975), с одной стороны, и золото-серебряными месторождениями Тихоокеанского вулканогенного пояса (Сидоров, Югай, 1972) и Транссильвании (Щербаков, 1960), с другой, и, пожалуй, ближе всего к Балейскому и Белогорскому рудным узлам (Петровская, 1973). В то же время отмечается некоторое ее своеобразие: наличие теллуридов серебра и свинца и отсутствие теллуридов золота, вхождение теллура в состав серебряных сульфосолей, развитие буланжерита, каифильдита и т. п. Золото-серебряное оруденение Кузнецкого Алатау можно отнести к вулканогенно-плутоногенному золото-серебро-олово-редкометальному рудноформационному ряду, согласно Н. А. Шило и др. (1972). По Ф. Н. Шахову (1964), серебро, теллур, висмут и т. д. в данной формации проявляются как спутники золота.

В заключение авторы выражают благодарность профессору, доктору геолого-минералогических наук Ю. Г. Щербакову за консультации при написании статьи и заведующему лабораторией рентгеноспектрального микроанализа, кандидату физико-математических наук Ю. Г. Лаврентьеву за помощь при проведении микроанализа и обсуждении его результатов.

ЛИТЕРАТУРА

- Арнаутов И. В., Киреев А. Д. Опыт применения ОКГ для количественной оценки элементов-примесей в природных и технических материалах.— «Материалы XVII Всесоюзного съезда по спектроскопии. Тез. докл.», Минск, Изд-во АН БССР, 1971, с. 6.
- Безсмертная М. С., Логинова Л. А., Соболева Л. И. Определение теллуридов под микроскопом. М., «Наука», 1969. 175 с.
- Дмитриев А. Н., Зыков С. И., Кляровский В. М., Щербаков Ю. Г. Новые данные о мезозойском магматизме и оруденении в Горном Алтае и Кузнецком Алатау.— «Докл. АН СССР», 1963, т. 153, № 4, с. 903—905.
- Минералы. Справочник. Т. I. М., Изд-во АН СССР, 1960. 616 с.
- Минералы Узбекистана. Т. 1. Ташкент, «Фан», 1975. 343 с.
- Петровская Н. В. Самородное золото. М., «Наука», 1973. 347 с.
- Рамдор П. Рудные минералы и их срастания. М., ИЛ, 1962. 1132 с.
- Рослякова Н. В. Распределение золота и элементов-примесей в минералах руд Берикульского месторождения.— В кн.: Вопросы геологии месторождений золота Сибири. Томск, Изд-во ТГУ, 1968, с. 197—201. («Известия ТПИ», т. 134).
- Рослякова Н. В. Геохимия золота в гидротермальном процессе на примере Берикульского золоторудного месторождения (Кузнецкий Алатау).— В кн.: Золото и редкие элементы в геохимических процессах. Новосибирск, «Наука», 1976, с. 82—105.
- Рудные формации и основные черты металлогении золота Узбекистана. Ташкент, «Фан», 1969. 396 с.
- Сахарова М. С. Типоморфные особенности состава пирита золото-сульфидных месторождений.— В кн.: Труды Минералогического музея им. А. Е. Ферсмана. Вып. 18. М., «Наука», 1968, с. 228—234.
- Сидоров А. А., Югай Т. А. Некоторые сведения о мезо-кайнозойских золото-серебряных месторождениях.— В кн.: Актуальные проблемы геологии золота на Северо-Востоке СССР. Магадан, 1972, с. 53—63. (Труды СВКНИ, вып. 14).
- Шахов Ф. И. Геология жильных месторождений. М., «Наука», 1964. 221 с.
- Шило Н. А. Актуальные проблемы геологии коренных месторождений золота.— В кн.: Актуальные проблемы геологии золота на Северо-Востоке СССР. Магадан, 1972, с. 5—16. (Труды СВКНИ, вып. 14).
- Шило Н. А., Сидоров А. А., Желinin С. Г. Проблемы металлогении золота и перспективы золоторудных месторождений Северо-Востока СССР.— В кн.: Актуальные проблемы геологии золота на Северо-Востоке СССР. Магадан, 1972, с. 27—34. (Труды СВКНИ, вып. 14).
- Щербаков Ю. Г. О некоторых особенностях золоторудных месторождений Транссильвании.— «Геол. и геофиз.», 1960, № 6, с. 134—138.

В. Г. ПЕТРОВ

ЗОЛОТО И ОРГАНИЧЕСКОЕ ВЕЩЕСТВО В ОСАДОЧНО-МЕТАМОРФИЧЕСКИХ ТОЛЩАХ ДОКЕМБРИЯ ЕНИСЕЙСКОГО КРЯЖА

Енисейский кряж сложен мощными толщами докембрийского возраста — глинистыми сланцами, песчаниками, известняками, подвергнутыми неравномерному регионально-контактовому метаморфизму. Изучение рассеянного органического вещества в осадочно-метаморфических породах Енисейского кряжа было впервые проведено В. И. Москвиным и В. Г. Петровым (1973, 1975). На фоне общего незначительного содержания в глинистых породах (C_{org} 0,002—0,08%) были выделены четыре стратиграфических уровня с повышенным содержанием органики, соответствующих панибинской, удерейской, потоской и шунтарской свитам опорного разреза докембрия региона (Кириченко, 1967). Содержание C_{org} в породах указанных уровней не менее чем на порядок превышает общее фоновое его содержание в разрезе (C_{org} 0,2—4,8%). Одновременное исследование распределения золота и органического вещества в докембрийских отложениях выявило приуроченность уровней повышенной золотоносности хемогенного происхождения к названным уровням накопления органического вещества, причем в каждом из них в пределах одной зоны вторичных изменений пород с увеличением количества органического вещества увеличивается и содержание золота (рис. 1).

Графито-кремнистые сланцы панибинской свиты, к которым приурочен самый древний уровень повышенного накопления органического углерода и золота, встречаются главным образом в средней части разреза свиты в обособленных и выдержаных по простирации пластах и пачках мощностью от 2 до 400 м. Представляют они собой черные тонко- и мелкозернистые сланцевые породы, иногда мажущие руки. Довольно часто наряду со сланцеватостью резко выражена полосчатость, обусловленная либо неравномерно распределенным углисто-графитовым материалом, либо сортировкой неодинаковых по величине зерен кварца, либо тем и другим вместе. В некоторых случаях наблюдается пластическая деформация отдельных полосок, которая тем сильнее, чем больше графита содержит данный участок породы.

Главные пордообразующие минералы сланцев — кварц (50—60%) и углисто-графитовое вещество (20—40%). Полевые шпаты представлены

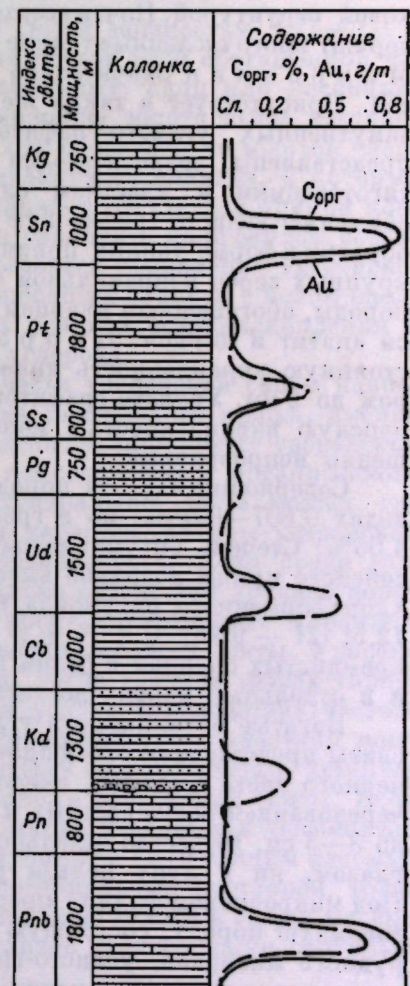


Рис. 1. Распределение золота и органического вещества в разрезе докембрийских отложений Енисейского кряжа.

плагиоклазом и калишпатом (15—20%); в некоторых разностях графито-кремнистых сланцев полевых шпатов нет. Серицит и биотит встречаются в сланцах спорадически, обогащая иногда отдельные тонкие прослои (до 5—8%). В качестве второстепенных минералов присутствуют апатит, циркон и турмалин, характерна вкрапленность лизовидных и веретенообразных зерен либо коротких пилевидных прожилков пирротина в количестве 1—3%. Размер зерен породообразующих минералов обычно измеряется сотыми долями миллиметра, но в неравномернозернистых участках он увеличивается до 0,1—0,4 мм.

Кварц образует зерна изометричной формы и различной величины. В крупнозернистых разностях сланцев он равномерно распределен в массе породы, образуя гранобластический агрегат, в мелкозернистых — формирует небольшие тонкие прослои и линзочки, чередующиеся с прослойками углисто-графитового вещества. В отдельных участках сланцев наблюдается неравномерное распределение кварца с обособлением его в неправильные по форме мономинерально-кварцевые ключевые стяжения, имеющие нерезкие границы с окружающей их углисто-графитовой массой и представляющие собой, по-видимому, продукт раскристаллизации кремния. Плагиоклаз (альбит — олигоклаз) представлен мелкими зернами изометричной формы с нечетко выраженной двойниковой структурой. Почти всегда плагиоклаз очень сильно замутнен и содержит многочисленные тонкие включения углисто-графитового вещества. Микроклин значительно уступает плагиоклазу в распространенности. Присутствует в таких же мелких зернах, как и плагиоклаз, также замутненных углисто-графитовой пылью. Серицит и биотит представлены разрозненными чешуйками и неправильными зернами, тяготеющими к участкам сланцев, обогащенных кварцем. Содержат обильную углисто-графитовую пыль. Турамалин встречается главным образом в форме тонких призматических кристаллов, реже сравнительно крупных зерен неправильной формы и приурочен в основном к прослоям породы, обогащенным кварцем и слюдами. В этих же прослоях встречаются апатит и циркон. Пирротин образует весьма характерную и постоянную вкрапленность лизовидных и веретенообразных зерен размером до 2 мм. Углисто-графитовое вещество образует точечную тонкодисперсионную вкрапленность и мономинеральные скопления, в шлифе совершенно непрозрачные.

Содержание C_{org} в породах панибинской свиты колеблется в пределах 0,007—0,08%, но в графито-кремнистых сланцах достигает 0,21—4,05%. Степень битуминизации органического вещества для пород Енисейского кряжа довольно высока — от 7,5 до 71%. Элементарный состав хлороформенного битумоида из двух образцов сланцев таков (%): С — 72,5; Н — 9,95; О + Н + S — 17,55. Содержание золота в графито-кремнистых сланцах в целом повышенное для пород панибинской свиты и в отдельных пробах достигает 0,3 г/т.

Богатые органическим углеродом филлиты нижней части удерейской свиты представляют собой плотные породы темно-серого, иногда бархатно-черного цвета с тонкой, неясно выраженной слоистостью, обусловленной чередованием более светлых и более темных полос мощностью от 1—2 мм до 3—5 см. Вещество отдельного слоя филлитов однородно, и ни простым глазом, ни в лупу нельзя рассмотреть слагающие породу минералы. Под микроскопом филлит представляет собой очень слабо раскристаллизованную породу, состоящую из кварца, серицита, хлорита, турмалина, рудного минерала, углисто-графитового вещества, мелких зернышек полевых шпатов, а также пелитового материала, количество которого может быть различным. Кварц присутствует в виде мельчайших зерен (до 0,03 мм) без четких границ, слегка вытянутых согласно сланцеватости. Серицит и хлорит образуют сложную запутанный тонкочешуйчатый агрегат, тесно перемежающийся с кварцем. Размеры чешуек до 0,05 мм. Зеленовато-

бурый турмалин отмечен в единичных тонких призмочках, рассеянных в массе породы. Призмочки ориентированы несогласно с общей вытянутостью кристаллов породы. Сульфиды — округлые радиально-лучистые овощи марказита, правильно образованные кристаллы и их скопления пирита образуют редкую, но весьма равномерно распределенную и характерную вкрапленность. Размер вкрапленников сульфидов может достигать 5—6 мм в диаметре.

Углеродистое вещество чрезвычайно широко рассеяно в черных филлитах нижней части удерейской свиты. Наряду с дисперсными выделениями его частичек диаметром в сотые и тысячные доли миллиметра, представляющих обычную форму нахождения углеродистого вещества в породах, иногда наблюдаются плотные скопления в виде прослойков и различной величины линзочек. Породы, обогащенные углеродистым веществом, имеют черный цвет, типичный графитовый блеск и жирины на ощущение. Содержание свободного углерода в сланцах нижней части удерейской свиты колеблется в пределах 0,11—0,49%, что на порядок выше содержания свободного углерода в ниже- и вышележащих породах. Степень битуминизации органического вещества от 1,5 до 12,5%. Элементарный состав хлороформенного битумоида, объединенного из 3 образцов нижней части разреза свиты, следующий (%): С — 74,92; Н — 11,24; О + Н + S — 13,84.

В нижней части разреза удерейской свиты мощностью 150—200 м золота содержится 0,1—0,4 г/т, в то же время внутри этой обогащенной части разреза в ряде случаев бывают, по-видимому, один или несколько более мелких горизонтов, в которых содержание золота выше местного кларкового, по крайней мере, на порядок. Эти обогащенные золотом сланцы макроскопически совершенно не отличаются от сланцев, в которых золота мало или совсем нет. Характерно также и отсутствие прямой корреляционной связи уровня золотоносности сланцев с количеством содержащихся в них сульфидов. Вместе с тем, характер проявления удерейского уровня золотоносности сланцев в целом вполне отчетливо зависит от палеофациальных условий осадконакопления и распределения в породах органического углерода.

Повышенная золотоносность нижней части удерейской свиты наиболее четко проявляется в восточной окраине Енисейского кряжа, именно в тех разрезах, где четко может быть проведена граница между удерейской и нижележащей горбиллокской свитой, но содержащей органического углерода в заметных концентрациях. В центральной части кряжа, где граница между этими свитами очень часто теряется, сланцы удерейской свиты утрачивают свою повышенную золотоносность. Если среди них иногда и удается выделить один или несколько небольших уровней повышенной золотоносности, то эти уровни носят «плавающий» характер, независимый от стратиграфического положения подошвы свиты. Уровень золотоносности сланцев снижается и тогда, когда граница между горбиллокской и удерейской свитами становится условной вследствие частого переслаивания в разрезе зелено- и темно-серых филлитов пластами мощностью 0,5—50 м. Это свидетельствует в пользу сингенетического, хемоген-но-осадочного происхождения золота в сланцах удерейской свиты. Если предполагать связь накопления золота с магматическими и метаморфическими процессами и поступление его с глубины, а сами сланцы рассматривать лишь как осадители золота из гидротермальных растворов, тогда следовало бы ожидать повышенную концентрацию золота в самых первых слоях черных сланцев, среди зеленых филлитов верхней части горбиллокской свиты.

Филлиты и хлоритоидные филлиты потосской свиты представляют собой темно-серые и черные тонкозернистые породы с примесью алевритового и углеродистого материала, от количества которых зависит окраска пород. Своебразная и весьма характерная особенность пород — «искри-

стый» блеск, обусловленный отражением света от различно ориентированных граней множества мельчайших кристалликов хлорита. Под микроскопом основная ткань породы представлена тонкозернистой кварцево-серicitовой массой с максимальным размером зерен 0,008–0,01 мм. Структура пелитовая, текстура беспорядочная, иногда отмечается тонкая, неясно выраженная слоистость, обусловленная неравномерным распределением в породе либо углеродистого, либо алевритового материала, представленного, как правило, кварцевыми частицами. В кварцево-серicitовой массе равномерно рассеяны иголочки хлорита размером 0,4–0,6 мм. Количество хлорита достигает 20–30%, в некоторых разностях 40–60%. Хлорит имеет характерный сине-зеленый цвет, игольчатую форму, часто наблюдаются радиально-лучистые сростки его кристаллов. Он содержит обильную тонкораспыленную вкрапленность углеродистого материала. В серых разновидностях хлоритидных сланцев, в которых нет углеродистого вещества, количество хлорита резко уменьшается до 2–5%. Формы выделения углеродистого вещества в сланцах потосской свиты одинаковы с формами выделения в панибинской и удерейской свитах. Содержание C_{org} 0,13–0,27%. Степень битуминизации органического вещества 7–8%.

Нижняя часть разреза потосской свиты, сложенная черными филлитами и хлоритидными филлитами, содержит золота 0,05–0,09 г/т, на фоне которого почти в каждом изученном разрезе, в свою очередь, выделяется несколько групп проб с содержанием до 0,3–0,4 г/т, отвечающих пачкам пород, обогащенных углисто-графитовым материалом, пиритом или прослоями алевролитов, обогащенных углеродистым материалом и сульфидами. Выше по разрезу, с приближением к известнякам, общий уровень золотоносности сланцев постепенно понижается, хотя и здесь в единичных пробах наблюдается повышение содержания золота до 0,1–0,2 г/т, связанное как правило, с наличием прослоев алеврито-глинистых сланцев и филлитов, обогащенных органическим углеродом и сульфидами.

Богатые органическим углеродом и сульфидами аргиллиты шунтарской свиты имеют темно-серую и черную окраску. Структура пород чаще всего крупнопелитовая и алевропелитовая. В раскристаллизованной на 50% глинистой массе, состоящей из гидрослюд с небольшим содержанием хлорита и серицита, в разном количестве присутствует пелитоморфный кальцит. Обломочный материал алевритовой размерности образует линзы и тонкие прослои. Среди обломков преобладают кварц, чешуйки слюд и реже — плагиоклаз с тонкими полисинтетическими двойниками. В прожилках мощностью до 0,2 мм развивается вторичный кальцит, реже — гипс. Последний обычно приурочен к местам с высоким содержанием органического углерода и, вероятно, образовался в результате окисления сульфидов. По всей массе рассеяны или концентрируются слоями кристаллики и зерна пирита размером 0,07–0,1 мм. Вокруг зерен пирита часто наблюдаются каемки хлорита, кварца и серицита. В некоторых случаях из-за значительного количества пирита структуру породы можно отнести к порфиробластовой. Для сланцев свиты характерно выделение белых квасцов при выветривании (Благовещенская, Хазанович, 1957).

Благодаря высокому содержанию органического вещества в аргиллитах (0,24–3,50%) некоторые разновидности пород часто называют «углистыми» (Шапошников, Кузнецова, 1968). Часть глинистых сланцев и аргиллитов шунтарской свиты имеет фитопелитовую структуру, причем на долю тонкодисперсного углеродистого вещества в них приходится 60–70, а минеральной части — 20–30%. Обычай же форма нахождения углеродистого вещества, наблюдавшаяся в шлифах — точечная тонкодисперсная и микротрешинная. Иногда встречаются прослои аргиллитов, в которых углеродистое вещество представлено прямыми и изогнутыми обрывками длиной 0,2–0,6 и толщиной 0,03–0,06 мм, рас-

положенными как перпендикулярио слоистости, так и по наслоению. Исследование шлифов в ультрафиолетовом свете позволяет считать вещество обрывков подобным гумусовому высокой степени метаморфизма. Степень битуминизации органического вещества аргиллитов шунтарской свиты небольшая — 1–2,5%. Элементарный состав объединенного хлороформенного экстракта шести образцов из 50-метровой пачки черных сланцев в нижней части свиты следующий (%): C — 68,6; H — 12,7; S — 0,2; O + H — 18,5.

Уровень золотоносности различных типов пород и характер распределения золота по разрезу шунтарской и потоской свит в целом близки. В известняках, глинистых известняках и аргиллитах шунтарской свиты обнаружено устойчивое содержание золота (0,004–0,01 г/т), повышающееся в участках возрастания количества органического углерода, алевролитовых прослоев, вкрапленности сульфидов или того и другого вместе. Наиболее золотоносны — на один-два порядка выше фонового в свите — слои черных, богатых углеродом и пиритом аргиллитов, прилегающих, как правило, к слоям таких же черных и пиритизированных известняков. Содержание органического углерода в таких участках достигает 3,5% (по данным Г. Н. Шапошникова и А. Г. Кузнецова (1968), даже 7%), а сами породы становятся рыхлыми, легко режущимися ногтем, пачкающими руки. Здесь же широко развита сульфидная минерализация в виде тонкодисперсной вкрапленности и различных по форме диагностических и радиометаморфических новообразований пирита.

Исключительно высокое для докембрийских пород региона содержание органического углерода и связанных с ним сульфидов в аргиллитах шунтарской свиты позволяет рассматривать их как образования глубоководных фаций сероводородного заражения, формировавшиеся в условиях спокойного тектонического режима в глубоководных впадинах морского бассейна, максимально удаленных от береговой линии, а концентрация золота в этих породах — как продукт типично хемогенного накопления.

Как видно из приведенного краткого описания, степень постседиментационного преобразования глинистых пород докембра Енисейского кряжа различна. Сланцы шунтарской и потоской свит по характеру изменений могут быть отнесены к зоне раннего, местами позднего метагенеза. Удерейская свита находится главным образом в зоне перехода от метагенеза к метаморфизму, а местами преобразовалась в условиях фации зеленых сланцев. Диапазон преобразований сланцев панибинской свиты в результате наложения регионально-контактового метаморфизма довольно широкий — от зеленосланцевой фации до фации пироксеновых роговиков включительно.

Содержание битумондов в осадочно-метаморфических породах Енисейского кряжа колеблется незначительно (0,002–0,022%) и не зависит от концентрации C_{org} . Битумонды заведомо являются сингенетичными остаточными, высокое содержание гетероэлементов в битумондах подтверждает это. В связи со значительным гипергенным окислением отношение C/H в хлороформенном битумонде довольно низкое (5,6–7,2). Степень изменения хлороформенного битумонда (Вассоевич и др., 1973) $\Phi_1 = (C + H)/(O + N + S)$ в общем небольшая и равна для шунтарской свиты 4,3, удерейской — 6,2, пенченгинской — 4,6. Степень битуминизации органического вещества сланцев, за исключением панибинской свиты, также невысока (1–7,5%). В связи с этим высокая степень битуминизации органического вещества панибинской свиты при небольшой концентрации C_{org} , хотя и не противоречит известной закономерности Успенского — Вассоевича, может быть объяснена дополнительным производствием битумондов органическим веществом сланцев в условиях регионально-контактового метаморфизма.

Инфракрасные спектры поглощения нефракционированного хлороформенного битумонда из сланцев нижней части шунтарской свиты и

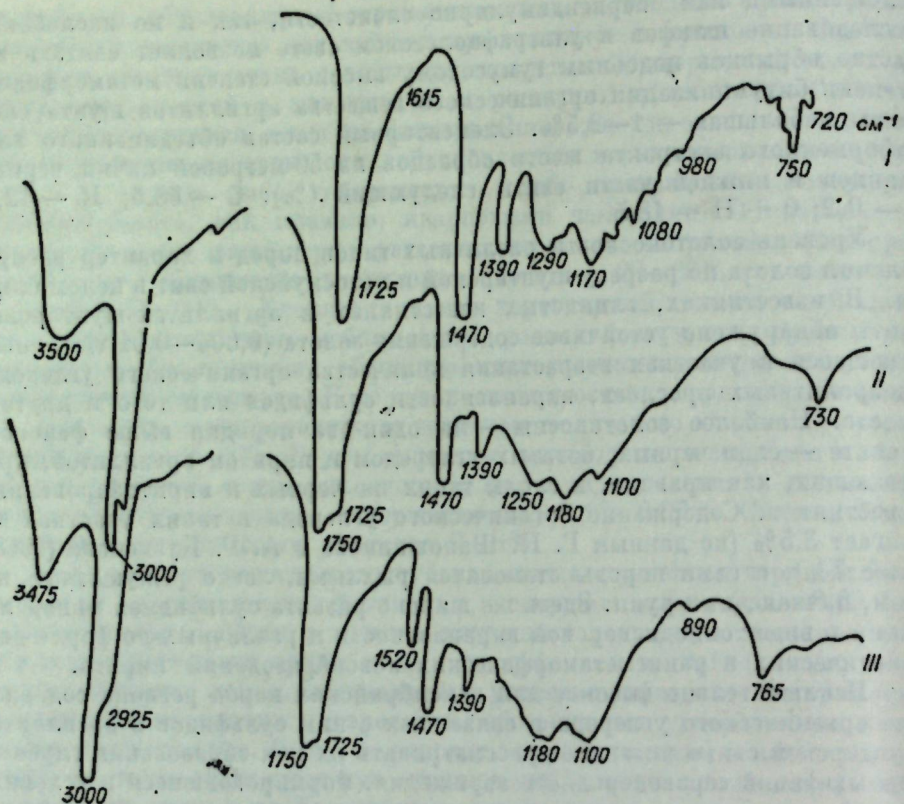


Рис. 2. ИК-спектры поглощения битумоидов глинистых сланцев докембрия Енисейского кряжа.
I — шунтарская, II — удерейская, III — панимбинская свиты.

спирто-бензольных битумоидов сланцев верхних частей удерейской и панимбинской свит имеют много общего (рис. 2).

Во всех спектрах широкая полоса поглощения в области 1750—1725 cm^{-1} (валентные колебания C—O групп) сочетается с хорошо выраженным максимумом в областях 1290—1250 и 1180—1170 cm^{-1} (валентные колебания C—O и плоскостные деформационные колебания O—H групп). Сильное поглощение в указанных областях, вероятнее всего, обусловлено присутствием предельных и α -, β -непредельных сложных эфиров карбоновых кислот.

Поглощение в областях 3000—2900 (валентные колебания C—H) в сочетании с максимумом при 1470 и 1390 cm^{-1} (симметричные и асимметричные деформационные колебания C—H) указывает на наличие метиловых и метиленовых групп алканов. Особенности спектров позволяют предполагать наличие в битумоиде небольшого количества спиртов, фенолов, аминов, сульфокислот и соединений с различным типом замещения бензольного кольца. В общем же углеродном скелете преобладают парафиновые структуры. Несмотря на значительное гипергенное окисление, ароматических структур немного.

Обращает на себя внимание то, что в спектре битумоида панимбинской свиты в отличие от спектров битумоида шунтарской и удерейской свит имеются максимумы при 1520 и 890 cm^{-1} , соответствующие колебаниям NO₂-групп в нитросоединениях. Известно, что нитросоединения в природе чрезвычайно редки и еще не отмечались в битумоидах. Объяснить их появление можно воздействием высоких температур на амины, содержащиеся в органическом веществе.

Поскольку установлена генетическая связь рассеянных битумоидов с органическим веществом пород (Вышемирский и др., 1971), органическое вещество изученных пород можно отнести к сапропелевому типу. Судя по элементарному составу хлороформенного битумоида и данным ИК-спектроскопии, органическое вещество было сложено преимущественно устойчивыми липоидными компонентами (восками и жирами).

Следует отметить также, что приведенные спектры имеют много общего как со спектрами смол сапропелевых углей, так и со спектрами битумоидов красноцветных и изверженных пород (Петтерслье, 1963; Глебовская, 1971). Согласно Е. А. Глебовской (1971), спектры битумоидов с комплексом поглощения специфических кислородных соединений с непредельными связями (1730, 1290, 1170, 1080, 970, 750 cm^{-1}) можно считать спектрами остаточного органического вещества, находившегося в период диагенеза в резко окислительных условиях. В то же время α и β -непредельные эфиры возникают под воздействием высоких температур на органическое вещество.

Как было показано выше, породы шунтарской, потоскайской и отчасти удерейской свит не подвергались kontaktово-термальному метаморфизму, хотя при региональном метаморфизме органическое вещество значительно изменено, по-видимому, до или выше антрацитовой стадии. Можно допустить, что органическое вещество шунтарской, потоскайской и, возможно, удерейской свит накапливалось в среде, содержавшей свободный кислород. Подобный окислительный режим образования каустобиотитов было предложено называть кукерситовым (Раудсеппх, 1959). Есть и другие данные, указывающие на существование в шунтарское время мелководного прибрежно-морского бассейна, в котором временами мог быть окислительный режим.

В разрезах шунтарской и потоскайской свит встречаются бурые и вишнево-красные слабокарбонатные сланцы с волноприбойными знаками и косой слоистостью. Е. П. Акульшина и др. (1973) на основании изучения микроэлементов в глинистой фракции сланцев указанных свит пришли к выводу, что шунтарские сланцы образовались в прибрежно-морских условиях при значительной опресненности вод. Вполне возможно, что наличие в сланцах шунтарской и удерейской свит растительного (?) детрита обусловлено близостью сушки. Таким образом, уровень повышенного накопления органики в древних толщах, возможно, не всегда отвечает восстановительным условиям в момент непосредственного отложения органического вещества. Эти условия, несомненно, возникают на некоторой глубине в осадке, а тем более в период диагенеза, обеспечивая редукцию железа и образование диагенетических сульфидов.

Как уже указывалось, с выделенными уровнями повышенного содержания органического вещества в осадочно-метаморфических отложениях докембра Енисейского кряжа совпадают и повышенные концентрации золота. Подобное соотношение между распределением углеродистого вещества и золотого оруденения известно почти во всех золоторудных районах и объясняется адсорбцией золота из растворов аморфным углеродом. Принято считать, что в отличие от химически инертных графита и алмаза аморфный углерод имеет громадное количество несвязанных углеродных связей, что и определяет его высокую химическую активность (Ильин, 1952; Тренин, 1958; Убеллоде, Льюис, 1965; Юровский, 1968). Сорбционные, катализитические и восстановительные свойства «аморфного» углерода в общем зависят от степени дисперсности частиц, их структурного порядка, пористости, наличия примесей и могут изменяться в широких пределах. Поэтому терригенно-сланцевые толщи при достаточном содержании органического вещества могут выступать в качестве естественных сорбционных барьеров, на которых происходит осаждение золота из гидротермальных растворов. В свою очередь, признавая адсорбционную рудоактивирующую роль углеродистых терригенных отложений, можно объяснить многие особенности локализации в них золотого оруденения.

Для оценки возможной сорбционной роли органического вещества в осадочно-метаморфических толщах Енисейского края нами было проанализировано 150 проб спирто-бензольного и хлороформенного битумоидов, извлеченных из пород различного состава, стратиграфического положения и степени метаморфизма (см. таблицу). Во всех пробах битумоидов содержание золота весьма высоко (десятки и сотни граммов на тонну). Другими словами, оказалось, что почти все золото, содержащееся в породах, заключено в битумоидной фракции этих пород.

О присутствии небольшого количества золота в нефти упоминается в работах С. М. Катченкова (1959) и С. А. Пунановой (1974), однако золотоносность битумоидов древних толщ еще никем не изучалась, и полученные нами данные о содержании и распределении золота в них — в этой области первые.

Содержание золота в битумоидах докембрийских осадочно-метаморфических пород свидетельствует, несомненно, о том, что золото в битумах (следовательно, значительная часть золота в углеродсодержащих породах) представлено в форме золотоорганических соединений.

Связь золота и органического вещества эмпирически установлена уже давно (Гросс, Скотт, 1938; Шахова, Низамутдинова, 1962; Жуков, 1966; Кузьминых, Тюрип, 1967; Парес, 1968; Поликарпочкин и др., 1969; Константинова, 1970; Коротаева, Поликарпочкин, 1970; Шабынин, 1970; Коротаева, 1971; Жукова, 1974; Глухов, 1974; Radtke, Scheiner, 1970; и др.), хотя природа этой связи неясна до настоящего времени. Известно, что определенная часть органического углерода (так называемого «активного углерода»), содержащегося в породах и рудах, обладает способностью адсорбировать золото в значительном количестве. Например, по данным В. С. Глухова (1974), максимальная адсорбционная емкость углеродистого вещества одного из золоторудных месторождений кварцево-жильного типа, залегающего в углистых сланцах, составляет по золоту 4 г/кг активного углерода. Установлено, что до 25% золота, содержащегося во флотоконцентратах этого месторождения, прочно адсорбируется углеродистым веществом и теряется с «хвостами» цианирования.

И. Паресу (1968) удалось выделить из растворяющих золото микроорганизмы золотосодержащие комплексы. Элементарный анализ их показал, что они представляют собой органическую молекулу, не содержащую хлора — принципиально новый вид комплексного соединения золота. Молекулы нового соединения весьма малы, способны к диффузии через целлюфановые мембранные, выдерживают температуру до 80°, растворяются в воде, бутиловом и изоамиловом спирте, но нерастворимы в эфире, хлороформе и бензоле. Молекулы не закрепляются на катионообменных смолах, т.е. золото входит в анионную часть комплекса (как при цианистом растворении).

По данным В. В. Лодейщикова (1968), И. С. Стакеева и др. (1973), одним из новых направлений в технологии металлургической обработки углеродистых золотосодержащих руд является использование в качестве растворителей золота органических цианидов, в частности α -гидроксилини трилов. При обработке углеродистых руд месторождения Керр-Эддисон применение органических цианидов (лактонитрила и нитрила миндалевой кислоты) позволяет извлечь золота в 11—15 раз больше, чем в обычном цианистом процессе с NaCN. Предполагается, что основная причина более высокого извлечения золота в растворы органическими цианидами заключается в менее выраженной сорбции растворенного золота углеродистым веществом. Это, в свою очередь, может быть объяснено тем, что при взаимодействии металлического золота с α -гидроксилини трилами образуются комплексные органические молекулы, размер которых превышает размер и уменьшается степень сорбции металла из раствора.

Установлено (Коротаева, 1971), что содержание золота в органике современных речных илов Восточного Забайкалья достигает 0,1—1,0 г/т,

Содержание золота в битумоидах

№ пробы	Порода	Содержание в породе				Содержание золота, г/т			Коэффициент концентрации золота в битумоидах, %
		C_{org}	битум A	битум C	золото, мг/т	битум A	битум C	среднее	
		%	3	4	5	6	7	8	
1	2	3	4	5	6	7	8	9	10
<i>Кординская свита</i>									
3-69	Известник	0,01	0,007	0,006	3	377	454	412	100
5-69	»	0,01	0,007	0,004	200	482	531	500	28
12-69	»	0,01	0,004	0,006	100	690	348	480	53
13-69	»	0,01	0,003	0,004	8	1250	688	945	100
15-69	Песчаник	0,02	0,004	0,004	11	1820	437	1140	100
16-69	»	0,02	0,005	0,005	6	388	953	692	100
23-69	»	0,04	0,005	0,006	17	560	530	545	100
34-69	Известник	0,01	0,003	0,004	31	950	647	764	100
38-69	Мергель	0,02	0,004	0,005	4	528	372	442	100
43-69	Алевролит	0,02	0,002	0,005	3	1430	500	740	100
45a-69	»	0,01	0,003	0,004	2	682	815	767	100
45б-69	»	0,02	0,005	0,006	7	975	728	836	100
<i>Удерейская свита</i>									
81-69	Филлит	0,26	0,007	0,012	5	291	505	428	100
85-69	»	0,15	0,006	0,013	9	353	214	267	100
107-69	»	0,05	0,005	0,005	100	825	500	662	66
114-69	»	0,17	0,006	0,013	100	667	147	300	57
123-69	Алеврито-глинистый сланец	0,03	0,004	0,005	100	936	500	675	61
124-69	Филлит	0,13	0,004	0,004	200	1450	688	985	39
125-69	»	0,21	0,002	0,007	9	1050	483	617	100
<i>Погорюйская свита</i>									
129-69	Песчаник	0,03	0,003	0,006	11	667	510	563	100
133-69	»	0,02	0,003	0,006	7	1400	510	760	100
<i>Панимбинская свита</i>									
204-69	Известник	0,27	0,003	0,005	52	—	594	594	91
206-69	Известник	0,37	0,002	0,004	100	940	645	750	45
207-69	Филлит	0,27	0,007	0,008	22	358	298	328	100
208-69	Известник	0,59	0,003	0,005	310	—	975	975	25
211-69	Филлит	0,58	0,003	0,005	13	560	605	587	100
212-69	»	0,33	0,003	0,006	35	2500	400	1080	100
214-69	»	0,96	0,004	0,004	10	942	935	940	100
217-69	Известник	0,27	0,003	0,004	5	3750	572	1860	100
222-69	Филлит	0,44	0,008	0,007	200	795	296	563	42
223-69	»	3,98	0,003	0,007	17	538	290	364	100
225-69	»	4,05	0,004	0,008	100	457	448	452	54
228-69	»	0,59	0,002	0,005	100	947	395	565	56
229-69	»	3,59	0,003	0,007	100	1275	262	583	58
235-69	Алеврито-глинистый сланец	0,40	0,003	0,005	11	592	488	530	100
238-69	Филлит	0,15	0,002	0,005	300	17700	1190	5920	100
239-69	Известник	0,17	0,003	0,007	42	576	893	792	100
243-60	Туф	0,06	0,002	0,005	200	1670	1370	1450	51
<i>Погорюйская свита</i>									
271-69	Песчаник	0,04	0,003	0,010	200	741	291	400	26
272-69	Филлит	0,20	0,010	0,014	100	232	447	354	85

Примечание. Все определения C_{org} и экстракция битумоидов выполнены в лаборатории органической геохимии СНИИГГиМС (аналитик Л. Г. Потыкова). Анализ битумоидов на золото проведен в химико-аналитической лаборатории ИГиГ СО АН СССР (аналитик В. Г. Цимбалист).

причем значительная часть связана с фульво- и гуминовыми кислотами. Там, где гуминовых кислот мало, золото связано с фульвокислотами. Это говорит о том, что поглощение золота органическим веществом не простая адсорбция, а образование золотоорганических соединений.

По данным Р. И. Жуковой (1974), в органогенных горизонтах почв вторичных ореолов рассеяния золоторудных месторождений Восточного Забайкалья значительная часть золота (почти 50%), по данным анализа 5 проб, находится в водорастворимом состоянии, а другая часть связана с органическими веществами, в том числе с битумами, извлекаемыми спирто-бензольно-хлороформенной смесью. Общее содержание золота в битумной части современного органического вещества достигает 0,9 г/т, при этом небольшое количество золота присутствует также в гуминах. В то же время в гуминовых и фульвокислотах золото Р. И. Жуковой не обнаружено.

В связи с проблемой золотоорганических соединений особый интерес приобретают исследования А. С. Радтке и Б. Дж. Шайнера (Radtke, Scheiner, 1970) о роли органического углерода и органических соединений в формировании золотых руд месторождения Карлин в США, представленных темно-серыми глинистыми известняками с рассеянной пиритовой вкрашенностью и содержанием C_{org} 0,2–0,6%. Золото на месторождении имеет тонкодисперсную форму с размером частиц до 0,005 мкм. В большинстве углеродистых руд месторождения более 50% содержащегося в них золота ассоциировано с органическими кислотами и с активированным углеродом. Только весьма небольшое количество золота встречается в металлической фазе в частицах размером до 0,005 мкм, физически и химически не связанных с углеродистым материалом (чаще всего в частицах глинистых минералов).

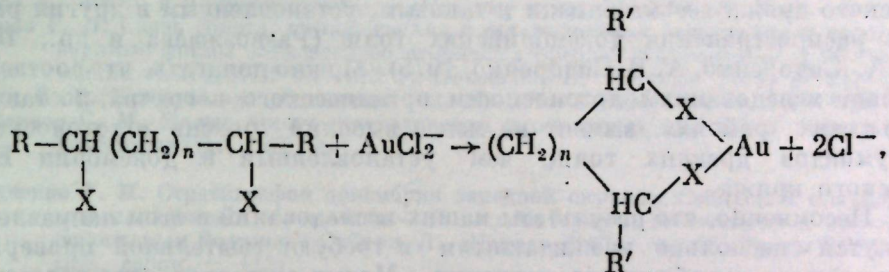
Работами А. С. Радтке и Б. Дж. Шайнера показано, что, 1) карбонатные руды месторождения Карлин содержат активный углеродистый компонент, способный адсорбировать золото из хлоридных и цианистых растворов; 2) эти же руды содержат и золотоорганические соединения, не разлагаемые цианидами; 3) количество и соотношение между этими двумя типами органического вещества в рудах широко варьируют; 4) отложение золота в углеродистом материале имеет скорее химическую, чем физическую причину.

Отсутствие свободного золота в богатых рудах месторождения Карлин (даже с содержанием золота до 50 г/т) свидетельствует о химической связи золота с органическим углеродом. В безуглеродистых разностях руд микроскопические золотинки встречаются в 5 раз чаще, чем в углеродистых (Хаузен, Керр, 1973). Химическая связь золота с молекулами гуминовых кислот доказана также экспериментально (Radtke, Scheiner, 1970). Углеродсодержащая золотая руда, раздробленная до –65 меш, помещалась в 10%-й раствор NaCl и в течение 30 мин подвергалась электролизу при $pH=10$. В фильтрате после электролиза было обнаружено 80% золота, содержащегося в руде. Из безуглеродистых золотых руд с таким же начальным содержанием золота при тех же условиях экстрагировалось только 8% золота. Такой низкий процент экстракции золота из безуглеродистых руд отражает очень низкую растворимость свободного золота в хлоридных растворах при высоких значениях pH . Поскольку же главная масса золота в углеродсодержащих рудах переходит в раствор, то оно не может присутствовать в этих рудах в металлической форме (Au^0) и должно, следовательно, находиться в рудах в одновалентной форме (Au^+) в химической связи с гуминовыми кислотами.

Точная структура золотоорганических соединений пока неизвестна. А. Д. Гоулси и Д. Т. Сойером (Goolsby, Sowyer, 1968) установлены многочисленные золотосодержащие хелатные соединения. Обычные лиганды, найденные в составе золотосодержащих хелатов, содержат серу и (или) азот и кислород. На этом основании А. С. Радтке и Б. Дж. Шайнер

(Radtke, Scheiner, 1970) считают весьма возможным объяснением вхождение золота в состав хелатов и в рудах месторождения Карлин.

По мнению указанных геологов, теоретически возможно соединение, в котором органические кислоты, обнаруженные в рудах месторождения Карлин, обеспечивают необходимые лиганды для формирования хелатов. Общая последовательность такой предполагаемой реакции может быть представлена в следующем виде:



где X — некоторый лиганд, способный к реакции с $\text{Au}(1)$;

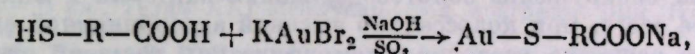
R — радикал гуминовой кислоты (может содержать карбоксильную группу COOH);

R' — может быть представлено R или H ;

n — может быть равным 0 или 1.

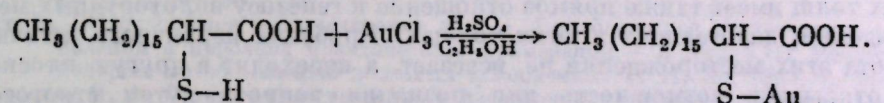
В реакции подобного типа лиганды органических кислот замещают ионы хлора в золото-хлоридном комплексе в растворе с образованием золотосодержащих хелатов, устойчивых в нейтральной среде.

Не исключено также, что золотохлоридный комплекс гидротермально-го раствора может реагировать с гуминовыми кислотами, образуя соединения золота другого типа, чем хелаты. Известно, что длинноцепочечные карбоксильные кислоты содержат тио-группы, реагирующие с золото-хлоридными комплексами. В частности, Е. Е. Муром и Р. Т. Рейпелом (Moore, Rapala, 1947) были получены различные соли золототиокислоты в щелочной среде по следующей реакции:

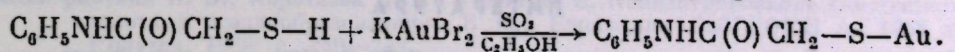


где R — алифатическое кольцо.

Н. Куинду (Kundu, 1952) получал подобные же продукты при реакции α -тиокислот с хлоридами золота в сернистой кислотно-спиртовой среде по следующей схеме:



У. Вайсс (Weiss, 1945) соединял калиевую соль золотобромистоводородной кислоты с α -меркапто-ацетонилидом в спиртовом растворе и SO_2 и получал α -золотомеркапто-ацетонилид по следующей реакции:



Весьма примечательно, что эта реакция протекает при восстановительных условиях и при этом никакого металлического золота не появляется.

В работе Х. Л. Оинга и В. Е. Свенсона (Ong, Swanson, 1969) показано, что определенные органические кислоты осаждают коллоидное золото из золото-хлоридных растворов. На основе этого Н. Л. Оинг и В. Е. Свенсон заключают, что если органические кислоты есть в горных породах, то золото будет отлагаться в них в коллоидной форме, и далее предполагают, что таким способом отложения золота можно объяснить и формирование золотых руд месторождения Карлин.

Таким образом, данные различных исследователей свидетельствуют о том, что золото в гидротермальных растворах может реагировать с органическими кислотами и (или) производными этих кислот, не продуцируя металлического золота, если органические соединения содержат функциональные группы, способные стабилизировать (Au^+).

Формы нахождения, особенности распределения и концентрации органического вещества в осадочно-метаморфических толщах докембрия Енисейского кряжа весьма близки к таковым, установленным в других районах распространения докембрийских толщ (Развозжаева и др., 1972; Св. А. Сидоренко, А. В. Сидоренко, 1975). Можно полагать, что соответствующие исследования золотопосности органического вещества, поставленные в этих районах, выявят не менее высокий уровень золотопосности битумоидов древних толщ, чем установленный в докембрии Енисейского кряжа.

Несомненно, что результаты наших исследований в этом направлении кажутся несколько неожиданными и требуют тщательной проверки и дальнейшего углубленного изучения. Может оказаться, что вследствие весьма низкого выхода битумоидов из проб (обычно от 2 до 6 мг и только в единичных пробах до 18 мг) и трудностей определения содержания золота в малых навесках полученные нами данные о содержании золота в битумоидах несколько завышены, хотя порядок их, по-видимому, сохранится прежним.

Вместе с тем уже сейчас на основе признания высокой концентрации золотоорганических соединений в рассеянных битумоидах осадочно-метаморфических толщ можно объяснить многие стороны проявления хемогенной золотопосности этих толщ и, в частности, наиболее важную проблему причин относительно редкого появления повышенных концентраций хемогенного золота в черносланцевых толщах на общем аномально повышенном фоне содержащегося в них органического вещества. По-видимому, широко распространенное мнение (Мармо, 1964; Сердюченко и др.; 1969; Созинов, 1973; и др.) о том, что захороняемое органическое вещество само по себе может создавать повышенные концентрации золота, неверно, даже несмотря на обнаружение золотосодержащих бактерий и микроорганизмов. Скорее всего, при колоссально высокой адсорбционной емкости органического вещества осадочно-метаморфических толщ по отношению к золоту аномальные концентрации золота в уровнях повышенных накоплений органического вещества появляются только там, где через это вещество мигрировало достаточное количество золотосодержащих битумоидов.

Присутствие золота в остаточных битумоидах осадочно-метаморфических толщ имеет также прямое отношение к генезису золоторудных месторождений, залегающих в этих толщах. Проблема первичного источника золота этих месторождений не исчезает, а переходит в другую плоскость и открывает возможность для познания вопроса путем строгого и последовательного изучения осадочно-метаморфических толщ на основе литологогеохимического метода.

ЛИТЕРАТУРА

- Акульшина Е. П., Владимиров А. И., Горовой Л. Я., Ивановская А. В., Кириченко И. И., Кристин В. И., Озерский Ю. А., Писарева Г. М. Литолого-геохимическая характеристика обстановок осадконакопления верхнедокембрийских отложений южного Заангарья Енисейского кряжа.— В кн.: Геохимия докембрийских и палеозойских отложений Сибири. Новосибирск, «Наука», 1973, с. 19–60.
- Благовещенская М. И., Хазанович К. К. О некоторых сульфатах в докембрийских сланцах Енисейского кряжа.— «Записки ВМО», 1957, ч. 86, № 4, с. 499–501.
- Васюевич И. Б., Высоцкий И. В., Корчагина Ю. И., Кривошеева З. А., Соколов Б. А. Литогенез и нефтеносность вендских отложений Московской синеклизы.— В кн.: Литология и осадочная геология докембрия. М., 1973, с. 38–41. (Тез. докл. X Всес. литологич. совещ. 16–19 апреля 1971 г.).
- Вышемирский В. С., Канторович А. Э., Трофимук А. А. Миграция рассеянных битумоидов. Новосибирск, «Наука», 1971. 168 с.
- Глебовская Е. А. Применение инфракрасной спектрометрии в нефтиной геохимии. М., «Недра», 1971. 141 с.
- Глухов В. С. Технология извлечения золота и серебра из руд и концентратов.— В кн.: Труды ВНИИ-1, т. XXXIV. Материалы юбилейной сессии научно-технического совета. Магадан, 1974, с. 133–139.
- Гросс Дж., Скотт В. Осаждение золота и серебра из цианистых растворов углем. М., ГОНТИ, 1938. 218 с.
- Жуков А. Золото и микроорганизмы.— «Цветные металлы», 1966, № 10, с. 18.
- Жукова Р. И. Связь золота, цинка, свинца с органическими веществами и водорасторимые формы элементов во вторичных ореолах рассеяния.— В кн.: Ежегодник СибГЕОХИ за 1973 г. Новосибирск, «Наука», 1974, с. 247–250.
- Ильин Б. В. Природа адсорбционных сил. М.— Л., Гостехиздат, 1952. 188 с.
- Катченко С. М. Малые химические элементы в осадочных породах и нефтях. М., Гостехиздат, 1959. 271 с.
- Кириченко Г. И. Стратиграфия докембрая западной окраины Сибирской платформы и ее складчатого обрамления.— В кн.: Материалы по геологии и полезным ископаемым Восточной Сибири. Л., «Недра», 1967, с. 2–48. (Труды ВСЕГЕИ. Нов. серия, т. 112).
- Константинова И. М. Состав речных илов и распределение в них рудных элементов на участках потоков рассеяния в Восточном Забайкалье.— В кн.: Ежегодник СибГЕОХИ за 1969 г. Иркутск, 1970, с. 231–235.
- Коротаева И. Я. Геохимия золота в мезозойских континентальных отложениях Удино-Даниской депрессии (Восточное Забайкалье).— В кн.: Ежегодник СибГЕОХИ за 1970 г. Иркутск, 1971, с. 294–299.
- Коротаева И. Я., Поликарпочкин В. В. Содержание золота в осадочных породах района Нерчинского завода (Восточное Забайкалье).— «Геохимия», 1969, № 11, с. 1386–1391.
- Коротаева И. Я., Поликарпочкин В. В. Золото в органических остатках и железистых осадках современных речных отложений (Восточное Забайкалье).— В кн.: Ежегодник СибГЕОХИ за 1969 г. Иркутск, 1970, с. 227–230.
- Кузьмин В. М., Тюрик И. Г. Природа сорбции $K Au(CN)_2$ древесным углем.— «Известия вузов. Серия цветная металлургия», 1967, № 4, с. 76–79.
- Лодейников В. В., Извлечение золота из упорных руд и концентратов. М., «Недра», 1968. 203 с.
- Лодейников В. В., Стахеев И. С., Василькова И. А., Игнатьева К. Д., Панченко А. Ф., Шубина О. А., Шучков И. А. Техника и технология извлечения золота из руд за рубежом. М., «Металлургия», 1973. 288 с.
- Мармо В. О возможной генетической связи оруденения с сульфидоносными сланцами.— В кн.: Труды XXI Междунар. геол. конгресса. Вып. III. М., «Мир», 1964, с. 408–412.
- Москвин В. И., Петров В. Г. Природа органического вещества и условия его накопления в глинистых сланцах рифея Енисейского кряжа.— В кн.: Вопросы литологии Сибири. Новосибирск, 1973, с. 41–43. (Труды СНИИГГИМС, вып. 170).
- Москвин В. И., Петров В. Г. Рассеяние органическое вещество глинистых сланцев рифея юго-восточной части Енисейского кряжа.— «Геол. и геофиз.», 1975, № 11, с. 90–96.
- Парес И. Бактериальное выщелачивание золота. Биологическое исследование этого явления и проблема практического применения.— В кн.: VIII Междунар. конгресс по обогащению полезных ископаемых. Т. II. Л., 1968, с. 48–57.
- Петрепилье И. А. Органическое вещество в изверженных и метаморфических горных породах Кольского полуострова.— В кн.: Химия земной коры. Т. I. М., Изд-во АН СССР, 1963, с. 48–62.
- Петров В. Г. Условия золотопосности северной части Енисейского кряжа. Новосибирск, «Наука», 1974. 138 с.
- Поликарпочкин В. В., Коротаева И. Я., Гапон А. Е. Концентрирование хемогенного золота в осадкообразовании.— В кн.: Ежегодник СибГЕОХИ за 1968 г. Иркутск, 1969, с. 240–245.
- Пуниanova С. А. Микроэлементы нефти, их использование при геохимических исследованиях и изучении процессов миграции. М., «Недра», 1974. 214 с.
- Развозжаева Э. А., Петров В. В., Тюкавкина И. А. Органическое вещество в метаморфических породах Патомского нагорья.— «Докл. АН СССР», 1972, т. 204, № 5, с. 1229–1231.
- Раудеепих Т. О. О генезисе эстонского горючего сланца.— кулерсита.— В кн.: Генезис твердых горючих ископаемых. М., Изд-во АН СССР, 1959, с. 69–76.
- Сердюченко Д. П., Потемкин К. В. Редкие элементы в «черных сланцах» и их метаморфических производных.— В кн.: Редкометальность некоторых мегаморфизованных и гранитизированных осадочных комплексов. М., «Наука», 1969, с. 99–122.

- Сидоренко С. А., Сидоренко А. В. Органическое вещество в осадочно-метаморфических породах докембрия. М., «Наука», 1975. 116 с. (Труды ГИН АН СССР, вып. 277).
- Созинов Н. А. Малые элементы как показатель природы углеродистого вещества в метаморфизованных отложениях.— В кн.: Литология и осадочная геология докембрия. М., 1973, с. 309—312. (Тез. докл. X Всес. литологич. совещ.).
- Треппел Б. Хемсорбция. М., ИЛ, 1958. 315 с.
- Беллодж А. Р., Льюис Ф. А. Графит и его кристаллические соединения. М., «Мир», 1965. 256 с.
- Хаузен Д. М., Керр П. Ф. Месторождение тонкодисперсного золота Карлии, штат Невада.— В кн.: Рудные месторождения США. Т. II. М., «Мир», 1973, с. 590—624.
- Шабынин Л. Л. Некоторые экспериментальные данные о миграции золота в гипергенных условиях.— В кн.: Геология золоторудных месторождений Сибири. Новосибирск, «Наука», 1970, с. 137—141.
- Шапошников Г. И., Кузнецова А. Г. О некоторых закономерностях распределения радиоактивных элементов в позднедокембрейских отложениях приангарской части Енисейского кряжа.— «Труды ВСЕГЕИ. Нов. серия», 1968, вып. 142, с. 56—68.
- Шахова А. А., Низамутдинова Р. А. Влияние углистых сланцев на растворение золота.— В кн.: Труды ЦНИГРИ. Вып. 49. М., 1962, с. 115—120.
- Юровский А. Э. Минеральные компоненты твердых горючих ископаемых. М., «Недра», 1968. 185 с.
- Goolsby A. D., Sawyer D. T. Electrochemistry of gold (I) and its complexes in acetonitrile.— «Anal. Chemistry», 1958, v. 40, p. 1978—1983.
- Kundu N. Organic compounds of gold with long chain fatty acids.— «J. Ind. Chem. Soc.», 1952, v. 29, p. 523—524.
- Moore E. E., Rapala R. T. ω -aurothio fatty acids and their salts.— «J. Am. Chem. Soc.», 1947, v. 69, № 2, p. 266.
- Ong H. L., Swanson V. E. Natural organic acids in the transportation, deposition and concentration of gold.— In: Canney F. G. and others, Editors, «Proceedings of the International Geochemical Exploration Symposium, 1968. Colorado School Mines Quart.», v. 64, № 1, 1969, p. 395—426.
- Radtke A. S., Scheiner B. J. Studies of hydrothermal gold deposition (I). Carlin gold deposit, Nevada: the role of carbonaceous materials in gold deposition.— «Economic Geology», 1970, v. 65, № 2, p. 87—102.
- Weiss U. α -auromercapto — acetanilide.— «J. Am. Chem. Soc.», 1945, v. 67, № 8, p. 1424.

В. А. ЗЛОБИН, Л. В. ВЬЮШКОВА

ГЕОХИМИЧЕСКАЯ ХАРАКТЕРИСТИКА ТЕРИГЕННЫХ ПОРОД, ВМЕЩАЮЩИХ РУДНУЮ МИНЕРАЛИЗАЦИЮ НА ЕНИСЕЙСКОМ КРЯЖЕ И В ЛЕНСКОМ РАЙОНЕ

Одна из наиболее важных задач современной геохимии — решить проблему рудообразования в осадочно-метаморфических толщах. Наиболее важно изучить причины появления руд, условия их локализации и признаки для прогноза и оценки. Предлагаемая работа продолжает тему «Условия формирования и индикаторы рудной минерализации в терригенных толщах». Ранее нами была проведена геохимическая классификация основных литологических разностей пород Енисейского кряжа за пределами рудно-геохимический анализ терригенных пород, вмещающих разнотипную рудную минерализацию.

В качестве объектов исследования взяты золоторудные, золото-сульфидные, колчеданные, колчеданно-полиметаллические и медные проявления Енисейского кряжа, а также золоторудные и колчеданные Ленского района. Их геологическая позиция достаточно хорошо известна: в том и другом случае они приурочены к древним терригенным толщам, обнажающимся в юго-западном и юго-восточном обрамлении Сибирской платформы.

Золоторудная и золото-сульфидная минерализация Енисейского кряжа обнаружена главным образом в пределах Центральной золотоносной полосы, протягивающейся в меридиональном направлении от Ангары до г. Северо-Енисейск вдоль восточного крыла Центрального антиклиниория, ядро которого выполнено крупными интрузивными образованиями. Эта минерализация располагается на различном удалении от интрузивных массивов и на различных стратиграфических уровнях: главным образом в нижних и средних частях сухопитской серии (рис. 1, участки 1—13). Вмещающие породы — метаморфизованные в различной степени аналоги глинистых пород, превращенных в филлиты и кристаллические сланцы различного, но чаще кварц-полевошпат-гранат-мусковит-биотитового состава. На ряде объектов эти породы переслаиваются с алевролитами и мелкозернистыми песчаниками.

В Ленском районе золоторудные проявления также известны на различных стратиграфических уровнях: в песчано-сланцевых отложениях нижнего протерозоя, в нижних, средних и верхних частях патомской серии (рис. 2). Как и на Енисейском кряже, породы метаморфизованы в различной степени, но золоторудная минерализация большей частью тяготеет к филлитам.

Колчеданное, колчеданно-полиметаллическое и полиметаллическое оруденение на Енисейском кряже локализовано преимущественно в западной Приенисейской зоне, имеющей, как и золоторудная полоса, субмеридиональное простиранье. Колчеданные и полиметаллические проявления обнаружены также в центральной части Енисейского кряжа (р. Панимба, среднее течение р. Большой Пит). Терригенные породы — углеродисто-глинистые сланцы —, вмещающие колчеданно-полиметаллическую минерализацию в Приенисейской зоне, по существующим представлениям принадлежат верхним частям тунгусской серии. Медная минерализация в центральной части Енисейского кряжа (Злобин, Советов, 1975) найдена в наиболее молодых пестроцветных отложениях тасеевской серии венда (юдомского комплекса).

Сульфидизированные породы на Енисейском кряже и в Ленском районе распространены достаточно широко. Большой частью они располагаются среди метаморфизованных аналогов углеродисто-глинистых сланцев. Сульфидизированными нередко оказываются кварцитовидные песчаники и алевролиты, переслаивающиеся с глинистыми осадками. Для всех типов оруденения характерно тяготение к участкам смены карбонатного осадкоакапеления глинистым, к которым приурочены углеродисто-глинистые породы с максимальной концентрацией сульфидов (Злобин и др., 1975). Такая литологическая ситуация наиболее благоприятна для формирования колчеданной, прожилково-вкрашенной золоторудной, колчеданно-полиметаллической и медной минерализаций и в меньшей мере — для жильных золоторудных и золото-сульфидных проявлений.

Для сравнительного анализа терригенных пород, вмещающих рудную минерализацию, в том и другом регионе проведено радиогеохимическое опробование вмещающих пород с гамма-спектрометрическим определением естественных радиоактивных элементов: урана (по радио), тория и калия по методике, описанной В. А. Бобровым (Бобров, Гофман, 1971; Бобров и др., 1975). Представительные пробы весом до 0,5 кг отобраны из околоврудных пород и прилегающих к ним однотипных литологических разностей в пределах рудных полей или участков. Анализы проведены в лаборатории ядерно-геохимических методов ИГИГ СО АН СССР В. А. Злобиным при участии А. С. Степина и В. Ф. Погребняка под общим руководством В. А. Боброва. Помимо гамма-спектрометрических определений радиоактивных элементов из тех же проб (около 1000) выполнены полные спектральные анализы по приближенно-количественной методике (аналитик Н. А. Яковлева, ИГИГ СО АН СССР), а также количественные спектрохимические определения золота по методике В. Г. Цимбалист (аналитик

В. Г. Цимбалист, ИГИГ СО АН СССР). Классы содержания по спектральным определениям выбраны кратными половине порядка для исключения возможных погрешностей определения элементов. Для полноты геохимического описания приведены данные по элементам-примесям и содержанию золота в мономинеральных пробах рудных минералов из разных образований. Для оценки осадочно-метаморфических пород наиболее важны радиогеохимические данные: они характеризуют природу осадков и роль различных факторов в их формировании. Так, обнаружено, что уран скапливается прежде всего в черных углеродисто-глинистых сланцах и их метаморфизованных аналогах; ториев обогащаются высокоглиноземистые разности пород; концентрация калия — показатель зрелости осадков и интенсивности гидротермально-метасоматических изменений (сериизации). Содержание радиоактивных элементов уменьшается с увеличением в породах примеси карбонатного и кремнистого материала. Однотипные литологические разности на разных стратиграфических уровнях и в участках с неодинаковой степенью метаморфизма близки по радиогеохимическим характеристикам (Злобин и др., 1975).

Рассмотрение радиогеохимических данных дляrudовмещающих пород Енисейского кряжа (см. рис. 1) и Ленского района (см. рис. 2) показывает, что по концентрации урана и тория выделяются две группы пород. Первая представлена собственно черными углеродисто-глинистыми сланцами, обогащенными ураном (на клярковом уровне) и характеризующимися пониженными концентрациями тория. Соотношение урана и тория близко 1. Эти породы вмещают золоторудную минерализацию в нижних частях сухопитской серии (см.

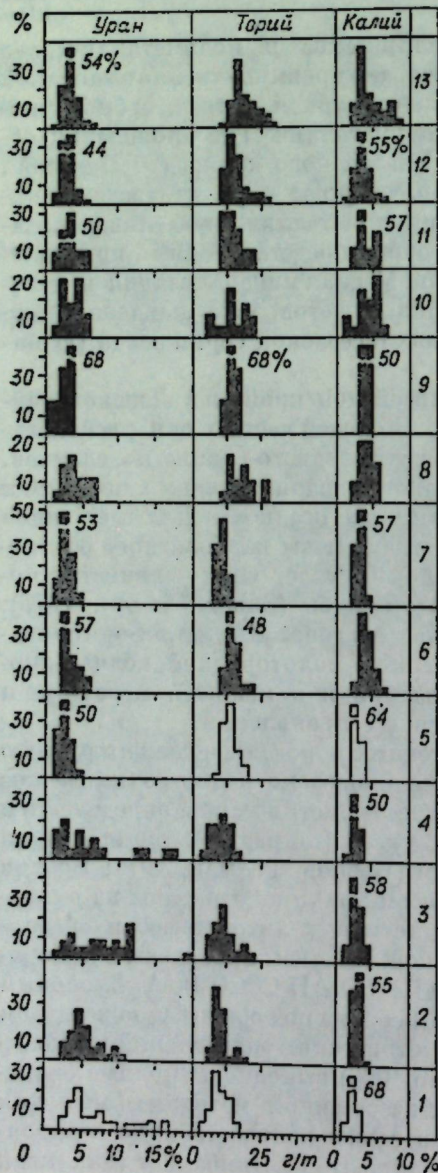


Рис. 1. Распределение радиоактивных элементов вrudовмещающих терригенных породах Енисейского кряжа (белое — за пределами рудных полей, черное — в рудных полях).

1 — в черных углеродистых сланцах нижних частей сухопитской серии; 2 — в тех же образованиях с золоторудной минерализацией; 3 — в углеродистых сланцах тунгусской серии в западной Приенисейской зоне, имеющих колчеданно-полиметаллическую минерализацию; 4 — в углеродистых сланцах нижних частей сухопитской серии, вмещающих конгломераты с колчеданным оруденением; 5 — в филлитах нижних частей удерейской свиты за пределами рудных участков; 6 — в филлитах, вмещающих золото-сульфидную минерализацию на участке 1; 7 — в филлитах, имеющих золоторудную и золото-сульфидную минерализацию на участке 2; 8 — в кристаллических сланцах, вмещающих золоторудную минерализацию в азоаконтакте интрузивного массива; 9 — в кристаллических сланцах, вмещающих золоторудную минерализацию в Северо-Енисейской тайге (участок 1); 10 — в филлитах и алевролитах, имеющих золоторудную минерализацию (участок 2); 11 — в кристаллических сланцах и кварцитовидных песчаниках нижних частей сухопитской серии, вмещающих золоторудную минерализацию (участок 3); 12 — в кристаллических сланцах средних частей сухопитской серии, вмещающих золоторудную минерализацию (участок 4); 13 — в филлитах нижних частей удерейской свиты, вмещающих золоторудную минерализацию в Северо-Енисейской тайге (участок 5).

рис. 1, 2), колчеданно-полиметаллическую в западной Приенисейской (см. рис. 1, 3) и подстилают конгломераты с колчеданным оруденением в среднем течении р. Панимба (см. рис. 1, 4). На Енисейском кряже несколько обогащены ураном сероцветные отложения с медной минерализацией (Злобин и др., 1975; Злобин, Советов, 1975). Рудовмещающие породы этой группы идентичны между собой и аналогичны по распределению урана и тория черным углеродистым сланцам нижних частей сухопитской серии за пределами рудных полей (см. рис. 1, 1).

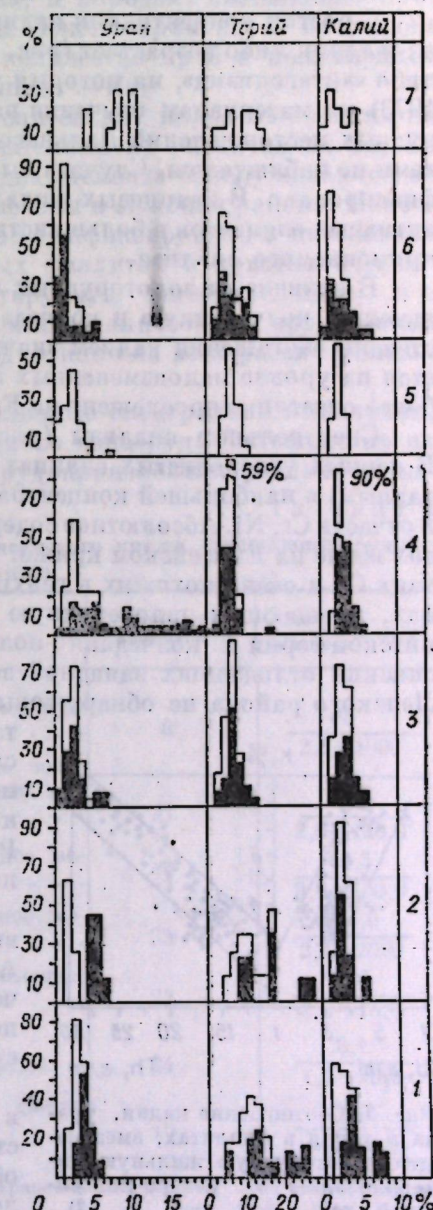
В Ленском районе к подобным породам тяготеет прожилково-вкрашенная золоторудная минерализация (см. рис. 2, 4) и колчеданные проявления, например, в джемкуканской свите (см. рис. 2, 7).

Вторая группа пород, рудовмещающих для большинства золоторудных и золото-сульфидных проявлений Южно- и Северо-Енисейской тайги и жильной золоторудной минерализации на различных стратиграфических уровнях в Ленском районе, в отличие от первой характеризуется пониженными концентрациями урана и повышенными тория. Отношение урана к торию составляет примерно 1:4, что типично также для филлитов и кристаллических сланцев, относящихся к высокоглиноземистым разновидностям осадков, разубожженных в большей или меньшей степени примесью карбонатного и кремнистого материала. Последний представлен кварцевыми, реже кварц-полевошпатовыми алевролитами и песчаниками. Рудовмещающие породы Енисейского кряжа несколько отличаются по содержанию урана и тория друг от друга, что не соответствует точке зрения о принадлежности этих пород одному горизонту или свидетельствует о его фациальных изменениях.

В радиогеохимическом отношенииrudовмещающие терригенные породы Ленского района отличаются от енисейских пониженными концентрациями в них в большинстве случаев тория (особенно для патомской серии) и калия. Так, содержание тория в породах Енисейского кряжа составляет 7,5—12,5 г/т для первой группы и 12,5—17,5 г/т — для второй, а в Ленском районе

Рис. 2. Распределение радиоактивных элементов вrudовмещающих терригенных толщах Ленского района (черное — в пределах рудных зон, белое — за пределами участков развития рудной минерализации):

1 — в нижнепротерозойских песчано-сланцевых отложениях, вмещающих золоторудную минерализацию; 2 — в кристаллических сланцах нижних частей патомской серии (шумсанская свита), вмещающих золоторудную минерализацию; 3 — в филлитах и биотитсодержащих сланцах хомолхинской свиты, вмещающих золоторудную минерализацию; 4 — в филлитах и углеродистых сланцах, вмещающих прожилково-вкрашенное золото оруденение; 5 — в филлитовидных сланцах хомолхинской свиты за пределами рудных участков; 6 — в филлитах дагадыльской свиты, вмещающих золоторудную минерализацию; 7 — в углеродистых сланцах, вмещающих колчеданную минерализацию в джемкуканской свите.



— 6–10 г/т. Содержание его возрастает лишь в высокоглиноземистых песчано-сланцевых отложениях нижнего протерозоя (верхнемихайловская подсвита) и в кристаллических сланцах нижних частей патомской серии, где достигает 16 г/т. Концентрация калия за пределами рудных зон в породах Енисейского кряжа в большинстве проб составляет 2–4, в Ленских — 1–3%.

В пределах рудных зон практически всех золоторудных месторождений в Енисейском кряже и Ленском районе в терригенных породах резко возрастает содержание калия, что связано с серицитизацией вмещающих пород. Макроскопически этот процесс не всегда отчетливо виден. В контактах более мощных кварцево-жильных тел вмещающие породы осветляются. В участках с прожилково-вкрашенной золоторудной минерализацией, сопровождающейся интенсивным развитием сульфидов, этот процесс визуально не прослежен.

Наибольшая концентрация калия (до 7–8%) зафиксирована на золоторудных месторождениях кварцево-жильного типа, залегающих в высокоглиноземистых филлитах и кристаллических сланцах.

С ростом концентрации калия в измененных породах содержание урана и тория либо возрастает (рис. 3), либо остается без изменения. Какого-либо «антагонизма», на который указывал Э. Я. Островский (Островский, 1973) по материалам изучения радиогеохимических особенностей золоторудных месторождений Дальнего Востока, между радиоактивными элементами не наблюдается. Случаев выноса урана и тория с ростом калия не зафиксировано. В кварцевых жилах всех разновидностей содержание радиоактивных элементов в большинстве случаев ниже порогов чувствительности применяемого анализа.

В отличие от золоторудных проявлений в терригенных породах, вмещающих колчеданную и колчедано-полиметаллическую минерализацию, степень обогащения калием значительно меньше. Его концентрация остается на уровне малоизмененных пород за пределами рудных зон, что наиболее отчетливо прослежено на Енисейском кряже (см. рис. 1, 1–4).

Спектральные анализы (рис. 4) позволяют установить следующее. В черных углеродистых сланцах (первая группа, по радиогеохимическим данным) в наибольшей концентрации обнаруживаются Pb, Zn, Cu, Mo, Ag и отчасти Cr, Ni. Абсолютное содержание этих элементов в названных породах выше на Енисейском кряже. Кроме того, обнаружены Tl и в двух случаях Cd в очень похожих в геохимическом отношении углеродистых сланцах, вмещающих золоторудную минерализацию в нижних частях сухонитской серии и колчедано-полиметаллическую минерализацию в тунгусских отложениях западной зоны. Последние два элемента в породах Ленского района не обнаружены. В сероцветных меденосных отложениях тасеевской серии помимо Cu накапливаются Ag, Pb, Zn. При этом ореолы повышенных концентраций Cu и Ag пространственно совпадают с медиистыми песчаниками, а Pb и Zn накапливаются в прилегающих породах (Злобин, Советов, 1975).

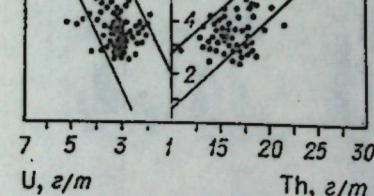


Рис. 3. Соотношение калия, урана и тория в филлитах, вмещающих золоторудную жильную минерализацию в Северо-Енисейской тайге (см. рис. 4, 13).

тых филлитах, особенно в тех, которые обладают повышенными концентрациями тория. Как на Енисейском кряже, так и в Ленском районе наибольшую частоту встречаемости имеет класс от 0,1 до 0,5%. Содержание Ti снижается в породах с колчедано-полиметаллической и колчеданной минерализацией (см. рис. 4, 2, 9). Минимальное количество Zr зафиксировано в породах с колчеданной минерализацией в Ленском районе, на золото-сурьмяных рудопроявлениях Енисейского кряжа. Кроме того, здесь заметно уменьшается процент проб с высокой концентрацией Zr в углеродистых сланцах. Содержание ванадия на золоторудных объектах Ленского района примерно одинаково и понижено в осадках с колчеданными рудами, то же наблюдается и на Енисейском кряже. Аналогично распределется в породах Mn.

В распределении Co, Sr, Ba по большинству объектов заметных различий нет. Так, Co наиболее распространен в концентрации 0,001–0,005%. Незначительное количество проб с повышенным его содержанием отмечается на колчедано-полиметаллических рудопроявлениях, в высокоглиноземистых филлитах Енисейского кряжа, в породах, вмещающих прожилково-вкрашенное золотое оруденение Ленского района. В последнем случае обнаруживается незначительное количество проб с повышенным содержанием Sr и, напротив, с пониженным — Ba.

Помимо уже отмечавшихся отличий енисейских пород от ленских по радиоактивным элементам Tl, Cd примечательны их различия по Sn, La (La на графиках не показан). Последние два элемента обнаруживаются во всех породах Енисейского кряжа и не отмечены в Ленском районе. Наиболее высокое содержание Sn (0,001–0,005%) зафиксировано в интенсивно серицитизированных высокоглиноземистых филлитах и кристаллических сланцах, вмещающих жильную золоторудную минерализацию, и в углеродистых сланцах с колчедано-полиметаллическим оруденением (см. рис. 4, 2, 7, 8); La распределется однотипно на всех рассмотренных объектах.

Все перечисленные элементы, определяемые спектральным анализом, не служат индикаторами какого-либо одного типа руд. Большинство их относится к сквозным и встречается на рудопроявлениях различных ме-

Таблица 1
Содержание золота в терригенных породах Енисейского кряжа, вмещающих рудную минерализацию

Порода	Количество анализов	Среднее Разброс, мг/т
Филлитовидные сланцы, вмещающие золото-сурьмяную минерализацию на участке I	8	65 2,8–1000
Филлитовидные сланцы и алевролиты, вмещающие золоторудную и золото-сурьмяную минерализацию на участке II	21	65 2,8–120,0
Кристаллические сланцы, вмещающие золоторудное месторождение III	24	63,5 9,0–150,0
Кристаллические сланцы, вмещающие золоторудное месторождение IV	33	334,0 2,3–2000
Углеродисто-глинистые сланцы, вмещающие колчедано-полиметаллическую минерализацию	22	5,95 2,0–14,0
Углеродистые сланцы, вмещающие колчеданные руды	24	8,1 1,4–20,0
Алевролиты, песчаники и сланцы чистяковской свиты, вмещающей медную минерализацию	10	1,0 1,0–2,0

Причина. Здесь и далее средние содержания вычислены без учета экстремальных значений.

Содержание Ti, Zr, V и Mn повышено в терригенных породах, вмещающих собственно золоторудную минерализацию. Ti обычно накапливается в золотоносных углеродистых сланцах и высокоглиноземис-

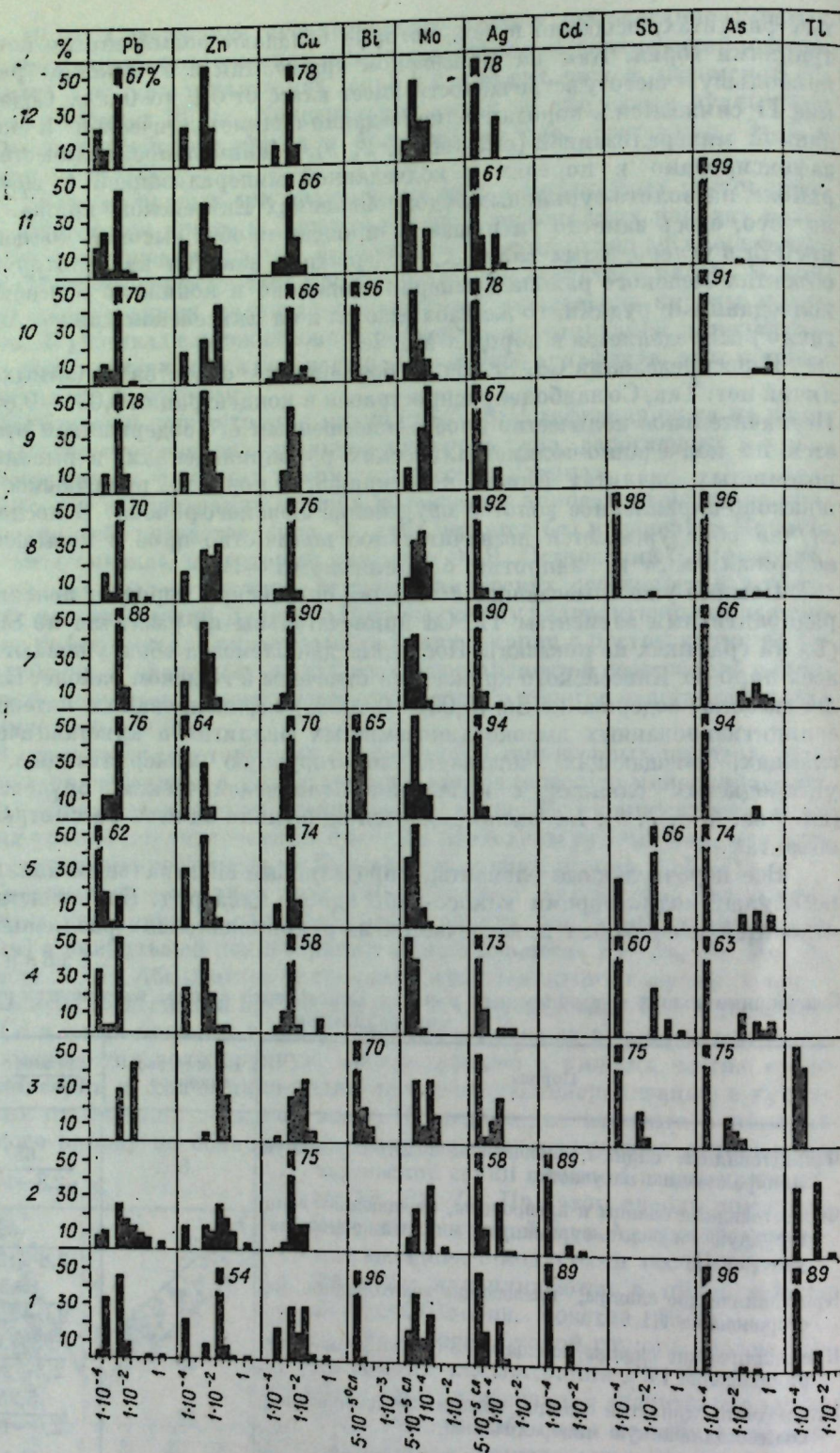
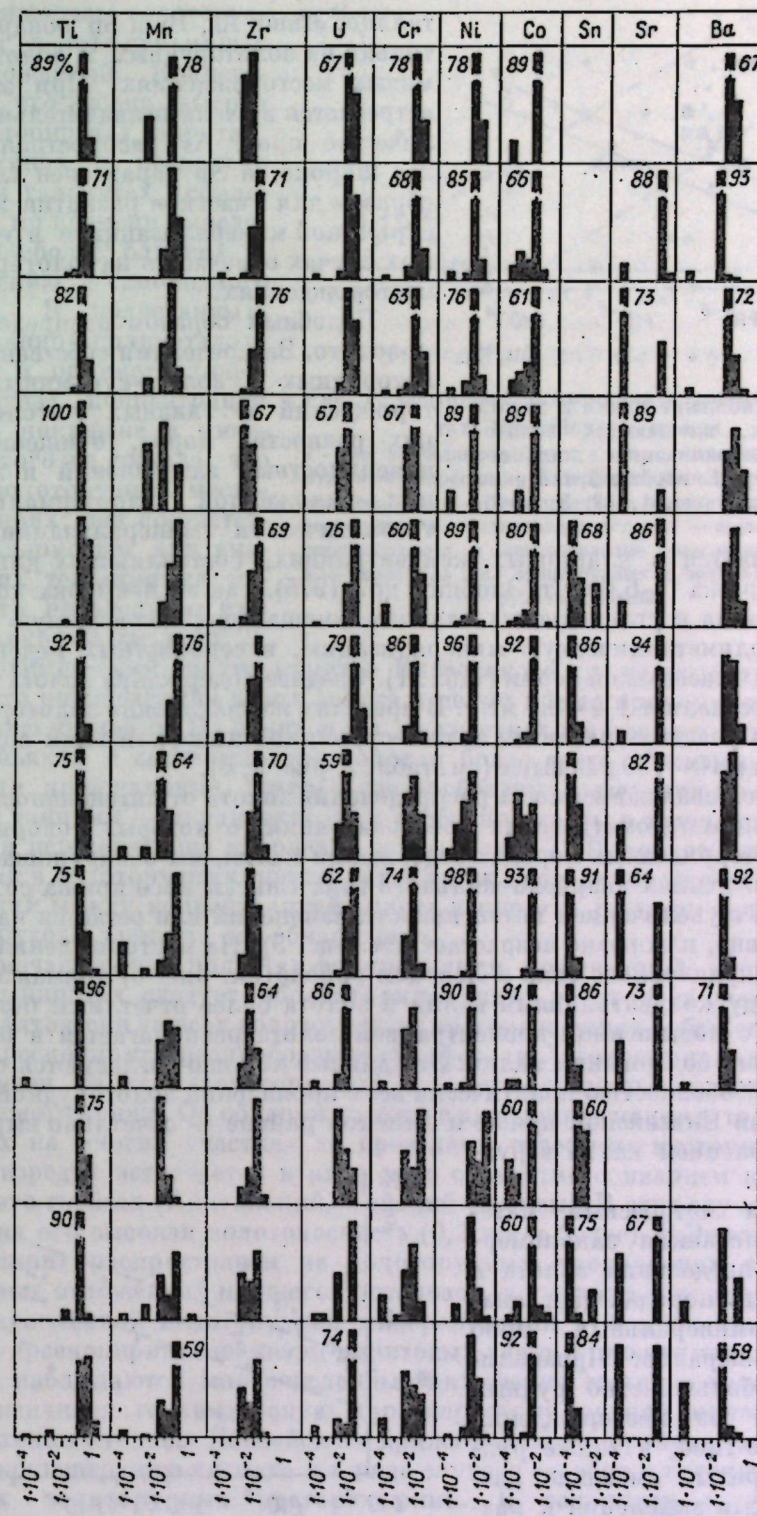


Рис. 4. Гистограммы распределения элементов-примесей в рудоемещающих

1 — в углеродистых сланцах нижних частей сухопитской серии, вмещающих золоторудную колчеданно-полиметаллическую минерализацию в западной Приенеисской зоне (см. рис. 1, 4); 2 — в филлитах, вмещающих золото-сурымниковую минерализацию на участке 2 ририи, имеющие золоторудную минерализацию (см. рис. 1, 10); 7 — в кристаллических сланцах в Северо-Енисейской тайге (см. рис. 1, 12); 8 — в филлитах нижних частей удерейской свиты в углеродистых сланцах дикемукансской свиты, имеющие колчеданную минерализацию (см. рис. 2, 2); 11 — в филлитах хомолхинской свиты, имеющие золоторудную минерализацию (см. рис. 2, 4); 12 — в сланцах дагадынской свиты,



терригенных породах Енисейского кряжа и Ленского района.

минерализацию (см. рис. 1, 2); 2 — в углеродистых сланцах, вмещающих колчеданную минерализацию в западной Приенеисской зоне (см. рис. 1, 4); 3 — в углеродистых сланцах нижних частей сухопитской серии, вмещающих золоторудную минерализацию в Южно-Енисейской тайге, участок 1 (см. рис. 1, 4); 5 — в филлитах, вмещающих золото-сурымниковую минерализацию на участке 2 ририи, имеющие золоторудную минерализацию (см. рис. 1, 10); 7 — в кристаллических сланцах в Северо-Енисейской тайге (см. рис. 1, 12); 8 — в филлитах нижних частей удерейской свиты в углеродистых сланцах дикемукансской свиты, имеющие колчеданную минерализацию (см. рис. 2, 2); 11 — в филлитах хомолхинской свиты, имеющие золоторудную минерализацию (см. рис. 2, 4); 12 — в сланцах дагадынской свиты,

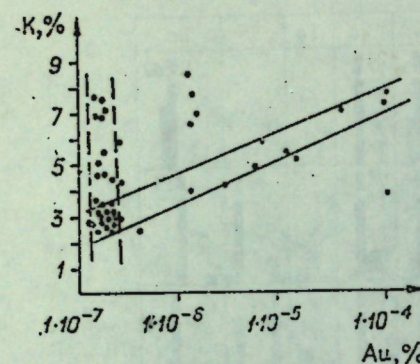


Рис. 5. Соотношение калия и золота в филлитах, вмещающих золоторудную минерализацию жильного типа в Сенчо-Енисейской тайге на участке 5 (см. рис. 1, 13; 3; 4, 8).

обнаруживается в кларковых концентрациях, составляющих для Енисейского кряжа 1—6,6 мг/т (Злобин и др., 1975). Так же невысока концентрация металла в углеродистых сланцах, вмещающих колчеданий и колчеданно-полиметаллическую минерализацию, в сероцветных меденоносных отложениях тасеевской серии (табл. 1). Среднее содержание золота в этих породах составляет 1,4—8,1 мг/т. В пределах же собственно золоторудных полей и на участках развития золото-сульфидной минерализации содержание золота в 10—100 раз выше (см. табл. 1, рис. 5, 6).

Прослеживая зависимость распределения золота от интенсивности гидротермально-метасоматических преобразований, о которых говорит увеличение в терригенных породах содержания калия, мы обнаруживаем, что на месторождениях кварцево-жильного типа Енисейского кряжа содержание золота с увеличением интенсивности изменений или остается на кларковом уровне, или резко возрастает (см. рис. 5). На месторождениях прожилково-вкрашенного типа в Ленском районе (см. рис. 6) прямая зависимость между концентрациями калия и золота более отчетлива: большинство проб с повышенной концентрацией золота располагается в области повышенного содержания калия. Эти данные хорошо согласуются с отмечавшейся особенностью практически всех проявлений золоторудной минерализации в Енисейском кряже и Ленском районе — отчетливо выраженным накоплением калия в рудных зонах.

Весьма интересный материал для познания закономерностей распределения золота в терригенных породах дает анализ мономинеральных проб рудных минералов. Проанализировано большинство рудных минералов из месторождений различного типа, а также рудные минералы, имеющие различное время выделения и различные формы находки в породах: импрегнация, конкреции, жилы и прожилки (табл. 2, рис. 7).

Эти анализы показывают, что золото обогащает все руд-

таллов. Лишь As, Bi и Sb обнаружены только на золоторудных и золотосульфидных месторождениях. При этом Bi встречается в очень незначительном количестве проб, As распространен более широко, а Sb характерен главным образом для участков развития золото-сульфидной минерализации и в единичных случаях отмечается на золоторудных месторождениях.

Подобным образом распределяется и золото. За пределами собственно золоторудных и золото-сульфидных месторождений в главных литологических разностях пород, очищенных от поверхностных загрязнений и лишенных наложенной гидротермально-метасоматической минерализации, опо-

бнаруживается в кларковых концентрациях, составляющих для Енисейского кряжа 1—6,6 мг/т (Злобин и др., 1975). Так же невысока концентрация металла в углеродистых сланцах, вмещающих колчеданий и колчеданно-полиметаллическую минерализацию, в сероцветных меденоносных отложениях тасеевской серии (табл. 1). Среднее содержание золота в этих породах составляет 1,4—8,1 мг/т. В пределах же собственно золоторудных полей и на участках развития золото-сульфидной минерализации содержание золота в 10—100 раз выше (см. табл. 1, рис. 5, 6).

Прослеживая зависимость распределения золота от интенсивности гидротермально-метасоматических преобразований, о которых говорит увеличение в терригенных породах содержания калия, мы обнаруживаем, что на месторождениях кварцево-жильного типа Енисейского кряжа содержание золота с увеличением интенсивности изменений или остается на кларковом уровне, или резко возрастает (см. рис. 5). На месторождениях прожилково-вкрашенного типа в Ленском районе (см. рис. 6) прямая зависимость между концентрациями калия и золота более отчетлива: большинство проб с повышенной концентрацией золота располагается в области повышенного содержания калия. Эти данные хорошо согласуются с отмечавшейся особенностью практически всех проявлений золоторудной минерализации в Енисейском кряже и Ленском районе — отчетливо выраженным накоплением калия в рудных зонах.

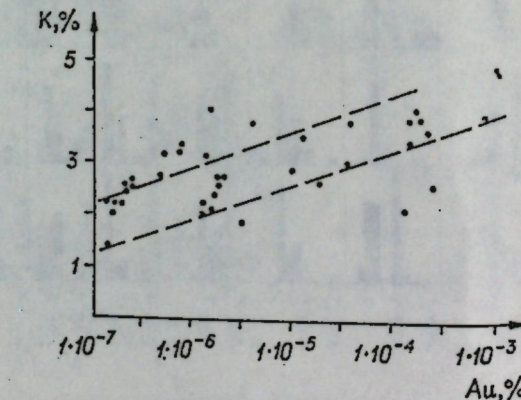


Рис. 6. Соотношение калия и золота в филлитах и углеродистых сланцах, вмещающих прожилково-вкрашенную золоторудную минерализацию в хомолхинской свите (см. рис. 2, 4).

ные минералы золоторудных и золото-сульфидных месторождений. Концентрация его весьма высока в арсенопиритах, пиритах, пирротинах и несколько ниже в галенитах и сфалеритах, по времени выделения наиболее близких к отложению самородного золота. В колчеданных, колчедано-полиметаллических и полиметаллических рудах концентрация золота понижена в минералах того же состава, что и на золоторудных месторождениях; она соответствует кларковым для вмещающих терригенных пород или превосходит их в несколько раз (см. табл. 2).

Геохимический анализ пиритов Енисейского кряжа позволил установить, что концентрация в них золота в целом прямо пропорциональна содержанию мышьяка. На одних и тех же участках и в породах одного состава мышьяком и соответственно золотом более всего обогащены молодые разности: прожилковые, жило- и гнездообразные выделения по сравнению с более ранними — вкрашенными и особенно пириты в ассоциации с кварцем или пересекающие кварцевые жилы (рис. 7). Подобное явление отмечено как в золоторудных полях, так и за их пределами. Определенной зависимости между концентрацией золота в пиритах и содержанием какого-либо другого элемента не обнаружено.

Отмечая важную роль As в формировании повышенной концентрации золота в пиритах, следует обратить внимание на то, что этот элемент образует практически на всех золоторудных месторождениях собственные минералы: арсенопирит и разнообразные сульфосоли. Арсенопирит наиболее распространен на всех золоторудных и золото-сульфидных месторождениях Енисейского кряжа. Он обнаруживается в виде импрегнации в терригенных породах на многих участках за пределами известных месторождений, а также изредка встречается в виде жил совместно с кварцем в гранитах и гранито-гнейсах (Аяхтинский, Тейский массивы). В этих случаях зафиксирована его высокая золотоносность (0,2 г/т и более). В Ленском районе арсенопирит распространен на золоторудных проявлениях в песчано-сланцевых отложениях нижнего протерозоя, в участках развития прожилково-вкрашенной золоторудной минерализации в хомолхинской свите. Здесь в арсенопиритах из кварц-пиритовых гнезд и прожилков под микроскопом наблюдаются многочисленные включения мелкого золота.

Заканчивая геохимическую характеристику рудной минерализации в терригенных толщах Енисейского кряжа и Ленского района, отметим высокую концентрацию висмута и в ряде случаев серебра в галенитах и сфалеритах золоторудных месторождений. В галенитах и сфалеритах из полиметаллических и колчеданно-полиметаллических месторождений висмутами не зафиксирован. Наличие висмута в минералах поздних стадий на золоторудных месторождениях согласуется с минералогическими исследованиями, показывающими сравнительно частую встречаемость в рудах висмутина и самородного висмута. Эти два минерала нередко образуют тесные срастания с самородным золотом, иногда напоминающие структуры распада твердого раствора.

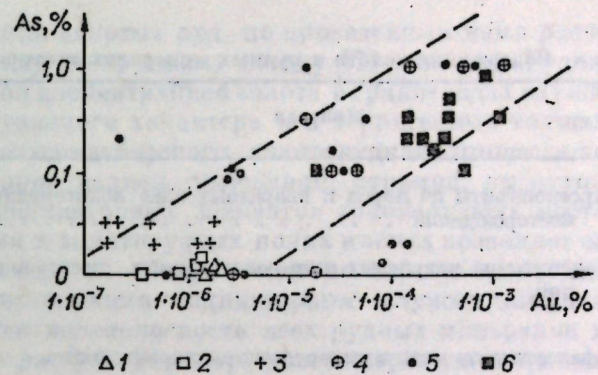


Рис. 7. Соотношение мышьяка и золота в пиритах Енисейского кряжа.

1 — из колчеданных руд; 2 — из полиметаллических руд; 3 — импрегнация в терригенных породах различного состава; 4 — импрегнация в породах, вмещающих золоторудную минерализацию; 5 — жилообразные, гнездообразные и линзообразные выделения пирита; 6 — пириты из жил золоторудных и золото-сульфидных рудопроявлений.

Таблица 2

Содержание золота в рудных минералах месторождений Енисейского кряжа

Минерал	Количество анализов	Средний разброс, мг/т
Арсеношириты из пород и кварцевых жил золоторудных месторождений	18	7611 180—25 000
Галениты из кварцевых жил золоторудных месторождений	4	178 53—330
Сфалериты из жил золоторудных месторождений	5	105 41—240
Антимониты из жил золото-сурьмянных месторождений	2	420 200—640
Пирротины из пород за пределами рудных полей	14	7,7 1,6—20,0
Пирротины из золоторудных месторождений	18	1594 18—15 000
Галениты из полиметаллических месторождений	3	7,3 5—10
Сфалериты из полиметаллических месторождений	3	14,3 10—23,0
Пириты из колчеданно-полиметаллических месторождений	6	4,9 1,2—12,0
Пирит из согрецких гранитов	1	4,7
Пирит из золоторудных и золото-сурьмянных месторождений	40	2681 40—13 000
Пириты из полиметаллических месторождений	4	10,0 5,0—220
Пириты из колчеданных пирит-пирротиповых руд	3	26 22—32

В заключение можно сделать ряд выводов. Черные углеродистые сланцы и сероцветные отложения, обладающие повышенным содержанием урана, характеризуются повышенной концентрацией Pb, Zn, Cu, Mo, Ag. С этими образованиями пространственно совпадают колчеданная, колчеданно-полиметаллическая и медная минерализация. Во всех случаях характерно обогащение минерализованных пород серебром. Для названных типов руд уместно допустить мобилизационное происхождение рудных компонентов путем заимствования их из вмещающих пород. Примечательно, что породы рассматриваемого типа на Енисейском кряже более обогащены перечисленными компонентами, что создает, по-видимому, благоприятные условия для формирования колчеданно-полиметаллических и полиметаллических руд в этом регионе.

В отличие от этого золоторудная и золото-сурьмяная минерализация встречается в породах с различными геохимическими характеристиками. Вероятнее всего, источник Au совпадает с источником Bi, As, Sb.

Повышенная концентрация золота создается в особый гидротермально-метасоматический этап вслед за формированием интрузивных массивов. Время формирования золотого оруденения соответствует периодам интрузивного магматизма. Отметим, что в Енисейском кряже формирование золотого оруденения составляет, по собранным и полученным нами данным, по калий-аргоновому методу 629—670 млн. лет, по уран-торий-свинцовому изохронному — 650—700 млн. лет. В Ленском районе возраст терригенных толщ, подверженных метаморфическим и метасоматическим процессам, 355—450 млн. лет (Геохронология докембрия..., 1968), а наиболее

вероятное время формирования золотых руд, по проведенным нами расчетам, по уран-торий-свинцовому изохронному методу 470 млн. лет. Рудная минерализация с повышенной концентрацией золота в гранитоидах служит свидетельством ее постинтрузивного характера и в терригенных толщах.

Для гидротермально-метасоматического золоторудного процесса характерно обогащение растворов калием, мышьяком, сурьмой, висмутом, выступающими в качестве индикаторных элементов золоторудных месторождений. Накопление калия в золоторудных полях и зонах позволяет использовать экспрессные методы их обнаружения по аэрогамма-съемке. Наиболее надежными геохимическими индикаторами служат мышьяк, висмут, сурьма, повышенная золотоносность всех рудных минералов и, разумеется, пород, в которых распространена рудная минерализация, повышенное содержание в ширитах мышьяка.

Из литологических факторов, благоприятствующих поискам различного типа руд, следует отметить наличие пород с повышенной концентрацией (на кларковом уровне) урана: к ним относят прожилково-вкрашенные и жильные руды золота, колчеданий, колчеданно-полиметаллическая и медная минерализация.

Подчеркнем, что подобные терригенные породы, обогащенные ураном и другими рудными элементами, как правило, формируются в участках смены карбонатного осадконакопления глинистым. Такая ситуация наблюдается на Енисейском кряже (Злобин и др., 1975), в Ленском районе в отложениях паломской серии, например на участках смены карбонатных пород баракунской свиты терригенными хомолхинскими; на Урале как в палеозойских, так и в древних терригенных толщах, например в пределах месторождения Кумак — Сланцевая полоса, Бакал; на большинстве золоторудных проявлений в Западном Узбекистане. Яркий пример благоприятности подобного типа литологической ситуации для формирования рудной минерализации — медно-урановое месторождение Рам Джангл в Австралии, одно из наиболее крупных золоторудных месторождений в Южной Дакоте (рудник Хомстэйк) и др.

Причина этого, по-видимому, заключается в том, что присмене карбонатного режима осадконакопления глинистым происходит максимальное отложение и сохранение в породах органического вещества, создание восстановительных барьеров.

Комплексный анализ литологических ситуаций и минералого-геохимических данных, как показывает пример Енисейского кряжа и Ленского района, можно использовать для выбора рациональных методов ведения поисковых и разведочных работ.

ЛИТЕРАТУРА

- Бобров В. А., Гофман А. М. Лабораторный гамма-спектрометрический анализ естественных радиоактивных элементов. Новосибирск, 1971. 67 с.

Бобров В. А., Крепиделев Ф. П., Гофман А. М. Гамма-спектрометрический анализ в камере низкого фона. Новосибирск, «Наука», 1975. 55 с.

Геохронология докембрия и ее складчатого обрамления» Л., «Наука», 1968. 332 с.

Злобин В. А., Куликов А. А., Бобров В. А. Закономерности распределения радиоактивных элементов в докембрийских отложениях заангарской части Енисейского кряжа.— В кн.: Радиоактивные элементы в горных породах. Новосибирск, «Наука», 1975, с. 198—203.

Злобин В. А., Советов Ю. К. Медь, золото и радиоактивные элементы в отложениях тасеевской серии Енисейского кряжа.— «Геол. и геофиз.», 1975, № 8, с. 147—152.

Островский Э. Я. Антагонизм радиоактивных элементов в полях охорудных изменений и его использование в поисковой аэрогамма-спектрометрии.— «Сов. геология», 1973, № 10, с. 99—107.

Таблица 1

Возраст остаточных кор выветривания районов исследования (составил И. А. Росляков по литературным данным).

И. А. РОСЛЯКОВ, Ф. В. СУХОРУКОВ,
Б. Л. ЩЕРБОВ, Р. Д. МЕЛЬНИКОВА, В. Г. ЦИМБАЛИСТ,
Н. А. ЯКОВЛЕВА

ЗОЛОТО В ДРЕВНИХ КОРАХ ВЫВЕТРИВАНИЯ КАОЛИНОВОГО ТИПА

В работах многих исследователей широко освещено поведение золота в зоне окисления золоторудных месторождений разных формационных типов. Однако приводится очень мало данных о распределении и поведении золота в гипергенных образованиях, расположенных за пределами его месторождений, в том числе в древних корах выветривания. Лишь в последнее время в печати появились работы, в которых обсуждается распределение и некоторые общие черты поведения золота в бокситах (Теняков и др., 1970), карстовых и покровных образованиях (Захаров, 1972; Заруцкий и др., 1971; Киселева, Пономаренко, 1971) и в гипергенных минералах осадочных пород (Никитин, Ясырев, 1974).

Для развития теории геохимических методов поисков золоторудных месторождений в древних сооружениях, совершенствования критериев прогноза и оценки золотых руд по продуктам выветривания представляет интерес изучение поведения золота в процессах корообразования. Это, кроме того, позволяет расширить наши представления о кругообороте его в осадочном цикле. А пока даже среднее содержание золота в породах кор выветривания неизвестно.

Цель нашей работы — рассмотреть распределение, формы нахождения золота и его поведение при образовании кор каолинового типа.

И. А. Росляковым были исследованы опорные разрезы кор выветривания в 50 и более километрах от известных золоторудных полей по семи региональным профилям. Три профили меридиональных (Барнаул — Алма-Ата; Кокчетав — Фрунзе; Тисуль — гора Зеленая) и четыре широтных (Фрунзе — Кульджа; Фрунзе — Приекальск; Кокчетав — Каракус; Тисуль — Горячегорск). Выбраны они с учетом пересечения основных геологических структур, зональных поясов четвертичных отложений, современных климатических и ландшафтных зон. Широтные профили расположены в одной климатической зоне и ориентированы по простианию геологических структур. Расстояние между точками наблюдения на профилях 50—100 км. Объектами наблюдений служили естественные обнажения и карьеры, обилие и доступность которых стали возможными благодаря широкому строительству шоссейных дорог, а также разрезы кор выветривания на окраинах ряда золоторудных полей Сибири, Средней Азии, Казахстана и Камчатки. Ф. В. Сухоруковым и Б. Л. Щербовым в карьерах и по керну скважин собран материал на каолиновом месторождении Ангрен (Средняя Азия), по коре выветривания Северного Казахстана (Кокчетавская глыба) и Украинского щита, а материалы по корам выветривания Прибайкалья любезно предоставлены Ю. Н. Заниным. Всего исследовано на золото около 180 разрезов (табл. 1). Изучено большое разнообразие первичных пород, в которых макроскопически не наблюдается изменений и их продуктов выветривания, по возрасту и составу представляющих почти все разновидности, известные в полях золоторудных месторождений.

Золото анализировалось В. Г. Цимбалист спектрохимическим и Р. Д. Мельниковой — нейтронно-активационным методом. Медь, свинец, цинк, мышьяк и другие элементы анализировались Н. А. Яковлевой приближенным качественным спектральным методом. Минералы глинистых фракций диагностировались с помощью рентгеноструктурного, термического и электронно-микроскопического анализа в лабораториях ИГИГ и СНИИГГИМС. Определялось рН вытяжек и объемный вес пород.

Район исследований	Эпоха корообразования		Литературный источник
	главная	второстепенная	
1	2	3	4
Центральные Кызылкумы (1*)	Домеловая		Рахимова, 1959
	Верхнетриас-нижнеюрская		Кирилов, 1971
	Верхнеюрско-нижнемеловая		
	Ант-альбская		
	Альб-пилюценовая		
	Верхнетриас-нижнеюрская		Перельман, 1955
	Нижне-верхнетриасовая		Петров, Рубанов, 1960
	Верхнетриас-нижнеюрская		Абдуллаходжинев и др., 1963
	Среднетриас-нижнеюрская		Рабкова, 1963
	Дооценовая		
Центральный и Южный Казахстан (8)	Нижне-среднеоценовая		Никфорова, 1960
	Нижне-среднеюрская		
	Ант-альбская (?)		
	Верхнеоценовая		
	Верхнеолигооценовая		
	Плиоцен-плейстоценовая		
	Дат-палеоген-нижнеоценовая		Никитин, Федоренко, 1970
	Триас-юрская		Александров, Нурлыбаев, 1975
	Досреднетриасовая		Федоренко и др., 1973
	Юрско-нижнемеловая		
Северный Казахстан (22)	Юрско-среднеоценовая		
	Верхнеолигооценовая		Лисицына, 1960;
	Нижнемиоценовая		Разумова, 1956
	Верхнетриасовая		
	Эоцен-олигооценовая		Тюрин, 1972
В целом по Казахстану (35)	Нижне-среднеюрская		
	Средне-верхнеюрская		
	Ант-альбская		
	Олигоценовая		
	Миоценовая		
Восточный Казахстан, Западный Алтай (8)	Верхне-триас-нижнеюрская		Малиновский, 1973
	Юрская		
	Палеогеновая		
	Верхнеолигоценовая		
	Верхнециреновая		Щукина, 1956

Окончание табл. 1

1	2	3	4
Салайр, Кузнецкий Алатау (7)	Триасовая (?)		Адаменко, Зальцман, 1970
	Верхнемеловая	Палеогеновая	Жеваго, Карлова, 1973
	Третичная		Зимин, 1959
	Мел-палеогеновая	Плиоценовая	Запин, 1967
	Дат-палеоценовая	Верхнетриасовая (?)	Малолетко, 1966
		Верхнемеловая	
		Олигоценовая	
		Миоценовая	
	Нижнемеловая		
	Средне-верхнетриа- совая	Сухарина и др., 1958	
В целом по горным районам За- падной Си- бири	Сеноман-туронская	Юрская (?)	
	Нижнепалеогеновая	Баррем-антская	
		Миоценовая	
	Верхнемел-палеоцен- новая	Плиоценовая	
	Мел-палеогеновая		Казаринов, 1958
Прибай- калье (4)	Доолигоценовая		
		Дамбровская, 1970	
	Альб-туронская		
	Маастрих-датская	Плиоценовая	Запин, 1967
		Олигоценовая	Логачев и др., 1964
Восточ- ное Забай- калье (95)		Миоценовая	
		Плейстоценовая	
		Верхнепалеоцен- новая	Лейпциг, Левина, 1975
		Позднесоценовая	
		Олигоценовая	
		Миоценовая	
	Нижнемеловая		
	Палеогеновая		Нестеренко, 1973
	Мел-палеогеновая		Постоленко, 1964
	Мел-палеогеновая	Верхнеюрско-ниж- немеловая	Уфимцев, 1973
Централь- ная Камчат- ка (25)	Палеогеновая		Трицинский, Будз, 1967
	Палеоген-неогеновая	Плиоценовая	Заворотных, Сизиков, 1970
	"		Приходько, 1967
	Палеоген-верхнеми- ценовая	Верхнеюрско-ниж- немеловая	Мирчишк, 1967
	Плиоцен-нижнечетвер- тичная		Новоселов, 1964
Украин- ский щит (2)	Палеогеновая		Ганешин, 1964

* Цифры в скобках — количество разрезов кор выветривания, опробованных на золото в данном районе.

ГЕОЛОГИЧЕСКОЕ СТРОЕНИЕ КОР ВЫВЕТРИВАНИЯ

По происхождению и условиям залегания в исследуемых районах выделяются остаточные, наложенные и переотложенные коры выветривания (по классификации И. И. Гинзбурга, 1963). В данной работе рассматривается поведение золота в процессах формирования остаточных кор выветривания.

Изученные коры выветривания расположены в разных частях СССР и имеют профили с близкой вертикальной зональностью, в неодинаковой степени развитой и эродированной. В наиболее полных профилях в полевых условиях макроскопически выделяются четыре зоны, хотя четкие границы между ними установить не всегда просто. Расположение зон в разрезе следующее (снизу вверх):

1. Исходные породы — магматические, метаморфические и осадочные породы, за счет которых развивается кора выветривания.

2. Плотные и слабо дезинтегрированные породы начальных стадий выветривания (сапролиты, по В. П. Казаринову, 1958).

3. Каменный структурный элювий.

4. Глинистый структурный элювий.

Степень распространения кор выветривания и сохранность их профиля коррелируют в первом приближении с развитием древних поверхностей выравнивания и имеют обратную связь с интенсивностью расчлененности современного рельефа. Коры выветривания довольно широко распространены на площадях предгорных равнин. На более ограниченных участках они прослеживаются в горно-холмистых предгорьях и разрозненными небольшими участками сохраняются в горах. Так, в Северном Казахстане, на Украине, в предгорье Алтая, Салайре, в южном обрамлении Западно-Сибирской низменности, в межгорных депрессиях Ангрема, Забайкалья и других районов часто встречаются коры выветривания с полным профилем. В возвышенных участках, особенно в горных районах Кузнецкого Алатау, Забайкалья и Камчатки, глинистый элювий, а иногда, видимо, и верхние части каменного структурного элювия не обнаружены. Коры выветривания здесь представлены главным образом породами, испытавшими начальные стадии гипергенного преобразования, или маломощным каменным структурным элювием, развитым непосредственно на исходных породах, что особенно свойственно криогенным областям.

Относительное возрасте кор выветривания исследуемых регионов нет единого мнения. Корообразование даже в локальных районах происходит в несколько эпох, среди которых выделяются главные и второстепенные, охватывающие период от триаса до верхнечетвертичного времени включительно (см. табл. 1).

В корах выветривания с полным профилем гипергенное минералообразование, хотя и кончается в большинстве случаев исключительным развитием каолинита в верхней зоне, с глубиной в зависимости от состава исходных пород может значительно различаться. Рассмотрим это на примерах кор выветривания магматических (кислых, средних, основных) и метаморфических пород (табл. 2).

При выветривании кислых пород в начальные стадии изменения наиболее интенсивному преобразованию подвергается биотит, который замещается хлоритами, гидробиотитами и, в конечном счете, каолинитами. Практически одновременно с этим калиевый полевой шпат начинает замещаться каолинитом (нейлитизируется), а по плагиоклазу развивается серицит (гидросерицит). Может проявляться преимущественно гидрослюдя (например, исевдоморфозы 10 Å минерала с низким двупреломлением по вкрапленикам полевых шпатов в кварцевых порфирах Ангрема). Далее вверх по разрезу степень изменения пород нарастает, минеральный состав качественно не меняется, хотя увеличивается количество новообразований

Таблица 2

Минеральный состав кор выветривания (по

Выветривающаяся порода	Район	I		II	
		Главные	Второстепенные	Главные	
Гранит	Северный Казахстан Салайр	Кварц, полевой шпат Кварц, полевой шпат	Биотит, гидрослюд Биотит, роговая обманка	Кварц, полевой шпат, гидрослюд Кварц, полевой шпат	
Габбродиорит	Северный Казахстан	Плагиоклаз, роговая обманка	Эпидот, кварц	Плагиоклаз, роговая обманка	
Габбро	Салайр	Пироксен, плагиоклаз	Серицит, карбонаты, эпидот	Пироксен, плагиоклаз	
Пироксенит		Пироксен		Пироксен, монтмориллонит	
Биотит-мусковитовый сланец	Северный Казахстан	Мусковит, кварц, биотит	Хлорит	Мусковит, кварц	

Примечание. Здесь и далее I — исходные породы, II — породы начальных стадий выветривания.

Литик М. Ф. Соколова, СИНИГГИМС

при прогрессирующей роли каолинита. Кроме того, в отдельных случаях встречаются монтмориллонит, галлуазит, метагаллуазит и другие минералы.

В верхней зоне (зона глинистого структурного элювия) абсолютно преобладающим новообразованным минералом является каолинит. В разном количестве, часто незначительном, присутствуют гидроокислы и окислы железа, гидрослюды, монтмориллонит, галлуазит и другие минералы.

Почти по всему профилю значительной части просмотренных разрезов в алевритовой и более крупных фракциях сохраняются реликты минералов исходных пород: кварца, магнетита, циркона, сфена, эпидота, роговой обманки, турмалина, анатаза и др.

По породам среднего состава в начальные и средние стадии выветривания (каменистый структурный элювий) кроме каолинита, гидрослюд и хлорита часто в значительном количестве развивается монтмориллонит, который в верхних частях разреза либо играет подчиненную роль, либо вовсе отсутствует. Комплекс реликтовых минералов практически тот же, что и при выветривании кислых пород при других качественных соотношениях, отражающих состав исходных пород.

В случае, когда профиль выветривания формируется на породах основного состава, новообразованными являются минералы группы монтмориллонита (с преобладанием понтронита), хлорит, гидрохлорит, а в верхней части разреза — окислы и гидроокислы железа в ассоциации с каолинитом. Из реликтовых минералов широко распространены ильменит, сфен, магнетит, лейкоксей, пироксен, порою роговая обманка.

По различным слюдистым сланцам и гнейсам в качестве гипергенных образований развиваются в начальных стадиях гидробиотит, хлорит и каолинит, а затем к верхним частям профиля выветривания роль каолинита возрастает до абсолютного его преобладания среди новообразований. Мусковит сохраняется порой даже в верхних горизонтах глин.

Мощность отдельных зон кор выветривания в зависимости от многих общезвестных факторов изменяется от десятков сантиметров до десятков метров. Полные разрезы распространены ограниченно. Профили выветривания, в которых сохранились или развивались только нижние зоны, представлены наиболее широко. Несомненно, такие разрезы в прошлом играли

данным рентгеноструктурного анализа)

Второстепенные	III		IV	
	Главные	Второстепенные	Главные	Второстепенные
Каолинит, гидробиотит Гетит, роговая обманка	Гидрослюд, кварц Гидрослюд, кварц	Каолинит, полевой шпат Гидробиотит	Каолинит, кварц Гидрослюд, кварц	Полевой шпат, гидрослюд Гидроокись железа
Монтмориллонит, гидрослюд, кварц Гидрослюд, серцит	Каолинит, плагиоклаз Каолинит, пироксен	Монтмориллонит, роговая обманка, кварц Вермикулит, гидрослюд	Каолинит Вермикулит	Монтмориллонит, полевой шпат Вермикулит
Вермикулит Биотит, хлорит, каолинит, гетит	Монтмориллонит Мусковит, кварц	Хлорит, каолинит, гетит, биотит	Каолинит, кварц	Монтмориллонит Мусковит, гетит

выетривания, III — каменистый структурный элювий, IV — глинистый структурный элювий. Ана-

большую роль в гипергенной геохимии золота и других элементов.

Важен тот факт, что древние коры выветривания часто преобразованы более поздними гипергеническими процессами и несут на себе более позднюю наложенную минерализацию. Из числа таких минералов наиболее широко проявлены опал, пирит, сидерит, гидроокислы железа, ярозит, гипс и др.

Что касается новообразованных минералов в неполных профилях кор выветривания, то они такие же, как и в нижних зонах полных разрезов. Многие разрезы сформировались в более позднее время, чем коры выветривания с полными профилями, а некоторые значительно подвержены изменению наложенным процессами, в том числе современного засоления и почвообразования.

Таким образом, вертикальное зональное распределение новообразованных минералов в идеализированном виде может быть представлено так: в низах остаточных кор выветривания среди гипергенных образований преобладают гидрослюды и гидрохлориты в ассоциации с каолинитом, галлуазитом, гетитом, монтмориллонитом и др.; вверх по разрезу повышается роль каолинита, завершается профиль каолинитом, передко с примесью других глинистых минералов и гидроокислов железа.

РАСПРЕДЕЛЕНИЕ ЗОЛОТА В КОРАХ ВЫВЕТРИВАНИЯ

Выявить характер поведения элементов в процессе образования кор выветривания можно лишь на основе четкого представления о их распределении в исходных породах и по всему профилю выветрелых пород. Поэтому в каждом разрезе мы опробовали на золото не только продукты выветривания, но и первичные породы, за счет которых они развиваются.

В первичных породах исследуемых профилей, по данным 173 анализов, распределение золота не противоречит нормальному закону. Его среднее содержание в магматических породах кислого состава варьирует в пределах 2,1—5,45 мг/т. Лишь в пегматитах о. Ольхона содержание золота равно 12 мг/т (см. табл. 4). В породах среднего и основного состава разброс средних содержаний золота несколько выше (0,51—5,09 мг/т, см. табл. 7). Еще выше он в метаморфических образованиях (0,64—9,13 мг/т, см. табл. 9). Среднее содержание золота в исследуемых породах оцени-

Таблица 3

Средние содержания золота в минералах и фракциях первичных пород, мг/т

вается в 3,13 мг/т, при этом в магматических кислых разностях его 3,04 мг/т, в средних и основных — 3,08 и в метаморфических — 4,49 мг/т. Эти данные близки к приводимым Ю. Г. Щербаковым (1974), Н. В. Рогликовой и др. (1975). Можно считать, что описываемые нами профили сформированы на породах с клярковыми содержаниями золота.

Золото обнаруживается практически во всех пордообразующих минералах независимо от типа первичных пород. Обычными его концентратами служат темноцветные минералы, мусковит, магнетит, сфеи, а в терригенных и метаморфических породах, кроме того, сингенетические сульфиды и органический материал. В эфузивных образованиях содержание золота повышено также во фракции — 0,065 мм и в неэлектромагнитной составляющей (табл. 3). По данным Ю. Г. Щербакова (1974), золото в петрогенных и акцессорных минералах находится в виде изоморфной примеси, а в пределах золоторудных провинций — и в форме механических включений, достигающих в поперечнике нескольких микрон.

В корах выветривания распределение золота, как и в исходных породах, не противоречит нормальному закону и не коррелирует с рудными элементами. Дисперсия его содержания не превышает среднеарифметических значений. В целом по изученным корам выветривания коэффициент концентрации золота близок к единице ($K_A = 1,12$ — отношение содержания Au (в мг/м³) в продуктах выветривания к его содержанию в исходной породе). Это позволяет считать, что в глобальном аспекте содержание золота в продуктах выветривания унаследуется от исходных пород и коры выветривания не могут рассматриваться как основной источник растворенного золота, поступающего в моря, океаны и хемогенные осадки. Однако это не означает, что в процессах корообразования золото было инертным. Оно перераспределялось в пределах профиля кор выветривания. Нами установлены специфические черты такого перераспределения, позволяющие понять механизм формирования и местоположение в разрезе коры выветривания так называемых «ложных» экзогенных аномалий, возникающих в безрудных участках и трудно диагностируемых в поисковой практике.

В корах выветривания с полным профилем, развитым на гранитах и гранодиоратах, разброс частного содержания золота колеблется в пределах 0,62—37,56 мг/т, тогда как в исходных породах он составляет 2,1—5,45 мг/т (по данным опробования 17 разрезов кор выветривания). По сравнению с материнскими породами в остаточных продуктах всех выделяемых нами зон полного профиля во многих случаях более высокое и среднее весовое содержание данного элемента (табл. 4). Но при пересчете весового содержания в объемное устанавливается, что в достоверно отличном количестве золото накапливается только в продуктах начальных и конечных стадий выветривания (зоны II и IV соответственно). Каменный структурный элювий (зона III), наоборот, обеднен им. На рис. 1, а по оси ординат отложены коэффициенты концентрации золота (K_A). Величина K_A позволяет сравнивать результаты независимо от содержания золота в исходных породах. Повышение концентраций золота в единице объема во II и IV зонах профиля связано с наличием здесь отдельных обогащенных горизонтов. Местоположение этих горизонтов совпадает с участками существенного изменения pH водной вытяжки, которые обычно тяготеют к переходным частям зон профиля (рис. 2). В целом по 17 разрезам среднее содержание золота в корах выветривания с полным профилем, развитым на гранитоидах, составляет 4,67 мг/т (9,12 мг/м³), а коэффициент концентрации — 1,35.

Приведенные данные показывают, что подвижность золота в различных зонах и их участках была неодинаковой. И в этом отношении интересно знать его положение в миграционном ряду, характеризующем не только профиль, но и отдельные зоны, особенно зону глинистого структурного элювия, представленную во всех случаях конечными продуктами выветривания близкого минерального состава. Расчет привноса — выноса ве-

Минерал	По нашим данным	По литературным данным			
		Щербаков, 1974	Щербаков, Пе- рекогин, 1964	Давлетов, 1970	Mantel, Brownlow, 1967
Кварц	2,2—6,71 25		1,7	1,7	65
Халцедон	3,1—7,82	0,2—19,4 1,3—6,2 1,8—6,3	3,0	1,7	
Полевой шпат					
Микроклин					
Плагиоклаз					
Оlivин	14	0,45—860	14,0 16,0 3,9		
Пироксены					
Нефелин					
Хлорит	8,5—19,5	2—412 1,9—203	8,3	0,4	100
Амфибол	3,00	1,7—207	4,0	7,1	16
Биотит	3,00				
Кальцит					
Мусковит	27,5—891,9	1,4—204 5,3—8360	3,8 65	3,3	37
Магнетит					
Турмалин					
Сфеи	30,7				
Гранат	1,63				
Серицит	1,22				
Тальк					
Незелектромагнитная фракция порфиритов	11—167,0				
Электромагнитная фракция порфиритов (0,065 мм)	10,3—10,6				
Электромагнитная фракция порфиритов (0,25—0,5 мм)	4,67				

щества, проведенный по общепринятой методике абсолютных масс (табл. 5; с целью сокращения этой и следующих подобных ей таблиц промежуточные данные по привносу — выносу элементов не приводятся), позволяет составить представление о миграционном ряде элементов в каждой зоне профиля. При формировании глинистого структурного элювия на гранитоидах золото было подвижнее бария, хрома, ванадия, кобальта, никеля, скандия и цинка, но инертнее титана, меди, молибдена, олова, марганца, свинца и других элементов. При формировании профиля выветривания в целом миграционный ряд элементов был несколько иной, где золото становится инертнее бария. В обоих случаях по миграционной способности золото попадает в группу элементов слабой миграции в окислительной обстановке (по классификации А. И. Перельмана, 1968).

Аналогичное распределение золота по зонам полного профиля установлено и в корах выветривания кислых эфузивов Казахстана (см. табл. 4; рис. 1, а, 5). Но здесь наблюдается некоторый вынос его, в силу чего коэффициент концентрации в целом по 3 профилям составляет 0,96 при среднем содержании 3,04 мг/т (6,14 мг/м³).

Еще больший вынос золота наблюдается из продуктов выветривания кварцевых порфиров Ангrena. Здесь его среднее весовое содержание относительно исходных пород ниже только в глинистом структурном элювии, однако содержание в единице объема закономерно уменьшается от нижних зон профиля к верхним (см. табл. 4, рис. 1, а, 6). В целом по коре выветривания кварцевых порфиров Ангrena коэффициент концентрации золота равен 0,75, а вынос его достигает 25%. Содержание золота снижается до 2,91 мг/т (5,80 мг/м³).

Несмотря на существенное различие в распределении золота по зонам полного профиля кор выветривания кислых пород Казахстана и Ангrena, поведение этого элемента по вертикали профиля в общем идентично.

Таблица 4

Распределение золота в корах выветривания

Тип профиля	Исходная порода	Район	I				II			
			n	\bar{x}	A	K_A	n	\bar{x}	A	K_A
Полный	Граниты	Северный Ка-захстан	13	2,48	6,25	1,32	13	3,56	8,25	
		Западный Ал-тай	1	2,66	6,78		1	4,20	10,80	1,60
Сокращенный	Гранодиориты	Северный Ка-захстан	1	5,45	13,24		4	17,91	39,14	2,96
		Восточный Ка-захстан	2	2,80	7,30		2	2,80	6,72	0,90
Кварцевые породы	Северный Ка-захстан	3	2,52	6,42	3		2,83	6,79	1,06	
	Средняя Азия	4	3,03	7,76	5		3,13	7,29	0,94	
Пегматиты	Прибайкалье	1	12,00	30,0	1		3,60	8,56	0,29	
	Среднее (без пегматитов) . .	24	2,74	6,93	28		5,43	12,31	1,81	
Палеозой- ские граниты	Восточное За- байкалье	12	4,00	9,84	12		2,20	5,06	0,51	
	Восточный Ка-захстан	31	3,30	8,42	21		3,35	8,14	0,99	
Мезозойские граниты	Восточное За- байкалье	3	3,80	9,77	3		3,70	8,99	0,92	
	Западный Ал-тай	2	2,80	7,14	2		1,43	3,48	0,49	
Гранодиориты	Восточное За- байкалье	18	2,10	5,68	16		3,70	7,77	1,37	
	Центральная Камчатка	3	3,90	9,59	5		4,68	10,30	1,08	
Граносинениты	»	4	4,40	11,40	4		4,34	10,50	0,92	
	Гранит-порфиры	»	16	3,40	8,67	16		3,17	7,54	0,87
Среднее	»	5	2,50	6,40	5		2,30	5,57	0,87	
	Среднее	106	3,16	8,53	106		3,29	6,66	0,79	
Общее по всем профилям .			131	3,04	8,41	135	3,63	7,85	0,94	

Примечание. Здесь и далее в подобных таблицах n — количество анализов; \bar{x} — сред-

На Ангрене, как и в Казахстане, золото образует обогащенные горизонты, пространственно совмещающиеся с участками изменения величины pH водной вытяжки выветрелых пород (рис. 3). Горизонтам, обогащенным золотом, предшествует понижение щелочности водной вытяжки. При этом максимумы pH и содержания золота не совпадают. Создается впечатление, что золото чутко реагирует на изменение щелочности среды и «выпадает в осадок» несколько раньше, чем она начнет понижаться. Горизонты вторичного золотого обогащения и участки изменения pH водной вытяжки тяготеют к границам зон профиля (см. рис. 2).

В коре выветривания кварцевых порфиров Ангрена широко проявлены наложенные процессы, выразившиеся в развитии пирита, сидерита, гипса и других минералов (Петров, Рубанов, 1960). Это, естественно, не могло не изменить первоначальное, генетически связанное с процессом об-

магматических пород кислого состава

Тип профиля	Исходная порода	Район	III				IV				В целом по профилю коры выветривания			
			n	\bar{x}	A	K_A	n	\bar{x}	A	K_A	n	\bar{x}	A	K_A
Полный	Граниты	Северный Ка-захстан	13	2,49	5,20	0,83	13	5,25	9,48	1,38	39	3,77	7,64	1,18
		Западный Ал-тай	1	0,62	1,24	0,20	3	2,63	4,73	0,70	5	2,54	5,25	0,77
Сокращенный	Гранодиориты	Северный Ка-захстан	1	1,25	2,35	0,18	7	5,37	9,44	0,71	12	9,18	18,75	1,42
		Восточный Ка-захстан	4	2,20	4,84	0,66	3	2,97	5,55	0,75	9	2,59	5,50	0,75
Кварцевые породы	Северный Ка-захстан	3	2,30	4,83	0,75	3	4,00	6,80	1,05	9	3,04	6,14	0,95	
	Средняя Азия	4	3,72	7,24	0,93	16	2,74	5,15	0,66	23	2,91	5,80	0,74	
Пегматиты	Прибайкалье	1	7,45	16,44	0,55	1	3,40	7,02	0,23	4	5,48	12,18	0,40	
	Среднее (без пегматитов) . .	24	2,38	4,98	0,72	45	4,19	7,72	1,11	97	4,10	8,13	1,17	
Палеозой- ские граниты	Восточное За- байкалье	12	4,80	10,18	1,03					24	3,50	7,62	0,77	
	Восточный Ка-захстан	31	7,50	15,75	1,87					42	5,42	11,94	1,42	
Мезозойские граниты	Восточное За- байкалье	3	13,70	28,77	2,85					7	8,56	20,3	2,08	
	Центральная Камчатка	4	3,05	6,41	0,90					4	2,24	4,94	0,69	
Гранодиориты	Восточное За- байкалье	18	13,30	26,60	4,68					29	8,00	15,95	2,85	
	»	5	7,20	14,40	1,50					10	5,94	12,35	1,29	
Граносинениты	»	22	5,90	12,39	1,30					44	4,68	9,68	1,01	
	Гранит-порфиры	16	5,20	11,44	1,32					32	4,19	9,49	1,10	
Среднее	»	5	6,30	14,11	2,20					10	4,30	9,84	1,54	
	Среднее	106	7,30	15,35	1,79					206	5,19	10,71	1,25	
Общее по всем профилям .			126	6,28	13,36	1,58	46	4,17	7,70	1,10	307	4,81	9,86	1,19

нее арифметическое содержание золота, мг/т; A — то же, мг/м³; K_A — коэффициент концентрации.

разования собственно каолинового профиля распределение не только золота, но и макроэлементов (табл. 6, см. рис. 3). Типичные в окислительной обстановке мигранты (магний, кальций, отчасти марганец) в коре выветривания Ангрена накапливаются, тогда как более инертные элементы выпесены в значительном количестве. Тенденция выноса золота из зон профиля такая же, как у Na_2O и K_2O (рис. 4), но золото инертнее этих компонентов.

В полных профилях выветривания, развитых на пегматитах, характеризующихся более высоким содержанием золота, оно тоже вверх по разрезу выщелочено в больших масштабах (см. табл. 4, рис. 1а, 7). Его вынос из профиля составляет около 50% (коэффициент концентрации 0,46, среднее содержание 5,48 мг/т, или 12,23 мг/м³). Для этого профиля, как и для Ангрена, характерна среда, близкая к нейтральной, в отличие от щелочных сред рассмотренных профилей Казахстана. Однако и здесь с по-

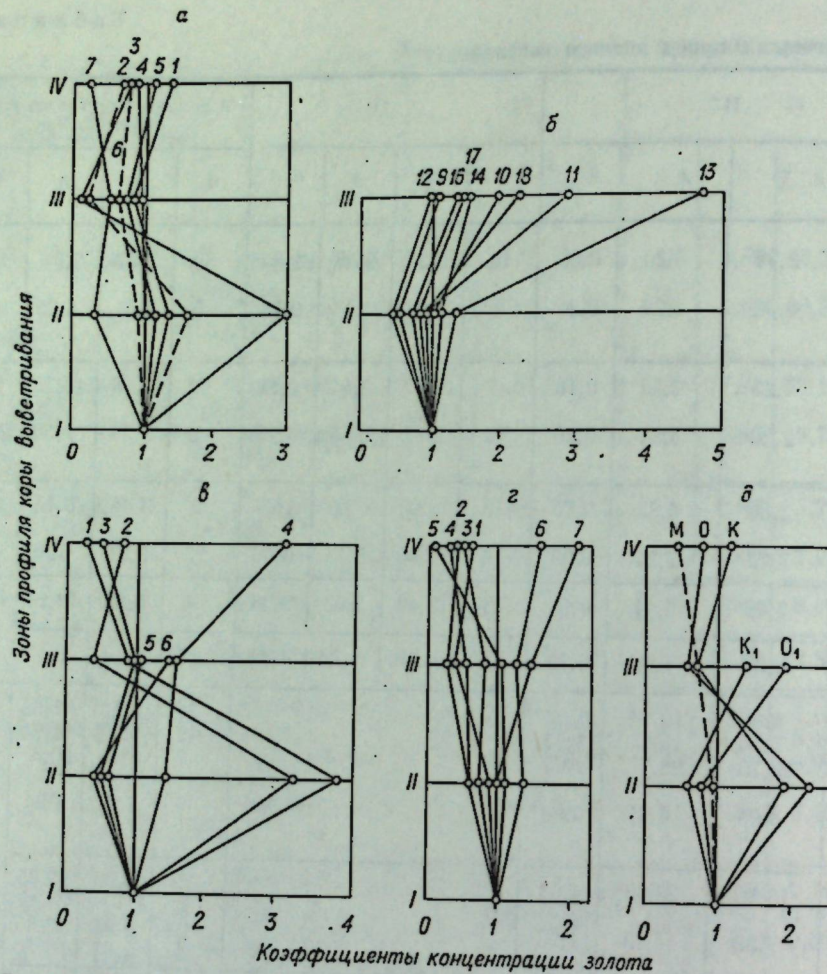


Рис. 1. Значения коэффициентов концентрации золота в различных зонах профилей коры выветривания.

Зоны: I — исходных пород; II — начальных стадий выветривания; III — каменного структурного элювия; IV — глинистого структурного элювия. Профили коры выветривания магматических пород кислого состава: а — полные, б — сокращенные, в — профили коры выветривания пород среднего и основного состава; г — профили коры выветривания метаморфических пород; д — средние значения коэффициентов концентрации золота в продуктах полных профилей выветривания метаморфических (М), основных (О) и кислых (К) пород и неполных профилей на кислых К₁ и основных О₁ породах соответственно.

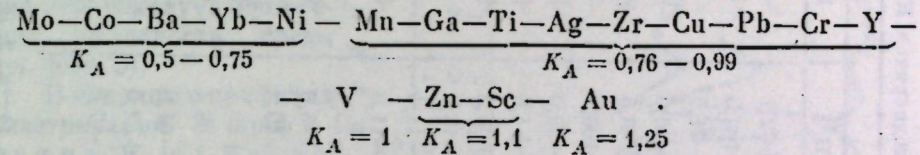
вышением щелочности вниз по разрезу содержание золота возрастает; последующее понижение сопровождается уменьшением его содержания.

Таким образом, в изученных полных профилях выветривания изверженных пород кислого состава золото накапливается в одних зонах за счет выноса из других. Его коэффициент концентрации по отдельным профилям 0,18—2,96 при среднем 1,35, свидетельствующем, что в древних корах выветривания гранитоидов золото склонно к накоплению. При выветривании кислых эфузивов и пегматитовых тел коэффициент концентрации золота варьирует от 0,29 до 1,06 при среднем 0,82, указывающем на незначительный вынос его.

В неполных профилях кор выветривания гранитоидов наиболее существенные особенности распределения золота — понижение его содержания в продуктах начальных стадий гипергенического преобразования (зоны II) и заметное увеличение концентрации в каменном структурном элювии (см. рис. 1, б). Распределение золота зон III и II сокращенных профилей на гранитоидах как бы параллелизуется с распределением в зонах IV и III полных профилей. В профилях обоих типов содержание элемента выше в верхней зоне и ниже — в подстилающей.

Поскольку неполные профили обычно маломощны, строгой закономерности в образовании отдельных, обогащенных золотом горизонтов не установлено. С достоверностью можно лишь считать, что в зоне каменного структурного элювия несколько больше золота содержится в низах зоны.

Коэффициент концентрации золота в неполных профилях выветривания гранитоидов 0,51—4,68 при среднем 1,25. Средние коэффициенты концентрации в полных и неполных профилях практически одинаковы (см. табл. 12; составлена по данным табл. 4, 7, 9), хотя распределение золота по профилю существенно различно. Отличие наблюдается и в положении золота в миграционном ряду элементов. Если в полных профилях оно было подвижнее хрома, ванадия, никеля и других элементов-примесей гранитоидов (см. табл. 5), то в неполных профилях инертнее их, что видно из следующего ряда:



Этот ряд, построенный также с учетом изменения объемного веса по-

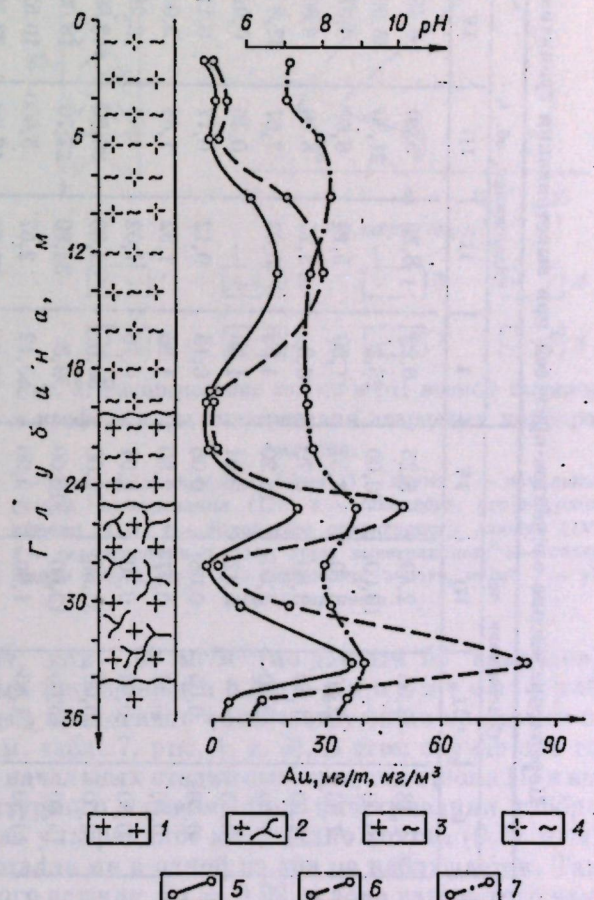


Рис. 2. Распределение золота и pH водной вытяжки в профиле коры выветривания гранодиоритов Кончетавской глыбы.

1 — гранодиориты; зоны: 2 — начальных стадий выветривания, 3 — каменного структурного элювия, 4 — глинистого структурного элювия; 5 — содержание золота, мг/т; 6 — содержание золота в пересчете на единицу объема, мг/м³; 7 — pH водной вытяжки.

Таблица 5

Перераспределение элементов-примесей при выветривании гранитов и гранодиоритов Казахстана

Элемент	Содержание, вес. %				Содержание, об. %				Привнос-вынос, %				По КВ и пе. лом
	I	II	III	IV	I	II	III	IV	II	III	IV		
Au	2,48	3,56	2,49	5,25	6,25	8,25	5,20	9,45	+32,1	-16,8	+51,2	+22,2	
Ag	10,00	—	10,00	20,00	25,2	—	21,30	36,00	-100,0	-15,5	+18,6	-33,3	
Pb	7,03	2,20	3,10	3,37	17,80	5,10	6,60	6,07	-71,4	-63,0	-65,7	-66,7	
Cu	2,50	1,40	3,80	2,70	6,3	3,25	8,09	4,86	-48,0	+27,5	-22,8	-14,4	
Zn	1,60	2,60	3,60	18,20	4,03	6,03	7,67	32,8	+46,5	+90,3	+712,9	+283,2	
Bi	0,63	—	0,17	0,01	1,33	—	0,36	0,01	-100,0	-73,9	-99,3	-91,4	
Mo	0,06	0,05	0,08	0,06	0,15	0,12	0,17	0,11	-20,0	+13,3	-26,7	-41,1	
Ni	0,50	0,57	0,77	2,80	1,26	1,32	1,64	5,04	+4,8	+30,2	+300,0	+111,7	
Co	0,30	0,44	0,70	0,91	0,76	1,02	1,49	2,38	+34,2	+96,1	+213,2	+114,4	
Ba	32,00	30,00	32,50	71,00	80,6	69,60	69,20	145,80	-13,6	-14,4	+80,9	+17,6	
Sr	15,60	15,00	13,00	10,00	39,3	34,80	27,70	18,00	-11,4	-29,3	-54,2	-31,6	
Cr	19,50	1,45	1,90	5,90	3,12	2,67	3,950	10,62	-11,6	+30,8	+90,4	+36,5	
Zr	13,00	9,40	8,80	13,20	32,8	21,80	18,70	23,70	-33,4	-42,9	-27,4	-34,6	
Mn	35,80	35,00	60,80	28,60	96,2	81,20	129,50	51,50	-15,6	+34,6	-45,4	-8,8	
Ti	231,0	205,00	254,00	345,00	582,00	348,00	514,00	623,00	-40,2	-6,9	+7,0	-13,4	
V	2,70	3,80	6,10	9,4	6,80	8,82	12,99	16,38	+29,7	+91,0	+140,7	+87,1	
Ca	2,53	1,70	2,80	2,9	6,38	3,94	5,960	5,22	-38,4	-6,6	-18,2	-21,1	
Y	1,30	0,55	0,99	1,26	3,28	1,28	2,08	2,27	-61,0	-39,0	-30,8	-43,6	
Sc	0,20	0,35	0,60	1,3	0,50	0,81	1,28	2,34	+62,0	+156,0	+368,0	+196,0	
Р II	9,60	8,90	9,15	8,88	—	—	—	—	-4,7	-7,6	-7,5	-6,6	
Объемный вес, $\text{г}/\text{см}^3$	2,52	2,32	2,13	—	—	—	—	—	—	—	—	—	

Приимечания: 1. Здесь и далее в полюбных таблицах содержание Au и Ag в $\text{mg}/\text{т}$; остаточных элементов — в 10^{-14}кг ; 2, 3 — каменного зоне по 13 анализов. З. Убийствами подчинности элементов: Bi-Sn-Pb-Yr-Zr-Ag-Sr-Ga-Cu-V-Mo-Ni-Pt-Mn-rpII-Ba-Au-Gr-V-Ni-Cu-Zn-Sc-Zn.

вания гранитоидов Дарасуского района). Повидимому, накоплению наложенного золота в каменном структурном элювии в некоторой мере способствовало понижение щелочности среды в рамках наблюденного интервала. Это согласуется и с поведением золота в полном профиле, где горизонту золотого обогащения предшествует понижение щелочности среды (см. рис. 3).

В неполных профилях выветривания порфиритов и их туфов, как и в профилях соответствующих типов на кислых породах по сравнению с исходными породами более высокое содержание золота свойственно каменному структурному элювию (зона III) и понижение — продуктам начальных стадий выветривания (зона II) (табл. 7, см. рис. 1, б, породы 5 и 6). По данным 28 разрезов в Центральной Камчатке и Кузнецком Алатау следует, что при выветривании порфиритов около 10% золота вынесено, причем в условиях Кузнецкого Алатау оно мигрировало лучше ($K_A = 0,77$). Среднее содержание золота в продуктах выветривания порфиритов и их туфах составляет 3,56 $\text{mg}/\text{т}$, или 7,69 $\text{mg}/\text{м}^3$ (по данным 56 анализов).

Золото в разрезе полных профилей габбро распределяется в общем аналогично соответствующим профилям на породах кислого состава (см. табл. 7, рис. 1, в, д). В этом случае оно тоже накапливается в породах начальных стадий выветривания (зона II) и вынесено из каменного структурного элювия. При выветривании габбро, имеющего в исходном составе ультрамалое количество золота (0,51 $\text{mg}/\text{т}$), накопления благородного металла ни в одной из зон не наблюдается. Так, в зоне каменного структурного элювия $K_A = 0,67$.

На габброидах, характеризующихся обычным содержанием золота (1—5 $\text{mg}/\text{т}$), остаточные продукты, наоборот, обогащены им ($K_A = 1,67$ —1,89). В общем балансе кор выветривания габброидов коэффициент концентрации золота составляет 1,37, а среднее содержание 6,19 $\text{mg}/\text{т}$ (12,01 $\text{mg}/\text{м}^3$, по данным 34 анализов).

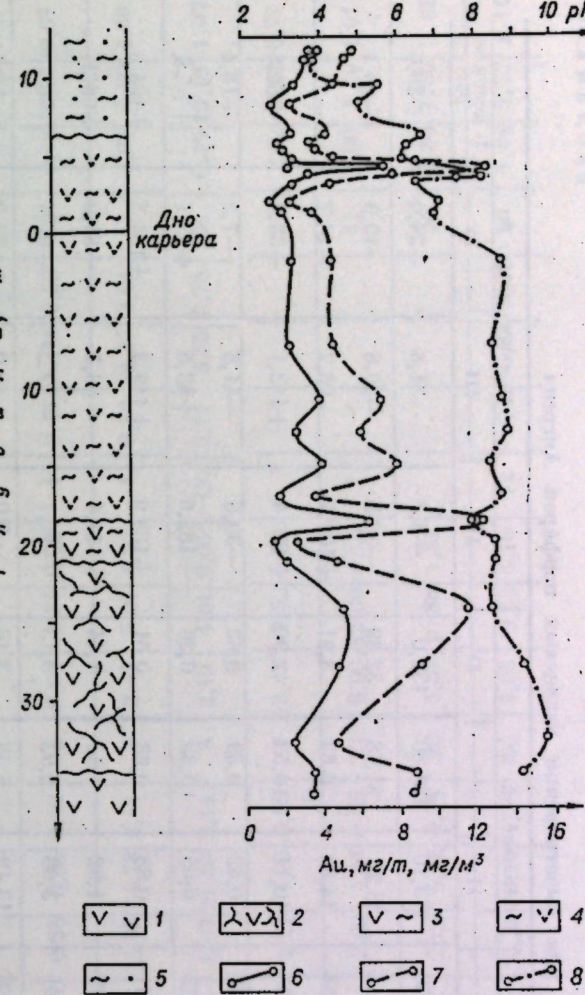


Рис. 3. Распределение золота и pH водной вытяжки в профиле коры выветривания кварцевых порфиров Ангрема.

1 — кварцевые порфириты; (зона I) — зоны: 2 — начальных стадий выветривания (II). 3 — каменного структурного элювия (III), 4 — глинистого структурного элювия (IV). 5 — переотложенные глины коры выветривания; 6 — содержание золота, $\text{mg}/\text{т}$; 7 — содержание золота, $\text{mg}/\text{м}^3$; 8 — pH водной вытяжки.

Перераспределение элементов при выпаривании кварцевых порфиропилитов Аргира

Элемент	Содержание, вес. %				Содержание, об. %				Принес-чество, %			
	I	II	III	IV	I	II	III	IV	II	III	IV	В целом по КВ
SiO ₂	70,90	70,00	63,50	68,10	181,50	173,10	123,80	138,0	-4,7	-31,8	-24,0	-20,6
Al ₂ O ₃	15,67	12,13	16,30	40,12	28,26	34,78	32,39	-29,5	-20,8	-19,9	-46,7	-20,4
Fe ₂ O ₃	2,63	5,95	3,45	2,08	7,34	14,86	6,63	3,91	+102,4	-96,7	-33,3	-11,5
FeO	1,70	4,34	5,40	1,54	4,35	10,11	10,53	2,90	+130,4	+142,1	-41,8	+80,5
TiO ₂	0,26	0,18	0,25	0,33	0,67	0,42	0,39	0,62	-30,6	-41,8	-7,2	-16,4
MnO	0,00	0,28	0,17	0,14	0,23	0,65	0,33	0,26	+182,6	+43,5	+13,1	+78,3
MgO	0,42	0,38	0,35	0,43	0,31	0,88	0,68	0,81	+183,9	+119,3	+164,5	+164,5
CaO	0,31	0,78	0,75	0,77	0,79	1,92	1,46	1,44	+144,4	+83,5	+81,0	+96,2
Na ₂ O ₃	1,41	1,32	0,45	0,07	3,61	3,08	2,92	0,43	-14,7	-19,2	-96,4	-62,6
K ₂ O	5,42	5,66	4,30	1,69	13,88	13,19	8,38	3,16	-5,0	-40,0	-77,0	-58,1
II. п. п.	1,66	3,75	6,20	7,37	4,24	7,94	11,99	13,86	+87,3	+182,8	+226,9	+192,7
Au, мг/т	3,03	3,13	3,72	2,74	7,76	7,29	7,24	5,15	-5,7	-6,7	-34,4	-25,2
pH подной вытяжки	9,11	8,87	8,45	7,46					-2,2	-9,9	-18,1	-14,3
Объемный вес, г/см ³	2,56	2,33	1,95	1,88								
Количество анализов	4	5	2	16								

Приимечание. Убывающий ряд подвижности элементов: Na₂O—K₂O—Au—SiO₂—Al₂O₃—H—TiO₂—Fe₂O₃—MnO—FeO—CaO—MgO.

Таблица 7

Распределение золота в коре пылевризации магматических пород среднего и основного состава

Тип про-филя	Исходная по-родка	Район	I				II				III				IV				V			
			n	X	A	n	X	A	n	X	A	n	X	A	n	X	A	n	X	A	K _A	
Полиад	Габбро-диориты	Северный Казахстан	1	4,63	12,69	4	21,01	48,64	3,80	1	6,55	11,33	0,90	5	4,47	6,93	0,55	10	11,3	24,05	1,88	
		То же	1	5,09	14,40	2	26,44	49,10	3,48	1	3,35	5,39	0,37	2	7,49	1,54	0,78	5	14,2	26,2	1,89	
	Габбро	Украина	1	0,51	1,44	4	0,38	0,86	0,59	4	0,60	1,34	0,92	4	0,46	0,71	0,50	12	0,46	0,97	0,67	
Среднее			4	1,20	3,38	4	2,38	4,78	1,41	2	2,45	5,01	1,50	1	6,70	10,17	3,01	7	3,01	5,60	1,66	
Непол-ный	Порфири-ты и их ту-фы	Кузнецкий Алатау	7	3,00	7,92	7	2,17	4,73	0,58	7	3,47	7,52	0,95					14	2,82	6,42	0,77	
		Централь-ная Камчатка	21	3,00	8,10	21	2,00	4,44	0,55	21	6,00	12,00	1,48					42	4,00	8,20	1,01	
Среднее			28	3,00	8,05	28	2,04	4,52	0,56	28	5,37	10,88	1,31					56	3,56	7,69	0,91	
Общее по всем профилям			32	3,08	8,02	42	3,38	10,16	1,26	36	4,65	9,35	1,16	12	3,77	5,85	0,78	90	4,64	9,32	1,16	

Таблица 8

Перераспределение золота при выветривании габбро

Элемент	Содержание, вес. %		Привнос-вынос		Минеральный состав
	I	IV	г/см ³ , IV	%, IV	
SiO ₂	47,77	34,57	-67,79	-54	Исходные породы: ши-роксены, плагиоклаз.
Al ₂ O ₃	17,02	22,0	-7,92	-18	
Fe ₂ O ₃	1,58	20,24	+29,96	+900	
FeO	8,48	0,25	-22,88	-98	
TiO ₂	1,07	4,23	+4,23	+250	
MgO	8,31	0,28	-21,19	-97	
CaO	10,48	0,48	-38,12	-98	
Na ₂ O	2,27	0,14	-5,74	-96	
K ₂ O	0,22	0,26	-5,36	-93	
P ₂ O ₅	0,19	0,37	+0,12	+124	
S общ	0,20	0,09	-0,38	-70	
Au	0,72	1,71	+1,81	+112	
pH	8,3	6,6	-1,70	-21	
Объемный вес, г/см ³	2,63	1,67			
Число анализов . . .	3	5			

Приимечание. Убывающий ряд подвижности элементов: FeO—CaO—MgO—Na₂O—K₂O—S общ—SiO₂—H—Al₂O₃—Au—P₂O₅—TiO₂—Fe₂O₃.

Несмотря на различие среднего содержания золота в корах выветривания габброидов и гранитоидов, коэффициенты концентрации его удивительно близки (1,37 и 1,35 соответственно).

О миграционной способности золота в сравнении с другими элементами можно судить по ряду их подвижности при формировании на габбро-глинистого структурного элювия. Расчет баланса привноса — выноса вещества показывает, что в этом случае золото было подвижнее фосфора, титана и окисного железа, но инертнее остальных пордообразующих элементов (табл. 8). Как и в профилях выветривания гранитоидов, золото тяготеет к группе элементов с низкой подвижностью.

Совпадение в характере поведения золота при выветривании габброидных и гранитоидных пород наблюдается не только в его общем балансе привноса — выноса, но и в распределении по вертикали полного профиля. В профилях на габбро-диоритах и габбро-

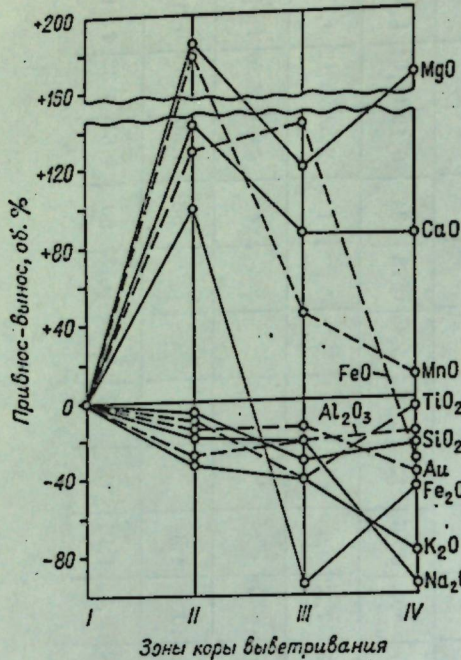


Рис. 4. Привнос-вынос элементов при выветривании кварцевых порфиров Ангреда. Зоны: I — исходные породы; II — начальных стадий выветривания; III — каменного структурного элювия; IV — глинистого структурного элювия.

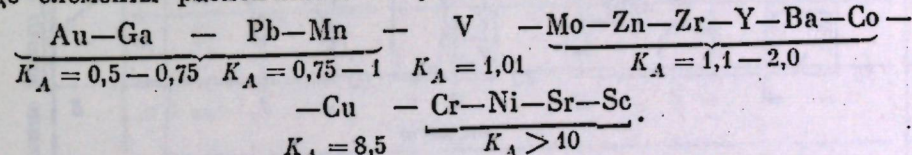
золото тоже образует горизонты вторичного обогащения, пространственно совпадающие с участками изменения pH водной вытяжки и приуроченные к пограничным интервалам зон профиля (рис. 5). Максимальная концентрация золота в обогащенном горизонте достигает 47,89 мг/т (108,19 мг/м³) при коэффициенте концентрации 8,5.

Рентгеноструктурный анализ глинистой фракции выветрелых габбро-диоритов Кокчетавской глыбы показывает, что горизонты гипергенного золотого обогащения контролируются не только макроскопически выделенными зонами и pH среды, но и зональностью гипергенных минеральных ассоциаций. Нижнему горизонту гипергенного обогащения, характеризующегося обычно максимальным содержанием золота в полном профиле выветривания пород любого состава, соответствует появление в выветрелых породах, наряду с реликтовыми минералами (см. рис. 5, а), гидрослюды, монтмориллонита и каолинита. Верхний горизонт приурочен к нижней зоне, представленной преимущественно монтмориллонит-гидрослюдисто-каолинитовой ассоциацией, почти нацело замещающей первичные минералы исходных пород.

В корах выветривания метаморфических образований золота в одних случаях больше, чем в исходных породах, в других — меньше (см. рис. 1, г). Наиболее бедны золотом продукты выветривания биотит-содержащих пород (гнейсы, сланцы) и углистых сланцев (табл. 9). В них наблюдается заметное уменьшение содержания золота от нижних зон профиля к верхним (см. рис. 1, г, 1—4). При этом установлено, что чем богаче биотитом исходная порода, тем беднее золотом продукты выветривания. Так, при выветривании сланцев, состоящих на 44—47% из биотита, золота вынесено 54% ($K_A = 0,46$). Гипергенное преобразование гнейсов, содержащих 15—30% биотита, сопровождается выносом только 32% золота ($K_A = 0,68$). В первом случае золото подвижнее щелочных металлов (табл. 10), во втором — инертнее их и в ряду подвижности элементов за-

нимает положение, приближающееся к его расположению в ряду подвижности элементов при выветривании магматических пород (см. табл. 6, 8, 11).

Коре выветривания углистых сланцев тоже свойственно более низкое содержание золота во всех зонах профиля. По интенсивности его выноса остаточные продукты этих пород занимают промежуточное положение между биотитовыми гнейсами и сланцами ($K_A = 0,57$). Однако в ряду подвижности золото занимает самое активное место среди элементов-примесей углистых сланцев. Вместе с золотом выносится свинец, галлий, меньшитан и марганец. Остальные элементы накапливаются в остаточных продуктах выветривания углистых сланцев, что видно из следующего ряда, где элементы расположены по убывающей миграционной способности:



Можно думать о благоприятных условиях миграции золота при участии в выветривании органических соединений, высвобождающихся в процессе гипергенного преобразования пород, содержащих органику.

Из остаточных продуктов выветривания серицитовых сланцев золотом обеднен только глинистый структурный элювий, где самый высокий процент выноса рассматриваемого элемента ($K_A = 0,12$). В зонах каменного структурного элювия и начальных стадий выветривания сланцев содержание золота такое же, как и в исходных породах ($K_A = 1,01$ и 1,05 соответственно.)

Еще отчетливее накопление золота установлено в корах выветривания кремнистых сланцев. Коэффициент концентрации во всех зонах более 1 и возрастает от нижних зон к верхним, колеблясь в пределах 1,01—2,15 (см. рис. 1, г, табл. 9). Вместе с золотом накапливаются свинец, медь, галлий, титан, никель, марганец, барий, ванадий, цинк, кобальт, скандий, итрий и иттербий, тогда как висмут, серебро и лантан выносятся.

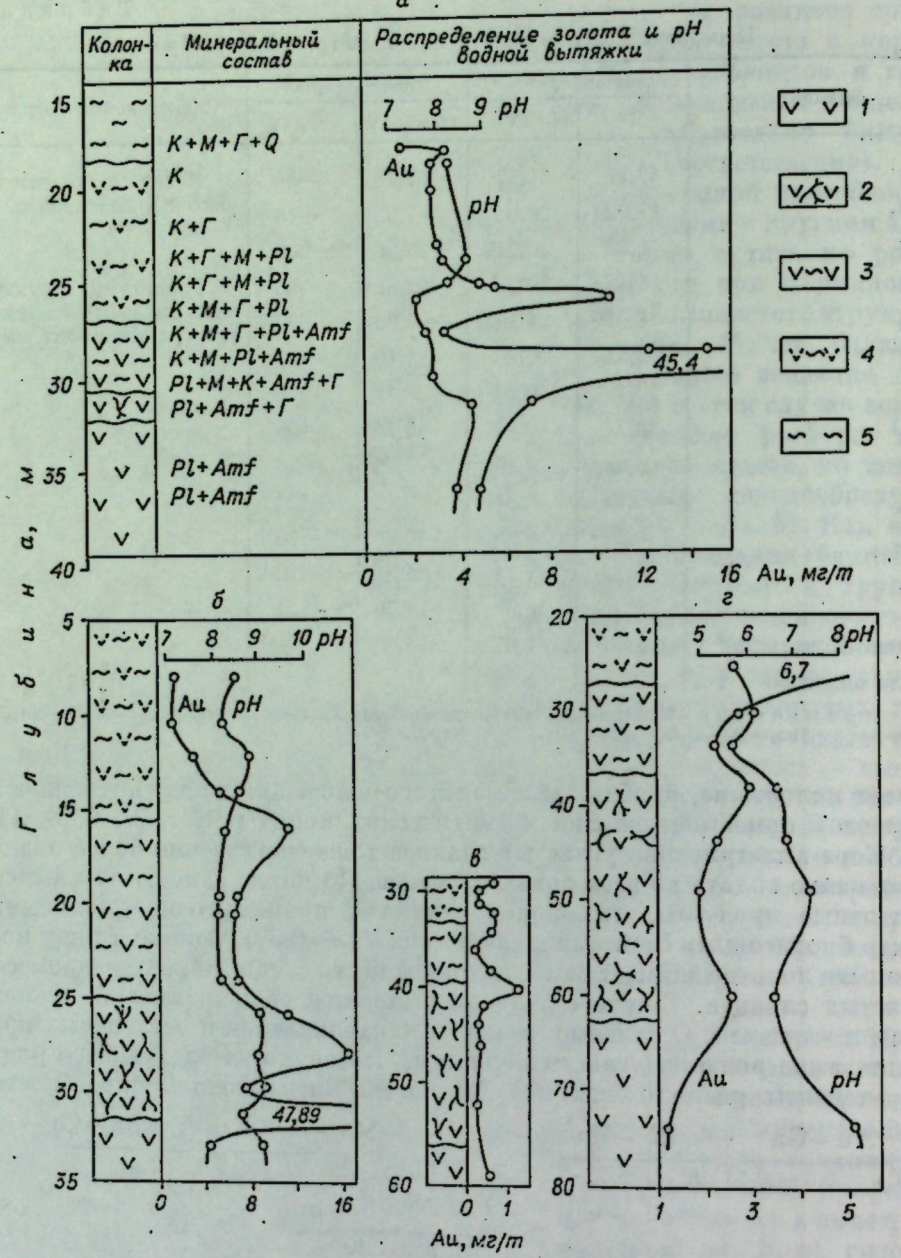


Рис. 5. Распределение золота и рН водной вытяжки в профиле коры выветривания габбро-диоритов Казахстана (а, б) и габбро Украиского щита (в, г).
 1 — габбро-диориты и габбро; зоны: 2 — начальных стадий выветривания габброндов, 3 — каменистого структурного элювия, 4 — глинистого структурного элювия, 5 — переотложенных продуктах коры выветривания.
 В графе «Минеральный состав» минералы приведены в порядке их возрастающего количества.
 Pl — плагиоклаз; Amf — роговая обманка; Г — гидрослюдя; М — монтмориллонит; К — каолинит; Q — кварц.

Таким образом, на примере коры выветривания метаморфических образований видно влияние минерального состава исходных пород на перераспределение золота гипергенными процессами. Оно активно мигрировало при выветривании биотитсодержащих и углеродистых пород, обладало слабой подвижностью в корах выветривания серicitовых сланцев и накапливалось в остаточных продуктах кремнистых сланцев (см. рис. 1). Неодинаковое поведение золота при гипергенном преобразовании метаморфических пород, обусловленное устойчивостью к химическому выветриванию главных его минералов-носителей, существенно влияет на положение этого эле-

Таблица 9

Исходная порода	Район	I					II					III					IV					В целом по профилю коры выветривания				
		n	\bar{x}	A	K _A	n	\bar{x}	A	K _A	n	\bar{x}	A	K _A	n	\bar{x}	A	K _A	n	\bar{x}	A	K _A	n	\bar{x}	A	K _A	
Биотитовые гнейсы	Прибайкалье	3	9,13	23,74	6	10,10	22,22	0,94	6	5,37	11,33	0,48	4	7,52	13,54	0,57	16	7,68	16,00	0,68						
Биотитовые сланцы	Северный Казахстан	1	2,15	5,38	2	1,80	3,26	0,61	2	0,97	2,05	0,38	3	1,24	2,20	0,41	7	1,32	2,46	0,46						
Биотит-мусковитовые сланцы	Южный Казахстан	1	1,70	4,25	2	1,33	3,06	0,72	2	1,91	4,02	0,89	5	1,12	2,02	0,48	9	1,34	2,70	0,63						
Углистые сланцы	Серпентиновые сланцы	2	1,70	4,23	4	1,13	2,60	0,61	1	1,20	2,40	0,57	1	0,94	1,66	0,39	6	1,11	2,41	0,57						
Кремнистые сланцы	Северный Казахстан	1	0,64	1,66	1	0,96	2,21	1,33	1	0,96	2,02	1,22	1	1,40	2,52	1,52	3	1,11	2,25	1,36						
Среднее по 10 разрезам																										
		10	4,49	11,51	17	4,90	10,75	0,93	15	3,72	7,72	0,67	21	2,75	4,95	0,43	53	3,71	7,59	0,66						

Таблица 10

Перераспределение элементов при выветривании биотитовых сланцев Гавриловского участка (Семиречий Казахстан)

Элемент	Содержание, вес. %				Приннос-вынос				В целом по корне выветривания	Минеральный состав
	I	II	III	IV	в граммах на см ²	II	III	IV		
SiO ₂	62,0	63,0	59,5	61,7	-5,1	-30,0	-45,8	-3,4	-29,2	-14,0
Al ₂ O ₃	16,35	17,70	23,50	28,17	+0,25	+8,47	+8,99	+0,6	+22,2	+14,4
Fe ₂ O ₃	9,70	7,70	4,02	1,97	-5,93	-15,81	-20,76	-24,5	-85,2	-58,3
TiO ₂	0,76	0,90	1,02	0,59	+0,24	0,0	-0,86	+12,6	0,0	-10,9
CaO	0,53	0,58	0,58	0,45	+0,06	-0,10	-0,52	+4,6	-7,6	-40,0
MgO	3,50	2,73	0,85	0,48	-2,25	-6,97	-7,95	-25,7	-80,0	-20,8
MnO	0,11	0,08	0,10	0,04	-0,09	-0,08	-0,20	-32,1	-28,6	-71,4
K ₂ O	3,50	3,78	3,25	1,88	+0,24	-1,93	-5,42	+2,8	-22,1	-61,9
Na ₂ O	0,17	0,20	0,11	0,02	+0,06	-0,19	-0,38	+14,3	+45,2	-90,5
П. п.	4,00	4,44	7,44	8,54	+0,57	+5,62	+5,12	+5,7	+56,2	+51,2
Au	2,15	1,80	0,97	1,24	-2,08	-3,33	-3,48	-39,0	-62,0	-59,0
pH	8,29	8,25	6,89	6,80	-0,04	-1,40	-1,49	-0,5	-17,0	-18,0
Объемный вес, г/см ³	2	2,38	2,10	1,77						-12,0
Число анализов	1	2	2	3						

Приложение 1. Анализ М. П. Зеркалова. 2. Убывающий ряд подвижности элементов: $\text{MgO}-\text{FeO}-\text{Fe}_{2}\text{O}_3-\text{Au}-\text{MnO}-\text{Na}_2\text{O}-\text{K}_2\text{O}-\text{CaO}-\text{H}-\text{SiO}_2-\text{TiO}_2-\text{Al}_2\text{O}_3$.

Таблица 11

Перераспределение элементов при выветривании биотитовых гнейсов Прибайкалья

Элемент	Содержание, вес. %				Приннос-вынос				В целом по корне выветривания	Минеральный состав зон коры выветривания
	I	II	III	IV	г/см ²	II	III	IV		
SiO ₂	66,00	64,30	63,97	65,78	-17,28	-37,26	-53,20	-10,90	-22	-31
TiO ₂	0,49	0,76	0,75	0,67	0,55	+0,31	-0,07	+24,00	+20	-5
Al ₂ O ₃	16,39	17,32	17,28	17,11	-10,22	+15,50	-20,99	-20,00	-29	-41
Fe ₂ O ₃	0,47	1,36	3,37	4,24	+2,04	+5,88	+6,41	+1,67	+480	+391
FeO	4,39	3,30	1,50	0,81	-3,89	-8,47	-10,35	-23,00	-72	-87
CaO	2,32	3,31	2,53	0,52	+1,85	-0,96	-5,15	+30,00	-16	-81
MgO	2,33	2,06	1,83	1,18	-1,12	-2,22	-3,94	-18,00	-37	-65
MnO	0,11	0,17	0,12	0,08	+0,12	-0,05	-0,45	+45,00	-14	-52
K ₂ O	2,36	1,76	2,24	1,99	-1,90	-1,34	-2,56	-31,00	-23	-42
Na ₂ O	3,45	3,38	2,56	0,23	-0,08	-2,81	-7,78	-9,00	-34	-95
CO ₂	0,16	Не опр.	0,27	0,14	Не опр.	+0,15	-0,17	Не опр.	+36	-40
H ₂ O	1,44	1,56	2,92	6,24	0	2,39	+7,49	0	+65	+265
Au	0,05	Не опр.	0,64	0,26	Не опр.	+1,21	+0,34	Не опр.	+931	+261
pH	9,13	10,10	5,37	7,52	-1,52	-12,41	-10,20	-6,00	-52	-43
Объемный вес, г/см ³	2,60	2,40	2,20	1,80						-32
Число анализов	3	6	6	4						-15,3

Приложение 2. Убывающий ряд подвижности элементов: $\text{FeO}-\text{Na}_2\text{O}-\text{MgO}-\text{K}_2\text{O}-\text{Au}-\text{Al}_2\text{O}_3-\text{CaO}-\text{SiO}_2-\text{H}-\text{MnO}-\text{CO}_2-\text{P}_2\text{O}_5-\text{TiO}_2-\text{Fe}_2\text{O}_3-\text{H}_2\text{O}$.

Таблица 13

Содержание золота в реликтовых минералах кор выветривания (зона IV), мг/т

Минерал	Число анализов	Минимум	Максимум	Среднее	Исходная порода
Кварц	1			11,30	Кварцевый порфир
Половой шпат	1			10,16	»
Магнетит	13	0,66	346,6	54,26	Граниты, гранодиориты, габбро
Гематит	1			6,0	Углистый сланец
Тяжелая фракция	1			14,0	Габбро-диориты

измеримо с содержанием в соответствующих минералах первичных пород (см. табл. 3 и 13).

Золото — обычный элемент-примесь гипергенных минералов коры выветривания. Нами оно установлено не только в собственных минералах коры выветривания, но и в более поздних, наложенных образованиях (табл. 14).

В гипергенных минералах коры выветривания золото распределяется крайне неравномерно. В наибольшей концентрации оно обнаружено в гетите. В каолините, являющемся типоморфным в изученных профилях, золота меньше, чем в других глинистых минералах, а в наложенных минералах его больше, чем в каолините. О существовании остаточного и переотложенного золота в корах выветривания свидетельствует также его распределение по гранулометрическим классам глинистого структурного элювия (табл. 15). Классы менее 0,1 мм представлены главным образом глинистыми минералами. Они составляют 54—86% общей массы породы. На их долю приходится 54,29—70,51% валового количества золота. Во фракциях крупнее 0,1 мм паряду с гипергенными минералами встречены реликтовый кварц (до 47%), магнетит, мусковит и другие минералы. Подсчет показывает, что на долю реликтовых минералов приходится около 20% золота в глинистом структурном элювии. Следовательно, количество золота, участвующего в гипергенной миграции, составляет около 80%.

Сейчас трудно однозначно сказать, в какой форме находится золото в гипергенных минералах. Эксперименты, проведенные Н. А. Росляковым и Р. Д. Мельниковой с целью изучения поглощающей способности золота каолинитом, галлуазитом, гидрослюдой и другими минералами зоны гипергенеза, показали существование двух форм сорбции ими меченого золота Au¹⁹⁸: прочной и непрочной (выщелачивается водой). По экспериментальным данным, прочная сорбция составляет 62,2—83,4% общей сорбции в кислых средах ($pH = 3,5$) и 56,0—90,0% — в щелочных ($pH = 9$). На основе этих результатов можно полагать, что в минералах древних кор выветривания золото находится в форме прочно сорбированной примеси, по связи приближающейся к химическому соединению.

Таблица 14

Содержание золота в гипергенных минералах кор выветривания, мг/т

Минерал	Количество анализов	Минимум	Максимум	Среднее	Стадия корообразования
Каолинит	5	1,11	3,79	2,86	Основная
Гидрослюдя	4	0,86	9,88	3,62	»
Галлуазит	3	3,72	12,91	8,50	»
Гетит	11	1,91	30,76	9,45	»
Гидрогетит	1			6,45	»
Кальцит	2	3,2	32,71	17,95	Наложенная
Сидерит	1			26,62	»
Пирит	1			6,38	»
Гипс	1			2,70	»

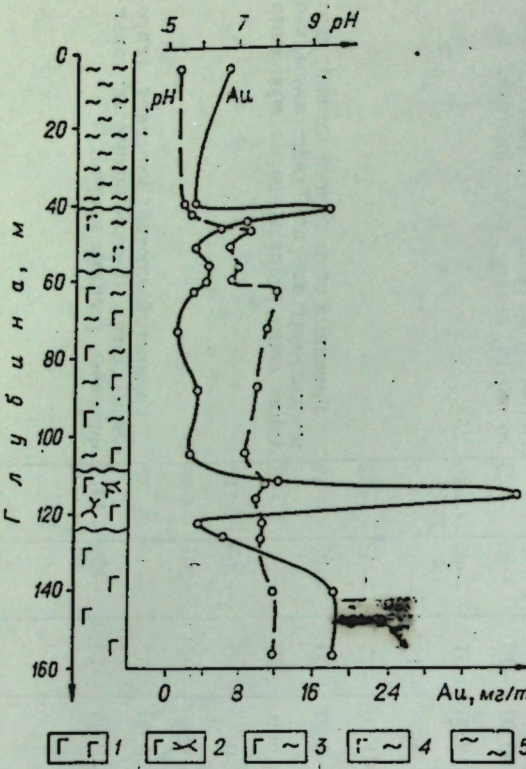


Рис. 6. Распределение золота и pH водной вытяжки в профиле коры выветривания биотитовых гнейсов Прибайкалья.

1 — биотитовые гнейсы (зона I); зона: 2 — начальных стадий выветривания (II), 3 — каменного структурного элювия (III), 4 — глинистого структурного элювия (IV), 5 — переотложенных глин коры выветривания.

мента в миграционном ряду. В случае, когда золото имеет возможность высвобождаться из минералов-носителей, оно перераспределяется в пределах профиля выветривания и даже мигрирует за его пределы. При перераспределении золото, как и в ранее рассмотренных случаях, образует вторичные обогащенные горизонты, приуроченные к участкам изменения физических и geoхимических условий среды (рис. 6).

Заканчивая рассмотрение распределения золота в корах выветривания, отметим, что по данным 446 анализов его среднее содержание в остаточных продуктах составляет 4,64 мг/т (9,50 мг/м³) при коэффициенте концентрации 1,12. Эти средние можно принять за кларк золота в древних корах выветривания каолинового профиля. Средние по типам пород и профилей приведены в табл. 12.

ФОРМЫ НАХОЖДЕНИЯ ЗОЛОТА В ПРОДУКТАХ ВЫВЕТРИВАНИЯ

В корах выветривания видимого золота нами не установлено. Не обнаружено оно и под микроскопом. Однако нейтронно-активационный анализ реликтовых и гипергенных минералов позволяет считать, что в коре выветривания содержится остаточное и переотложенное золото.

Остаточное (гипогенное) золото обнаруживается во всех уцелевших от выветривания минералах исходных пород, при этом его количество со-

Таблица 12

Среднее содержание золота в корах выветривания

Исходные породы	Полный профиль				Сокращенный профиль			
	n	\bar{x}	A	K _A	n	\bar{x}	A	K _A
Кислого состава								
изверженные	65	4,67	9,21	1,35	206	5,19	10,71	1,25
вулканогенные	32	2,96	5,95	0,82				
Среднего и основного состава								
изверженные	34	6,19	12,01	1,37	56	3,56	7,69	0,91
вулканогенные	53	3,71	7,59	0,66				
Метаморфические								
Среднее	184	4,38	8,69	1,06	262	4,84	10,09	1,18

Таблица 15

Распределение золота по гранулометрическим классам глинистого структурного элювия габбродиоритов Северного Казахстана (I) и кварцевых порфиров Ангрена (II)

Гранулометрический класс, мм	I			II		
	Проба 429			Проба 3		
	Выход фракции, %	Содержание золота, мг/т	Доля Au в пробе за счет фракции, %	Выход фракции, %	Содержание золота, мг/т	Доля Au в пробе за счет фракции, %
Более 2	4,2	Не опр.	—	9,6	6,71	14,26
2-1	1,9	154,00	6,38	14,1	4,17	13,02
1-0,5	1,3	268,00	7,59	6,9	4,33	6,62
0,5-0,25	2,3	168,51	8,45	6,8	3,37	5,07
0,25-0,1	4,5	72,08	7,07	8,6	3,59	6,83
В целом по классам крупнее 0,1	14,2	135,3	29,49	46,0	4,44	45,80
0,1-0,05	4,8	32,43	3,39	8,3	0,97	1,78
0,05-0,01	18,6	77,93	31,59	25,2	6,83	38,10
0,01-0,001	49,9	30,46	33,13	13,2	1,05	3,07
Менее 0,001	12,5	8,79	2,40	7,3	6,96	11,25
В целом по классам мельче 0,1	85,8	37,7	70,51	54,0	3,95	50,29

ОСНОВНЫЕ ФАКТОРЫ, КОНТРОЛИРУЮЩИЕ ПОВЕДЕНИЕ ЗОЛОТА В ПРОЦЕССЕ КОРООБРАЗОВАНИЯ

Изучение распределения золота в породах и минералах кор выветривания показывает, что оно перераспределялось в процессе корообразования: переходило в подвижное состояние и осаждалось вновь на различных геохимических барьерах. Рассмотрим основные факторы, контролирующие возможность перехода золота в раствор, его миграцию и гипергенную концентрацию.

Присутствие золота в реликтовом кварце, магнетите и других минералах исходных пород, а также уменьшение его вынесенной доли в ряду продуктов выветривания от биотитовых к мусковитовым и, наконец, к кремнистым сланцам позволяет считать, что основным фактором, определяющим возможность перехода его в подвижное состояние является устойчивость исходных минералов-концентраторов золота к химическому выветриванию. Чем устойчивее в зоне гипергенеза минералы-концентраторы золота, тем меньшая часть его высвобождается и вступает в миграцию. По-видимому, по этой причине золото накапливается в остаточных продуктах изверженных пород, где оно концентрируется главным образом в аксессорном магнетите, обладающем высокой устойчивостью к выветриванию, и значительно выносится при выветривании неустойчивых биотит-содержащих пород. Так как породообразующие минералы обладают различной устойчивостью, избирательное их выветривание обусловливает возможность вступления золота в миграцию на всех стадиях корообразования.

Следующим немаловажным фактором, контролирующим поведение золота в процессе корообразования, является его количество в исходных породах. Чем ниже содержание золота в выветривающейся породе, тем в меньших масштабах оно перераспределяется в профиле выветривания. Поэтому (а также из-за более равномерного распределения) в таких профилях практически не устанавливаются обогащенные участки, как при выветривании украинских габбро, содержащих золота лишь 0,51 мг/т (см. рис. 4, б).

Поведение высвобожденного из минералов-носителей золота в дальнейшем зависит от способности его переходить в растворенное состояние и мигрировать в конкретных геохимических условиях. Фактический материал показывает, что микроскопически не обнаруживаемое золото породообразующих минералов перераспределяется независимо от места нахождения коры выветривания и типа исходных пород. Его накопление в большинстве случаев, правда незначительное, происходит на границе разных зон профиля коры выветривания, т. е. на геохимических барьерах, существующих на границе неоднородных сред: глинистый — каменный структурный элювий; каменный структурный элювий — слабо выветрелые породы; выветрелые породы — исходный субстрат. Проявление этих барьеров фиксируется изменением pH водных вытяжек из пород профилей выветривания (см. рис. 2-5). Среди геохимических барьерах окислительных сред известны кислородный, восстановительный сероводородный, сульфатный, карбонатный, щелочной, кислый, испарительный, сорбционный (Перельман, 1968).

Кислородный барьер развивается на участках резкой смены восстановительных условий окислительными. Как показал К. Б. Краускопф (1951), в присутствии сильных окислителей, в том числе кислорода и в особенности гидроокислов марганца, золото обладает повышенной растворимостью. Поэтому увеличение окислительного потенциала само по себе не вызывает осаждения золота. Однако на окислительных барьерах часто наблюдается повышенная концентрация металла, что связано с поглощением его из растворов гидроокислами железа и марганца. Это очень характерно для кор выветривания пород, содержащих повышенное количество железа и марганца. В этом случае вместе с глинистыми минералами образуются гематит, гидрогематит и окислы марганца, препятствующие подвижности золота (см. табл. 14).

Восстановительный барьер возникает, когда окислительные условия резко меняются восстановительными. Золото легко восстанавливается до самородного состояния различными восстановителями. Поэтому данный барьер можно отнести к одному из главных факторов, контролирующих вторичное золотое обогащение в зоне окисления рудных месторождений. Влияние восстановительного барьера на гипергенное осаждение золота в древних корах выветривания подтверждается присутствием

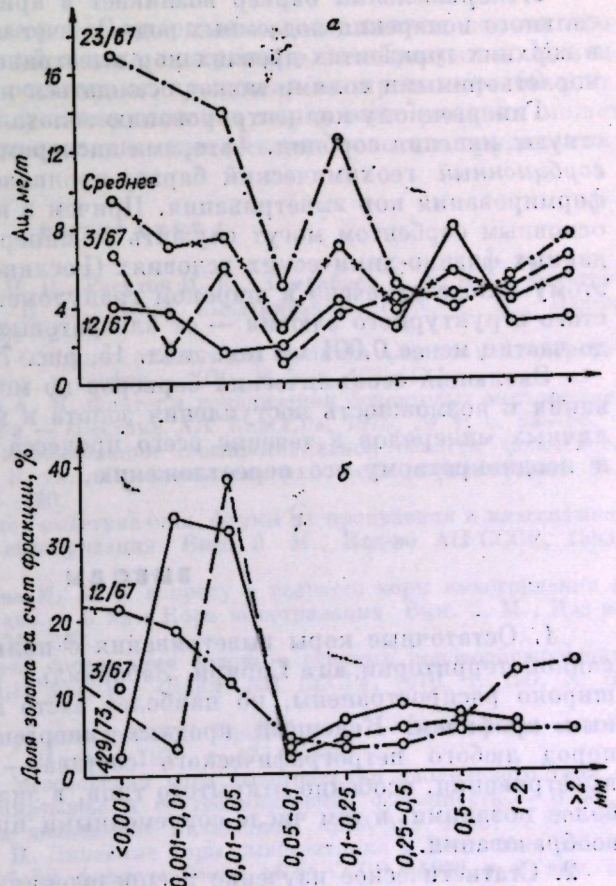


Рис. 7. Распределение золота по гранулометрическим классам глинистого структурного элювия габбродиоритов Казахстана (проба 429) и кварцевых порфиров Ангрена (пробы 3 и 12).
 а — весовое содержание золота во фракции; б — доля золота в пробе за счет фракции; 3/67, 12/67... — номера проб.

данного элемента в наложенных пиритах Ангрема (см. табл. 14).

Сульфатный барьер приводит к огипсованию; образуются вторичные бариты, целестин и стронцианиты. Нами неоднократно устанавливалась приуроченность повышенной концентрации золота к гипсу. В этой связи представляет интерес ревизия на золото гипсовых залежей, возникающих в результате хлоридно-сульфатного окислительного процесса.

Столь же существенное влияние на подвижность золота оказывает **карбонатный барьер**. Известны случаи обогащения золотом гипергенного кальцита и других карбонатов. Например, в сидеритах коры выветривания Ангрема установлено содержание золота до 26,61 мг/т. Карбонатный барьер способствует формированию в древних корах выветривания горизонтов вторичного золотого обогащения за счет наложенного перераспределения.

Щелочной барьер образуется на участках резкой смены кислых вод нейтральными или слабощелочными. Его влияние на гипергенную концентрацию золота зависит от величины pH. Если pH не превышает 8, золото концентрируется вместе с опалом, гидроокислями железа и другими гипергенными минералами. При более высоком значении pH оно не образует концентраций.

Кислый барьер, наоборот, характеризуется сменой нейтральных или щелочных условий кислыми, при которых золото хорошо мигрирует.

Испарительный барьер возникает в аридных областях на участках сильного испарения подземных вод. За счет испарительной концентрации в верхних горизонтах древних кор выветривания вместе с другими трудно растворимыми солями может осаждаться и золото.

Гипергенному концентрированию золота в значительной мере способствуют явления сорбции. Авторами экспериментально установлено, что **сорбционный геохимический барьер** проявляется в течение всего этапа формирования кор выветривания. Причем в каждую стадию их развития основным сорбентом могут служить те минералы, которые образуются в данных физико-химических условиях (Росляков и др., 1976). Видимо, поэтому золото отмечено в широком гранулометрическом диапазоне глинистого структурного элювия — от алевритовых и более крупных фракций до частиц менее 0,001 мм (см. табл. 15, рис. 7).

Эволюция геохимических барьеров по мере развития коры выветривания и возможность поступления золота в миграционный цикл из различных минералов в течение всего процесса корообразования приводят к неоднократному его переотложению.

ВЫВОДЫ

1. Остаточные коры выветривания с полным профилем на исследованной территории юга Сибири, Забайкалья, Казахстана и Средней Азии широко распространены, но наиболее часто встречаются коры с неполным профилем. Копечный продукт гипергенного изменения исходных пород любого петрографического состава — каолинит. Древние коры выветривания, особенно открытого типа, в значительной мере осложнены более поздними, в том числе современными процессами засоления и почвообразования.

2. Статистическое изучение распределения золота в различных зонах коры выветривания и исходных породах с кларковым его содержанием показало, что оно не противоречит нормальному закону. В процессе выветривания золото не инертно, оно может заметно перераспределяться. Среднее содержание золота в коре выветривания составляет 4,64 мг/т. Коэффициент его концентрации в отдельных зонах профиля выветрива-

ния меняется от 8,5 до 0,12 при среднем 1,12. Обогащенные золотом горизонты приурочены к границам зон профиля выветривания.

3. В коре выветривания золото сосредоточено в реликтовых и в новообразованных минералах. Поведение его в процессе корообразования в значительной степени обусловливается распределением и устойчивостью к выветриванию минералов-концентраторов исходных пород. Поронообразующие и главным образом темноцветные минералы служат источниками миграционно-способного золота в коре выветривания. Преобразование их в глинистые минералы происходит практически во всех зонах, и поэтому в каждой зоне существуют источники миграционно-способного золота; которое в конечном счете соединяется с новообразованными минералами или сорбируется ими. При благоприятных условиях незначительная часть золота может выноситься за пределы коры выветривания.

4. Ряды миграции элементов, рассчитанные для различных профилей кор выветривания, значительно отличаются между собой и отличаются от теоретически возможных, что не может быть объяснено только различием выветривающихся пород и условий выветривания, и определено указывает на существенное влияние наложенной минерализации на образовавшиеся профили выветривания. И поэтому, строго говоря, они не являются рядами миграции элементов при формировании кор выветривания каолинового типа, а скорее отражают в какой-то степени суммарный эффект их поведения и при древнем выветривании, и в более поздних наложенных процессах.

5. При выветривании пород с кларковым содержанием золота промышленных его концентраций в зоне гипергенеза не образуется. Максимальное его количество в остаточных продуктах не превышает 50 мг/т. Поэтому более высокое содержание золота в корах выветривания может служить важным поисковым критерием эндогенного золотого оруденения.

ЛИТЕРАТУРА

- Абдулахаджиев А. А., Петров И. П., Расулов И. К., Хамрабаев И. Х. Коры выветривания Узбекистана. — В кн.: Кора выветривания. Вып. 6. М., Изд-во АН СССР, 1963, с. 231—240.
- Адаменко О. М., Залыцман И. Г. О юрских отложениях степного Алтая и павлодарского Прииртыша. — «Геол. и геофиз.», 1970, № 7, с. 133—137.
- Александров К. И., Нурылбаев А. И. Факторы локализации бокситовых месторождений на юго Казахстана. — «Вестник АН КазССР», 1975, № 1, с. 63—66.
- Ганешин Г. С. Поверхности выравнивания геосинклинальной области Советского Дальнего Востока. — В кн.: Проблемы поверхностей выравнивания. М., «Наука», 1964, с. 135—140.
- Гинзбург И. И. Типы древних кор выветривания, формы их проявления и классификация. — В кн.: Кора выветривания. Вып. 6. М., Изд-во АН СССР, 1963, с. 71—101.
- Гинзбург И. И., Рукавининкова И. А. К вопросу о возрасте коры выветривания в Центральном Казахстане. — В кн.: Кора выветривания. Вып. 2. М., Изд-во АН СССР, 1956, с. 321—322.
- Давлетов И. К. Оценка среднего содержания золота в главных поронообразующих минералах интрузивных пород. — «Докл. АН СССР», 1970, т. 190, № 6, с. 1448—1450.
- Дамбровская Ж. В. Древняя кора выветривания Прибайкалья. — В кн.: Кора выветривания. Вып. 11. М., «Наука», 1970, с. 127—138.
- Жеваго Я. В., Карлова Г. С. Мезозойская кора выветривания каолинового типа в Семипалатинском Прииртыше и ее геохимические особенности. — В кн.: Литология и полезные ископаемые Казахстана. Алма-Ата, 1973, с. 89—94.
- Заворотных И. Р., Сизиков А. И. Линейные коры выветривания в Восточном Забайкалье. — «Известия Забайк. филиала Геогр. об-ва СССР», 1970, т. 6, вып. 5, с. 23—34.
- Занин Ю. И. Геология мезозойских и кайнозойских кор выветривания Алтас-Саянской области и Прибайкалья. — «Геол. и геофиз.», 1967, № 4, с. 35—43.
- Захаров А. А. Золото в карстовых образованиях предгорской коры выветривания в Присаянья. — В кн.: Геология и золотоносность конгломератов рифей и венда южного обрамления Иркутского амфитеатра. Иркутск, Вост.-Сиб. кн. изд-во, 1972, с. 194—196.

- Зимин С. С. К вопросу о происхождении и практическом значении фосфоритов Белоусинского месторождения в Кузнецком Алатау. — «Труды Дальневост. политехн. ин-та», 1959, т. 54, вып. 1, с. 88—97.
- Казаринов В. П. Мезозойские и кайнозойские отложения Западной Сибири. М., Гос. геотехиздат, 1958. 324 с.
- Кирilloв Г. А. Фациально-динамические предпосылки формирования россыпей золота в меловых постгеосинклинальных формациях Центральных Кызылкумов. — «Науч. труды Ташкентского ун-та», 1971, вып. 405, с. 121—124.
- Киселева З. И., Пономаренко Г. Н. О возрасте золотоносных рыхлых отложений в бассейне реки Чикой. — «Записки Забайкалья, фил. геогр. об-ва СССР», 1971, вып. 56, с. 77—82.
- Лейпциг А. В., Левина А. П. Мезо-кайнозойские ритмы и особенности бокситоакопления в Южном Приангарье. — В кн.: Проблемы генезиса бокситов. М., «Наука», 1975, с. 186—192.
- Лисицына Н. А. Древняя кора выветривания западной части Казахского нагорья. М., Изд-во АН СССР, 1960. 99 с. (Труды ГИН АН СССР, вып. 11).
- Логачев И. А., Ломоносова Т. К., Климанова В. М. Кайнозойские отложения Иркутского амфитеатра. М., «Наука», 1964. 196 с.
- Малиновский В. В. Закономерности распределения древних кор выветривания Казахского щита. — В кн.: Ландшафтно-геохимические исследования. М., Изд. Моск. фил. геогр. об-ва СССР, 1973, с. 28—30.
- Малолетко А. М. О множественности эпох континентального бокситообразования на Салаирском кряже. — «Известия Алтайского отд. геогр. об-ва СССР», 1966, вып. 7, с. 106—109.
- Мирчиник С. Г. Золотоносные россыпи Центрального и Восточного Забайкалья. — «Бюллетень МОИП. Отд. геол.», 1967, 42, вып. 6, с. 85—103.
- Нестеренко Г. В. О нижнемеловой зоне окисления на Итакинском золоторудном месторождении в Северо-Восточном Забайкалье. — «Геол. и геофиз.», 1973, № 10, с. 66—76.
- Никитин Е. А., Федоренко О. А. Мезозойские и палеогеновые коры выветривания Бетпакдала. — В кн.: Вопросы геологии коры выветривания Казахстана. Вып. 1. Алма-Ата, 1970, с. 90—100.
- Никитин И. М., Ясырев А. П. О среднем содержании золота в осадочных породах. — «Геохимия», 1974, № 8, с. 1237—1239.
- Никифорова К. В. Кайнозой Голодной степи Центрального Казахстана. М., Изд-во АН СССР, 1960. 255 с. (Труды ГИН АН СССР, вып. 45).
- Новоселов Ю. А. Древняя кора выветривания в бассейне реки Кичиги. — В кн.: Вопросы географии Камчатки. Вып. 2. Петропавловск-Камчатский, Дальевост. кн. изд-во, 1964, с. 106—108.
- Перельман А. И. Древняя кора выветривания Средней Азии. — «Докл. АН СССР», 1955, т. 103, № 5, с. 867—869.
- Перельман А. И. Геохимия эпигенетических процессов. М., «Недра», 1968. 331 с.
- Петров Н. П., Рубанов И. В. Каолины Ангрема, их вещественный состав, условия образования и пути использования. Ташкент, Изд-во АН УзбССР, 1960. 152 с.
- Постоленко Г. А. Древние денудационные и аккумулятивные уровни Юго-Восточного Забайкалья. — В кн.: Проблемы поверхностей выравнивания. М., «Наука», 1964, с. 176—183.
- Приходько В. П. Палеоген-неогеновые коры выветривания в Еравинском районе. — В кн.: Материалы по геологии и полезным ископаемым Бурятской АССР. Вып. XI. Улан-Удэ, 1967, с. 54—57.
- Рабкова З. К. Ангренское каолин-угольное месторождение. — В кн.: Коры выветривания. Вып. 6. М., Изд-во АН СССР, 1963, с. 181—186.
- Разумова В. П. Коры выветривания Северо-Восточной части Казахского нагорья. — В кн.: Коры выветривания. Вып. 2 М., Изд-во АН СССР, 1956, с. 272—298.
- Рахимова Н. С. Каолиновые породы Центральных и Юго-Западных Кызылкумов. — «Узбекский геол. журнал», 1959, № 2, с. 79—85.
- Росляков Н. А., Поликарпочкин В. В., Нестеренко Г. В., Удодов И. А., Шварцев С. Л., Мельникова Р. Д., Гапон А. Е., Шергин Б. В. Условия гипергенной миграции и концентрации золота. — «Геол. и геофиз.» В печати.
- Рослякова Н. В., Росляков И. А. Эндогенные ореолы месторождений золота. Новосибирск, «Наука», 1975. 132 с.
- Сухарина А. И., Емельянова Д. И. Новые данные по геологии и полезным ископаемым мезозойских отложений бассейна р. Золотой Китат. — «Вестник Зап.-Сиб. Геол. управления и Новосиб. Территориально-геол. управления», 1958, вып. 3, с. 19—37.
- Теников В. А., Раковский Э. Е., Филиппова Т. П. Распространенность и некоторые черты геохимии золота в бокситах (по данным нейтронно-активационного анализа). — «Докл. АН СССР», 1970, т. 195, № 2, с. 456—459.
- Трикшинский Ю. Б., Буда М. Д. Выветривание горных пород на территории Забайкалья. — В кн.: Вопросы геологии Прибайкалья и Забайкалья. Вып. 2 (4). Чита, 1967, с. 233—236.
- Тюрин Б. А. Геологическое и экономическое значение древних кор выветривания Казахстана и основные задачи их изучения. — В кн.: Вопросы геологии коры выветривания Казахстана. Вып. 1. Алма-Ата, 1972, с. 3—38.
- Уфимцев Г. Ф. О признаках третичного выветривания на юге Забайкалья. — В кн.: Кора выветривания. Вып. 12. М., «Наука», 1973, с. 111—120.
- Федоренко О. А., Никитин Е. А., Келлер А. Г., Джумабаев К. С. Мезозойские и палеогеновые коры выветривания Южного Казахстана. — В кн.: Литология и осадочными полезными ископаемыми Казахстана. Алма-Ата, «Наука», 1973, с. 95—103.
- Щербаков Ю. Г. Геохимия золоторудных месторождений в Кузнецком Алатау и Горном Алтае. Новосибирск, «Наука», 1974. 280 с.
- Щербаков Ю. Г., Переходкин Г. А. К геохимии золота. — «Геохимия», 1964, № 6, с. 518—528.
- Щукина Е. И. Древняя кора выветривания в Алтайском крае и ее значение для определения возраста и генезиса рельефа. — В кн.: Кора выветривания. Вып. 2. М., Изд-во АН СССР, 1956, с. 259—271.
- Заруцкий К. М., Орлова Л. А., Любчик Е. П. Про золотоносистість відкладів кайшоюї кори звірювання, докембрійських порід району Верховицької та Сурської брахіосинкліпалей. — «Доповіді АН УССР», 1971, В, № 2, с. 99—102.
- Krauskopf K. B. The Solubility of Gold. — «Econ. Geology», 1951, v. 46, № 8, p. 858—870.
- Mansei E. J., Brownlow A. H. Variation in Gold contents of minerals of the Marysville quartz diorite stock, Montana. — «Geoch. et Cosmochim. Acta», 1967, v. 31, № 2, p. 225—235.

В. Г. КУЛЕБАКИН, Н. А. РОСЛЯКОВ, В. Г. ЦИМБАЛИСТ,
Р. Д. МЕЛЬНИКОВА, Л. А. НЕПЕИНА

О РОЛИ ТИОНОВЫХ БАКТЕРИЙ В ГИПЕРГЕННОЙ МИГРАЦИИ И КОНЦЕНТРАЦИИ ЗОЛОТА

Значение микроорганизмов в гипергенных геохимических процессах в настоящее время не вызывает сомнений. Они участвуют в выветривании сульфидсодержащих горных пород (Иванов и др., 1958), в образовании и разрушении самородной серы (Butlin, Postage, 1953), в формировании состава рудничных и шахтных вод (Крамаренко, 1962). Широко распространенными и действенными микроорганизмами в природных условиях являются тионовые бактерии: *Thiobacillus ferrooxidans*, *Th. thiooxidans*, *Th. thioparus*, *Th. denitrificans*, *Th. neapolitanus*, *Th. thiocyanooxidans* (Leathen e. a., 1958; Sutton e. a., 1961). *Th. ferrooxidans* — активные окислители сульфидов. Воздействие *Th. thiooxidans* направлено на окисление элементарной серы, тиосульфата и некоторых других ее соединений, а *Th. thiocyanooxidans* и *Th. neapolitanus*, кроме того, еще CNS и Sb₂S₅ соответственно (Каравайко, 1972). В зоне гипергенеза сульфидных месторождений недавно обнаружены новые виды бактерий: *Leptospirillum ferrooxidans* nov. gen. nov. sp., окисляющие только железо (Маркосян, 1972); *Stibiobacter*, которые совместно с *Th. ferrooxidans* окисляют артимонит (Ляликова и др., 1974); *Th. «у»*, окисляющие элементарную серу, S₂O₃²⁻, артимонит, галенин и висмутин (Ляликова, 1967).

Несмотря на сравнительно большое количество перечисленных видов хемоавтотрофных бактерий, обитающих в зоне гипергенеза сульфидных месторождений, активно окислять сульфиды способны главным образом *Th. ferrooxidans*. Они и применены в наших исследованиях.

Оптимальные условия развития и существования *Th. ferrooxidans*, характер воздействия их на многие сульфиды к настоящему времени значительно изучены (Каравайко и др., 1972). Это дает хорошую основу для интерпретации экспериментальных данных, полученных нами в процессе бактериальной обработки золотосодержащих сульфидов.

Таблица 1

Содержание элементов в сульфидных концентратах, вес. %

Концентрат	Cu	Pb	Zn	Feобщ	S	As	Sn	Cd	Bi	Mo	Se	Tе	Co	Au, мг/т
Пиритовый.	0,11	0,19	1,70	39,70	53,00	0,13	0,005	0,008	0,003	0,020	0,03	0,002	0,050	66
Марказитовый	0,22	1,96	1,94	42,15	51,00	0,17	0,020	0,007	0,001	0,010	0,03	0,010	0,040	418
Сфалеритовый	0,25	0,37	54,80	1,47	34,36	0,12	0,020	0,160	0,004	0,050	0,03	0,003	0,010	108
Галенитовый	1,26	68,85	5,86	5,62	15,40	0,19	0,060	0,020	0,001	0,020	0,27	0,003	0,002	3684
Халькопирито-														
вый	21,95	4,76	2,92	30,50	37,32	0,04	0,010	0,060	0,001	0,020	0,02	0,004	0,015	Не опр.
Халькоцинский	69,60	0,09	0,01	21,00	0,07	0,07	0,002	0,002	0,001	0,004	0,44	0,010	0,007	340
Козеллитовый	42,99	0,94	0,18	34,50	0,18	0,027	0,012	0,007	0,025	0,90	0,90	0,020	0,005	Не опр.

Примечание. Во всех концентратах спектральным анализом в виде примеси установлены Ва, Ga, Tl, Ni, Ti, V, In, Mn, Cr и т.д.

Таблица 2

Изменение по времени pH и Eh исходных растворителей

Растворитель	Параметр	Сутки													
		1-е	2-е	3-е	4-е	5-е	6-е	7-е	8-е	9-е	10-е	11-е	12-е	13-е	
Дистиллированная вода	pH Eh	5,40 550	5,20 550	5,20 550	5,20 550	5,28 550	5,37 550	5,44 540	5,37 550	5,40 550	5,45 560	5,45 560	5,38 510	5,38 515	5,28
Бактериальный на основе среды № 1	pH Eh	2,35 730	2,35 730	2,34 740	2,42 760	1,51 778	1,51 790	1,30 808	1,22 780	1,38 785	1,30 775	0,88 800	0,89 795	0,87 800	0,89 795
Питательная среда № 2 (без KCl)	pH Eh	2,12 720	2,13 720	2,12 720	2,47 740	1,06 820	1,15 810	1,00 809	1,31 805	1,13 820	0,72 800	0,90 805	0,81 800	0,85 800	0,85
Бактериальный на основе среды № 2	pH Eh	2,50 740	2,50 740	2,42 741	2,40 760	2,18 765	1,49 780	1,41 798	1,05 790	1,40 780	1,25 800	0,90 798	0,99 800	0,91 800	0,93 800

Следует заметить, что именно *Th. ferrooxidans* проводится подавляющая часть экспериментов по выщелачиванию металлов из руд. Однако опыты по выяснению роли этих бактерий на поведение золота в зоне окисления его месторождений практически не проводилось. Нам известны эксперименты, выполненные в Томском политехническом институте под руководством профессора В. К. Черепинина, в которых предпринята попытка выщелачивания золота с помощью *Th. ferrooxidans* из образцов сульфидных и сульфидно-кварцевых руд Константиновского месторождения.

Цель наших исследований — изучить влияние *Th. ferrooxidans* на гипергенную миграцию и концентрирование золота. Наряду с золотосодержащими рудами объектами эксперимента служили концентраты сульфидных минералов, наиболее типичных для золоторудных месторождений: пирита, халькопирита, сфалерита, галенита, марказита, халькоцина и ковеллиса (табл. 1). Исследовались также химические характеристики руды и сульфидных концентратов, в результате чего установлено, что в руде содержатся (вес. %): SiO₂ — 64,22; Al₂O₃ — 6,95; CaO — 4,50; MgO — 2,20; Fe₂O₃ + FeO — 9,76; S — 9,57; Cu — 0,07; Pb — 0,39; Zn — 0,17; As — 1,65; Au (усл. ед.) — 8,84. Кроме того, была испытана искусственная смесь, состоящая из равных навесок галенитового, сфалеритового, пиритового и халькопиритового концентратов.

Минеральный состав руды таков (%): пирит — 20, арсеноцирит — 20, галенит + сфалерит — 10, кварц — 50. В виде примеси в ней содержится халькопирит, анкерит, хлорит и серицит. Золото в руде от тонкодисперсного до видимого.

В сульфидных концентратах величина золотин колеблется в пределах 1—7 мкм.

МЕТОДИКА И ХОД ЭКСПЕРИМЕНТА

Для опытов были приготовлены две фракции руды, пиритового и галенитового концентратов: 1) фракция — 0,5 + 0,25 мм и 2) фракция — 0,01 мм. Этим предполагалось выяснить влияние крупности испытуемых проб на выщелачивание из них золота бактериальными растворами. В остальных из перечисленных выше минеральных концентратов изучалась только фракция — 0,01 мм. Зависимость между количеством золота, переходящим в раствор в присутствии *Th. ferrooxidans*, и его содержанием в исходных продуктах исследовалась на пиритовых концентратах (пирит I и пирит II в иллюстрируемых таблицах). Во всех случаях навеска используемой пробы составляла 5 г.

Для приготовления бактериальных растворов был использован штамм *Th. ferrooxidans*, любезно предоставленный нам сотрудниками Института микробиологии и вирусологии АН КазССР. Исходная концентрация бактерий составляла 10⁶ клеток в 1 мм, возраст их — двое суток. *Th. ferrooxidans* поддерживались в активном состоянии питательной средой разных составов.

№ 1. Среда 9 K: в 1 л дистиллированной воды 0,1 г KCl, 0,5 г K₂HPO₄, 0,01 г Ca(NO₃)₂, 0,5 г MgSO₄ · 7H₂O, 63 г соли Мора и 1,5 мл 10 H₂SO₄.

№ 2. Та же среда, что и № 1, но без KCl. Ее использование мотивировалось исключением возможного влияния на растворимость золота. Известно, что ионы хлора в присутствии такого сильного окислителя, как железо, могут активно взаимодействовать с золотом, образуя его устойчивые комплексы.

Бактериальные растворы на питательной среде № 2 использовались во всех опытах, а на среде № 1 — только в опытах с пиритом, галенитом и рудой (фракции — 0,01 мм).

Контрольными растворами служили питательные среды № 1 и 2, а также дистиллированная вода.

Таблица 3

Изменение во времени pH рабочих растворов

Исследуемый материал	Сутки										Сутки				
	1-е.	2-е	3-е	4-е	5-е	6-е	7-е	8-е	9-е	10-е	11-е	12-е	13-е	14-е	
<i>Дистилированная вода</i>															
<i>Бактериальный раствор на основе питательной среды № 1 (контрольный)</i>															
<i>Раствор питательной среды № 2 (без KCl) (помутривший)</i>															
<i>Бактериальный раствор на основе питательной среды № 2 (рабочий)</i>															
Пирит II	4,52	4,50	4,45	5,54	3,02	3,67	3,00	3,45	3,67	3,50	3,15	3,55	3,36	3,33	
Галенит	5,55	5,50	5,35	6,35	4,70	5,02	5,12	4,88	4,92	4,91	4,85	4,95	3,80	3,81	
Сфалерит	5,94	5,70	5,55	6,53	5,25	5,23	5,30	5,48	5,32	5,34	5,35	5,05	3,66	3,67	
Руда	5,92	5,70	6,40	7,75	5,85	6,76	6,70	6,55	6,28	6,30	6,88	6,53	5,78	5,70	
Пирит II	3,83	3,75	3,80	3,50	3,04	3,24	3,20	3,39	3,35	2,55	2,89	2,61	2,59		
Руда	5,83	5,70	5,90	5,87	5,09	5,24	5,22	4,76	4,67	4,70	4,38	4,65	4,21	4,20	
Пирит II	2,50	2,20	2,23	2,57	1,20	1,45	1,23	1,04	1,80	1,70	0,76	0,88	0,56	0,60	
Галенит	2,75	2,70	2,45	2,32	1,34	1,60	1,31	1,25	1,45	1,38	0,92	1,03	0,83	0,85	
Руда	2,70	2,70	2,42	2,67	1,29	1,55	1,24	1,19	1,25	1,20	0,88	0,98	0,86	0,85	
Пирит I	2,27	2,40	2,10	2,46	1,02	1,24	1,25	1,40	1,27	1,07	0,93	0,96	1,02	1,00	
Пирит II	2,32	2,45	2,08	2,57	1,04	1,15	1,10	0,95	0,89	0,83	0,70	0,86	0,90	0,92	
Галенит	2,41	2,45	2,15	2,57	1,28	1,32	1,30	1,43	1,60	1,40	0,93	1,03	1,04	1,03	
Сфалерит	2,46	2,50	2,46	2,51	1,40	1,30	1,30	1,32	1,57	1,40	0,80	0,94	1,07	1,01	
Халькоцит	2,27	2,40	1,97	2,48	1,25	1,22	1,25	1,31	1,51	1,33	0,89	1,01	0,5	0,80	
Марказит	2,09	2,10	1,96	2,47	1,17	1,20	1,18	1,25	1,15	1,00	0,90	0,92	0,84	0,85	
Ковеллин, халькоцин	2,50	2,30	2,58	1,15	1,12	1,30	1,45	1,67	1,43	1,05	1,02	1,05	1,10		
Равновесная смесь халькоцири- та+ сфалерита+ галенита+ шпината	2,40	2,50	2,13	2,52	1,20	1,23	1,20	0,99	0,94	0,87	1,00	0,89	0,92		
Руда тонкая	2,38	3,60	2,50	2,63	1,36	1,38	1,33	1,10	1,15	1,05	0,98	1,12	1,13	1,15	
Пирит I	2,38	2,38	2,54	1,29	1,39	1,32	1,00	1,31	1,17	0,74	0,94	0,82	0,90		
Пирит II	2,44	2,50	2,32	2,51	1,25	1,35	1,30	0,91	0,96	0,80	0,63	1,00	0,76	0,90	
Галенит	2,56	2,60	2,49	2,66	1,50	1,58	1,49	1,12	1,19	0,96	0,85	1,01	0,88	0,90	
Сфалерит	2,57	2,60	2,41	2,56	1,35	1,45	1,37	1,02	1,10	0,97	0,80	0,98	0,89	0,92	
Халькоцит	2,42	2,35	2,33	Не опр.	1,32	1,41	1,37	1,09	1,16	0,99	0,65	0,85	0,84	0,87	
Марказит	2,36	2,40	2,30	2,60	1,34	1,43	1,38	0,99	0,90	1,82	0,78	0,95	0,83	0,82	
Ковеллин, халькоцин	2,52	2,60	2,43	2,87	1,68	1,70	1,60	1,30	1,27	1,13	0,95	1,04	0,96	0,91	
Равновесная смесь халькоцири- та+ сфалерита+ галенита+ шпината	2,48	2,50	2,38	2,62	1,39	1,42	1,36	1,10	1,25	1,45	0,78	0,89	0,80	0,82	
Руда тонкая	2,65	2,65	2,45	2,75	1,41	1,44	1,39	1,20	1,35	1,15	0,77	0,96	0,85	0,87	
Руда крупная	2,72	2,70	2,55	2,78	1,45	1,51	1,43	1,13	1,08	0,93	0,81	1,02	0,87	0,85	
Галенит крупный	2,56	2,60	2,57	2,73	2,12	1,52	1,44	1,15	1,22	0,99	0,86	1,07	0,89	0,90	
Пирит крупный	2,52	2,70	2,48	2,72	1,21	1,46	1,40	1,02	1,17	1,00	0,75	1,05	0,86	0,92	

В бактериальных и контрольных опытах продолжительностью 14 сут растворы объемом 500 мл пропускались через исследуемое минеральное вещество, помещенное в делительную воронку с фильтром «синяя лента». Растворы в воронки заливались с периодичностью, обеспечивающей непрерывное их просачивание через навеску проб в течение 15 ч. Остальное время суток пробы находились в воздушной среде. Такой режим эксперимента в некотором приближении имитировал процессы окисления сульфидных руд в условиях природного периодического увлажнения.

Ежедневно замерялись pH и Eh исходных и пропущенных через минеральное вещество растворов (табл. 2, 3). Во всех растворах со временем в общем происходило увеличение Eh и понижение pH. В исходных растворах особенно заметны изменения этих параметров в промежутках времени между 4—5 и 10—11-ми сут. Первый сдвиг, по-видимому, связан с началом окисления двухвалентного железа питательных сред, второй — с гидролизом их солей. В рабочих растворах сохраняется сдвиг лишь между 4—5-ми сут. При фильтрации через сульфиды дистиллированной воды ее pH от взаимодействия с пиритом изменялся в пределах 5,54—3,00, а Eh = 500—735 мВ; с галенитом — pH колебался от 6,35 до 3,80, Eh = 470—625 мВ; с фарелитом — pH = 6,53—3,66, Eh = 450—635 мВ и с рудой — pH = 7,75—5,70 и Eh = 350—530 мВ. Влияние сульфидов существенно сказалось на окислительно-восстановительных и кислотных свойствах растворов с *Th. ferrooxidans* (см. табл. 3).

В течение эксперимента существенно замедлялась скорость фильтрации рабочих растворов. В 1-е сут все растворы фильтровались с одинаковой скоростью (1 кап/с), остающейся до конца постоянной в опытах с дистиллированной водой. Наиболее существенные изменения скорости были при пропускании через сульфиды бактериальных растворов на основе питательной среды без KCl, что косвенно свидетельствует об их повышенной агрессивности. Уже на 2-е сут значительно замедлилась их фильтрация через халькопирит, руду и равновесную минеральную смесь. На следующие сутки резко уменьшилась фильтрация через другие минералы меди — ковеллин и халькозин. К концу 3-х сут замедлилась фильтрация через фарелит, 4-х — через галенит (0,01 мм), 6-х — через галенит (0,5 + 0,25 мм). Изменения в скорости фильтрации в опытах с пиритом и марказитом зафиксированы в средине 9-х сут. На 11-е сут практически прекратилось просачивание растворов во всех опытах с минералами, представленными фракцией — 0,01 мм. Поэтому на 14-е сут эксперимент был прекращен.

В контрольных опытах с растворами без KCl снижение скорости фильтрации отмечено лишь для фарелита и тонкой фракции руды.

При действии на сульфиды *Th. ferrooxidans*, выращенных на среде без KCl, кроме уменьшения скорости фильтрации наблюдалось изменение окраски минералов. Это обусловлено развитием лимонита. На 3-и сут интенсивная лимонитизация была проявлена в крупных фракциях руды и галенита, в тонких фракциях руды, ковеллина и халькозина. К концу суток лимонит появился в тонкой фракции галенита. На 4-е сут он был обнаружен в халькопирите, равновесной минеральной смеси и в крупной фракции пирита, на 5-е — в фарелите. Появление лимонита в марказитовом концентрате зафиксировано на 8-е сут, а в пиритовом — на 11-е.

В контрольных опытах с применением растворов без KCl к концу эксперимента образовался лимонит сначала в концентратах фарелита, затем галенита и пирита.

Таким образом, за 14 сут практически прекратилась фильтрация через сульфиды бактериальных растворов на основе питательной среды без KCl. Во всех испытуемых сульфидах появился лимонит. С учетом времени возникновения и интенсивности развития лимонита, а также уменьшения скорости фильтрации растворов через сульфиды, можно наметить следую-

щий возрастающий ряд устойчивости исследуемых минералов к воздействию тионовых бактерий: ковеллин, халькозин — галенит-халькопирит — фарелит — марказит — пирит. Этот ряд сходен с таковым для сульфидов, окисляющихся под действием электрохимических процессов (Свешников, 1961). Как и при электрохимических реакциях, в смеси сульфидов бактериальное действие оказывается более интенсивно, чем в мономинеральных концентрациях.

Из фильтратов бактериальных и соответствующих им контрольных растворов с течением времени выпадал осадок, прочно прилипающий к стенкам приемных стеклянных стаканов. Он анализировался Р. Д. Мельниковой на золото нейтронно-активационным методом, чувствительность которого 10^{-10} г и воспроизводимость $\pm 15\%$. В фильтратах и во всех исходных растворителях золото определялось В. Г. Цимбалист спектрохимическим методом, чувствительность которого 0,001 мкг/л и воспроизводимость $\pm 25\%$. Кроме золота в жидкой фазе Л. А. Непеиной определялись свободный кислород, окисляемость, закисное железо, а также металлы сульфидов (свинец — в выщелатах галенита, цинк — фарелита, медь — халькопирита, ковеллина, халькозина; медь, свинец и цинк — в фильтратах руды и равновесной минеральной смеси) (табл. 4—7).

Таблица 4
Содержание золота (мкг/л) и других элементов (мг/л) в дистиллированной воде, профильтрованной через сульфиды

Исследуемый материал	Au	Cu	Pb	Zn	Fe ²⁺	O ₂	Окисляемость	pH
Пирит II	0,256				0,022	12,58	3,20	4,02
Галенит.	0,502		10,96		Не обн.	10,88	5,68	5,70
Фарелит	0,065			8,58	»	15,82	8,80	5,70
Руда	0,093	Не обн.	Не обн.	0,18	»	9,70	5,60	7,30
Дистиллированная вода	0,0004	0,005	»	0,10	»	9,51	0,80	5,30

Примечание. Чувствительность определения меди и цинка — 0,03 мг/л, свинца — 0,07 мг/л.

Таблица 5
Содержание золота (мкг/л) и других элементов (мг/л) в опытных и контрольных фильтратах (питательная среда № 1)

Элемент	Пирит II		Галенит		Руда		Исходный раствор	
	Б	К	Б	К	Б	К	Б	К
Au	0,193	0,075	0,089	0,184	0,062	0,103	0,184	0,034
Cu							0,500	0,005
Pb			0,210	0,090	0,330	0,110	Не обн.	Не обн.
Zn			18,870	2,170	270,700	0,260	0,100	0,050
Fe ²⁺	0,742	Не обн.	1,715	Не обн.	1,720	0,006	Не обн.	9,890
O ₂	Не опр.	12,060	Не опр.	9,910	Не опр.	7,750	Не опр.	Не опр.
pH	2,350	4,100	2,750	4,400	2,600	6,150	2,720	4,830
Окисляемость	7,200	3,200	7,000	3,100	8,800	1,600	2,400	Не обн.

Примечание. Б — бактериальный, К — контрольный растворы на основе питательной среды № 1 (с KCl).

Таблица 6

Содержание золота (мкг/л) и других элементов (мкг/л) в бактериальных контрольных фильтрах (питательная среда № 2 без KCl)

Исследуемый материал	Au, г/т	Раствор с <i>Th. ferrooxidans</i>						Питательная среда № 2 без KCl						
		Au	Cu	Pb	Zn	Fe ²⁺	Органическое вещество	pH	Au	Cu	Pb	Zn	Fe ²⁺	Оксидимость
Пирит I	7,50	0,401	3,56			3,203	10,40	2,35	0,314			7,762	3,20	2,50
Пирит II	2,10	0,080	3,30			2,667	26,40	2,40	0,279			8,733	5,60	2,45
Пирит II (крупная фракция)	2,10	0,796				3,404	8,80	2,35	0,800					2,50
Галенит	4,50	0,157		1,73	7,36	3,471	8,80	2,45	0,439	1,17		8,250	5,60	2,55
Галенит (крупная фракция)	4,50	0,633		0,30		3,370	13,60	2,60	0,650			21,95	8,167	2,65
Сфалерит	17,00	0,985			198,33	2,879	13,60	2,41	0,045					2,22
Халькопирит	5,30	0,373	180,0			3,672	12,00	2,68	0,049			8,365	2,40	
Марказит	32,00	0,653										8,802	8,00	2,50
Ковеллин халькоzin	5,00	0,251	561,0											
Ранновесная смесь халькопирита, сфалерита, галенита, пирита II	7,20	0,040							0,097					
Руда	7,08	0,040	0,83	0,33	255,3	3,019	4,00	2,65	0,049	0,35	0,65	47,00	8,097	Не опр.
Руда (крупная фракция)	7,08	0,178	0,50	0,33	209,0	2,868	8,80	2,55	0,185					2,68
Исходный раствор		0,102		0,25	0,20	0,60	0,006	11,20	2,50	0,088	0,30	0,50	0,82	4,80
														2,42

Таблица 7

Содержание золота в твердой фазе выплавки, мг/т

Исследуемый материал	I	II	III	IV
Пирит I				
Пирит II	65,10	29,40	39,20	8,70
Пирит (крупная фракция)			25,10	19,70
Галенит	57,10	12,20	2,75	1,45
Галенит (крупная фракция)			20,30	9,80
Сфалерит	433,52	15,32	15,82	6,40
Халькопирит			349,50	3,85
Марказит			95,20	5,10
Ковеллин, халькоzin			86,50	123,70
Ранновесная смесь халькопирита + сфалерита + галенита + пирита			27,30	12,90
Руда	230,60	11,60	12,30	7,50
Руда (крупная фракция)			10,75	87,30
			65,10	27,14

П р и м е ч а н и е. I — твердая фаза, выпавшая из контрольных растворов на основе питательной среды № 1 (KCl); II — то же, но с *Th. ferrooxidans*; III — твердая фаза, выпавшая из контрольных растворов на основе питательной среды № 2 (без KCl); IV — то же, но с *Th. ferrooxidans*.

ОБСУЖДЕНИЕ РЕЗУЛЬТАТОВ

Высокая чувствительность аналитических методов позволила обнаружить золото во всех продуктах опыта, включая дистиллированную воду (0,0004 мкг/л).

В фильтратах, полученных при пропускании через сульфиды дистиллированной воды, наиболее высокое содержание золота установлено в опытах с галенитом, минимальное — со сфалеритом (см. табл. 4). При этом pH водной вытяжки, содержащейся в ней свободный кислород, закисное железо и органическое вещество не влияют на количество золота, извлеченного водой из сульфидов. Совместно с золотом в водный раствор переходят цветные металлы, а в опытах с галенитом — еще и сульфат-ион (14,45 мг/л). Из водных фильтратов твердый осадок не выпадал. Не обнаружено и продуктов окисления исследуемых сульфидов. Это дает основание полагать, что золото в фильтрат поступало благодаря химическому растворению его минералов-носителей.

Бактериальный раствор на основе питательной среды № 1 (с KCl), как и сама питательная среда, не способствует растворению золота сульфидов. Из данных табл. 4 и 5 видно, что эти растворы после пропускания через минеральное вещество содержат его даже меньше, чем дистиллированная вода. Более того, в опытах с галенитом и рудой золото, наоборот, поглощается минеральным веществом из исходных бактериальных растворов, в то время как цветные металлы, особенно цинк и железо, наоборот, выщелачиваются ими.

Бактериальный раствор на основе питательной среды № 2 (без KCl) также не благоприятствует переходу золота в подвижное состояние. Из 12 пар опытов лишь в четырех (опыты со сфалеритом, марказитом, отчасти халькопиритом и пиритом I) установлено, что содержание золота в растворах с *Th. ferrooxidans* выше, чем в контрольных (см. табл. 6). Во всех остальных случаях наблюдается обратное количественное соотношение растворенного золота. В отличие от золота медь, свинец и цинк весьма активно переходят в жидкую fazу.

На рис. 1 результаты анализов по золоту, обнаруженному в бактериальных и контрольных рабочих растворах, нарисованы с вычетом его содержания в исходных растворах (см. табл. 4—6). Он отчетливо иллюстрирует, что бактериальные растворы на основе сред № 1 и 2, пропущенные

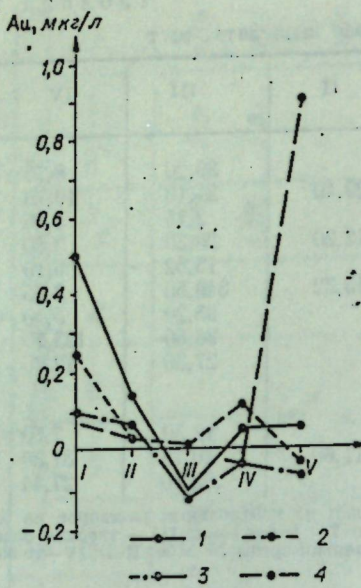


Рис. 1. Содержание золота в растворах, пропущенных через галенит (1), шпирит (2), руду (3) и сферерит (4).

Фильтраты: I — дистиллированной водой; II — питательной среды № 1 (с KCl); III — бактериального раствора на основе питательной среды № 1; IV — питательной среды № 2 (без KCl); V — бактериального раствора на основе питательной среды № 2.

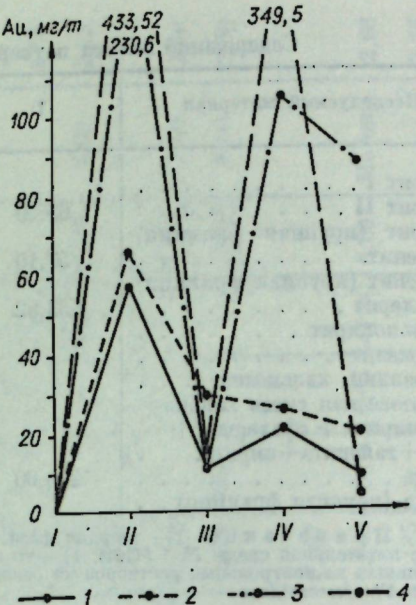


Рис. 2. Содержание золота в осадках, выпавших из фильтратов галенита (1), шпирита (2), руды (3) и сферерита (4).

I — фильтрат дистиллированной воды (осадка нет); осадок фильтратов: II — питательной среды № 1 (с KCl); III — бактериального раствора на основе питательной среды № 1; IV — питательной среды № 2; V — бактериального раствора на основе питательной среды № 2.

через шпирит, руду и галенит, содержат золота меньше, чем соответствующие им контрольные растворы, а те в свою очередь меньше, чем вода.

Химическая сущность процесса окисления сульфидов с участием *Th. ferrooxidans* сводится к окислению Fe^{2+} в Fe^{3+} по реакции: $2\text{FeSO}_4 + \text{H}_2\text{SO}_4 + 1/2\text{O}_2 = \text{Fe}_2(\text{SO}_4)_3 + \text{H}_2\text{O}$ (*Th. ferrooxidans*).

Сульфат окисленного железа ускоряет процесс окисления сульфидов по общепринятой реакции: $\text{MeS} + \text{Fe}_2(\text{SO}_4)_3 \rightarrow \text{MeSO}_4 + 2\text{FeSO}_4 + \text{S}^0$.

Металлы сульфидов переводятся в раствор, сульфат окисленного железа служит дополнительным источником энергии существования *Th. ferrooxidans*, а сера выпадает в осадок. В результате гидролиза растворов $\text{Fe}_2(\text{SO}_4)_3$ переходит в $\text{Fe}(\text{OH})_3$, который, накапливаясь совместно с S^0 в испытуемых сульфидах, затруднил в опытах фильтрацию бактериальных растворов.

Как отмечалось ранее, с течением времени выпадал осадок и из фильтратов. Вместе с ним осаждалось золото. Во всех случаях концентрация его в осадках, выпавших из контрольных растворов, в несколько раз выше, чем в осадках из соответствующих бактериальных растворов (табл. 7, рис. 2).

Таким образом, и в рабочих растворах, и в выпавших из них осадках *Th. ferrooxidans* не играл существенной роли в накоплении и миграции золота. В растворах наибольшие его концентрации установлены при действии на золотоносные сульфиды дистиллированной воды, а в осадках — выщелачивании при действии на них контрольных растворов на основе питательной среды № 1 (с KCl).

На основании проведенных экспериментов можно сделать вывод, что хемоавтотрофные тионовые бактерии, являясь господствующими микроорганизмами в гипергейской зоне золотосульфидных месторождений, не оказывают существенного влияния на перераспределение золота в про-

цессе окисления сульфидов. Они, активно разрушая сульфиды как катализаторы, повышают подвижность халькофильных элементов. Золото накапливается в остаточных продуктах окисления.

В заключение отметим, что результаты наших экспериментов согласуются с данными М. Р. Камалова и др., (1973) по бактериальному выщелачиванию железа и мышьяка из концентрата золотосодержащих руд. В Московском институте стали и сплавов разработана технологическая схема бактериального удаления мышьяка из золотых и оловянно-медных мышьяковых продуктов, что позволяет обогащать их золотом и оловом (Полькин и др., 1970, 1973; Полькин, Лаптев, 1974). Установленная нами низкая подвижность золота в процессе бактериального выщелачивания галенита, халькопирита, пирита и других сульфидов может иметь важное практическое значение. Можно совершенствовать технологию обогащения бедных золотых руд не только арсенопиритового состава, но и других золотосульфидных руд минерализованных зон. Золото при бактериальном выщелачивании концентрируется в остаточных продуктах.

Однако данный вывод распространяется пока лишь на руды с рядовыми содержаниями золота. При ураганных его концентрациях в рудах *Th. ferrooxidans*, видимо, могут повышать подвижность золота, как в опытах В. К. Бернатоника и В. К. Черепинина, а также в наших опытах со сфalerитом, марказитом и пиритом с разными содержаниями благородного металла (см. табл. 6). Возможно, существует концентрационный геохимический барьер, контролирующий способность *Th. ferrooxidans* переводить золото в раствор при бактериальном окислении золотосульфидных руд. Этот вопрос требует дальнейшей разработки.

Авторы благодарны Н. В. Резникову и Ю. И. Березикову за помощь при проведении экспериментов.

ЛИТЕРАТУРА

- Иванов М. В., Ляпикова И. И., Кузнецова С. И. Роль тионовых бактерий в выветривании горных пород и сульфидных руд. — «Известия АН СССР. Серия биологии», 1958, № 2, с. 183—191.
 Камалов М. Р., Каравайко Г. И., Иллустдинов А. И., Абдрашитова С. А. Роль *Th. ferrooxidans* в выщелачивании мышьяка из концентрата углистых золотосодержащих руд. — «Известия АН КазССР. Серия биология», 1973, № 1, с. 37—44.
 Каравайко Г. И. Микроорганизмы рудных месторождений, их физиология и использование в гидрометаллургии. Автореф. докт. дис. М., 1972. 51 с.
 Каравайко Г. И., Кузнецова С. И., Голомзик А. И. Роль микроорганизмов в выщелачивании металлов из руд. М., «Наука», 1972. 248 с.
 Крамаренко Л. Е. Бактериальные биоценозы в подземных водах некоторых полезных ископаемых и их геологическое значение. — «Микробиология», 1962, т. 31, вып. 4, с. 694—701.
 Ляпикова И. И. Окисление антиmonyta новой культурой тионовых бактерий. — «Докл. АН СССР», 1967, т. 176, № 6, с. 1432—1434.
 Ляпикова И. И., Шлани Л. Б. Образование сепаромонита под действием бактерий. — «Докл. АН СССР», 1969, т. 184, № 6, с. 1419—1422.
 Ляпикова И. И., Шлани Л. Б., Трофимов В. Г. Образование минералов пятивалентной сурьмы под действием бактерий. — «Известия АН СССР. Серия биология», 1974, № 3, с. 440—444.
 Маркоски Р. Е. Новая железоокисляющая бактерия — *Lentospirillum ferrooxidans* nov. gen. nov. sp. — «Биол. журнал Армении», 1972, т. 25, № 2, с. 26—29.
 Полькин С. И., Лаптев С. С. Обогащение оловянных руд и россыпей. М., «Недра», 1974. 478 с.
 Полькин С. И., Юдина И. И., Панин В. В. Исследование метода бактериального выщелачивания при переработке упорных арсенопиритовых золотосодержащих концентратов. — «Цветная металлургия», 1970, № 22, с. 15—17.
 Полькин С. И., Юдина И. И., Панин В. В., Ким Д. Х. К вопросу о бактериальном выщелачивании мышьяка из арсенопиритового золотосодержащего концентрата в иловых пульпах. — «Труды ЦНИГРИ», 1973, вып. 107, с. 36—41.
 Свешников Г. Б. О факторах, определяющих возникновение электрического поля на сульфидных месторождениях. — В кн.: Вопросы рудной геофизики. Вып. 2. Л., Изд-во ЛГУ, 1961.

- Butlin K. R., Postage J. R. Microbiological formation of sulphide and sulphur.— «Symposium metabolisme microbica». Roma, 1953, p. 127—142.
 Leathen W. W., Bralay S. A. and MacIntire L. D. The role of acid from certain sulphurites constitutens associated with bituminous coal. I. Thiobacillus thiooxidans.— «Appl. Microbiol.», 1958, v. 1, № 2, p. 61—63.
 Sutton J. A., Corrick J. D. Microbial leaching of copper minerals.— «Min. Engineering», 1963, v. 15, № 6, p. 37—40.

Г. В. НЕСТЕРЕНКО

О СПОСОБАХ КОНЦЕНТРАЦИИ ЗОЛОТА В РОССЫПЯХ

Процессы концентрации золота очень часто в благоприятных условиях приводят к возникновению россыпных месторождений, во многом определяя особенности их размещения и строения. Этим обуславливается большое их значение и целесообразность самостоятельного рассмотрения, тем более, что несмотря на довольно длительную историю изучения россыпей, многие стороны механизма концентрации в них полезных минералов остаются недостаточно выясненными. Среди золотоносных россыпей и по распространенности и по значению резко преобладает аллювиальный тип. Меньшее значение имеют прибрежно-морские россыпи. Поскольку эти типы во многом отличны друг от друга, рассмотрим механизм формирования концентраций золота отдельно в каждом из них.

КОНЦЕНТРАЦИЯ ЗОЛОТА В АЛЛЮВИИ

Россыпные концентрации золота в аллювии по способу их формирования и ряду других признаков четко разделяются на две крупные группы: «пластиевые» и «косовые» (Яворовский, 1896; Флеров, 1937; Билибин, 1938, 1955). Это теснейшим образом связано с различным поведением в речном потоке относительно крупного «пластиового» и тонкого «косового» металла.

«Пластовое» золото отличается наименьшей среди всех россыпнеобразующих минералов подвижностью. О его слабой подвижности свидетельствуют такие факты, как отсутствие или незначительное горизонтальное смешение контуров россыпей при их перемыве и переотложении золота на более низкие уровни, а также пространственная близость долинных россыпей к питающим источникам, не превышающая в ряде случаев сотен метров (рис. 1). Напротив, тонкое, особенно чешуйчатое золото мельче 0,25—0,15 мм обладает очень высокой подвижностью, что обусловлено способностью переноситься во взвешенном и полузвешенном (салтацией) состояниях. Промежуточное между «пластиевым» и «косовым» золото, которое имело бы среднюю подвижность, по всей вероятности, не характерно. Это связано, прежде всего, с очень большим удельным весом золота, превышающим в воде удельный вес кварца более чем в 10 раз. Кроме того, перемещаясь с влекомым обломочным материалом, такое золото должно быстро истираться, давая тонкочешуйчатое косовое золото, на что обращал внимание Ю. А. Билибин (1938).

Среди «пластиевого» золота принято выделять «пассивные», практически не перемещаемые, и «активные», слабо перемещаемые фракции (Хрипков, 1958; Шило, 1956; Карташов, 1972 и др.). Граница между ними неустойчивая и достаточно условная. Размер «активных» фракций, по мнению А. В. Хрипкова, может достигать 2—3 мм, хотя в отдельных россыпях фракции золота мельче 1 мм могут играть роль «пассивных». Подвиж-

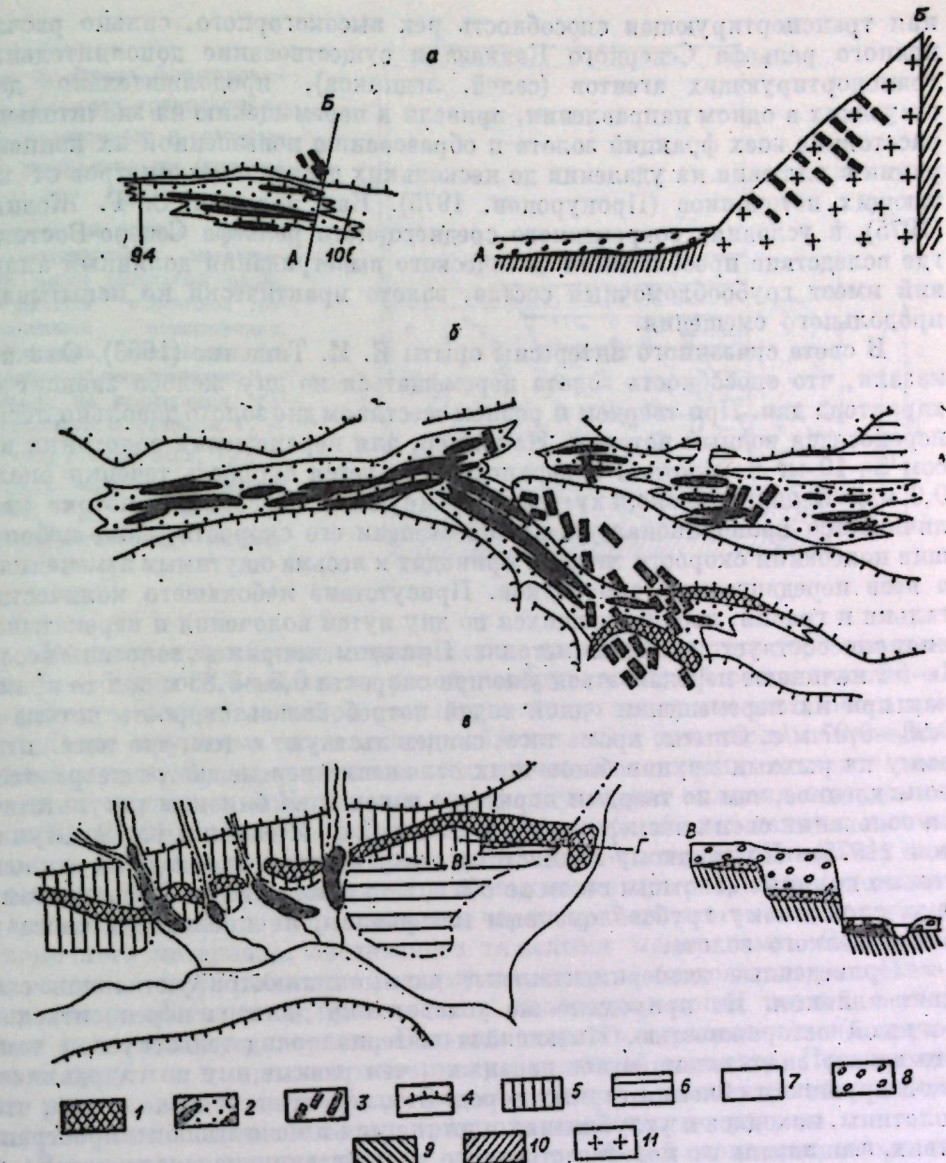


Рис. 1. Примеры малого продольного смещения золота при размыве коренного источника (а и б) и террасовых россыпей (в). а — по В. Н. Самусикову (1975), б — по Г. В. Нестеренко и др. (1973), в — по П. П. Богомягкову (1970), с упрощениями. 1 — террасовые россыпи; 2 — долинные россыпи и обогащенные струи внутри них; 3 — рудные жилы; 4 — борт долины; 5 — 40-метровая терраса (на «а»); 6 — 20-метровая (на «а») и 10-метровая (на «б») террасы; 7 — пойма и низкая аккумулятивная терраса; 8 — аллювий; 9 — коренные породы («б»); 10 — осадочные породы (нерасщепленные); 11 — гранитоиды.

ность золотин, особенно средних классов (0,5—3,0 мм), с их уплотненностью возрастает, а гидравлическая крупность понижается. Например, пластичные золотинки диаметром 3,1 мм и толщиной 0,15 мм (т. е. с коэффициентом уплотненности 18) будут иметь, по данным М. И. Львович (1938), ту же гидравлическую крупность, равную 20 см/с (и ту же подвижность), что и изометрическое зерно кварца такого же диаметра. Поэтому в ряде случаев толщина золотин более показательна, чем их диаметр (Трушков и др., 1975; Избеков, 1974).

Существенное влияние на подвижность свободного золота оказывают и такие «внешние» факторы, как продольный уклон коренного ложа, сила и глинистость потока, характер плотика и др. В частности, повышен-

ная транспортирующая способность рек высокогорного, сильно расчлененного рельефа Северного Кавказа и существование дополнительных транспортирующих агентов (селяй, ледниковых), продолжительно действующих в одном направлении, привели к перемещению на значительное расстояние всех фракций золота и образованию повышенной их концентрации в аллювии на удалении до нескольких десятков километров от питающих источников (Прокуровон, 1975). Как полагает С. Г. Желлин (1975), в условиях современного среднегорного рельефа Северо-Востока, где вследствие преобладания физического выветривания долинный аллювий имеет грубообломочный состав, золото практически не испытывает продольного смещения.

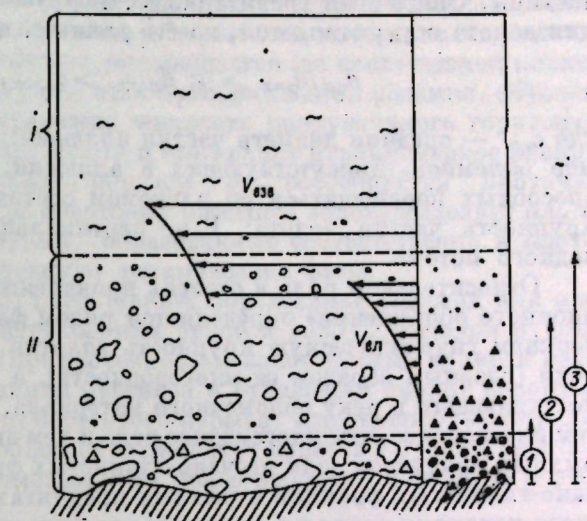
В свете сказанного интересны опыты Е. И. Тищенко (1966). Они показали, что способность золота перемещаться по дну желоба зависит от характера дна. При твердом и ровном щебенчатом дне золото довольно легко переносится водным потоком. Например, для перемещения золотинки весом 8–10 мг по плотной поверхности требуется скорость течения около 0,6 м/с. И далее, поскольку транспортирующая способность потока увеличивается пропорционально шестой степени его скорости, даже небольшие колебания скорости течения приводят к весьма ощутимым изменениям в весе передвигаемых самородков. Присутствие небольшого количества гальки и гравия, перемещающихся по дну путем волочения и перекатывания, способствует движению металла. При этом, например, золотинки весом 1–5 г начинают передвигаться уже при скорости 0,8–0,85 м/с, в то время как при их перемещении одной водой потребовалась скорость потока в 0,93–0,97 м/с. Опыты, кроме того, свидетельствуют о том, что металл по ложу из рыхлых крупнообломочных отложений перемещается несравненно медленнее, чем по твердым коренным породам. К близким результатам на основании своих экспериментов пришли С. Г. Желлин и Ю. В. Шумилов (1975). По гладкому глинистому ложу передвигаются даже относительно крупные золотинки весом до 3,5 г, в то время как по шероховатому дну, сложенному грубообломочным материалом, не происходит сноса и более мелкого золота.

Приведенные экспериментальные данные иллюстрируют лишь сам факт влияния. На природные же условия они должны переноситься с большой осторожностью. Имеющийся материал свидетельствует о том, что золото значительно менее подвижно, чем равные ему по гидравлической крупности обломки горных пород. Это, вероятно, связано, с тем, что золотинки, находясь в углублениях плотика или в межглыбовых пространствах, защищены от непосредственного воздействия руслового потока и могут испытывать его лишь в отдельные моменты, главным образом в стадию глубинной эрозии. Значительно легче золото транспортируется, будучи связанным в кварце и других рудных обломках, а также в глинистых комьях и катышах.

«Пластовые» и «косовые» россыпи, как правило, удалены от источника на неодинаковое расстояние. И. П. Карташов, считая, что пластовые россыпи всегда располагаются вблизи источников питания, непосредственно от которых они начинаются, а косовые всегда удалены от питающих источников на более или менее значительное расстояние, предлагает называть их соответственно автохтонными и аллохтонными россыпями. Принимая это как правило, из которого, однако, есть немало исключений, мы полагаем, что более существенно в данном случае то, что механизмы формирования обоих типов россыпных концентраций принципиально различны: первые по этому признаку можно назвать россыпями остаточной (и отстающей) гравитационной концентрации, а вторые — россыпями шлиховой косовой концентрации. Внутри каждого типа имеются многочисленные разновидности, порой существенно отличающиеся одна от другой, однако эти различия не столь резки и принципиальны, как различия между типами.

Рис. 2. Схема формирования россыпей гравитационной остаточной и отстающей концентрации (пластовых).

I — русловой водный поток; II — подрусловой механический поток (активный слой); 1 — россыпь остаточной гравитационной концентрации; 2 — россыпь отстающей гравитационной концентрации; 3 — россыпь, не испытавшая гравитационного обогащения. V_p — скорость течения реки; $V_{взв}$ — скорость переноса взвешенных частиц; $V_{вл}$ — скорость передвижения влекомых обломков.



Концентрация золота в первом случае идет в результате двух процессов: 1 — быстрого вымывания рекой песчано-глинистой составляющей и удаления ее в виде взвесей, в результате чего остающаяся часть обогащается более крупными и тяжелыми обломками, в том числе полезными компонентами; 2 — сравнительно медленного накопления относительно крупных золотин в нижней части слоя подруслового аллювия вследствие проникновения их вниз по вертикали через активный слой наносов и снижения в том же направлении скорости продольного перемещения этих наносов (рис. 2). Такое гравитационное обогащение низов разреза подруслового аллювия связано со «сбрасыванием» через верхнюю часть активного слоя обломочного материала, обедненного тяжелыми минералами. Известно, что основная часть работы по речному переносу и, следовательно, гравитационному обогащению происходит в половодье, когда речной поток имеет очень высокую скорость. Большая скорость, неровности ложа, крупные валуны и т. п. придают течению турбулентный характер. При врезании реки в золотосимые породы высвобождение и концентрация золота могут вероятно ограничиваться приплотниковой частью разреза.

В целом этот процесс можно сравнить с работой серии неподвижных и движущихся обогатительных шлюзов и отсадочных пульсационных машин. В отсадочных машинах вследствие пульсации и восходящих токов воды создается полувзвешенное состояние загружаемого материала, в результате чего тяжелые минералы опускаются вниз и накапливаются в основании «постели». Из теории и практики обогащения известно (Полькин, 1953; и др.), что при высокой частоте пульсации в отсадочных машинах достигается высокая степень расслоения по удельному весу обломков, при меньшей — по размерам, причем нижнее положение занимают мелкие (гравийные) зерна наиболее тяжелых минералов. Можно думать, что подобные условия в некоторых случаях достигаются и в природных системах. Всевозможные завихрения, пульсация воды, вибрация неподвижного и слабоподвижного материала под воздействием ударов перемещаемых потоком крупных обломков и валунов (Бондаренко, 1975) способствуют проникновению золота сквозь крупнообломочный каркас и концентрации его в нижней части либо в основании аллювиальной пачки.

Экспериментальные работы Ю. В. Шумилова (1973) показали, что золото концентрируется в аллювии и при неподвижном основном грубоом каркасе, где преобладают вертикальные составляющие скорости потока, происходит взвешивание частиц аллювия и вибрация крупных обломков.

В результате золото постепенно смещается вниз, вытесняя более легкие частицы. Описанный гравитационно-диффузионный механизм концентрации золота осуществляется, по его данным, при условии:

$$d_{\text{ал}} / d_{\text{зол}} > 4; d_{\text{макс}} > d_{\text{блек}}, W_o > V_o,$$

где $d_{\text{ал}}$ — средний диаметр частиц аллювия; $d_{\text{макс}}$ — максимальный размер обломков, присутствующих в аллювии; $d_{\text{блек}}$ — размер обломков, способных перемещаться во влекомом состоянии; W_o — гидравлическая крупность частиц золота; V_o — вертикальная составляющая скорости водного потока.

Относительная роль и степень проявления «отмучивания» и «гравитационного обогащения» определяются рядом факторов, среди которых подчеркивается гидравлическая крупность золотин, гидродинамический режим реки (главным образом ее многоводность), а также количество и состав поступающего в реку обломочного материала. В частности, «отмучивание» тем интенсивнее, чем многоводнее река и чем выше в составе перемываемых рыхлых продуктов доля песчано-глинистых фракций. Содержание же песчано-глинистых фракций в рыхлых продуктах разрушения зависит от состава исходных пород и в основном определяется степенью их химического разложения. Вот почему при перемывах глинистых кор выветривания существенная концентрация золота и других тяжелых минералов происходит уже в процессе отмучивания. С другой стороны, степень «гравитационного обогащения», зависящая от гидродинамической силы водного потока, главным образом связана с подвижностью (гидравлической крупностью) золотин. Наибольшее гравитационное обогащение, безусловно, испытывают наименее подвижные обломки типа крупного «пассивного» золота. При этом гравитационное обогащение при прочих равных условиях лучше идет при перемывах малоглинистых отложений, например, при повторных перемывах террасовых или пойменных галечников, особенно в случае преобладания крупных «пассивных» фракций золота. Для такого практически неперемещаемого золота характерно остаточное гравитационное накопление. Накопление активных фракций золота можно назвать «отстающим», имея в виду, что оно существенно отстает в своем перемещении от движения основной массы аллювия.

Аллювиальные россыпи золота чаще, по-видимому, включают концентрации, образованные одновременно в результате остаточного и отстающего накопления, поскольку в них обычно развиты и «пассивные», и «активные» фракции. Первые включают головные или перлювиальные части россыпи, а вторые — хвостовые (Синюгина, 1961; Синюгина, Яблокова, 1975; Гольдфарб, Генкин, 1970). В данном случае следует говорить о преобладающем способе концентрации. В этом смысле для золотоносных аллювиальных россыпей, особенно таких районов развития крупного золота, как Северо-Восток СССР, основным видом концентрации, вероятно, следует считать остаточный. Во всяком случае об очень слабом смещении свободного золота в речном потоке свидетельствуют данные ряда авторов. При этом очень могли сходить на том, что перенос золота, в общем незначительный, происходит лишь в стадию врезания; в стадию же боковой эрозии золото перемещается сверху вниз по вертикали и при этом образуется концентрированный продуктивный пласт (остаточные или перлювиальные пласти, по Е. Я. Синюгиной, 1961).

С. Г. Желини (1975, с. 31), отводя большую роль в образовании россыпей глинистым линейным корам выветривания (зонам окисления), общую схему формирования россыпей рисует следующим образом: «... в стадию врезания частицы свободного золота переносятся потоком по глинистому плотику до участка долины, где происходит накопление концентративного аллювия. В нем золото рассеивается по всей мощности. В стадию динамического равновесия, следующую за стадией накопления, на

этом участке резко преобладают процессы концентрации частиц золота в перстративном или плотиковом аллювии. При повторных циклах, благодаря изменению среды (преобладание обломочного материала над глинистым) перенос золота практически прекращается (за исключением мелких фракций), в связи с чем наступает этап преобразования россыпи, обусловливающей значительное сокращение мощности продуктивного горизонта, укрупнение аллювия и частиц золота и его крайне неравномерное распределение, зависящее главным образом от особенностей плотика». И. П. Карташов (1972) среди пластовых россыпей золота выделяет плотиковую и надплотиковую группы, образованные соответственно в плотиковую и равновесную (покровную) динамические фазы.

Н. Г. Бондаренко (1975) представляет образование россыпи как процесс выпадения золота из переносимых рекой и разрушающихся рудных обломков. В связи с частой приуроченностью золотоносных долин к золоторудным зонам такой механизм переноса и отложения вполне вероятен. В случае размыва, например, берегового обрыва, сложенного выветрелыми и окисленными рудами, обломки легко могут попасть в русло и снести потоком на несколько километров. Не менее вероятно и участие в этом кусков глины.

Поскольку формирование пластовой россыпи связано, как правило, с перемывом локальных более или менее концентрированных источников, будь то разрушенные рудные выходы либо продукты их переотложения, поскольку процессы концентрации металла всегда сопровождаются процессами их рассеяния, вследствие разубоживания продуктов разрушения рудных источников пустыми породами. Практически невозможно представить случай, когда река перемывала бы на более или менее значительном отрезке течения неразубоженные рудные образования. Чем меньше площадь рудного выхода, тем сильнее, при прочих равных условиях, будет происходить разубоживание продуктов их разрушения пустыми породами. При этом уже в процессе склонового транзита содержание может снижаться на два-три порядка по сравнению с исходными (Нестеренко и др., 1973), в связи с чем вполне справедливы замечания Н. А. Шило (1970) о том, что главное в данном случае — не содержание россыпнеобразующих минералов в рудных источниках, а общее количество минералов, поступающих в долину реки на определенном отрезке ее течения. Из предложенной Г. С. Момджи (1960) формулы зависимости содержания полезных минералов в россыпях (C_p) от степени водного обогащения (a), локальности (K_l) и богатства ($C_{\text{ист}}$) источника питания ($C_p = aK_l C_{\text{ист}}$) очевидно, что по мере удаления от источника вниз по долине значение K_l будет резко уменьшаться, что резко снизит содержание полезного компонента в аллювии. Разубоживающее влияние вмещающих пород иногда определяется не столько соотношением площадей выхода пород, содержащих и не содержащих полезные минералы, сколько их литологическим составом и степенью выветрелости. Выветрелые породы разубоживают аллювий слабее, чем свежие, поскольку последние поставляют больше грубообломочного и грубозернистого материала. Естественно, что отмеченный «разубоживающий» фактор оказывается тем заметнее, чем в меньшей степени россыпь испытала гравитационное обогащение.

Рассмотренные процессы образования «пластовых» автохтонных россыпных концентраций, безусловно, не охватывают всего разнообразия. Известны, например, россыпные концентрации мелкого золота в глинистых продуктах переотложения древних золотоносных кор выветривания. Такие концентрации, хотя и связанны с аллювиальными и делювиально-аллювиальными отложениями, возникли не в результате водного обогащения рыхлых продуктов, а как следствие прямого влияния питущего источника.

Здесь важно подчеркнуть, что механизм образования россыпных концентраций и, в частности, различная степень проявления охарактеризо-

ванных процессов отображаются в особенностях строения и размещения россыпей, а также в характере их связи с питающими источниками. В целом для россыпей, испытывающих «гравитационное обогащение» характерны возрастание содержания золота вниз по разрезу и приуроченность продуктивного пласта к нижней половине слоя грубообломочного аллювия пристрежневых русловых фаций. Чем выше степень обогащения, тем четче, при прочих равных условиях, обособлен пласт в основании разреза. Для высококонцентрированных россыпей, особенно с большим содержанием крупного золота, существенное значение приобретают такие факторы, как длительность истории континентального развития территории и глубина эрозионного среза коренных источников. Такая россыпь может и не испытывать прямой зависимости от богатства коренных источников, сохраняя с ними пространственную связь. Напротив, богатство и размеры россыпей, не испытавших существенного обогащения, находятся в непосредственной зависимости от таких питающих источников, к которым также пространственно привязаны.

Механизм образования «косовых» аллювиальных россыпей существенно иной, нежели рассмотренных выше пластовых. Возникновение концентраций этого типа связано в основном со следующими двумя процессами. Первый — отложение отсортированных по гидравлической крупности песков и крупных алевритов путем выпадения иззвесей и полузвесей в местах снижения скоростей водного потока. Сортированность по гидравлической крупности (или равнопадаемости) предопределяет, как известно, совместное нахождение разных по размеру зерен в зависимости от удельного веса минералов и формы частиц. Причем эта зависимость неодинакова для зерен мелких, средних и крупных. Например, для части мельче 0,15 мм она выражается так: $V = 545(\delta - 1)d^2$ мм, а коэффициент равнопадаемости двух зерен размером 0,15—1,5 мм $l_R = d_1/d_2 = \delta_2 - 1/\delta_1 - 1$ (Полькин, 1953; Ясюкевич, 1953). Из этого следует, что в первом случае диаметр зерен кварца в 1,6, а во втором — в 2,6 раза больше, чем диаметр равновеликого ему зерна магнетита. Второй процесс связан с первым и заключается в смывании с поверхности слоек таких сортированных песков, более крупных зерен легких минералов и концентрации более мелких зерен тяжелых минералов. Смывание производится относительно тонким слоем сравнительно медленно движущейся воды, имеющим ламинарную структуру течения (рис. 3, а и б). Оно обусловлено резким падением градиентов скоростей в тонком граничном слое воды (рис. 3, в), поскольку известно, что транспортирующая сила потока пропорциональна шестой степени его скорости.

Таким образом, при возрастании скорости воздействия на частицу в 1,5 раза транспортирующая сила возрастает в 10 раз, а при возрастании в 2 раза сила увеличивается в 64 раза. В целом этот механизм концентрации близок процессу доводки шлихов на старательском лотке, в связи с чем россыпи, образованные подобным путем, и предлагается называть россыпями шлиховой концентрации.

Формирование россыпных концентраций данного типа можно представить как следствие продольной и поперечной дифференциации обломочного материала в реке (рис. 4). Благодаря первой в продольном профиле реки выделяются отрезки преимущественного накопления отсортированных по гидравлической крупности песков. Реки, имеющие крутой уклон и достаточно высокое течение на всей длине, выносят песчано-алевритовый материал непосредственно в конечный водоем стока; естественно, что в них область накопления песков отсутствует. Следствием поперечной дифференциации является зональное распределение этих песков в плане и послойное — в разрезе с образованием слоек песков, обогащенных тяжелыми минералами, т. е. выделений «естественного черного шлиха». Существенная роль в их формировании принадлежит мелким волнам.

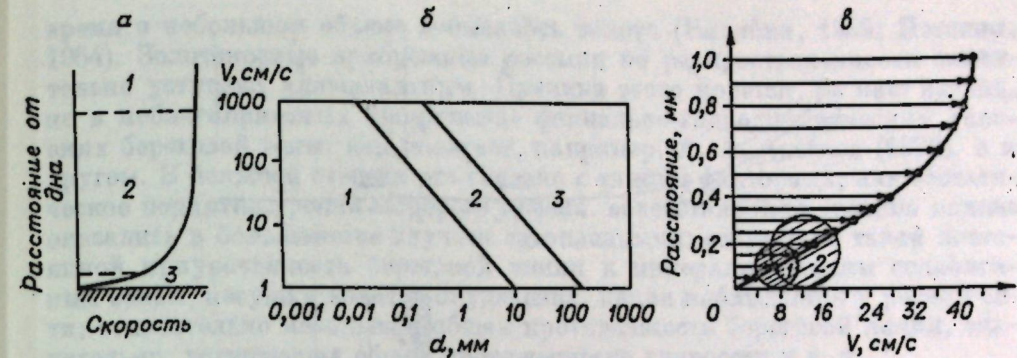


Рис. 3. Изменение скорости и характера водного потока у дна (а); зависимость характера потока от скорости и диаметра зерен ложа (б), Allen (1965) и влияние изменения скорости воды в тонком граничном слое на смещение крупных зерен легких и тяжелых минералов (в).

а — 1 — свободный поток; 2 — турбулентный слой; 3 — ламинарный граничный преслой; б — 1 — зона устойчивости ровного, гладкого (1); грубого (2) и переходного (3) потоков; в — 1 — зерна тяжелых и 2 — легких минералов.

Смытый песок, несколько обедненный тяжелыми минералами, сносится на глубину, где он либо задерживается, либо переносится пристрежневыми течениями вниз по реке (см. рис. 4). В свете сказанного естественной выглядит приуроченность подобных концентраций к верхним песчаным частям разрезов аллювиальных пачек — микрофациям кос и отмелей.

Состав сформированных таким способом концентратов определяется составом слагающих водосборные площади пород и степенью развития на этих площадях коры химического выветривания. При развитии относительно свежих пород они будут представлены магнетитом, титаномагнетитом и обычными породообразующими минералами. В случае перемыва продуктов площадных кор выветривания в их составе будут резко преобладать устойчивые к химическому выветриванию минералы: ильменит, циркон, рутил. Для подобных концентраций современных русловых отложений более характерны магнетит-амфибол-эпидотовые минеральные ассоциации.

Таким образом, в отличие от пластовых россыпей, имеющих остаточный характер накопления и образующихся на начальных стадиях аллювиального преобразования в непосредственной связи с разрушающимися источниками, образование косовых россыпей определено в значительной мере гидродинамическими условиями среды осадконакопления. Их возникновение — результат высокой степени сортированности и сепарации минералов по удельным весам — в наибольшем объеме осуществляется на конечных стадиях речного переноса обломочного материала.

Следствием различий в механизме образования являются существенные отличия в строении и размещении косовых и пластовых россыпей. Косовые россыпи оторваны обычно от пластовых и по разрезу, и по течению реки. Они сложены мелкими легко подвижными зернами минералов и тонким, часто чешуйчатым, золотом.

Так, например, В. К. Флеров (1937) привел гранулометрическую характеристику (%) одной из косовых золотоносных россыпей:

Размер, мм	Шлихи	Золото
+0,208	2,15	—
0,208—0,147	35,56	74,68
0,147—0,104	44,04	20,86
0,104—0,074	1,628	4,46
0,074—0,038	0,76	—
-0,038	0,21	—

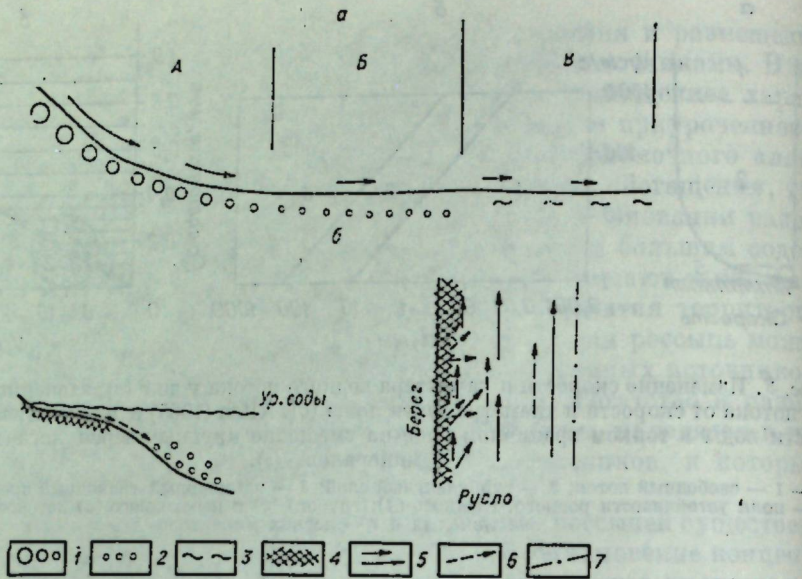


Рис. 4. Схема образования шлиховых косовых концентраций тяжелых минералов в песках в процессе продольной (а) и поперечной (б) дифференциации материалов в реке.
 1 — грубообломочный материал (валуны, галька, гравий); 2 — песок и крупный алеврит; 3 — илы (мелкий алеврит, пелит); 4 — естественный шлих в песках; 5 — скорость течения воды; 6 — траектория сноса песчаных зерен; 7 — стрежень.
 Области преимущественного накопления: А — валуно-галечных, Б — песчаных и В — илистых осадков.

Другая особенность косовых россыпей — непостоянный характер, меняющийся чуть ли не в каждое половодье.

Благоприятное условие образования косовых россыпей — общее, относительно повышенное содержание цепного тяжелого минерала в переносимых рекой песках. Поэтому более или менее существенные скопления косовых россыпей золота можно ожидать в реках, в водосборных бассейнах которых регионально проявлена золоторудная минерализация с тонким золотом типа сульфидизированных черных сланцев, сульфидизированных пород по тектоническим ослабленным зонам и т. д. Размыв же концентрированного, по локальному коренному источнику, нередко сопровождаемого пластовыми россыпями, может, по всей вероятности, привести лишь к возникновению мелких концентраций косового золота, причем не слишком удаленных от питающих областей.

Оценивая косовые аллювиальные концентрации золота в целом, необходимо подчеркнуть, что они значительно уступают по практическому значению пластовым. Учитывая слабую их изученность, нельзя исключать, что в будущем их роль как источника получения благородного металла может возрасти. Вместе с тем очевидно их высокое прогнозно-поисковое значение.

КОНЦЕНТРАЦИЯ ЗОЛОТА В ПРИБРЕЖНЫХ ОТЛОЖЕНИЯХ

Сравнительно крупные прибрежные россыпи золота в настоящее время распространены ограниченно, хотя примесь его, иногда довольно значительная, устанавливается в пляжных концентратах многих побережий: Восточной Австралии, Новой Зеландии, Америки, оз. Байкал, Северо-Востока и Дальнего Востока СССР и др. На некоторых из них в то или иное

время в небольшом объеме добывалось золото (Билибин, 1955; Петелин, 1964). Золотоносные прибрежные россыпи по распространенности значительно уступают аллювиальным. Причина этого кроется, на наш взгляд, не в неблагоприятных «запретных» фациально-гидродинамических условиях береговой зоны, как полагает, например, А. А. Аксенов (1972), а в другом. В большой степени это связано с такими факторами, как эвстатическое поднятие уровня мирового океана, вследствие чего древние пляжи оказались в большинстве случаев затопленными; отсутствие такой постоянной приуроченности береговой линии к минерализованным ослабленным зонам, несущим золотое оруденение, какая наблюдается у речной сети; относительно небольшая общая протяженность береговой линии, значительно уступающая общей протяженности гидросети и т. д.

Прибрежные россыпи золота по способу образования, так же как и аллювиальные, разбиваются на две группы — достаточно близкие аналоги соответствующих групп аллювиальных россыпей. Однако в отличие от первых ведущее место по распространению и значению здесь занимают россыпные концентрации в песках (т. е. косовые, аллохтонные, шлиховой косовой концентрации, перенесенные), образованные в результате высокой степени дифференциации и сепарации. По составу это чаще комплексные многокомпонентные (например, ильменит-циркон-рутиновые или магнетит-гранатовые) россыпи, иногда содержащие в ощутимых количествах золото. В условиях возникновения и размещения много общих черт с их аллювиальными аналогами. Благоприятными факторами здесь также являются наличие в прибрежной зоне достаточно больших масс песков, общая повышенная насыщенность областей денудации золотосодержащими породами, не слишком большая удаленность таких областей от береговой зоны, достаточно большие уклоны речных долин. Формируются такие концентрации как непосредственно за счет материала, выносимого рекой, так и в результате перемыва развитых в пределах подводного берегового склона и абрадируемого клифа доголоценовых континентальных толщ, играющих в данном случае роль промежуточных коллекторов.

В случае размыва локального концентрированного источника в прибрежной зоне или на прилегающих площадях также могут возникнуть золотоносные россыпи гравитационной концентрации (пластовые, автохтонные). Они, как и их речные аналоги, обнаруживают прямую связь с питающими источниками, которыми могут быть делювиально-солифлюкционные шлейфы или конусы выноса горных и пологорных рек и ручьев. Такие россыпи в противоположность только что рассмотренным приурочены к более грубозернистым отложениям и нередко залегают в основании рыхлого чехла прибрежно-морских отложений.

Россыпи данного типа не столь широко распространены, как косовые, в песках. Однако в ряде случаев они могут иметь достаточно высокое практическое значение. Хорошим подтверждением этому служат известные промышленные россыпи, развитые на побережье Сьюардского п-ова (Аляска) в районе г. Ном (Moffit, 1913; Hopkins a. o., 1960; Cobb, 1973; и др.). Здесь на протяжении многих десятилетий успешно отрабатывались на золото россыпи современного и древних пляжей, значительная часть которых погребена под четвертичными континентальными отложениями (рис. 5, б).

Наибольшее промышленное значение имели россыпи «Второго» и «Третьего» пляжей («Первым» в порядке открытия является современный пляж). Они изучены лучше остальных и прослежены на большее расстояние. Особым богатством отличались россыпи «Третьего» пляжа на 8-километровом отрезке между ручьями Короткий и Мак Доналд. Отсюда за четыре года (с 1905 по 1908) извлечено не менее 5,5 т золота. На одном богатом участке с площадки длиной 30 м и шириной 4,5 м получено более 300 кг золота, причем 90% этого количества дал приплотниковый прослой толщиной 8 см, что соответствует килограммовым (на 1 м³) его содержаниям!

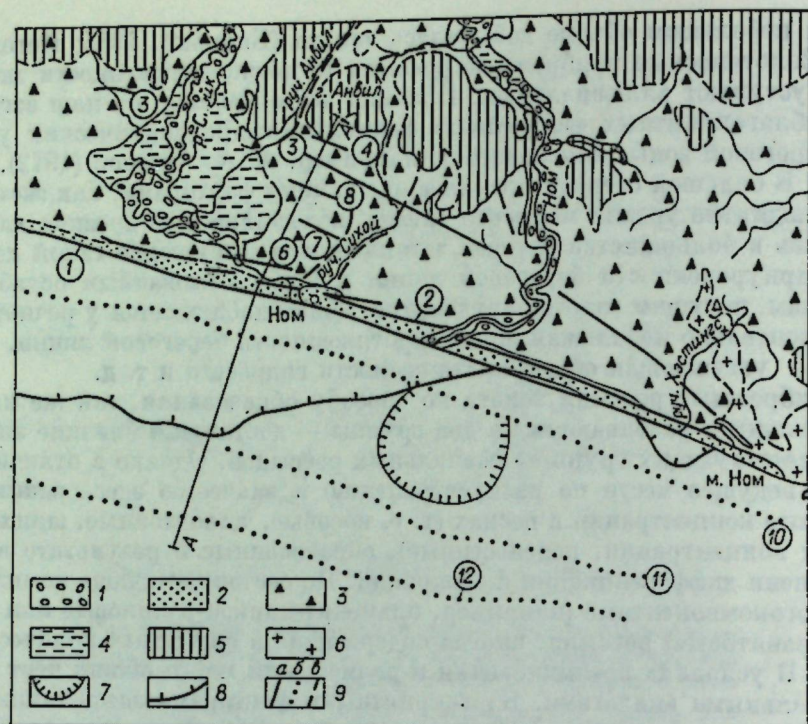


Рис. 5. Схема распространения золотоносных россыпей района г. Ном (Hopkins a. o., 1960; Nelson, Hopkins, 1972; Cobb, 1973).

1 — аллювиальные и флювиогляциальные отложения современных долин; 2 — прибрежно-морские пески и галечники «Второго пляжа»; 3 — ледниковые образования; 4 — илы и пески астуариев, развитых позади «Второго пляжа»; 5 — дамбоидные осадочно-метаморфизованные породы; 6 — граниты (Mz); 7 — конус выноса р. Ном; 8 — граница распространения ледниковых образований на дне моря; 9 — россыпи: пляжные в пределах прибрежной равнины (а) и подводного берегового склона (б) и аллювиальные (в). А—А' — геологический профиль.

Золотоносные отложения «Третьего» пляжа располагаются на высоте 21–24 м над ур. м. Они залегают (см. рис. 5, 6) либо на коренных породах, либо на галечниках, сцементированных известью, либо на тонкозернистом песке (в районе р. Ном). Состав и строение отложений пляжа на разных участках нестабилен, что связывается с влиянием впадающих в древнее море праводотов (ручьи Анвил, Сухой, Осборн). На удалении от мест впадения древних водотоков это типичные отложения пляжа, подобные современным — косослоистые пачки песков и галечников. Галька хорошо окатана. Отдельные прослои песков обогащены гранатом (красные пески), магнетитом и ильменитом. Ширина золотоносных отложений пляжа здесь равна 7–30 м. Они содержат морские раковины. Золото преимущественно мелкое. По мере приближения к устьям в составе отложений пляжа возрастает содержание слабоокатанного материала, крупных обломков, уменьшается сортированность материала. Отложения становятся менее слоистыми, более илистыми. На отдельных участках они по внешнему виду неотличимы от аллювиальных отложений мелких речек и ручьев. Одновременно в том же направлении возрастает содержание и крупность золота: среди золотин довольно часто самородки весом 0,5–0,8 г, а иногда до 20 г и более. На таких участках, кроме того, возрастает ширина россыпи. Так, в районе руч. Короткого ширина ее достигает 90–180 м, причем здесь кроме основной россыпи развита и другая, меньшая по размеру россыпь, расположенная несколько южнее основной.

Продуктивный пласт чаще имеет мощность 1,2–1,5 м, иногда достигая 5 м. Залегает он непосредственно на сланцах, либо в 1,5–1,8 м выше коренного плотика. Распределение в нем золота весьма неравномерное.

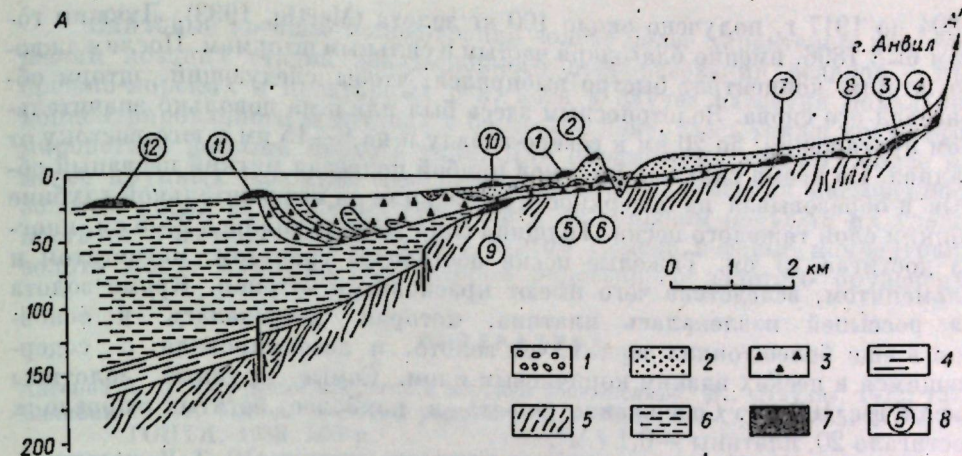


Рис. 6. Геологический разрез (A—A') побережья Сьюардского полуострова в районе г. Ном (Nelson, Hopkins, 1972).

1 — аллювий вискоинского возраста; 2 — ледниковые отложения иллиоесинского оледенения; 3 — более древние ледниковые образования; 4 — стратифицированные осадочные породы иенсного возраста; 5 — сланцы (палеозой); 6 — морские илы и глины; 7 — отложения пляжей; 8 — нумерация пляжей: 1 — современный, 2 — «Второй», 3 — «Третий», 4 — «Четвертый», 5 — «Внешний подводный», 6 — «Внутренний подводный», 7 — «Промежуточный», 8 — «Монревильский», 9 — «Плиоценовый», 10—11-метровый, 11—21-метровый, 12—24-метровый.

Россыпь перекрыта ледниками, солифлюкционными и болотными песчано-галечными, щебнево-суглинистыми и илистыми отложениями. Мощность их 9–10,5 м, иногда повышается до 15 м и более; золото в этих отложениях встречается в значительно меньшем (до 0,1 г/м³) количестве. Угол наклона верхней границы тела пляжа в сторону моря равен 7–10°, т. е. соответствует таковому современному пляжу; наклон обратного (северного) его ската более крутой. С этой стороны данный пляж, так же как и некоторые другие, иногда ограничен погребенным клифом (Hopkins a. o., 1960). «Третий» пляж прослежен с перерывом от мыса Ном на север на 30 км. В крупных речных долинах (реки Снейк и Ном) эти отложения отсутствуют, поскольку долины врезаны ниже уровня пляжа и выполнены более молодыми образованиями.

Золотоносные россыпи современного и древних пляжей сложены главным образом относительно мелкими, активными фракциями золота, хотя в них присутствуют и крупные золотины, вплоть до самородков в 20 г и более. При этом следует подчеркнуть, что существенная часть золота здесь крупнее косового. Соответственно среди прибрежных россыпей данного района, по всей вероятности, присутствуют аналоги обеих разновидностей аллювиальных концентраций: гравитационной отстающей и шлиховой косовой. Для них достаточно четко устанавливается пространственная и генетическая связь с питающими источниками: конусами выноса золотоносных речек и ручьев, а также с широко распространенными на прибрежной равнине ледниками, водно-ледниковыми и солифлюкционными отложениями, повсеместно зараженными золотом.

В целом же на современных песчаных побережьях шире распространены шлиховые косовые концентрации золота. Слагающие их зерна тяжелых минералов и золота отличаются очень малыми размерами. Как отмечает Ю. А. Билибин (1955), в 15 мг такого золота обычно содержится от 100 до 600 чешуек золота. Пески, обогащенные тяжелыми минералами и золотом, чаще хорошо сортированы, располагаются на поверхности либо в приповерхностной части современных пляжей. Для таких россыпей характерна большая изменчивость параметров в зависимости от погоды, быстрая их восстановляемость. Размеры их, как правило, незначительны. Из подобных россыпей современных пляжей Тихоокеанского побережья Алиски в районе залива Лития за время их кустарной отработки с

1894 по 1917 г. получено около 100 кг золота (Mertie, 1933). Лучшим годом был 1896, именно благодаря частым и сильным штормам. После каждого шторма концентрат быстро выбирался, чтобы следующий шторм об разовал его снова. Золотоносным здесь был пляж на довольно значительном протяжении: до 20 км к северо-западу и на 6—15 км к юго-востоку от залива. Во время сильных штормов прибой подрезал мягкий песчаный обрыв и образовывал на поверхности пляжа или на незначительной глубине тонкий слой тяжелого песка. Толщина слоя чаще равнялась 2—5 см, иногда достигая 15 см. Тяжелые пески обогащены гранитом, магнетитом и ильменитом, вследствие чего имеют красноватый оттенок. Кроме золота из россыпей извлекалась платина, которая встречалась в основном в еще более тонких зернах, чем золото, и ассоциировала с содержащимися в песках вязким коричневым илом. Самые крупные золотины имели вес 100 мг. Содержание золота в наиболее богатых прослоях достигало 20, платины — 0,1 г/м³.

ВЫВОДЫ

1. Все россыпные концентрации золота, образованные в водной среде, включая делювиально-аллювиальные, аллювиальные и прибрежно-морские, по способу образования четко разделяются на две группы: остаточной (и отстающей) гравитационной концентрации и б) шлиховой косовой концентрации.

2. Россыпи гравитационной концентрации сложены относительно крупными зернами золота (0,5 мм и крупнее), отличающимися очень слабой подвижностью в водной среде. Вследствие этого такое золото в процессе водной переработки накапливается в остаточных продуктах, образуя высококоцентрированный пласт в нижней, наиболее грубообломочной части разреза аллювиальных пачек. Концентрация осуществляется вследствие относительно быстрого вымывания песчано-глинистых фракций («отмучивания») и постепенного гравитационного обогащения обломочного материала золотом. Процессы концентрации сопровождаются разубоживанием аллювия «пустыми» породами.

3. Россыпи шлиховой косовой концентрации образованы тонким, часто чешуйчатым, легко подвижным в водном потоке золотом. Механизм формирования их принципиально иной. Их можно рассматривать как продукт глубокой минералогической сепарации обломочного материала в процессе продольной и поперечной его дифференциации. Сам процесс сепарации может быть разбит на 2 составляющие: 1) — отложение отсортированных по гидравлической крупности песков, т. е. таких, в которых одновременно присутствуют более крупные зерна легких минералов и менее крупные — тяжелых и 2) — снос с омыляемой поверхности более крупных зерен легких минералов сравнительно медленным потоком, имеющим в пограничном микрослое ламинарную структуру и быстрое нарастание скоростей. В разрезе они чаще приурочены к верхним песчаным частям, представленным микрофациями кос и отмелей руслового аллювия.

4. Россыпи гравитационной концентрации образуются за счет локальных источников, к которым они пространственно привязаны. В редких случаях они могут быть несколько оторваны от материнских источников. Будучи более характерными для начальных этапов экзогенного преобразования вещества, они слагают практически все делювиально-аллювиальные и значительную часть аллювиальных россыпей. Широкое распространение этих типов золотоносных россыпей, наряду с другими причинами, обусловлено частой приуроченностью речных долин к тектонически ослабленным и минерализованным зонам, по которым развивается золотое оруденение.

Шлиховые косовые концентрации золота более характерны для отложений поздних стадий эволюционного преобразования осадков — прибрежно-морских и предгорных рек, хотя в случае развития локального концентрированного источника в береговой зоне, здесь также могут формироваться россыпи первого типа. Для образования косовых более или менее крупных россыпей необходима достаточно высокая насыщенность золотом пород водосборных областей и не слишком большая их удаленность от участков аккумуляции. В этом смысле косовые концентрации золота могут служить индикатором эндогенного золотого оруденения.

ЛИТЕРАТУРА

- Аксенов А. А. О рудном процессе в верхней зоне шельфа. М., «Наука», 1972. 157 с.
- Билибин Ю. А. Основы геологии россыпей. М., Изд-во АН СССР, 1955. 471 с., М., ГОНТИ, 1938. 505 с.
- Бондаренко И. Г. Образование, строение и разведка россыпей. М., «Недра», 1975. 57 с.
- Гольдфарб Ю. И., Генкин П. О. К подразделению флювиальных четвертичных россыпей золота по условиям образования и геоморфологическому положению. — В кн.: Проблемы геологии россыпей. Магадан, 1970, с. 256—266.
- Желдин С. Г. Влияние водно-аллювиальной среды на транспортировку золота при формировании россыпей. — В кн.: Транспортировка полезных ископаемых в россыпях. Якутск, 1975, с. 31—32.
- Желдин С. Г., Шумилов Ю. В. Условия смыва и перемещения частиц золота (по экспериментальным данным). — В кн.: Транспортировка полезных ископаемых россыпей. Якутск, 1975, с. 46—47.
- Избеков Э. Д. Обработанность золота как критерий возраста россыпей современных долин. — В кн.: Вопросы рудоподробности Якутии. Якутск, Изд-во ЯФ СО АН СССР, 1974, с. 187—193.
- Карташов И. П. Основные закономерности геологической деятельности рек горных стран. М., «Наука», 1972. 184 с.
- Львович М. И. Гидравлическая крупность частиц россыпного золота. — «Труды треста Золоторазведка, Нигризолово», 1938, вып. 8, с. 92—129.
- Момджи Г. С. Теоретические основы и методика поисков россыпных месторождений титана и циркония. — В кн.: Закономерности размещения полезных ископаемых. М., Госгортехиздат, 1960, с. 44—57.
- Нестеренко Г. В., Осинцев С. Р., Воротников Б. А., Финнер В. Л. Вторичные ореолы и потоки рассеяния Итакинского золоторудного поля. — В кн.: Геохимические поиски месторождений в Сибири и на Дальнем Востоке по вторичным ореолам рассеяния. Иркутск, 1973, с. 75—89.
- Петелин В. П. Основные типы пляжевых концентратов тяжелых минералов бассейна Тихого океана. — «Океанология», 1964, № 6, с. 1052—1058.
- Пелькин С. И. Обогащение руд. М., Металлургиздат, 1953. 799 с.
- Прокуровов П. В. О дальности переноса золотии при формировании аллювиальных россыпей в условиях высокогорного глубокорасщепленного рельефа (на примере Северного Кавказа). — «Известия АН СССР. Серия геол.», 1975, № 5, с. 137—141.
- Синюгина Е. Я. О некоторых типах аллювиальных отложений и золотоносных пластов Ленского района (бассейн р. Бодайбо). — «Труды ЦНИГРИ», 1961, вып. 38, с. 86—106.
- Синюгина Е. Я., Яблокова С. В. Поступление, перенос и аккумуляция золота при формировании аллювиальных осадков. — В кн.: Транспортировка полезных ископаемых в россыпях. Якутск, 1975, с. 27—29.
- Тищенко Е. И. К вопросу о переносе золота русловыми потоками. — «Вестник науч. информ. Забайкалья, фил. Географ. об-ва СССР», 1966, № 6, с. 64—73.
- Трушков Ю. И., Избеков Э. Д., Сергеенко А. И. Основные факторы перемещения золота в россыпях. — В кн.: Поиски и опыт реконструкции коренных источников золота по разведенным россыпям. Якутск, 1975, с. 29—49.
- Флеров В. К. Современные аллювиальные россыпи на косах и наимывных островах. — «Труды треста золоторазведка и Нигризолово», 1937, вып. 5, с. 33—99.
- Хрипков А. В. Распределение золота в россыпях Северо-Востока и густота сети поисковой разведки. Магадан, 1958. 56 с.
- Шило И. А. Особенности образования россыпей в зоне развития вечной мерзлоты. — «Сов. геол.», 1956, № 53.
- Шило И. С. Россыпнеобразующая формация. — В кн.: Проблемы геологии россыпей. Магадан, 1970, с. 13—24.
- Шумилов Ю. В. Механизм концентрации золота в аллювиальных месторождениях Северо-Востока СССР. — В кн.: Процессы дифференциации и методы исследования четвертичных терригенных отложений. Пермь, 1973, с. 106—107.
- Яворовский П. К. Геологические условия образования некоторых золотых россыпей. — «Горный журнал», 1896, кн. 3, с. 366—403.

Структура классов россыпей и групп признаков

Классы россыпей	Группы признаков				Число строк
	пространственно-временные I	геологогеоморфологические II	геоморфологические III	вещественные IV	
Крупные («а»)	Ia	IIa	IIIa	IVa	8
Средние («б»)	Ib	IIb	IIIb	IVb	9
Мелкие («в»)	Iv	IIv	IIIv	IVv	11
Мелкие россыпные проявления («г»)	Ig	IIg	IIIg	IVg	10
Число столбцов	43	45	40	53	181/38

дискретного анализа будет полезно для изучения россыпей, так как поможет улучшить методику и ускорит внедрение приемов математической обработки информации в повседневную практику.

Применение логико-дискретного анализа позволяет в одной схеме решения производить описание объектов на двух уровнях: доалгоритмическом — путем логического понимания их особенностей — и алгоритмическом (вычислительном). Такой подход обеспечивает по возможности объективную работу на этапе постановки задачи и позволяет получить количественные оценки на существенном описательном материале.

В соответствии с поставленной задачей описания россыпей, включенные в анализ, были разбиты на 4 класса в зависимости от размеров россыпей: «а», «б», «в», «г» — в порядке их уменьшения (табл. 1). Все выделенные классы охарактеризованы четырьмя группами геологических признаков, объединяющими 51 геологический признак (табл. 2). При заполнении исходных матриц была принята бинарная система записи значений признаков, когда наличие признаков фиксируется единицей, его отсутствие — нулем. Поэтому потребовалось разбить геологические признаки на более дробные (характеристические) признаки. Например, геологический признак «приуроченность россыпи по течению» разбит на 4 характеристических признака: X_4 — приуроченность россыпи к верхнему (и среднему) течению, X_5 — к среднему течению, X_6 — к нижнему (и среднему) течению, X_7 — россыпь приурочена ко всей длине долины (см. табл. 2). Общее количество таких характеристических признаков в нашем случае оказалось равным 181 (табл. 3—6). Вся информация, таким образом, была представлена 16 таблицами по числу групп признаков для каждого класса россыпей, заполненными нулями и единицами, строки в которых соответствуют россыпям (объектам), а столбцы — характеристическим признакам. В последующем изложении мы характеристические признаки для краткости будем называть просто признаками.

При табличном описании объектов признаки отчетливо разделяются на две категории: отождествляющие и различающие. К отождествляющим относятся те, которые для всех строк конкретной таблицы имеют одинаковое значение. Различающими являются такие признаки, для которых хотя бы в одной строке таблицы имеется отличный от других строк символ.

Поставленная задача сводится главным образом к сравнительному изучению классов, к определению возможности с помощью отдельных признаков и их совокупностей различать выделенные классы. Это, в свою очередь, требует вычисления ряда тестовых параметров, характеристика которых дана в ранее опубликованных работах (Дмитриев и др., 1968, 1969). Способность групп признаков различать классы объектов между собой определена путем вычисления суммарного коэффициента межклассового различия K .

Прежде чем говорить о результатах обработки, заметим, что уже на этапе сбора информации в процессе заполнения исходных таблиц от-

- Янокевич С. М. Обогащение руд. М., Металлургиздат, 1953. 516 с.
 Allen I. R. A Review of the origin and characteristics of Recent alluvial sediments.— «Sedimentology», 1965, № 2, v. 5, p. 91—191.
 Cobb E. H. Placer Deposits of Alaska. Washington, 1973, (U. S. Geology Survey, B. 1374).
 213 p.
 Hopkins D. M., MacNeil F. S., Leopold E. B. The Coastal Plain at Nome, Alaska: A Late Kainozoic Type Section for the Bering Strait Region.— «Internat. Geol. Cogr.», 21 st., «Kopenhagen», 1960, p. IV, p. 6—57.
 Mertie J. B. Notes on the geography and geology of Lituya Bay. In: Mineral Resources of Alaska, U. S. Depart. of the Interior. B. 836, 1933, p. 117—135.
 Moffit F. H. Geology of Nome and Grand Central quadrangles, Alaska. Washington, 1913, 140 p. (U. S. Geol. Survey, B. 533).
 Nelson C. H., Hopkins D. M. Sedimentary Processes and Distribution of Particulate Gold in the Northern Bering Sea. Washington, 1972, (Geol. Survey Profess. paper 689).

Г. В. НЕСТЕРЕНКО, А. Н. ДМИТРИЕВ, А. А. БИШАЕВ,
 Т. И. ШТАТНОВА

ГЕНЕТИЧЕСКИЙ АНАЛИЗ ЗОЛОТОНОСНЫХ РОССЫПЕЙ С ПОМОЩЬЮ МАТЕМАТИЧЕСКИХ СРЕДСТВ

В статье излагаются некоторые результаты изучения геологической информации по россыпям одного из золотоносных районов Сибири, проведенного с помощью логико-дискретного анализа. Подобный анализ использовался ранее при решении ряда геологических задач и, в частности, при сравнительном изучении древних металлоносных конгломератов (Дмитриев и др., 1968₁), сульфидного оруденения в траповых интрузиях (Дмитриев и др., 1968₂) и месторождений нефти (Трофимук и др., 1969).

Цель настоящей работы — получить количественные оценки важности различных геологических признаков на имеющемся описательном материале, выделить из них существенные и несущественные в генетическом и диагностическом плане и тем самым попытаться установить основные факторы формирования россыпей конкретного района. В методическом отношении работа преследовала цель выявить возможность применения некоторых математических машинных приемов обработки геологической информации о россыпях, содержащейся в картографических и текстовых материалах, для решения генетических задач.

Информация, используемая в работе, собрана по 38 золотоносным россыпным месторождениям и проявлениям трех золотоносных узлов изученного района. Последний характеризуется широким развитием разновозрастных магматических пород, развитием докарбоновых метаморфических комплексов и наложенных мезозойских впадин, наличием островной многолетней мерзлоты, омоложением среднегорным рельефом. Соотношение различных типов россыпей (генетических, морфологических и возрастных) в выборке соответствует реально существующему. Большинство россыпей района принадлежит к типу аллювиальных, долинных, неглубоко залегающих, верхнеплейстоцен-голоценового возраста. Меньшая часть их относится к террасовым, глубокозалегающим, верхнеплиоцен-нижнеплейстоценового возраста и к делювиально-аллювиальным (ложковым) россыпям мелких притоков и истоков.

Геоморфологическая характеристика объектов получена путем морфометрического анализа. При сборе остальной геологической информации мы пользовались данными многих исследований, а также помощью и консультаций ряда специалистов-россыпников: В. Н. Березкина, Ю. А. Семыкина, В. Л. Фишера, Е. В. Черемысина и др. Всем им авторы приносят искреннюю благодарность.

Авторы надеются, что знакомство широкого круга геологов-россыпников с изложенными в данной статье результатами применения логико-

Таблица 2

Группировка признаков

Группа признаков	Группа признаков	Геологические признаки		Группа признаков	Геологические признаки	Характеристические признаки (индекс)*
		Изменение	Норма			
I	1. Морфогенетические и возрастные типы россыней	1, 2, 3		4. Азимут простирания долин	1, 2, 3, 4	
	2. Приуроченность россыни по течению	4, 5, 6, 7		2. Направление течения реки	5, 6, 7, 8, 9, 10, 11, 12	
	3. Приуроченность по разрезу	8		3. Продольный уклон долин	13, 14, 15	
	4. Протяженность россыпи	9, 10, 11		4. Порядок долин	16, 17, 18	
	5. Мощность аллювия	12		5. Длина долин	19, 20, 21, 22	
	6. Ширина россыпи	13, 14		6. Отклонение от «средней» длины долины	23, 24, 25	
	7. Соотношение длии россыпи и долины	15, 16		7. Отклонение от «среднего» продольного уклона	26, 27, 28	
	8. Соотношение мощности песков и торфов	17, 18		8. Врез долин	30, 31, 32	
	9. Характер выклинивания вверх по течению	19, 20, 21		9. Асимметричность долин	33, 35	
	10. Характер перехода вниз по течению	22, 23, 24, 25		10. Соотношение породных долин	34	
	11. Золотоносность притоков	26, 27, 28, 29		11. Густота речной сети	36, 37, 38	
	12. Золотоносность более крученой реки	30, 31, 32, 33		12. Симметричность бассейнов	39, 40	
	13. Соотношение россыпей и золотоносного узла	34, 35, 36, 37				
	14. Соотношение эндогенного и россыпного оруденения узла	38, 39, 40				
	15. Золотоносность рыхлых отложений в районе россыпей	41, 43				

II	1. Петрографический состав плагиоколов	1, 2, 3, 4	1. Продуктивность по запасам отложений	1, 2, 3		
	2. Геотектоническое положение россыпей	5, 6, 7	2. Степень концентрации металла в россыпях	4, 5		
	3. Геологическое положение россыпей	8, 9, 10, 11, 12	3. Пробности золота	6, 7, 8		
	4. Возраст интрузивных комплексов	13, 14, 15, 16, 17	4. Крутизна золота	9, 10, 11, 12		
	5. Характер плагиокала (разрушенность)	18, 19, 20, 21, 22	5. Окатаанность золота	13, 14		
	6. Масштабы эндогенного оруденения	23, 24, 25, 26, 27	6. Гранулометрический состав аллювия	15, 16, 17, 18, 19		
	7. Минеральный тип золотого оруденения	28, 29	7. Петрографический состав аллювия	20, 21, 22, 23, 24, 25, 26		
	8. Генезис эндогенного оруденения	30	8. Окатаанность обломочного материала	27, 28, 29, 30, 31		
	9. Развитие яшил выполнения и замещения	31, 32	9. Минералогический состав пильхов	32, 33, 34, 35, 36,		
	10. Типы оруденения по количеству сульфидов	33, 34	10. Степень отработанности россыпей	37, 38, 39, 40, 41, 42		
	11. Типы предрудных процессов	35, 36, 37, 38		43, 44, 45, 46, 47		
	12. Местоположение коренного оруденения в рельфе	39, 40, 41, 42, 43, 44		48, 49, 50, 51, 52, 53		
	13. Размеры выделений золота в рудах	45				

* Расшифровка характеристических признаков (индексов) дана в табл. 3—4.

Таблица 3

Ранжированные по величине межклассовых различий (R_i) ряды характеристических (Х) признаков пространственно-временной (I) группы

Индекс признака	Характеристический признак		
		Значение R_i	Ранг
1	2	3	4
41	В районе долинной россыпи установлены увалльные и террасовые россыпи	1,80	
13	Ширина россыпи более 100 м	1,60	
34	Россыпь составляет существенную часть (более 10%) золотоносного района или узла	1,50	
26	Существенная часть притоков золотоносна	1,32	I
30	Золотоносность более крупной «принимающей» долины ниже, чем долины с россыпью	1,27	
19	Россыпь продолжается до самой вершины	1,22	
29	Золотоносность притоков высокая	1,05	
9	Долина россыпей более 5 км	0,90	
33	Золотоносность притоков выше, чем долины с россыпью	0,89	
11	Длина россыпей более 15 км	0,66	
31	Золотоносность более крупной «принимающей» долины значительно выше	0,59	
38	Район высоко насыщен россыпями	0,53	
40	В пределах золоторудного узла известны месторождения золота	0,48	
4	Россыпь приурочена к верхнему и среднему течению	0,46	
14	Ширина россыпей более 50 м	0,44	
20	Россыпь резко выклинивается вверх по течению	0,43	
21	Россыпь продолжается в россыпь притоков или истоков	0,39	
37	Россыпь или ее часть удалена более чем на 10 км от фиксированного золотоносного узла	0,38	
36	Россыпь расположена в пределах или вблизи фиксированного золотоносного узла.	0,34	
6	Россыпь приурочена к нижнему и среднему течению	0,33	
27	Золотоносная несущественная (меньшая) часть притоков	0,32	
12	Мощность россыпей менее 3 м	0,32	
7	Россыпь приурочена ко всей длине долины	0,31	
15	Отношение длины долины к длине россыпи больше 2	0,31	
43	В районе россыпей установлена золотоносность дочетвертичных рыхлых отложений	0,31	
24	Россыпь прослеживается до устья	0,31	II
25	Содержание продолжается в долину, принимающую долину с россыпью	0,31	
39	Площадь россыпной золотоносности значительно больше площади эндогенной золотоносности	0,30	
2	Долинный или террасовый морфологический тип	0,30	
3	Возрастной тип россыпей (Q_{3-4} или $N_2 - Q_1$)	0,29	
8	Мелко или глубоко залегающие россыпи	0,28	
35	Россыпь приурочена к крупному золотоносному району (узлу)	0,27	
1	Аллювиальный или ложковый тип россыпей	0,27	
10	Длина россыпей лежит в интервале 5–16 км	0,26	
17	Отношение мощности торфов к мощности песков больше 2	0,25	
18	Отношение мощности торфов к мощности песков больше 5	0,25	
22	Вниз по течению четко наблюдается снижение содержания	0,25	
32	Золотоносность более крупной «принимающей» долины примерно того же порядка	0,24	
23	По простиранию россыпь наблюдается обогащенные участки и нережими	0,19	
16	Отношение длины долины к длине россыпи около 1	0,13	III
5	Россыпь не приурочена к среднему течению	0,11	
28	Золотоносны притоки верхней (по течению) части россыпи и выше россыпей	0,11	

четко выявляются качество и сопоставимость анализируемых материалов. Четко, например, устанавливается неодинаковая охарактеризованность различных объектов и различных групп признаков. Особенно слабо изученными оказались многие вещественные признаки в классе «г» мелких россыпных проявлений, такие как состав обломочного материала,

Таблица 4

Ранжированные по величине межклассовых различий (R_i) ряды характеристических (Х) признаков геолого-металлогенической (II) группы

Индекс признака	Характеристический признак		
		Значение R_i	Ранг
1	2	3	4
34	Развитие в районе существенно сульфидной минерализации	1,70	
13	Развитие позднемезозойского магматизма	1,20	
42	Развитие золотого оруденения в притоках и (или) истоках	1,17	
21	Развитие в плотиках зон пиритизации, лимонитизации, дробления	1,02	I
15	Развитие в районе палеозойского магматизма	0,92	
1	» в плотиках метаморфических пород	0,92	
9	» в районе метаморфических пород	0,90	
39	» в долине с россыпью и (или) ее бортах золотого оруденения	0,79	
44	Развитие золотого оруденения в разных частях течения	0,74	
18	» в плотиках свежих плотных пород	0,71	
4	» в плотиках осадочных пород (мезозойского возраста)	0,70	
11	Распространение в районе осадочных пород (мезозойского возраста)	0,69	
28	Развитие эптермального ртутно-сульфидного золоторудного комплекса	0,65	
10	Развитие в районе эффузивных (мезозойских) образований	0,61	
22	Развитие глинистых плотиков	0,61	
24	» в районе россыпей эндогенных рудопроявлений золота	0,59	
26	» антиmonyтовой рудной минерализации	0,56	
7	Приуроченность к мульдам и впадинам	0,52	
19	Развитие элюзии плотика	0,50	
25	» в районе россыпей молибденового оруденения	0,49	
3	» в плотиках эффузивов	0,48	
41	» в верховых и на вершинных водоразделах золотого оруденения	0,46	
27	Развитие в районе эндогенного оруденения других типов	0,40	
36	» в районе россыпей золото-турмалинового оруденения	0,38	
40	» эндогенного оруденения на водоразделах	0,30	
20	» в плотиках слаболигнитизированных осадочных пород	0,30	
29	» в районе россыпей золото-молибденового комплекса	0,30	
8	» в районе изверженных пород	0,30	
43	Локализация эндогенного оруденения в верхних частях россыпей и выше их	0,29	
37	Развитие магнетитовых пород с наложенной золотой минерализацией	0,26	
16	Развитие протерозойского магматизма	0,26	
23	» в районе россыпей эндогенных месторождений золота	0,26	
45	Присутствие в эндогенных рудах видимого золота	0,24	
32	Развитие метасоматических и вкрашенных руд золота	0,24	
2	» в плотиках гранитоидов	0,19	
33	» в районе россыпей мало- и умеренно сульфидных руд	0,19	
14	» раннемезозойского интрузивного комплекса	0,15	
38	» наложенной золотой минерализации на породы другого состава	0,11	
30	Развитие гидротермального оруденения	0,11	
6	Приуроченность россыпей к киммерийскому складчатому поясу	0,10	
35	Развитие скарнов с наложенной золотой минерализацией	0,05	
31	» жил выполнения	0,00	
5	Приуроченность к герцинскому складчатому поясу	0,00	
12	Развитие молодого дайкового комплекса	0,00	
17	» архейского интрузивного комплекса	0,00	

состав и морфология россыпного золота и др. Совершенно очевидно, что подобная неравномерность делает материал плохо сопоставимым, что отрицательно сказывается на результатах любых исследований.

На рис. 1 показаны значения суммарных коэффициентов различия K между каждым из четырех классов россыпей и соответствие этих различий различия в размерах сравниваемых классов. Суммарный коэффициент по всем четырем группам признаков для разных пар классов

Таблица 5

Ранжированные по величине межклассовых различий (R_i) ряды характеристических признаков (Х) геоморфологической III группы

Индекс признака	Характеристический признак	Значение R_i	Ранг
15	Продольный уклон меньше (больше) 0,020	1,5	
19	Длина долины больше (меньше) 10 км	1,4	
14	Приуроченность россыпей к долинам со средним (0,005—0,0020) продольным уклоном	1,2	
16	Приуроченность россыпей к долинам I-II порядка	1,2	
35	" " " с правой асимметрией	0,3	
21	" " " длиной от 30 до 90 км.	0,8	I
17	" " " III—IV порядка	0,7	
27	Продольный уклон долины с россыпью близок к среднему уклону	0,6	
33	Асимметричность долин $K > 1,5$	0,5	
28	Продольный уклон долины аномально пологий	0,5	
3	Приуроченность россыпей к долинам ЮЗ—СВ простирации	0,49	
9	" " " с ЮЗ течением рек	0,49	
24	" " " близким по длине к средней	0,48	
18	" " " V—VI порядка	0,47	
36	Густота речной сети не очень высокая ($K < 0,7$)	0,43	
39	Асимметричность речных бассейнов	0,42	
8	Приуроченность россыпей к долинам с ЮЗ течением рек	0,41	
10	" " " с ЮВ течением рек	0,41	
2	" " " к субширотным долинам	0,40	
25	" " " к аномально коротким долинам	0,40	
34	Приподнявшаяся долина и долина с россыпью близкого порядка	0,38	II
40	Приуроченность золотоносной долины к бассейну с правой асимметрией	0,35	
26	Приуроченность россыпей к аномально крутым долинам	0,32	
38	Густота речной сети средняя (0,5—0,7)	0,30	
30	Приуроченность россыпей к долинам со средним (150—250 м) врезом	0,30	
31	" " " к существенно (более 250 м) врезанным долинам	0,30	
32	Приуроченность россыпей к глубоко (более 400 м) врезанным долинам	0,29	
4	Приуроченность россыпей к долинам СЗ—ЮВ простирации	0,29	
12	Приуроченность к долинам с СВ течением рек	0,29	
20	" " " россыпей к средним (10—30 км) по длине долинам	0,28	
7	" " " к долинам с восточным течением	0,27	
1	" " " россыпей к субмеридиональным долинам	0,26	
13	Продольный уклон долины менее 0,005	0,24	
5	Приуроченность к долинам с южным течением	0,20	
23	" " " к аномально длинным долинам	0,15	
22	" " " к очень длинным долинам	0,15	
37	Густота речной сети низкая ($K < 0,5$)	0,15	
6	Приуроченность к долинам с северным течением	0,14	
11	" " " к долинам с СЗ течением	0,12	III

неодинаков. Важно, что величина коэффициента межклассового различия соответствует разнице в размерах сравниваемых классов. В частности, суммарный коэффициент различия между классами «а» и «г» в 2,5 раза больше, чем между классами «в» и «г». Различия между классами «б» и «в» по вычисленным параметрам оказались несущественными, что свидетельствует о том, что классы «б» и «в» целесообразней было бы объединить в один класс, а общее количество классов ограничить тремя (а не четырьмя).

Рассматривая значения коэффициентов различия между разными классами, вычисленных отдельно по каждой из четырех групп признаков (см. рис. 1), можно видеть, что здесь соответствие их разнице в размерах

Таблица 6

Ранжированные по величине межклассовых различий (R_i) ряды характеристических признаков (Х) вещественной (IV) группы

Индекс признака	Характеристический признак	Значение R_i	Ранг
1	2	3	4
3	Продуктивность аллювиальных отложений более 300 ед. на 1 пог. км	2,0	
4	Относительно богатые россыпи	1,6	
6	Наличие очень высокопробного золота в россыпях (900)	1,5	
15	Наличие в основании галечников прослоев глинисто-щебнистых отложений	1,4	
43	Сильная степень отработанности россыпей	1,3	
7	Наличие высокопробного золота (800—900) в россыпях	1,0	
2	Продуктивность аллювиальных отложений от 300 до 600 ед. на 1 пог. км долины	1,0	I
47	Возможность и степень отработки драгами	1,0	
33	Присутствие в аллювии гальки и гравия магнетитов	0,8	
37	Присутствие в шлихтах сульфидов, часто лимонитизированных	0,7	
1	Продуктивность аллювиальных отложений очень высокая (более 600 кг на 1 пог. км долины)	0,7	
14	Наличие окатанного и пластишчатого золота в россыпях	0,69	
11	Присутствие мелкого золота	0,6	
10	Присутствие небольших самородков	0,55	
5	В россыпях часто встречаются богатые пески	0,5	
16	Глинистость галечников повышенная	0,5	
42	Развитие мерзлоты в россыпях	0,5	
29	Хорошая степень окатанности обломочного материала	0,4	
40	Присутствие в шлихтах киновари	0,4	
27	Слабая (неслабая) степень окатанности обломочного материала	0,39	
22	Присутствие в аллювии гальки и гравия лимонитов	0,39	
30	Присутствие в россыпях хорошо окатанной экзотической гальки	0,35	II
33	Присутствие среди основных тяжелых минералов аллювиальных илих амфиболов	0,35	
44	Средняя степень отработанности россыпей	0,33	
18	Валуунистость (каменистость) россыпей сильная	0,33	
24	Присутствие в россыпях обломков и галек метасоматитов, халцедоновидного кварца, кварцитов	0,30	
38	Присутствие в шлихтах лимонитов	0,30	
19	Возрастание валуунистости по разрезу россыпи	0,28	
9	Присутствие крупных самородков	0,27	
12	Присутствие в россыпях крупного и среднего по крупности золота	0,27	
28	Средняя степень окатанности обломочного материала	0,26	
13	Присутствие в россыпях неокатанного и слабоокатанного золота	0,26	
53	Присутствие в средних и нижних по течению частях россыпей слабоизмененного золота	0,26	
45	Слабая степень отработанности россыпей (и не затронутые отработкой россыпи)	0,25	
8	Присутствие в россыпях изоконобного золота (менее 700)	0,24	
25	Присутствие в россыпях обломков и галек рудных пород с видимым золотом	0,22	
31	Равномерность окатанности обломочного материала	0,21	
21	Присутствие в россыпях обломков пиритизированных и лимонитизированных пород	0,20	
39	Присутствие в шлихтах турмалина	0,13	
46	Россыпи затронуты раздельной старательской отработкой	0,12	
26	Присутствие в россыпях галек и обломков рудных пород	0,12	
49	Наличие в россыпях сростков золота с кварцем	0,10	
17	Валуунистость россыпей средняя и слабая	0,0	
20	Полимиктовость (олигомиктовость) аллювия	0,0	III

	1	2	3	4
32	Полимиктовость (олигомиктовость) тяжелой фракции аллювиальных илихов		0,0	
34	Присутствие среди основных тяжелых минералов аллювиальных илихов магнетита		0,0	
35	Присутствие среди основных тяжелых минералов аллювиальных илихов амфиболя		0,0	
36	Присутствие среди основных тяжелых минералов аллювиальных илихов эпидота		0,0	
41	Выход тяжелой фракции менее 10 кг/м ³		0,0	

выражено слабее, чем для суммарного коэффициента. Судя по степени соответствия, лучшие других разделяют классы россыпей признаки вещественной группы (IV), затем пространственно-временной (I), далее геологической и металлогенической (II) и, наконец, признаки геоморфологической (III) группы.

Поскольку признаки имеют неодинаковые различающие веса, их можно упорядочить, т. е. расположить в определенный, последовательно убывающий или возрастающий ряд. Такие упорядоченные (ранжированные) кривые (рис. 2) позволяют оценить относительную возможность с помощью групп признаков различить те или иные классы, а также выделить в каждой группе наиболее различающие признаки и, таким образом, наметить пути сокращения числа признаков. Кроме того, с их помощью можно проверить вывод о соответствии величин коэффициентов междуклассового различия разнице в размерах россыпей.

Различающую способность разных групп признаков можно оценить, например, сравнением средних значений первых десяти признаков каждой группы или, что то же самое, сравнением площадей, образованных левыми частями кривых (см. рис. 2). Проделав это сравнение, приходим к выводу, что классы различаются между собой I и IV группами признаков (пространственно-временными и вещественными) в 1,3—2,0 раза лучше (сильнее), чем II и III группами (геологическими и геоморфологическими) признаков.

Вещественная группа признаков оказывается наиболее важной в диагностическом и генетическом отношении. Наименьшее значение имеют в целом геоморфологические признаки.

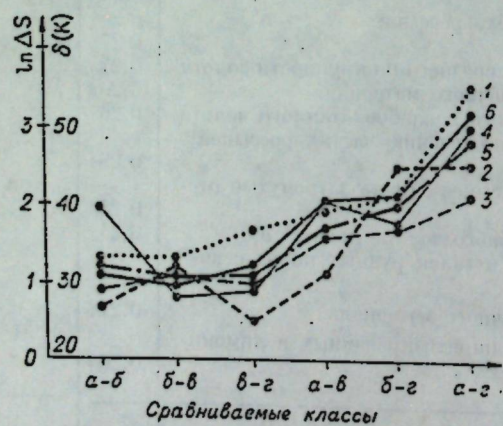


Рис. 1. График соответствия коэффициента различия между классами россыпей (a, b, в, г) по группам признаков (б, К), разнице в размерах россыпей ($In\Delta S$)
1—4 — коэффициенты различий между классами (б, К) по каждой из групп признаков, 1 — по I; 2 — по II, 3 — по III, 4 — по IV группе; 5 — установленный коэффициент по всем группам; б — различие между классами россыпей по их размерам.

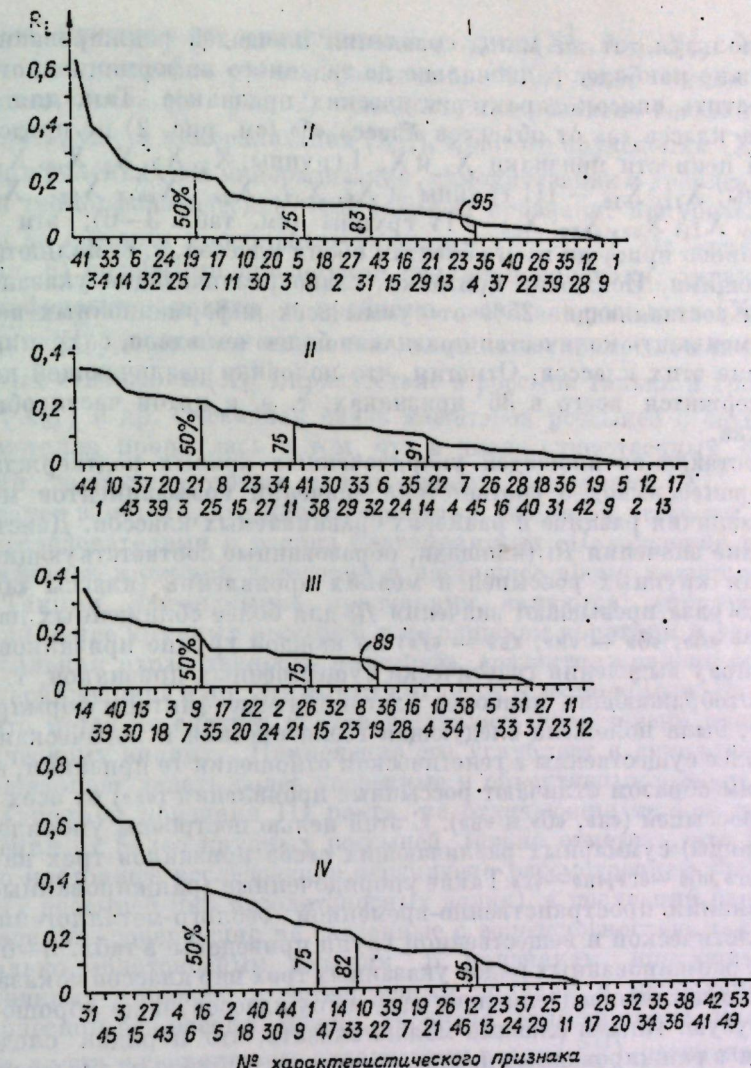


Рис. 2. Упорядоченные кривые различающих весов (R_i) признаков между классами «а» и «б» по I, II, III и IV группам.

группы признаков в целом не исключает высокого значения отдельных геоморфологических признаков, таких, например, как длина и уклон золотоносных долин. С другой стороны, положение о слабом влиянии современной геоморфологической обстановки на размеры и богатство долинных россыпей золота также вполне вероятно и уже высказывалось в литературе (Карташов, 1972, с. 85). Оно представляется особенно естественным в свете высказываемых в последнее время многими исследователями соображений об очень слабой транспортабельности самородного относительно крупного (не «косового») золота, остаточном характере накопления россыпных концентраций, формирующихся в течение длительной истории континентального развития территорий, в отдельных этапах которой были различные геоморфологические обстановки; большего влияния на процесс образования таких аллювиальных россыпей глубины эрозионного вреза, размеров и характера коренного оруденения, древних зонах окисления и кор выветривания и некоторых других моментов. Современная же геоморфологическая обстановка зачастую (но не всегда!) выглядит на фоне сказанного малозначительным фактором.

Используя тот же метод сравнения площадей ранжированных кривых, можно наименее рационально до заданного информационного предела сократить список характеристических признаков. Так, для отличия объектов класса «а» от объектов класса «б» (см. рис. 2) не представляют никакой ценности признаки X_1 и X_9 , I группы; X_9 , X_5 , X_2 , X_{12} , X_{13} , X_{17} — II группы; X_{11} , X_{12} — III группы и X_8 , X_{17} , X_{23} , X_{20} , X_{32} , X_{34} , X_{35} , X_{36} , X_{38} , X_{41} , X_{42} , X_{49} , X_{53} — IV группы (см. табл. 3—6); эти признаки одинаково присущи всем объектам обоих классов, т. е. являются отождествляющими. Исключив признаки, слабо различающие указанные два класса и составляющие 25% от суммы всех информационных весов, мы можем уменьшить количество признаков более чем вдвое, сохранив четкое разделение этих классов. Отметим, что половина различающей информации содержится всего в 36 признаках, т. е. в пятой части общего их количества.

Сопоставление площадей упорядоченных кривых подтверждает сделанный ранее вывод о соответствии значений коэффициентов межклассового различия разнице в размерах сравниваемых классов. Действительно, средние значения R_i (площади, образованные соответствующими кривыми) для крупных россыпей и мелких проявлений (классы «а» и «г») в 2,0—2,5 раза превышают значения R_i для более сближенных пар классов («а» — «б», «б» — «в», «в» — «г») по каждой группе признаков.

В основу выделения генетически существенных признаков, т. е. признаков, отображающих наиболее благоприятные факторы формирования россыпей, была положена следующая геологическая и логическая посылка: наиболее существенны в генетическом отношении те признаки, которые наилучшим образом отличают россыпные проявления («г») от всех других классов россыпей («а», «б» и «в»). С этой целью построены упорядоченные кривые (ряды) суммарных различающих весов признаков трех пар классов: «а» — «г», «б» — «г», «в» — «г». Такие упорядоченные (ранжированные) ряды для признания пространственно-временной геолого-металлогенической геоморфологической и существенной групп приведены в табл. 3—6. Сопоставление ранжированных рядов указанных трех пар классов показало, что признаки, отчетливо разделяющие одну пару классов, чаще хорошо разделяют и другую. Иными словами можно сказать, что порядок следования признаков в ранжированных последовательностях этих пар классов («а» — «г», «б» — «г», «в» — «г») одинаков и при их суммировании существенно не нарушается. Это обстоятельство в какой-то степени подкрепляет правомерность сделанной геологической предпосылки и позволяет более уверенно интерпретировать упорядоченные ряды суммарных различающих весов. Не меньший интерес для генетического анализа россыпной золотоносности могло бы дать аналогичное сравнение золотоносных и незолотоносных долин. Однако по ряду причин, и в том числе по причине слабой охарактеризованности последних, подобное сравнение не было проведено.

Таким образом, последовательность в порядке убывания диагностической и генетической важности характеристических признаков и разбисение этих последовательностей на ранги можно рассматривать как классификацию признаков по диагностической и генетической существенности. Наиболее существенны признаки первого ранга с максимальным значением R_i и наименее — признаки последнего ранга.

Естественно, что максимальный интерес представляют признаки I ранга, среди которых особое место занимают признаки, позволяющие увидеть геологические факторы, более других влияющие на процесс формирования россыпей. К числу последних, по-видимому, следует отнести такие пространственно-временные признаки (см. табл. 3), как наличие в долинах остатков террасовых и уvalльных россыпей (X_{41}), признаки, характеризующие соотношение золотоносности основной долины с золото-

носностью притоков и принимающей долины (X_{26}^I , X_{29}^I , X_{30}^I , X_{31}^I , X_{33}^I), высокая насыщенность района россыпями (X_{38}^I), либо такие геологометаллогенические (см. рис. 2) признаки, как развитие богатой сульфидами золоторудной минерализации (X_{34}^{II}), золотого оруденения (X_{39}^{II} , X_{42}^{II}), развитие в плотиках зон минерализации, лимонитизации и дробления (X_{21}^{II}), а также геоморфологические (см. табл. 5) признаки: приуроченность к долинам со средним продольным уклоном (X_{14}^{III} , X_{15}^{III}). Из вещественных (см. табл. 6) подобными признаками являются признаки, характеризующие морфологию, размер и пробность золота в россыпях (X_6^{IV} , X_7^{IV} , X_{10}^{IV} , X_{11}^{IV} , X_{14}^{IV}), наличие в основании галечников глинистых или глинисто-щебнистых отложений (X_{15}^{IV}), присутствие в россыпи гальки и гравия магнетита (X_{23}^{IV}) и др. Очевидная связь масштабов россыпей с содержанием в них металла проявилась в том, что в числе существенных оказались признаки, характеризующие продуктивность отложений (X_1^{IV} , X_5^{IV}).

Следует заметить, что многие признаки уже были отнесены предыдущими исследователями в разряд благоприятных. Нахождение ряда других признаков в данной категории в настоящее время кажется «очевидным». Такими «очевидными» признаками являются: «приуроченность более или менее крупных россыпей к не слишком коротким и узким долинам», «сильная отработанность россыпей», «развитие в районе золоторудной минерализации» и пр. Эти факты выглядят естественными. Они показывают, что метод не следует противопоставлять повседневно проводимому геологическому анализу. Применение его углубляет и дополняет последний и позволяет делать более уверенные и объективные выводы.

Анализируя признаки III ранга, не отличающие мелкие россыпные проявления от более крупных россыпей, можно отметить, что в связи с тем, что настоящее исследование ограничено рассмотрением только золотоносных россыпей (без незолотоносных долин), в последний ранг попали как признаки, совершенно не связанные с золотоносностью, так и присущие только золотоносным долинам. К признакам, присущим вообще четвертичному аллювию и четвертичным долинам и малосущественным в генетическом отношении, можно, вероятно, отнести такие, как приуроченность долин к герцинскому складчатому поясу (X_5^{II}), развитие в районе архейского интрузивного комплекса (X_{17}^{II}), полимиктовость (X_{20}^{IV}) и валунистость (X_{17}^{IV}) аллювиальных отложений, а также содержание в них тяжелой фракции (X_{41}^{IV}) и некоторых породообразующих минералов (X_{34}^{IV} — X_{36}^{IV}). Такие признаки III ранга, как развитие молодого (мезозойского) дайкового комплекса (X_{12}^{II}), присутствие в аллювии обломков рудных пород (X_{26}^{IV}), наличие в аллювиальных отложениях сростков кварца с золотом (X_{49}^{IV}), хотя и не отличают россыпи от мелких проявлений, по-видимому, могут быть характерными для золотоносных долин, т. е. связанными с золотоносностью.

В табл. 7 и 8 приведены подобные разобранным выше (см. табл. 3—6) упорядоченные по межклассовому различию ряды, но не характеристических, а геологических признаков каждой из четырех групп. Их можно рассматривать как расклассифицированные по генетической и диагностической существенности ряды признаков более общего порядка.

Геологическая интерпретация этих рядов также представляет безусловный интерес. Например, анализируя ряд вещественной группы (см. табл. 7), можно видеть, что наиболее «важными» геологическими признаками, лучше других различающими россыпи и мелкие россыпные проявления, являются продуктивность россыпей и степень концентрации в ней металла, пробность золота и степень отработанности россыпей. В этом смысле малопоказательны петрографический состав и окатанность

Таблица 7

Упорядоченные по степени межклассового различия (R_i) (классификационные) ряды геологических признаков вещественной и геоморфологической групп

Геологические признаки	R_i	Кривая R_i
Вещественные		
Продуктивность по линейным запасам	1,20	+
Степень концентрации металла в россыпи	1,05	+
Пробиность золота	0,90	+
Степень отработанности россыпей	0,61	+
Гранулометрический состав аллювия	0,50	+
Окатаность золота	0,48	+
Минералогический состав шлихов	0,46	+
Крупность золота	0,45	+
Окатаность обломочного материала	0,36	+
Петрографический состав аллювия	0,26	+
Наличие сростков золота	0,15	+
Геоморфологические		
Продольный уклон долин	0,95	+
Порядок долин	0,79	+
Асимметричность долин	0,72	+
Длина долины	0,59	+
Отклонение от «среднего» уклона долин	0,50	+
Асимметричность бассейнов	0,38	+
Соотношение порядков долин	0,31	+
Азимут простирания долины	0,31	+
Отклонение от «средней» длины долины	0,31	+
Густота речной сети	0,26	+
Направление течения реки	0,26	+
Брез долин	0,26	+

обломочного материала аллювия, наличие или отсутствие сростков золота в нем и некоторые др. В геоморфологической группе признаками наиболее высокого ранга являются продольный уклон, порядок, симметричность и длина золотоносных долин, а признаками наиболее низкого ранга — ориентированность и глубина вреза долин (см. табл. 7). Как легко убедиться, рассматриваемые ряды геологических признаков довольно хорошо согласуются с описанными ранее подобными рядами характеристических признаков и в целом не противоречат имеющемуся геологическому опыту. Важно подчеркнуть, что они получены совершенно объективно, сообразно со сделанной вначале геологической посылкой.

Внимательный анализ других рангов рассмотренных рядов и рядов, приведенных в табл. 6, на чем мы здесь не останавливаемся, также может представить определенный интерес.

В заключение можно сделать следующие выводы.

1. Проведенное упорядочение признаков по их генетической и диагностической существенности на основании степени межклассового различия позволяет выявить факторы, наиболее благоприятно влияющие на формирование россыпей золота в конкретном золотоносном районе и дает возможность сократить объем необходимой геологической информации за счет исключения несущественных признаков.

2. Наиболее существенными признаками для разделения рассмотренных россыпей конкретного района по классам крупности являются признаки вещественной группы, затем пространственно-временной, далее геолого-металлогенической и, наконец, признаки геоморфологической группы.

3. Математическая обработка показала, что предварительная группировка россыпей на четыре класса на профессиональном уровне прове-

Таблица 8

Упорядоченные по степени межклассового различия (R_i) (классификационные) ряды геологических признаков геолого-металлогенической и пространственно-временной групп

Геологические признаки	R_i	Кривая R_i
Геолого-металлогенические		
Тип оруденения по количеству сульфидов	0,90	+
Характер плотника (разрушенность)	0,62	+
Местоположение коренного оруденения	0,61	+
Петрографический состав плотников	0,57	+
Возраст интрузивных комплексов	0,50	+
Геологическое положение россыпи	0,49	+
Минеральный тип золотого оруденения	0,48	+
Масштабы эндогенного оруденения	0,46	+
Размеры выделений золота в рудах	0,25	+
Геотектоническое положение россыпи	0,21	+
Типы предрудных процессов	0,20	+
Развитие жил выполнения (либо замещения)	0,15	+
Генезис эндогенного оруденения	0,12	+
Пространственно-временные		
Ширина россыпи	1,00	+
Золотоносность рыхлых отложений в р-не	1,00	+
» более крупной реки	0,75	+
» притоков	0,72	+
Характер выклинивания вверх по течению	0,70	+
Протяженность россыпи	0,66	+
Соотношение россыпи и золотоносного узла	0,61	+
» эндогенного и россыпного оруденения	0,42	+
Мощность аллювия	0,33	+
Приуроченность россыпи по течению	0,31	+
Морфогенетические и возрастные типы россыпей	0,30	+
Приуроченность россыпи по разрезу	0,28	+
Характер перехода вниз по течению	0,26	+
Соотношение мощности песков и торфов	0,24	+
» длины россыпи и долины	0,23	+

дена в основном правильно, хотя классы средних («б») и мелких («в») россыпей целесообразнее объединить в один, так как межклассовое родство объектов в этих классах велико.

4. Совпадение полученных результатов с реальными данными говорит о надежности метода, дающего возможность более глубоко проводить обобщение и анализ геологической информации, содержащейся в рукописных и картографических документах.

5. Описываемый подход позволяет объективно оценивать качество и сопоставимость исходных материалов с точки зрения полноты характеристики геологических объектов.

ЛИТЕРАТУРА

- Дмитриев А. И., Журавлев Ю. И., Крендлев Ф. П. Об одном принципе классификации и прогноза геологических объектов и явлений.— «Геол. и геофиз.», 1968, № 5, с. 50—84.
 Дмитриев А. И., Васильев Ю. Р., Золотухин В. В. Логико-математическая обработка информации при выявлении перспективности сульфидного оруденения в некоторых трапповых интрузиях Севера Сибирской платформы.— «Геол. и геофиз.», 1968, № 11, с. 95—101.
 Нестеренко Г. В., Дмитриев А. И., Крендлев Ф. П., Осицев С. Р., Штатнова Т. И. Сравнительное изучение россыпей с помощью логико-дискретного анализа

(на примере Восточного Забайкалья).— В кн.: Проблемы геологии россыпей (тезисы докладов III Всесоюзного совещания по геологии россыпей). Магадан, 1969. с. 178—180.

Трофимук А. А., Вышемирский В. В., Дмитриев А. И., Рябов В. В., Вышемирская О. П., Олли И. А., Штатнова Т. И.—О сравнительном изучении гигантских месторождений нефти с использованием логико-дискретного анализа. «Геология нефти и газа», 1969, № 6, с. 17—25.

А. П. БЕРЗИНА, В. И. СОТНИКОВ, В. Н. КОРОЛЮК

СРАВНИТЕЛЬНЫЙ АНАЛИЗ СОСТАВА БИОТИТОВ И ХЛОРИТОВ МЕДНО-МОЛИБДЕНОВЫХ МЕСТОРОЖДЕНИЙ СИБИРИ И СРЕДНЕЙ АЗИИ

Медно-молибденовая минерализация в различных районах Советского Союза наряду с проявлением общих признаков, характерных для медно-молибденовой рудной формации в целом, имеет свои специфические особенности, что находит отражение в различном способе проявления магматизма, образовании различных фаций гидротермально измененных пород и т. д. В частности, специфика развития эндогенного процесса хорошо иллюстрируется на примере анализа химического состава пордообразующих минералов, таких как биотит, хлорит и др. Было показано (Mooge, Czamanske, 1973; Beane, 1974; Kesler e. a., 1975; Parry, Jacobs, 1975), что состав биотита отражает специфику химизма магмы и растворов, из которых он образуется. Анализ состава биотитов и хлоритов интересен также при решении вопроса об источниках вещества рудообразующих растворов.

БИОТИТ

На рассматриваемых месторождениях отмечается магматический биотит гранитоидов рудоносного интрузивного комплекса, а также вмещающих более древних интрузивных образований и метасоматический биотит, образующий совместно с калишпатом и кварцем крупные тела гидротермально измененных пород.

На месторождениях Восточного Забайкалья были изучены биотиты гранитов олекминского и алеңуевского комплексов, гранитов Амуджикана, гранитов и гранит-порфиров аманацкого и жирекенского комплексов, а также биотит-калишпатовых метасоматитов.

На месторождениях Кузнецкого Алатау биотит изучался в гранитоидах нижнепалеозойского комплекса и порфирах субвулканического (рудоносного) комплекса, биотит-калишпатовых и несколько более поздних по времени образования биотит-альбитовых метасоматитах.

В Средней Азии и Казахстане изучались биотиты рудоносных гранодиорит-порфиров Коунарада и сиенито-диоритов Кальмакыра.

Определение состава биотита и хлорита проводилось на микроанализаторе MS-46. Для биотита суммарное Fe пересчитывалось на трехвалентное с учетом коэффициента их отношения в эталонных образцах.

Хлор и фтор. Биотиты месторождений Восточного Забайкалья обычно содержат в своем составе оба этих элемента. Отмечается уменьшение содержания хлора и увеличение фтора в биотитах гранитов аманацкого и рудоносного (жирекенского) комплексов по сравнению с палеозойскими породами. Так, содержание фтора в биотитах гранитов алеңуевского,

олекминского комплексов и гранитов Амуджикана составляет около 0,50%. Содержание его в биотитах неизмененных гранитов аманацкого и жирекенского комплексов близки и составляют 0,87—1,03%. Повышается содержание фтора в биотитах гранитов, несущих признаки гидротермального изменения (особенно № 467, 468, 512). Максимальное содержание элемента характерно для метасоматического биотита биотит-калишпатовых образований (№ 801). Хлор в последнем биотите не обнаружен.

Отличительной особенностью биотитов из пород субвулканического комплекса Кузнецкого Алатау (в том числе и метасоматитов) является отсутствие (в пределах чувствительности анализа) в них хлора. Хлор постоянно отмечается лишь в биотитах нижнепалеозойского комплекса в количествах значительно меньших, чем в биотитах Восточного Забайкалья. Содержание фтора в биотитах из пород рудоносного комплекса значительно превышает его содержание в гранитоидах нижнепалеозойского комплекса и достигает максимума в биотитах калишпатовых метасоматитов (3,23%). В биотите альбититов (№ 720а) и гранитов с наложенной альбитизацией (№ 561) содержание фтора понижается.

В биотитах гранодиорит-порфиров Коунарада отмечается низкие содержания фтора и хлора. Для сиенито-диоритов Кальмакырского месторождения характерны высокие (максимальные среди всех рассмотренных пород) содержания хлора в биотитах.

Содержание хлора и фтора в биотитах представляет интерес в связи с вопросом о специализации магматических комплексов на эти элементы. Так, анализы биотитов свидетельствуют об обогащении фтором рудоносных интрузивных и метасоматических образований на месторождениях Кузнецкого Алатау и Восточного Забайкалья, а хлором — образований Кальмакырского месторождения.

Специализация на указанные элементы эндогенных образований рассматриваемых регионов подтверждается также спецификой состава апатитов (Берзина и др., 1974) и газово-жидких включений в кварце.

Содержание фтора в биотитах, являющееся также показателем щелочности среды (Kesler e. a., 1975), на месторождениях Кузнецкого Алатау и Восточного Забайкалья достигает максимума в биотитах из гранитов и гранит-порфиров повышенной щелочности и биотит-калишпатовых метасоматитов. Высказанное ранее предположение об использовании содержания галоидов в биотитах при решении вопроса о рудоносности магматических образований последними исследованиями не подтверждается (Kesler e. a., 1975; Parry, Jacobs, 1975). На рассматриваемых нами месторождениях отмечается повышенное содержание фтора и в меньшей мере хлора в биотитах и апатитах рудоносного комплекса, что обусловлено повышенной щелочностью эндогенных образований. Согласно Кеслеру и др. (Kesler e. a., 1975), тенденция увеличения содержания галоидов в связи с повышенной щелочностью среды сохраняется также и для нерудоносных комплексов.

Барий в исследованных биотитах отмечается постоянно. Особенно он характерен для биотитов Кузнецкого Алатау, где его содержание в одной из проб биотита кварцевых порфиров Иччульского месторождения достигает 1,29%. Резко понижено количество бария в биотитах Коунарадского и Кальмакырского месторождений.

Повышенное содержание бария в биотитах Кузнецкого Алатау хорошо согласуется с его высоким содержанием в калиевых полевых шпатах Сорского месторождения (Берзина и др., 1966). Характерная высокая дисперсия содержания бария в биотитах пород субвулканического рудоносного комплекса. Заметно понижается количество его в биотитах кварц-биотит-полевошпатовых метасоматитов (в отличие от калишпатов, в которых возрастает содержание бария от магматических минералов к метасоматическим).

Повышенная дисперсия содержания бария характерна и для биотитов пород субвуликанического рудоносного комплекса Жирекенского месторождения. При этом в биотите из биотит-калишпатовых метасоматитов Жирекена барий не обнаружен.

Алюминий. Биотиты месторождений Кузнецкого Алатау и Восточного Забайкалья обеднены глиноземом. В большинстве проанализированных биотитов алюминий в шестерной координации отсутствует, и некоторая часть алюминия в четвертной координации замещена титаном. Отмечается повышенное содержание титана в биотитах с меньшей суммой алюминия и кремния. Максимальное содержание алюминия установлено в биотите альбититов Соры (№ 720а). Биотит из биотит-калишпатовых метасоматитов Сорского месторождения (№ 583) характеризуется заметно пониженным (как относительно альбититов, так и неизмененных пород) количеством алюминия. Характерно, что содержание титана понижено в биотитах альбититов и биотит-калишпатовых метасоматитов. Некоторое сокращение количества титана фиксируется и для биотита биотит-калишпатовых метасоматитов Жирекенского месторождения (№ 801). Понижение содержания титана отмечалось также в гидротермальных биотитах месторождения Бигем (Moore, Czamanske, 1973) и объяснялось перераспределением титана вследствие образования рутила.

В биотитах гранодиорит-порфиров Коунрадского месторождения содержание алюминия значительно выше, а содержание титана ниже, чем в биотитах Кузнецкого Алатау и Восточного Забайкалья. Биотиты сиенито-диоритов Кальмакыра, наоборот, характеризуются высоким содержанием титана и низким — алюминия.

Магний и железо. По соотношению содержаний магния, железа и алюминия проанализированные биотиты относятся к флогопит-акнитовому ряду.

В биотитах Восточного Забайкалья магния больше чем железа. Причем содержания магния в биотитах пород жирекенского и аманаинского комплексов близки и значительно превышают его содержание в биотитах нижнепалеозойских гранитов и гранитов Амуджиана. В процессе метасоматического преобразования пород образуется биотит, богатый магнием (21,82% MgO). Железистость минерала составляет лишь 11,7%. Некоторое повышение содержания магния в биотитах аманаинских гранитов (№ 512) связано с проявлением гидротермального процесса (калишпатизации). Характерно, что магний заметно преобладает над железом и в биотитах эксплозивных брекчий (Скуридин и др., 1974).

На месторождениях Кузнецкого Алатау в биотите лейкократовых гранитов и порфиров субвуликанического комплекса содержание железа превышает содержание магния. В биотите нижнепалеозойских гранитондов соотношение железа и магния обратное (за исключением № 622). Биотит в биотит-калишпатовых метасоматитах существенно магнезиальный. Но магния в нем значительно меньше, чем в биотите метасоматитов Восточного Забайкалья. В биотите альбититов железо преобладает над магнием (железистость — 52,3%).

Биотит сиенито-диоритов Кальмакыра характеризуется высоким количеством магния, которое приближается к содержанию магния в метасоматических породах месторождений других регионов. По содержанию железа и магния биотит гранодиорит-порфиров Коунрадского месторождения близок к биотиту пород жирекенского комплекса. При этом магний в нем преобладает над железом.

Таким образом, на месторождениях Восточного Забайкалья состав биотита при переходе от древних гранитов к молодым изменяется в сторону уменьшения железистости и обогащения магнием. Эта тенденция сохраняется и при сравнении составов биотитов неизмененных аманаинских гранитов и пород жирекенского комплекса. Больше всего магния в биотитах калишпатитов.

На месторождениях Кузнецкого Алатау при переходе от нижнепалеозойских образований к лейкократовым гранитам и порфирам биотит обогащается железистым компонентом. При метасоматическом преобразовании пород образуется биотит существенно магнезиальный при калишпатизации и железистый — при альбитизации. На основании приведенных данных можно предполагать существенное различие в поведении магния и железа в эндогенном процессе на месторождениях Кузнецкого Алатау и Восточного Забайкалья. Следует отметить, что отношение содержаний магния и железа рассматривается рядом исследователей (Moore, Czamanske, 1973; Beane, 1974; Kesler e. a., 1975) как важный признак различия магматических и гидротермальных биотитов. По нашим данным, установленные ранее соотношения указанных элементов наблюдаются лишь в биотитах калишпатовых пород, но не подтверждаются для биотита из альбититов. Последнее, очевидно, обусловлено резко отличным соотношением элементов в гидротермальных растворах при альбитизации.

Как было показано А. А. Маракушевым и И. А. Тарапиным (1965), химический состав биотитов отражает условие щелочности, при их образовании, а именно: увеличение железистости биотитов указывает на возрастание кислотности, с возрастанием щелочности происходит увеличение магнезиального компонента. Особенно показательны при установлении щелочности среди железистость биотитов и отношение щелочей и алюминия. Из анализа приведенных данных (табл. 1, рисунок) видно, что максимальная щелочность отмечается при формировании биотит-калишпатовых метасоматитов (минимальная железистость; максимальное отношение $\text{Na} + \text{K}/\text{Al}$; глиноземистость понижена — 15,5 и 14,2; на рисунке метасоматиты занимают крайнее правое положение). Образование биотит-альбитовых метасоматитов происходит в условиях резкого

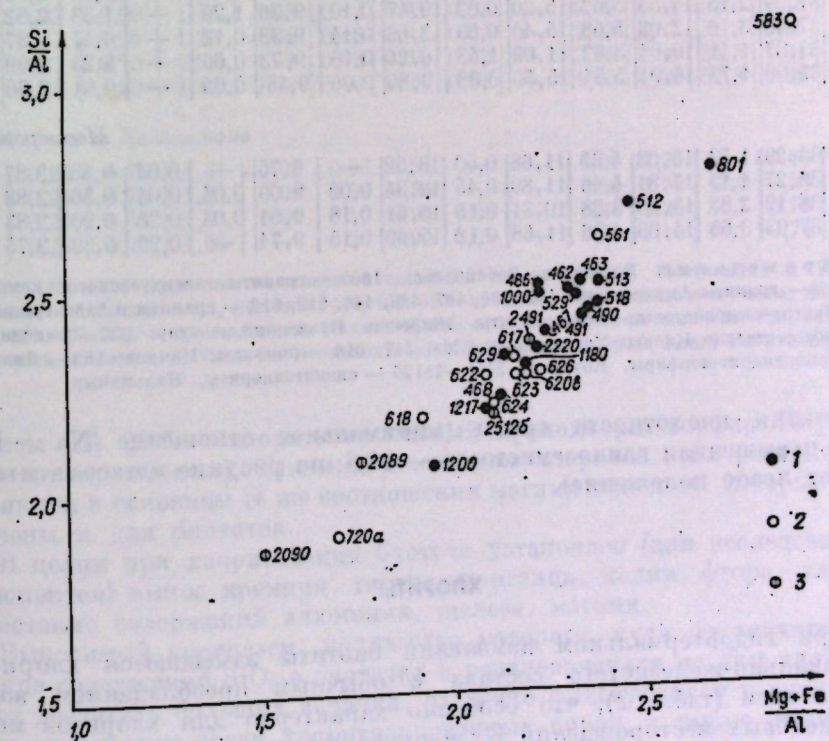


Диаграмма состава биотитов медно-молибденовых месторождений
1 — Восточного Забайкалья; 2 — Кузнецкого Алатау; 3 — Средней Азии.

Таблица 1

(по данным электронного микрозондирования)

№ образца	SiO ₂	TiO ₂	Al ₂ O ₃	Fe ₂ O ₃	FeO	MnO	MgO	Na ₂ O	K ₂ O	BaO	Cl	F	Si	Al ^{IV}
-----------	------------------	------------------	--------------------------------	--------------------------------	-----	-----	-----	-------------------	------------------	-----	----	---	----	------------------

Месторождения Востока

1000	38,41	3,95	12,93	5,62	15,00	0,21	11,69	0,07	9,76	0,05	0,14	0,62	2,84	1,13
1180	36,87	3,58	13,52	6,61	15,14	0,10	11,56	0,13	10,00	0,22	0,28	0,50	2,65	1,14
1217	36,54	3,51	14,00	5,26	14,20	0,57	12,44	0,08	9,36	0,88	—	0,50	2,78	1,22
1200	37,17	2,24	15,29	5,20	14,00	0,45	12,91	0,11	10,04	0,23	0,05	0,50	2,75	1,25
2220	37,11	2,56	13,47	5,29	13,95	0,30	13,17	0,04	9,91	—	—	0,51	2,80	1,19
462	38,26	3,26	12,82	4,48	12,54	0,20	14,44	0,13	9,30	0,14	0,15	0,96	2,85	1,12
463	38,26	3,77	12,86	4,68	12,61	0,20	14,40	0,13	9,15	0,21	0,09	1,19	2,87	1,13
467	38,37	3,34	13,47	4,76	12,80	0,11	14,37	0,15	9,11	0,49	0,13	1,31	2,82	1,17
468	37,85	3,74	14,37	4,96	13,21	0,05	14,10	0,11	9,38	0,21	0,11	1,99	2,76	1,23
486	39,72	2,95	13,84	4,62	12,49	0,16	14,83	0,11	9,12	0,05	0,13	1,11	2,89	1,11
512	40,22	2,45	12,54	2,94	13,24	0,22	15,44	0,16	8,79	—	0,11	1,31	2,96	1,04
513	37,58	3,49	12,62	5,14	12,78	0,25	14,19	0,38	9,25	0,23	0,10	0,87	2,82	1,12
518	37,99	3,33	13,22	5,10	13,60	0,16	13,97	0,19	9,01	0,06	0,13	0,96	2,82	1,15
490	37,82	3,09	12,94	4,52	12,11	0,19	15,32	0,17	9,12	0,05	0,11	1,03	2,83	1,15
491	37,61	3,26	13,10	4,76	12,85	0,26	14,58	0,13	9,32	0,10	0,09	1,03	2,81	1,15
529	38,86	3,10	13,32	4,50	12,20	0,17	15,05	0,15	8,97	0,56	0,13	0,96	2,86	1,14
801	42,13	2,72	12,77	2,82	3,17	0,06	21,87	0,13	10,06	—	—	1,93	2,97	1,03

Месторождения Центральной Азии

622	37,22	3,12	13,81	6,55	16,10	0,64	10,31	0,12	9,07	0,18	0,11	0,63	2,80	1,20
623	37,46	3,23	13,94	5,78	14,00	0,33	12,93	0,09	9,31	0,56	0,07	0,27	2,79	1,21
624	37,83	2,80	14,49	5,88	14,30	0,42	12,92	0,12	9,11	0,44	0,06	0,27	2,80	1,20
626	36,12	3,81	13,54	5,83	14,12	0,36	12,68	0,10	9,75	0,39	0,05	0,33	2,72	1,19
629	37,56	3,52	13,65	4,99	13,50	0,66	12,86	0,04	9,34	0,23	—	1,02	2,80	1,20
620в	37,22	3,25	13,80	5,32	14,30	0,12	13,09	0,04	9,60	0,14	0,05	0,89	2,78	1,21
617	36,56	2,75	13,37	5,94	15,90	1,14	10,81	0,08	9,66	0,08	—	1,31	2,79	1,20
618	37,27	2,15	14,55	5,62	15,20	0,82	10,47	0,10	9,86	1,29	—	1,63	2,82	1,18
561	37,40	3,16	12,03	5,68	15,40	0,59	12,03	0,14	9,38	0,12	—	0,47	2,87	1,09
583	39,37	1,41	10,64	3,62	11,09	1,43	16,24	0,16	9,73	0,06	—	3,23	2,99	0,95
720а	35,99	1,73	16,04	5,84	15,50	0,38	9,85	0,06	9,48	0,04	—	0,91	2,76	1,24

Месторождения Центральной Азии и Казахстана

2089	39,29	1,53	16,03	4,35	11,68	0,50	13,52	—	9,75	—	0,04	0,33	2,87	1,13
2090	39,27	1,15	17,81	4,40	11,89	0,45	12,34	0,02	9,09	0,04	0,04	0,56	2,83	1,17
2491	38,19	2,83	13,68	3,88	10,31	0,15	16,61	0,18	9,51	0,04	0,28	0,90	2,83	1,17
25126	37,93	3,66	14,66	4,36	11,68	0,12	15,60	0,15	9,74	—	0,29	0,39	2,75	1,25

Причесание. Восточное Забайкалье: 1000 — граниты алданусского комплекса, 1200, 2220 — граниты Амуджинана; 402, 463, 467, 468, 486, 512, 513 — граниты и 518 — гранит-порфириты Кузнецкого Алатау: 622 — гранодиориты, 620в, 617, 618 — порфиры, Илчул; 583 — биотит-калишпатовые метасоматиты, Жирекен. Кузнецкий Алатау: 622 — гранодиориты, 629, 561 — граниты соответственно Киялых-Узень, Сора; 620в, 617, 618 — порфиры, Илчул; 583 — биотит-калишпатовый метасоматит; 720а — биотит-альбитовый метасоматит. Средняя Азия, Казахстан: 2089, 2090 — гранодиорит-порфириты, Коурад; 2491 — сиенито-диориты, Кальмакыр.

увеличения кислотности среды (минимальное отношение $\text{Na} + \text{K}/\text{Al}$; резко повышенная глиноземистость — 21,8; на рисунке метасоматиты занимают левое положение).

ХЛОРИТЫ

При гидротермальном изменении биотиты замещаются хлоритами магнезиально-железистого состава с обычным преобладанием железа над магнием (табл. 2), что особенно характерно для хлоритов медно-молибденовых месторождений Кузнецкого Алатау. Здесь зафиксированы хлориты с наиболее высоким содержанием железа. В хлоритах Коурада, Кальмакыра и Дальнего содержание магния заметно выше и даже отмечается случаи, когда магний начинает значительно преобладать над

Al ^{VI}	Fe ³⁺	Fe ²⁺	Mg	Mn	Ti	K	Na	Ba	Si/Al	$\frac{\text{Mg}+\text{Fe}}{\text{Al}}$	$\frac{\text{Fe}}{\text{Al}+\text{Mg}}$	$\frac{\text{Na}+\text{K}}{\text{Al}+\text{Mg}}$	$\frac{\text{Al}-\text{Mg}}{\text{Al}+\text{Fe}+\text{Si}}$
------------------	------------------	------------------	----	----	----	---	----	----	-------	---	---	--	---

Черного Забайкалья

0,31	0,90	1,30	0,01	0,22	0,90	0,01	—	2,51	2,22	48,2	0,81	17,4	
0,35	0,91	1,24	—	0,19	0,91	0,02	—	2,32	2,19	50,4	0,82	18,1	
0,03	0,30	0,90	1,41	0,04	0,14	0,91	0,01	0,03	2,22	2,09	46,0	0,74	18,8
0,08	0,29	0,87	1,42	0,03	0,12	0,94	0,02	—	2,07	1,94	45,0	0,72	20,0
—	0,30	0,86	1,47	0,02	0,14	0,91	0,01	0,03	2,36	2,21	44,0	0,81	18,0
—	0,25	0,78	1,59	0,01	0,18	0,89	0,01	—	2,50	2,30	39,3	0,78	17,3
0,01	0,26	0,79	1,61	0,01	0,16	0,88	0,01	—	2,52	2,33	38,4	0,78	17,1
—	0,26	0,79	1,57	—	0,18	0,86	0,04	0,01	2,41	2,24	40,1	0,77	17,7
—	0,27	0,81	1,53	—	0,20	0,88	0,02	—	2,24	2,12	41,4	0,73	18,6
0,07	0,25	0,70	1,60	0,01	0,16	0,85	0,02	—	2,50	2,22	37,2	0,74	77,8
0,05	0,16	0,82	1,70	0,01	0,13	0,82	0,02	—	2,72	2,46	36,6	0,77	16,2
—	0,29	0,80	1,58	0,01	0,20	0,88	0,05	—	2,52	2,38	40,8	0,83	16,9
—	0,29	0,85	1,56	0,01	0,18	0,85	0,03	—	2,45	2,35	42,2	0,77	17,2
—	0,25	0,76	1,71	0,01	0,17	0,87	0,03	—	2,46	2,37	37,1	0,78	17,2
—	0,27	0,80	1,62	0,01	0,18	0,89	0,01	—	2,44	2,34	39,8	0,73	17,0
0,01	0,25	0,75	1,66	0,01	0,17	0,84	0,02	0,01	2,49	2,31	37,6	0,75	17,2
0,03	0,14	0,19	2,50	—	0,14	0,35	0,02	—	2,80	2,67	11,7	0,92	15,5

Кузнецкого Алатау

0,02	0,37	1,01	1,16	0,01	0,18	0,87	0,02	0,02	2,29	2,08	54,5	0,73	18,6
—	0,32	0,87	1,43</										

Таблица 2

Состав хлоритов медно-молибденовых месторождений (по данным микрозондирования)

№ пробы	SiO ₂	TiO ₂	Al ₂ O ₃	FeO	MnO	MgO	K ₂ O	F
<i>Месторождения Кузнецкого Алатау</i>								
694/1	25,65	0,38	20,37	34,54	0,18	7,44	1,12	
694/2	28,53	0,85	19,37	29,06	0,39	11,09	0,53	0,22
697	26,37	Не обн.	16,86	24,00	Не обн.	17,01	—	Не обн.
557	26,66	»	21,62	23,69	»	14,92	0,01	»
621	26,33	»	20,47	23,60	»	16,48	—	»
622/1	27,38	»	20,45	24,17	»	15,51	0,97	»
622/3	25,17	0,16	18,46	28,05	0,69	11,85	0,51	
<i>Месторождения Средней Азии и Казахстана</i>								
2091	29,37	Не обн.	21,26	22,50	Не обн.	17,94	—	Не обн.
2092	27,95	»	23,22	22,20	»	18,04	0,79	»
2089	26,44	»	21,14	21,01	»	18,00	0,04	»
2095	26,42	»	19,77	16,40	»	21,25	—	»
2417а	27,13	»	17,62	22,30	»	17,69	—	»
2496а	27,35	»	20,43	23,95	»	17,28	0,08	»
2512б	39,31	»	23,53	16,37	»	16,49	—	»
2491а	36,92	»	17,70	21,34	»	19,34	0,01	»
2472в	27,39	»	19,79	22,61	»	19,28	0,01	»

Приимечание. Кузнецкий Алатау: 694, 697 — граниты, Узункупук; 557 — граниты, Сора; 621, 622 — измененные гранодиориты, Инчул. Средняя Азия и Казахстан: 2091, 2092, 2089, 2095 — хлоритизированные гранодиорит-порфирь, Коунарад; 2417а — калишпатизированные гранодиорит-порфирь, Дальнее; 2496а — хлоритизированные гранодиорит-порфирь, Дальнее; 2512б — гранодиориты, Кальмакыр; 2491а — хлоритизированные сиенито-диориты, Кальмакыр; 2472в — сиенито-диориты, Дальнее.

Кальмакырского месторождения. Количество SiO₂ в них соизмеримо (иногда даже больше — № 2512б) с содержанием его в биотитах этих пород.

Практически полностью из хлоритизированного биотита выносится титан, частично фиксирующийся среди измененных пород в виде рутила. Однако учитывая ограниченное развитие в этих породах рутила, а также то, что источником титана в данном случае являлся очень неустойчивый при гидротермальном изменении породы сфен, можно предполагать некоторую миграцию титана из зоны изменения. На заметное сокращение содержания TiO₂ в псевдоморфозах хлорита по биотиту указывал Дж. Ямбор (Jambor, 1974), изучавший гидротермально измененные породы медно-порфировых месторождений Канады.

В редких случаях (Кузнецкий Алатау) хлориты содержат титан, но в заметно меньших количествах, чем биотиты. Характерно, что в этих хлоритах фиксируется также фтор, обычно выносимый при хлоритизации биотита. Только в хлоритах, содержащих титан, устанавливается марганец.

Резко сокращается в хлоритах содержание калия (в большинстве проб калий даже не фиксируется).

Определенный интерес наряду с высвобождением фтора представляет вынос хлора при хлоритизации биотита. В случае повышенных концентраций биотита в исходных породах и широкого развития хлоритизации этот процесс может оказать заметное влияние на баланс летучих компонентов в гидротермальной системе. В этих же условиях высвобождается и значительное количество калия.

Возрастание в хлоритах железа, магния и, возможно, алюминия происходит скорее всего за счет элементов, выносимых из сопряженных зон гидротермально измененных пород. Последнее отчетливо проявляется на месторождениях с интенсивным развитием окварцевания (до формирования монокварцитов).

В заключение можно сказать следующее. В составе биотита пород рудоносных магматических комплексов и биотитодержащих метасома-

тилов находит отражение региональная специфика медно-молибденовых месторождений.

В процессе хлоритизации биотитов происходит высвобождение ряда элементов (в частности, калия, фтора, хлора, титана и др.), которые могут оказывать существенное влияние на состав минералообразующих растворов.

ЛИТЕРАТУРА

- Берзина А. П., Сотников В. И., Королюк В. Н. Особенности химического состава анатитов гидротермально измененных пород медно-молибденовых месторождений. — «Геохимия», 1974, № 6, с. 871—874.
 Берзина А. П., Сотников В. И., Рылов Г. М. О калишпататах метасоматических пород Сорского месторождения, ЭВМО, 1966, вып. 3, с. 367—372.
 Маракушев А. А., Тарапин И. А. О минералогических критериях щелочности гранитоидов. — «Известия АН СССР. Серия геол.», 1965, № 3.
 Скуридин В. А., Сотников В. И., Никитина Е. И., Проскуряков А. А. О находке своеобразных пород, формирующихся в фронтальной части зон эксплозивного брекчирования (Жирекенское месторождение). — «Докл. АН СССР», 1974, т. 217, № 2, с. 443—445.
 Beane W. E. Biotite stability in the porphyry copper environment. — «Econ. Geol.», 1974, v. 69, n. 2, p. 241—256.
 Jambor J. L. Trace element variations in porphyry copper deposits, Babine Lake area, B. C. Geol. Surv. of Canada, Paper 74—9, 1974, p. 30.
 Kesler S. E., Issigonis M. J., Brownlow A. H., Damon P. E., Moore W. J., Northcote K. E., Preto V. A. Geochemistry of biotites from mineralized and barren intrusive systems. — «Econ. Geol.», 1975, v. 70, n. 3, p. 559—567.
 Moore W. J., Czamanske G. K. Composition of biotites from unaltered and altered monzonitic rocks in the Bingham mining district, Utah. — «Econ. Geol.», 1973, v. 68, n. 2, p. 269—274.
 Parry W. T., Jacobs D. C. Fluorine and chlorine in biotite from Basin and Range plutons. — «Econ. Geol.», 1975, v. 70, n. 3, p. 554—558.

Е. И. НИКИТИНА, В. И. СОТНИКОВ, Л. Н. ПОСПЕЛОВА

СОСТАВ МАГНЕТИТА ИЗ ПОРОД ШАХТАМИНСКОГО МОЛИБДЕНОВОГО МЕСТОРОЖДЕНИЯ В СВЯЗИ С ЕГО ГЕНЕЗИСОМ

Применение рентгеноспектрального микроанализа при исследовании магнетита различных пород, встречающегося обычно в рассеянном состоянии и часто находящегося в тесных сростках с другими минералами, позволило проследить эволюцию его состава в эндогенном процессе при формировании Шахтаминского молибденового месторождения (Сидоренко, 1961; Сотников, 1961) и получить новую генетическую информацию об этом процессе.

На микроанализаторе MS-46 исследовался (табл. 1) состав магнетита из вмещающих среднеюрских биотит-роговообманковых гранитоидов Шахтаминского массива и пород верхнеюрского субвуликанического рудоносного комплекса, образующих многочисленные дайко- и штокообразные тела в Шахтаминском массиве, в том числе сложные по мощности дайки (Скуридин и др., 1972) со следующей возрастной последовательностью: лампрофиры, диоритовые порфириты, гранодиорит-, гранит-порфирь; изучался также магнетит из тел эксплозивных брекчий, тесно связанных с становлением субвуликанических интрузивов, и из окологижильных магнетитомарматитов, сопровождающих кварц-молибденитовые жилы. Более подробная характеристика всех исследованных образований приведена в работе В. И. Сотникова и др. (1971). Особое внимание было обращено на магнетит, хром и ванадий, как на элементы, наиболее характерные для магнетитов.

Таблица 1

Особенности состава магнетитов Шахтаминского месторождения (по данным рентгено-спектрального микроанализа), %

№ пробы	Вмещающая порода	TiO ₂	Cr ₂ O ₃	V ₂ O ₅	MoO	MnO	Al ₂ O ₃
882	Шахтаминские гранитоиды (СВ фланг месторождения)	0,03	1,39	0,36	0,03	0,06	0,13
883а	Диоритовый порфирит (дайка)	—	1,42	0,42	0,06	0,06	0,18
		0,02	0,20	0,48	0,06	0,06	0,31
		—	3,01	0,48	0,04	—	0,05
884	Гранодиорит-порфир (дайка)	—	0,11	0,20	0,03	—	0,08
		—	1,40	0,27	0,03	—	0,08
883в	Гранит-порфир (шток)	0,08	0,42	0,28	0,03	0,16	0,24
873	Кварцевый порфир (дайка)	2,44	0,04	0,32	0,09	—	1,15
		1,41	0,04	0,22	0,06	0,07	0,10
		0,14	0,10	0,40	—	0,07	0,13
		0,08	1,03	0,46	0,03	0,06	0,15
		1,20	0,23	0,26	0,02	0,09	0,12
881/8	Диоритовый порфирит (сложная дайка)	0,02	2,02	0,27	0,06	—	0,13
881/4	Ксенолит лампрофира в гранит-порфире (сложная дайка)	0,19	0,02	0,42	—	—	0,08
881/15	Шахтаминские гранитоиды, вмещающие сложную дайку (экзоконтактовая зона)	0,06	3,77	0,49	0,07	—	0,31
		0,07	1,65	0,48	0,08	—	0,15
		—	0,99	0,22	0,03	—	0,05*
121в	Эксплозивные брекчи из штокобразного тела (цемент)	0,09	1,47	0,42	0,03	—	0,14
121д	То же (обломки)	0,03	0,58	0,34	0,03	—	0,22*
121а	Эксплозивные брекчи из жилообразного тела (цемент)	0,03	1,02	0,24	—	—	0,06
		0,22	0,45	0,25	0,03	0,12	0,08
121б	То же (обломки)	0,06	1,37	0,40	0,02	—	0,07*
888	Шахтаминские гранитоиды, вмещающие кварц-молибденитовую жилу № 6	—	1,47	0,36	0,07	0,03	0,10
869	Гидротермально измененные шахтаминские гранитоиды, вмещающие кварц-молибденитовую жилу № 6	0,06	1,44	0,64	0,03	0,06	0,09
		—	1,29	0,33	—	0,07	0,05
868	То же (непосредственно около жилы)	0,13	1,37	0,37	—	0,08	0,15
		0,40	1,13	0,67	—	—	0,07

Приложение. Каждый анализ представляет среднее из анализа 3–5 зерен магнетита.

* Преобразованный магнетит.

магнетитов пород Шахтаминского месторождения и несущие интересную генетическую информацию.

Кроме того, по данным количественного спектрального анализа было изучено распределение в магнетитах никеля, кобальта, молибдена и меди (табл. 2).

Магнетиты из шахтаминских гранитоидов характеризуются высоким содержанием хрома, повышенным количеством ванадия и практически отсутствием титана, содержание которого в магнетитах обычно ниже чувствительности анализа. При высоком содержании (Сидоренко, 1961) он присутствует в породе в силикатной форме (Сотников и др., 1973).

Распределение отмеченных элементов в породах субвуликанического комплекса более разнообразное, что обусловлено как различиями состава последних пород, так и становлением их в относительно нестабильных условиях.

Титан в большинстве исследованных магнетитов из этих пород не обнаружен, что особенно характерно для диоритовых порфиритов и гра-

Таблица 2

Содержание никеля, кобальта, молибдена и меди в магнетитах Шахтаминского месторождения (по данным количественного спектрального анализа), %

№ пробы	Вмещающие породы	Ni	Co	Ni/Co	Mo	Cu
882	Шахтаминские гранитоиды (СВ фланг месторождения)	2·10 ⁻²	3,6·10 ⁻³	6	3·10 ⁻⁴	2,5·10 ⁻³
		2·10 ⁻²	3·10 ⁻³	7		
884	Гранодиорит-порфир (дайка)	3·10 ⁻²	1,4·10 ⁻³	21	3·10 ⁻⁴	2·10 ⁻³
		2·10 ⁻²	1·10 ⁻³	20		
883	Гранит-порфир (шток)	1,4·10 ⁻²	3·10 ⁻³	5	3·10 ⁻⁴	2·10 ⁻³
881/1	Шахтаминские гранитоиды, вмещающие сложную дайку (экзоконтактовая зона)	1,3·10 ⁻²	3,5·10 ⁻³	4	3·10 ⁻⁴	9·10 ⁻²
121а	Эксплозивные брекчи из жилообразного тела (цемент)	3,8·10 ⁻²	2,6·10 ⁻³	15	4·10 ⁻⁴	5·10 ⁻²
121б	То же (обломки)	4,8·10 ⁻²	3·10 ⁻³	16	5·10 ⁻⁴	5·10 ⁻²
121в	Эксплозивные брекчи из штокобразного тела (цемент)	1,8·10 ⁻²	2·10 ⁻³	9	Сл.	4·10 ⁻³
121д	То же (обломки)	3,5·10 ⁻²	2,6·10 ⁻³	13		5·10 ⁻³
88	Шахтаминские гранитоиды, вмещающие кварц-молибденитовую жилу № 6 (горизонт 4)	1,2·10 ⁻²	1,4·10 ⁻³	9		
		4·10 ⁻²	1,8·10 ⁻³	22		
869	Гидротермально измененные шахтаминские гранитоиды, вмещающие кварц-молибденитовую жилу № 6 (горизонт 4)	1,4·10 ⁻²	8·10 ⁻⁴	18	3·10 ⁻⁴	3·10 ⁻³
		1,6·10 ⁻²	8·10 ⁻⁴	20	1·10 ⁻³	1·10 ⁻²
880	Шахтаминские гранитоиды, вмещающие жилу № 6 (горизонт 3)	1,8·10 ⁻²	3·10 ⁻³	6	3·10 ⁻⁴	3·10 ⁻³
		8·10 ⁻³	9·10 ⁻⁴	9		
881к	Гидротермально измененные шахтаминские гранитоиды, вмещающие жилу № 6 (горизонт 3)	3,5·10 ⁻²	2,4·10 ⁻³	15		
		2·10 ⁻²	1,7·10 ⁻³	12		
879	Шахтаминские гранитоиды, вмещающие жилу № 6 (горизонт 1)	2,5·10 ⁻²	5·10 ⁻³	5	5·10 ⁻⁴	3·10 ⁻³

Примечание. Аналитик В. И. Симонова (ИГИГ СО АН СССР).

подиорит-порфиров. В последних иногда отмечаются титаносодержащие магнетиты, представленные мелкими зернами, развивающимися по биотиту. Очевидно, биотит и послужил источником титана для данных магнетитов.

В магнетитах из кислых разностей пород субвуликанического комплекса содержание титана несколько повышается. Именно в дайке кварцевых порфиров установлен магнетит с резко повышенным (до 2,44% TiO₂) содержанием титана. Повышенные количества титана (обычно при его неравномерном распределении между отдельными зернами) характерны и для других исследованных магнетитов из кварцевых порфиров.

Возрастает содержание титана в магнетите из ксенолита лампрофириров в гранит-порфировой зоне сложной дайки. Относительно повышено его содержание и в новообразованном магнетите, развивающемся среди шахтаминских гранитоидов в экзоконтакте сложной дайки. Здесь же сохраняется первичный магнетит гранитоидов, в котором титан не обнаруживается.

Увеличивается количество титана также в магнетите из зон эксплозивных брекчий. При этом относительно повышенные содержания титана фиксируются как в новообразованном магнетите цемента (наиболее высокие содержания Ti установлены в магнетите жильной брекчии), так и в испытавшем перекристаллизацию магнетите обломков.

Постоянно отмечается титан и в преобразовании магнетите из зоны гидротермально измененных шахтаминских гранитоидов, сопровождающих кварц-молибденитовую жилу. Его содержание заметно возрастает в магнетите, образующемся в незначительном количестве среди метасоматитов в зоне, непосредственно примыкающей к кварцевой жиле (проба № 868), где происходит разложение титаносодержащего биотита (Никитина, Сотников, 1971).

В отличие от титана содержание хрома в магнетитах из пород субвулканического комплекса обычно ниже, чем в магнетитах шахтаминских гранитоидов. Исключение составляют магнетиты диоритовых порфиритов, в отдельных пробах которых отмечается значительно большие количества хрома (до 3,01% Cr₂O₃ при максимуме в магнетитах гранитоидов — 1,51%). Однако если в магнетитах шахтаминских гранитоидов дисперсия содержаний хрома невысокая, то для магнетитов диоритовых порфиритов характерен значительный разброс содержаний этого элемента (0,20—3,01%).

От диоритовых порфиритов к гранит-порфирам (и особенно кварцевым порфирам) отмечается резкое сокращение количества хрома в магнетитах. Но и в них наряду со слабо хромистыми магнетитами (0,04%) встречаются отдельные зерна магнетита с содержанием Cr₂O₃ до 1,03%.

Характерно, что в перекристаллизованном магнетите из ксенолита лампрофиров в гранит-порфирах сложной дайки зафиксировано всего 0,02% Cr₂O₃.

Относительно понижено содержание хрома и в магнетите из шахтаминских гранитоидов в экзоконтактовой зоне сложной дайки (этот магнетит также, очевидно, испытал определенные преобразования). Вместе с тем в этой же экзоконтактовой зоне устанавливается новообразованный (в процессе становления сложной дайки) магнетит с максимально высоким для Шахтаминского месторождения содержанием хрома (3,77%).

Аналогичный процесс с сокращением количества хрома в преобразованных магнетитах отмечается и для эксплозивных брекчий. В новообразованных магнетитах содержание хрома повышено. При этом наиболее высокие содержания хрома характерны для новообразованных магнетитов в цементе штокобразного брекчевого тела. В целом содержание хрома в новообразованном магнетите брекчий обычно выше, чем в магнетите кварцевых порфиритов, гранит-, гранодиорит-порфиров — преобладающих разностях пород субвулканического комплекса.

Высокие содержания хрома, соизмеримые с его содержаниями в магнетите шахтаминских гранитоидов, устанавливаются и в новообразованном магнетите из окологильных метасоматитов.

Общее сокращение содержания хрома в магнетитах пород субвулканического комплекса (особенно при переходе к их поздним кислым разностям, которые на месторождении преобладают) во многом, очевидно, обусловлено выносом этого элемента в процессе становления тел порфиров с относительной концентрацией его в магнетитах экзоконтактовых зон интрузивов и эксплозивных брекчий. При этом наибольшая концентрация хрома фиксируется в магнетитах из ближайшего экзоконтакта и в наиболее хорошо проявленных телах эксплозивных брекчий, фиксирующих максимальные активные зоны. В магнетитах из брекчий, удаленных от этих зон (жильные брекчии), содержание хрома снижается. В случае окологильных метасоматитов высокое содержание хрома в новообразованном магнетите (количество которого очень незначительно) может быть, очевидно, объяснено заимствованием элемента из магнетита исходных шахтаминских гранитоидов, испытывающего при метасоматозе перекристаллизацию и интенсивное растворение.

Колебания содержания ванадия в магнетитах изученных пород менее отчетливые. Магнетит диоритовых порфиритов по содержанию данного элемента в основном близок к магнетиту шахтаминских гранитоидов.

Содержание его в магнетитах гранодиорит-, гранит-порфиров и кварцевых порфиритов несколько снижается. Но в отдельных пробах магнетита (в том числе и из кварцевых порфиритов) содержание ванадия соответствует его количеству в магнетитах шахтаминских гранитоидов. Такие же высокие содержания ванадия определены в преобразованных магнетитах ксенолита лампрофиров и обломков эксплозивных брекчий, а также в новообразованных магнетитах из шахтаминских гранитоидов экзоконтактовой зоны сложной дайки и цемента штокобразного тела эксплозивных брекчий.

Наиболее высокое (до 0,67% V₂O₅) содержание ванадия отмечено для отдельных проб магнетита из окологильных метасоматитов.

Колебания содержаний никеля и кобальта в изученных магнетитах в целом незначительные. Некоторое относительное увеличение количества никеля отмечено в магнетитах из эксплозивных брекчий (максимальное количество никеля 4,8·10⁻²% зафиксировано в преобразованном магнетите из обломков жилообразного тела эксплозивных брекчий). В преобразованных магнетитах шахтаминских гранитоидов, вмещающих кварц-молибденитовую жилу, содержание никеля обычно несколько ниже, чем в магнетите тех же гранитоидов, располагающихся фактически за пределами месторождения (№ 882). Характерно, что в этих же магнетитах часто относительно снижается и содержание кобальта.

Более заметны колебания отношения Ni/Co. Отчетливо прослеживается увеличение Ni/Co при переходе от магнетитов шахтаминских гранитоидов из района месторождения к магнетитам гранитоидов, подвергшихся эксплозивному брекчированию, и гранитоидов, вмещающих кварц-молибденитовую жилу. При этом в последнем случае в гранитоидах (особенно на некотором удалении от жилы) наряду с магнетитом, характеризующимся повышенными значениями Ni/Co, отмечается и магнетит с отношением, типичным для гранитоидов района. Повышенные отношения Ni/Co устанавливаются также для магнетита гранодиорит-порфиров. В то же время магнетит более поздних гранит-порфиров характеризуется низким Ni/Co отношением.

Если по содержанию кобальта исследовавшиеся магнетиты Шахтаминского месторождения в основном близки акцессорному магнетиту гранитоидов различных регионов СССР (Батиева, Бельков, 1969; Вахрушев, 1968; Остапчук и др., 1973; и др.), то количество никеля в них заметно выше. По содержанию никеля магнетиты Шахтамы близки (а магнетиты из эксплозивных брекчий даже превосходят) к изученным В. А. Вахрушевым (1968) магнетитам из гранитоидов габброидного ряда Алтас-Саянской области, являющихся производными основной магмы и относящихся к ряду эфузивно-интрузивных формаций. Близкие значения по содержанию никеля приводят И. А. Киселева и А. А. Матвеев (1967) для акцессорного магнетита гранитоидов из района Мульгинского и Бурлукского железорудных контакто-метасоматических месторождений, в формировании которых заметная роль отводится галоидному метасоматозу. Последнее обстоятельство представляет интерес в связи со значительной ролью хлора в эндогенном процессе Шахтаминского месторождения (Сотников и др., 1971).

Содержание молибдена в магнетитах Шахтамы обычно остается на уровне 3·10⁻⁴%. Несколько повышено его количество в магнетитах эксплозивных брекчий жилообразного тела. Максимальное его содержание установлено в одной из проб магнетита из гидротермально измененных шахтаминских гранитоидов, вмещающих кварц-молибденитовую жилу. В этой же пробе отмечено относительно повышенное количество меди. Однако же пробе отмечено относительно повышенное количество меди. Однако же более высокие содержания меди зафиксированы для магнетитов жилообразной эксплозивной брекчии и особенно для новообразованного магнетита в гранитоидах из экзоконтактовой зоны сложной дайки. Подобное распределение меди в исследованных магнетитах свидетельствует, очевидно, о преимущественном участии магнетита в миграции меди.

видно, о возможной связи ее с процессами дегазации магматических масс. Здесь видна аналогия с медью, очень характерной для возгонов в областях современного вулканизма. Следует подчеркнуть, что именно участки проявления эксплозивных брекчий на Шахтаминском молибденовом месторождении были еще в 1958 г. рекомендованы В. И. Сотниковым в качестве перспективных на медное оруденение.

Анализ распределения рассмотренных выше элементов в магнетитах из различных эндогених образований Шахтаминского месторождения подтверждает взаимосвязь процессов становления тел порфиров субвулканического комплекса, эксплозивного брекчирования и формирования окологильных зон гидротермально измененных пород. Содержание указанных элементов в магнетитах во многом определяется временем положением вмещающих их образований в общей схеме эндогенного процесса и локализацией в зонах различной термофлюидной активности. Набор элементов, характерный для исследованных магнетитов, позволяет предполагать участие в составе минералообразующих растворов глубинной составляющей. Подтверждается активная роль основной магмы в формировании как массива шахтаминских гранитоидов, так и штоко- и дайкообразных тел порфиров. Отмечен ряд общих черт, характеризующих магнетиты всех указанных пород, что свидетельствует о их возможных связях (здесь можно предполагать общность глубинного источника или реакционные взаимодействия между рассматриваемыми магматическими образованиями на более высоких уровнях).

ЛИТЕРАТУРА

- Батиева И. Д., Бельков И. В. Значение акцессорных минералов гранитоидов Кольского полуострова для решения некоторых вопросов их петрологии.— В кн.: Акцессорные минералы в решении вопросов металлогении и происхождении магматических комплексов. М., 1969, с. 36—48.
- Вахрушев В. А. Рудные акцессорные минералы и их значение при петрологических исследованиях.— В кн.: Акцессорные минералы в решении вопросов металлогении и происхождении магматических комплексов. М., 1969, с. 59—67.
- Киселева И. А., Матвеев А. А. Некоторые закономерности распределения элементов-примесей в магнетитах контактово-метасоматических месторождений (В. Саян).— «Геол. рудных месторождений», 1967, № 6, с. 76—80.
- Никитина Е. И., Сотников В. И. Эволюция акцессорного магнетита в эндогенном процессе.— В кн.: Материалы по генетической и экспериментальной минералогии. Т. 6. Новосибирск, «Наука», 1971, с. 115—122.
- Остафийчук И. М., Сухорада А. В., Серга А. Ю., Ветрин В. Р. Особенности состава и магнитных свойств магнетитов из гранитоидов.— «Геохимия», 1973, № 6, с. 867—875.
- Сидоренко В. В. Геология и петрология Шахтаминского интрузивного комплекса. М., Изд-во АН СССР, 1961. 102 с. (Труды Геол. музея АН СССР, вып. 7).
- Скуридин В. А., Сотников В. И., Никитина Е. И. Вопросы петрологии и минералогии сложных даек Шахтаминского месторождения медно-молибденовой рудной формации.— В кн.: Геология и генезис эндогенных рудных формаций Сибири. М., «Наука», 1972, с. 168—183.
- Сотников В. И. Некоторые особенности структуры Шахтаминского молибденового месторождения.— «Труды ИГЕМ», 1961, вып. 41.
- Сотников В. И., Никитина Е. И., Лаврецьев Ю. Г., Семенов В. И. Хлор и фтор в эндогенном процессе.— «Геохимия», 1971, № 2, с. 168—179.
- Сотников В. И., Никитина Е. И., Просякуриков А. А., Лаврецьев Ю. Г., Постепова Л. И. Некоторые особенности состава биотитов из зон эксплозивных брекчий Шахтаминского молибденового месторождения (по данным электронного микрозондирования).— «Докл. АН СССР», 1973, т. 208, № 1, с. 200—203.

В. В. ПОТАПЬЕВ, В. О. ПОЛЯКОВ, Е. П. ЩЕРБАКОВА

КАССИТЕРИТЫ ИЗ МИНЕРАЛИЗОВАННЫХ КУПОЛОВ ЧАЛБИНСКОГО ПЛУТОНА (Якутская АССР)

ОБЩИЕ СВЕДЕНИЯ О ПЛУТОНЕ И СВЯЗАННОЙ С НИМ РУДНОЙ МИНЕРАЛИЗАЦИИ

Чалбинский гранитный pluton располагается в пределах Бургавли-Чалбинской оловорудной зоны в северо-западной части Иньяли-Дебинского синклиниория Верхояно-Чукотской складчатой области. Вмещают pluton флишоидные песчанико-сланцевые толщи юрского возраста (верхоянский комплекс) общей мощностью более 5 км, лежащие несогласно на палеозойском существенно карбонатном фундаменте. Плутон эродирован неглубоко. Выходящие на поверхность отдельные гранитные массивы — Чалбинский, Герамтаиджинский, Кере-Юряхский, Киент-Юряхский — сложены внешне однообразными одновозрастными гранитами и окружены общим ореолом kontaktовых роговиков, из чего следует, что они представляют собой куполы апикальной поверхности единого крупного тела (рис. 1). Данные магнитной съемки подтверждают этот вывод (рис. 2).

Ранее (Еловских, 1961) отмечалась приуроченность Чалбинского plutona к «слепому», не выходящему в верхние горизонты земной коры, так называемому «диагональному» разлому. По расположению и форме выходов гранитов на поверхность можно предположить, что рост куполов plutона в толще осадочных пород происходил в условиях неравномерного развития дренирующих структур различных направлений. При этом разрывные структуры северо-восточного, субмеридиального и субширотного направлений были подчинены основному северо-западному направлению, совпадающему с простираемием «диагонального» разлома в фундаменте. По очертаниям роговиковых полей, конфигурации изодинам магнитного поля и группировкам выходов гранитов на поверхность очевидно существование на глубине двух боковых гребней plutона: северного, погружающегося на запад, и южного — на юго-запад. К куполам этих гребней и приурочены проявления оловянной минерализации (см. рис. 1).

Плутон сложен однообразными по составу биотитовыми гранитами, относящимися к оловоносному комплексу мезозойского возраста. Вариации внешнего облика гранитов локальны и связаны главным образом с изменением их структу-

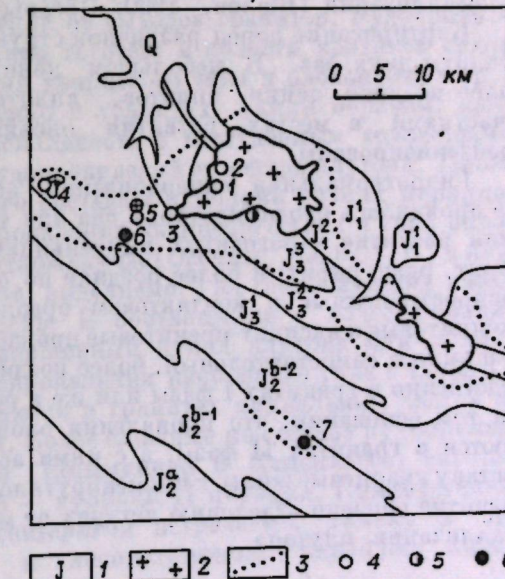


Рис. 1. Схема расположения выходов гранитов Чалбинского plutона на поверхность.

1 — флишоидные толщи юры; 2 — выходы гранитов на поверхность; 3 — контур ореола kontaktовых роговиков; 4 — рудопроявления кварцевого типа и типа грейзенов (1 — Осеннее, 2 — Чалба I, 3 — Чалба II, 4 — Чалба III, 5 — Чалба IV); 5 — рудопроявление кварцево-малосульфидного типа (Красное); 6 — рудопроявление сульфидно-кварцевого типа (6 — Безымянное, 7 — Каменистое).



Рис. 2. Схема расположения изолиний магнитного поля над Чалбинским plutоном

1 — выходы гранитов на поверхность; 2 — нулевая линия; 3 — изолинии положительного знака; 4 — изолинии отрицательного знака.

ры. Во всех массивах преобладают среднезернистые биотитовые граниты. Местами они сменяются крупнозернистыми порфировидными разностями, местами, особенно в краевых и апикальных участках куполов, — мелкозернистыми, что является собой обычную картину внутреннего расслоения гранитных plutонов повышенной кислотности и объясняется иерархией, пульсационным характером процесса их раскаристаллизации (Шахов, 1960; Потапьев, 1971).

Карттирование пород различной структуры в поле позволило выделить граниты двух фаз. В небольшом количестве в plutоне встречаются более поздние дайки аплитов, аплито-пегматитов, гранит-порфиров. Участками в местах развития оловянной минерализации граниты грейзенизированы.

Гидротермальная минерализация ассоциирующая с plutоном, также проявилась неоднократно, в два или три этапа. На раннем этапе получили развитие в роговиках импренъяции сульфидов (ширротин, арсенопирит, реже пирит) и более поздние по отношению к сульфидам, широко распространенные в контактовом ореоле кварц-актинолитовые, кварц-аксинитовые и аксинит-пренитовые прожилки. Оловянные рудопроявления возникли в самостоятельный, более поздний этап. Они встречаются непосредственно в гранитах I фазы или же в роговиках над куполами plutона. На том основании, что проявления оловянной минерализации не встречаются в гранитах II фазы, а с ними ассоциируют совершение иные по составу кварцевые жилы сильменорутил, можно предположить, что ее развитие обязано отделению летучих от магмы в начальные этапы раскаристаллизации plutона.

РУДОПРОЯВЛЕНИЯ С КАССИТЕРИТОМ И ИХ ПОЛОЖЕНИЕ ПО ОТНОШЕНИЮ К ПЛУТОНУ

По классификации оловорудных месторождений Якутии (Флеров и др., 1971) все оловянные рудопроявления plutона относятся к касситерит-кварцевой формации и представлены следующими типами минера-

лизаций: оловоносных грейзенов, кварцевым, кварцево-малосульфидным и сульфидно-кварцевым (см. таблицу).

В грейзенах рудопроявления О с е и н е г о выявлен тесный парагенезис касситерита с кварцем, мусковитом и турмалином, со сложными временными соотношениями всех минералов, выделяющихся близко одновременно. В кварцевых жилах содержится касситерит, турмалин, вольфрамит, арсенопирит, скородит. Устанавливается одновременный рост касситерита с кварцем и вольфрамитом; арсенопирит по отношению к ним более поздний.

В рудопроявлениях Ч а л б а I—IV касситерит находится в парагенезисе с вольфрамитом и кварцем. В небольшом количестве присутствуют более поздние пирит, арсенопирит, висмут и замещающий его висмутин.

Касситерит рудопроявления К р а с и в о г о находится в парагенезисе с кварцем и вольфрамитом, но вольфрамит закончил кристаллизацию раньше касситерита; во вторую стадию выделялись ширротин, пирит, арсенопирит с вростками гудмундита, шеелит, марказит; в третью стадию — образующие твердый раствор сфалерит, халькопирит, станин и более поздние выделения самостоятельного станинина.

Касситерит рудопроявления Б е з м я и н о г о наблюдается в парагенезисе с кварцем и вольфрамитом, несколько позже выделялся флюорит; во вторую стадию выделялись пирит и арсенопирит; в третью — образующие твердый раствор сфалерит, халькопирит, станин.

В рудопроявлении К а м е н и с т о м отмечены более ранний мусковит, касситерит в парагенезисе с кварцем, альбитом и апатитом. Встречающийся в ассоциации с ними флюорит выделялся несколько позже. Во вторую стадию выделялись арсенопирит, шеелит, пирит. В третью стадию — образующие твердый раствор сфалерит, халькопирит, станин и более поздние блеклые руды.

Сравнивая вещественный состав рудопроявлений, различно расположенных по отношению к plutону, обнаруживаем следующее. Рудопроявления сульфидно-кварцевого типа встречаются только во вмещающих породах на некотором удалении от выходов гранитов. Рудопроявление кварцево-малосульфидного типа тяготеет к области контакта гранитов с роговиками. Рудопроявления кварцевого типа и оловоносных грейзенов расположены непосредственно в гранитах. Таким образом, намечается четкая горизонтальная зональность с постепенным усложнением состава руд по мере удаления рудопроявлений от центра plutона. Примечательна связь руд определенного состава с куполами разных порядков. Более простые по составу рудопроявления кварцевого типа и типа оловоносных грейзенов приурочены в одном случае (Осеине, Чалба I, II) к краевой части самого крупного купола, выделяемого на геологических картах под названием Чалбинский массив. В соответствии с классификацией В. Эммонса он определен как вершинный купол plutона или купол I порядка. В других случаях рудопроявления кварцевого типа (Чалба III, IV, отчасти Чалба II) располагаются в гранитах апикальных частей куполов северного бокового гребня. Более сложные по составу рудопроявления сульфидно-кварцевого типа (Безымянное и Каменистое) тяготеют к более низким куполам гребней — куполам II порядка. Примечательно, что флюорит в ассоциации с касситеритом встречается только в этих рудопроявлениях, тяготеющих к гипсометрически наиболее низким куполам plutона.

ТИПОМОРФНЫЕ ОСОБЕННОСТИ КАССИТЕРИТОВ

Типоморфные особенности касситеритов также зависят от положения рудопроявлений по отношению к plutону.

Температура гомогенизации газово-жидких включений в касситеритах из рудопроявлений в гранитах ($360-380^{\circ}$) заметно выше, чем в кассите-

Параметры и типоморфные особенности кассiterитов из рудоустановок Чалбинского plutона

Тип минерализации, рудоустановка	Положение относительно plutона	Облик кристалла, размер	Оптические свойства			Примеч.	% Nb ₂ O ₅	Парагенезис	Temperatura гомогенизации газово-ниобиевых включений
			окраска визуально	микроскопи- чески	Плоскость				
Оловопосыпанных грязей, Осеннее	Вершинный купол, эндоконтактовая зона	Коротко-призматиче- ский, 1— 2 см	Коричневая и буро-корич- невая	Оливково- коричневая до светло-желтой	Заметный	Ярко выра- женна	0,017— 0,0017	Кварц+кассите- рит+мусковит+ турмалин	370—380±5°
Кварцевый, Осонис	То же	То же	»	»	»	»	0,017— 0,0017	Кварц+кассите- рит+вольфра- мит; турмалин	360—380±5°
Чалба I	»	»	Коричне- вая, редко медово- желтая и бес- цветная	Святло-бу- рая, корич- невая, медово- желтая, бесцве- тная	To же	To же	0,013— 0,0031	Кварц+кассите- рит+вольфра- мит, турмалин	360—380±5°
Кварцево- малоуль- фицический, Красивое	Вершинный купол, область контакта гранитов с имендающими породами	Коротко- призматиче- ский, до 3 см	От черной до темно- бурой и красно- коричне- вой	Бурый	Не наблю- дается	0,015— 0,0012	0,0125	Кварц+кассите- рит+вольфра- мит; турмалин	340—355±5°
Сульфидно- кварцевый, Бе- зымянное	Купол II порядка, надигнитрующая зона	Дипирами- дальный, до 0,5 см	Черная	Серовато- бурая	»	»	0,071	Кварц+кассите- рит+вольфра- мит; флюорит	330—345±5°
Каменноистое	То же	»	Желтоато- коричневая	Желтоато- коричневая	Заметный	Ярко выра- женна	0,058	Кварц+кассите- рит+альбит; апатит; флюо- рит	307

ритах из сульфидно-кварцевых рудоустановий надигнитрующей зоны низких куполов гребней (330—345°). Касситериты из рудоустановления Красивого, расположенного в зоне контакта гранитов с вмещающими породами, по температуре гомогенизации включений и по особенностям вещественного состава рудоустановления занимают промежуточное положение.

Таким образом, с намеченной по вещественному составу горизонтальной зональностью совпадает температурная зональность рудного поля. В этом можно видеть еще одно доказательство принадлежности рассматриваемых рудоустановлений к единому этапу рудообразования.

Изучение типоморфных особенностей касситеритов (см. таблицу) показывает, что более высокотемпературные касситериты окрашены светлее и кристаллы их обладают гранями призмы, в отличие от темных, почти черных дипирамидальных кристаллов более низкотемпературной группы. По данным химического анализа, черные касситериты характеризуются повышенным содержанием tantalа и ниobia.

ОБСУЖДЕНИЕ НАБЛЮДЕНИЙ

Вопросом о связи габитуса и окраски касситеритов с условиями их образования занимались многие исследователи. Уже в ранних работах (Шнейдер, 1937; Болдырева, 1939; Готман, 1941) указывается, что касситериты из пегматитов резко отличаются по габитусу: они всегда дипирамидальные и укорочены по оси С. Кристаллы касситеритов других типов (кварцевых, кварц-полевошпатовых жил, сульфидных месторождений), по данным этих исследований, различаются мало, «хотя грань Z чаще появляется в касситеритах сульфидно-касситеритовых жил и чем ближе к этому типу, тем кристаллы несколько более удлинены по оси С; тем не менее, габитус кристаллов во всех случаях остается призматическим, и различия между касситеритами кварцевых и кварц-полевошпатовых жил и касситеритом касситерито-сульфидных жил выступают нерезко» (Готман, 1941, с. 83). Авторы указанных работ вопрос о зависимости типоморфных особенностей касситеритов от температур кристаллизации прямо не рассматривают, но они предполагали, что касситериты из пегматитов наиболее высокотемпературные. Этими же исследованиями было выяснено, что касситерит из пегматитов содержит повышенные количества пятинокиси tantalа и ниobia (более 1—1,5%) и обладает более темной окраской. «Таким образом, отмечает А. М. Болдырева,— резкие различия между касситеритами разного генезиса не установлены, но связь между морфологией, физическими и химическими особенностями и его генезисом, несомненно, намечена» (Болдырева, 1937, с. 420).

Позже, изучая весьма детально, с применением новейших методов исследования, касситериты из месторождений разных формаций и сопоставляя их особенности, Е. И. Доломанова с соавторами (Григорьев, Доломанова, 1951; Доломанова и др., 1969) пришли к выводу, что основной критерий, позволяющий различать касситериты разного генезиса,— особенности химического состава. «Различные физические свойства касситеритов в большей или меньшей степени зависят от его химического состава» (Доломанова и др., 1969, с. 138). В то же время на большом фактическом материале Э. Б. Байбулатов и А. К. Грошев (Байбулатов, Грошев, 1974) нашли, что морфология кристаллов касситерита определяется именно температурой образования минерала. Высокотемпературный касситерит (360—370° и выше), по их данным, характеризуется изометрической дипирамидальной формой. С понижением температуры появляются грани призмы, и высота призматического пояса находится в обратной зависимости от температуры кристаллизации.

Приведенные заключения различных авторов показывают, насколько сложен и во многом еще неясен этот вопрос.

Изучая кассiterиты из кварц-полевошпатовых жил Этыкинского месторождения (Восточное Забайкалье), Р. М. Константинов (1956) обнаружил, что даже в пределах одной жилы и в течение одной стадии минерализации типоморфные особенности кассiterита резко изменяются в зависимости от времени его выделения и от ассоциирующихся с ним минералов. Более ранние выделения кассiterита в отличие от более поздних, образующихся совместно с галенитом, имеют короткопризматическую или дипирамидальную форму и характеризуются присутствием примеси тантала, ниобия и вольфрама и отсутствием заметных количеств индия. Первые по своим особенностям являются типичным кассiterитом кварцево-кассiterитовой или пегматитовой формации, вторые более похожи на кассiterиты сульфидно-кассiterитовых месторождений. Совместное их нахождение Р. М. Константинов объясняет изменением концентрации ниobia, тантала, вольфрама и индия в процессе рудообразования. Это, в свою очередь, обусловлено изменением форм переноса олова в рудных растворах, которое вначале находилось в виде фтористых соединений, а в более поздние моменты рудообразования, в связи с возрастанием концентрации серы, — в форме сложных сульфосолей.

В нашем случае присутствие в части рудопроявлений ассоциирующегося с кассiterитом флюорита также позволяет считать, что наиболее вероятной формой переноса олова при формировании этих рудопроявлений были его фтористые соединения. Вместе с тем, благодаря наличию данных по температуре гомогенизации газово-жидких включений, находящихся непосредственно в кассiterитах, можно утверждать, что, по крайней мере, в температурном интервале 330—380° на габитус кристаллов кассiterита большее влияние оказывает состав примесей оловоносных растворов, нежели температура кристаллизации, в частности, концентрации в растворах тантала и ниobia. С этим выводом хорошо согласуется тот факт, что дипирамидальные кристаллы кассiterита рудопроявлений Безымянное и Каменистое характеризуются черной окраской, связь которой с повышенным содержанием тантала и ниobia считается доказанной, хотя эти кассiterиты из всех изученных рудопроявлений наиболее низкотемпературны.

Вопрос о формах вхождения в кассiterиты тантала (и ниobia) дискуссионен, и мы его здесь не рассматриваем. Отметим лишь, что обнаружение переходной между кассiterитом и танталитом разновидности минерала — оловотанталита, характеризующегося в отличие от таблитчатой формы танталита изометричной дипирамидальной формой (Матиас, 1961), позволяет допускать возможность между этими минералами изоморфного ряда и различных изменений габитуса кристаллов с изменением количественных соотношений компонентов изоморфного ряда. Даже самые доли процента примесей тантала и ниobia способны вызвать отклонения габитуса кристаллов кассiterита от нормальной температурной зависимости (см. табл.).

Кассiterиты Чалбинского plutона из рудопроявлений вершинного купола ассоциируют с турмалином. Флюорита здесь практически нет. И наоборот, в рудопроявлениях, расположенных в надынтрузивной зоне куполов II порядка, отсутствует турмалин, но в большом количестве присутствует флюорит. Этот факт также не укладывается в привычную схему нормальной температурной зональности. Для оловорудных полей, связанных с гранитными plutонами, характерна обратная картина. Поэтому предполагать, что состав рудоносных растворов, формирующих те и другие рудопроявления, обязан естественной их дифференциации или фильтрации в процессе движения к пунктам рудоотложения, не приходится. Нельзя думать и об изменении состава растворов в сторону обогащения фтором в результате взаимодействия их с вмещающими породами.

ми, так как терригенные породы верхоянского комплекса, вмещающие рудопроявления Безымянное и Каменистое, характеризуются повышенным кларком именно бора, а не фтора (Некрасов, 1966), что находит подтверждение и в исследованном районе в широком развитии в роговиках на раннем этапе минерализации прожилков аксинаита. Остается допустить, что возникновение различий в составе минерализации разных рудопроявлений в данном случае обусловлено отделением магмой разных куполов специфических по составу растворов. Находящийся на более высоком гипсометрическом уровне вершинный купол plutона концентрировал преимущественно бор, а более низко расположенные куполы II порядка — фтор, а с ним тантал и ниобий. Большую способность бора уходить в пневматолиты и накапливаться там вместе с хлором отмечал А. Е. Ферсман (1959). Для концентрирования в магме фтора, наоборот, необходимы условия более высоких внешних давлений. Это положение в настоящее время можно считать доказанным экспериментально и расчетами, выполненными И. Д. Рябчиковым (1974). Очевидно, что остановка куполов II порядка на более низком гипсометрическом уровне происходила вследствие повышенной в этих участках прочности пород кровли plutона и соответственно пониженней их проницаемости, что и создавало необходимые предпосылки для развития процесса кристаллизации магмы куполов II порядка в условиях более замкнутой системы, содействующих накоплению фтора и отделению от магмы олова уже не в соединениях с бором, а в форме фторидов.

ОСНОВНЫЕ ВЫВОДЫ

1. Кассiterиты в рудопроявлениях Чалбинского plutона приурочены к куполам разного порядка и характеризуются своими типоморфными особенностями.

2. На габитус кристаллов кассiterита в интервале температур кристаллизации 380—330° существенно влияет состав рудоносных растворов — форма существования в растворе олова и концентрации примесей, в частности тантала и ниobia.

3. Куполы plutона различного порядка, функционируя одновременно, концентрировали и выделяли специфические по составу рудоносные растворы.

ЛИТЕРАТУРА

- Байбулатов Э. Б., Гроцев А. К. Зависимость морфологии кристаллов кассiterита от температуры образования. — «Известия АН КиргССР», 1974, № 1, с. 25—30.
Болдырева А. М. К вопросу о зависимости морфологических, физических и химических свойств кассiterита от его генезиса. — «Записки Всес. минералог. об-ва», Серия 2, 1939, т. 68, вып. 3, с. 386—418.
Готман Я. Д. Типоморфные особенности кассiterита оловорудных месторождений СССР. — «Труды ГИН АН СССР. Минералог. серия», 1941, вып. 46, т. 9, с. 41—53.
Григорьев И. Ф., Доломанова Е. И. Новые данные по кристаллохимии и типоморфным особенностям кассiterитов различного генезиса. — «Труды Минералог. музея АН СССР», 1951, вып. 3, с. 73—92.
Доломанова Е. И., Болрская Р. В., Ракчеев А. Д., Иковлевская Т. А. Кассiterит и его типоморфные особенности. — В кн.: Типоморфизм минералов. М., «Наука», 1969, с. 128—184.
Еловских В. В. Условия образования месторождений Бургавли-Чалбинской оловорудной зоны. — В кн.: Материалы по геологии и полезным ископаемым ЯАССР. Вып. VIII. Якутск, 1961, с. 17—34.
Константинов Р. М. О двух типах кассiterита, установленных в кварцево-полевошпатовых жилах Этыкинского месторождения Вост. Забайкалья. — Записки Всес. минералог. об-ва, 1956, ч. 85, вып. 4, с. 583—585.

Матиас В. В. Оловотанталит — новая разновидность tantalита.— В кн.: Геология месторождений редких элементов. Вып. 9 (новые данные по минералогии месторождений редких элементов). М., Госгеолтехиздат, 1961, с. 30—41.

Некрасов И. Я. Геохимия олова и редких элементов Верхояно-Чукотской складчатой области. М., «Наука», 1966. 379 с.

Потапьев В. В. Внутреннее строение и рудоносность мезозойского гранитного массива.— В кн.: Гранитоидные массивы Сибири и оруденение. Новосибирск, «Наука», 1971, с. 5—90.

Рябчиков И. Д. Физико-химический анализ условий отделения рудоносных растворов из гранитных магм.— В кн.: Источники рудного вещества эндогенных месторождений. М., «Наука», 1974, с. 23—26.

Флеров Б. Л., Индолев Л. И., Яковлев Я. В., Бичус Б. Я. Геология и генезис олово-рудных месторождений Якутии. М., «Наука», 1971. 318 с.

Ферсман А. Е. Избранные труды. Т. V. М., Изд-во АН СССР, 1959. 858 с.

Шахов Ф. И. О происхождении гранитных магм и рудных месторождений.— В кн.: Магматизм и связь с ним полезных ископаемых. М., Госгеолтехиздат, 1960, с. 142—149.

Шнейдер Ю. А. Морфолого-генетическая схема габитусов оловянного камня.— «Пробл. сов. геол.», 1937, № 3, с. 187—199.

Я. А. КОСАЛС, Г. М. РЫЛОВ

ЗАВИСИМОСТЬ ГЕОХИМИЧЕСКИХ ОСОБЕННОСТЕЙ БЕРИЛЛОВ ОТ СОСТАВА ВМЕЩАЮЩИХ ПОРОД

Большая изоморфная емкость берилла на значительное число элементов и изменчивость набора и содержания элементов в зависимости от условий образования общезвестна (Гинзбург, 1952; Беус, 1960; Фекличев, 1964; и др.). Это позволяет использовать его как геохимический индикатор. Установлено, что в грейзеновых месторождениях, связанных с кислотным выщелачиванием, в составе берилла щелочи, как правило, отсутствуют (Беус, 1960). В грейзенах, связанных со стадией альбитизации, и в альбитизированных гранитах всегда отмечается повышенное количество щелочей, в основном натрия (Беус, 1960; Фекличев, 1964). Повышенное количество железа обычно характерно для бесщелочных или малощелочных бериллов из незамещенных пегматитов и грейзенов, связанных с кислотным выщелачиванием в высокотемпературных гидротермально-пневматолитовых месторождениях (Беус, 1960; Фекличев, 1964; и др.). Подмечено, что высокие содержания Mg, Ca, Fe, Cr, Sc характерны для бериллов, образовавшихся в основных, ультраосновных, гибридных и карбонатных породах. Еще А. Е. Ферсман подчеркнул, что цвет берилла меняется в зависимости от его генезиса и химического состава. Это впоследствии было подтверждено на большом фактическом материале В. Г. Фекличевым (1964). Он пришел к выводу, что для бесщелочных бериллов наиболее характерны зеленые, голубые, желтые, коричневые окраски, порой весьма густые, для щелочных — более светлые, пежевые: молочно-белые, розовые, светло-желтые и яблочно-зеленые. Он установил также, что в голубом берилле преобладает окисное железо, а в желтом — закисное. В зеленых бериллах окисное и закисное железо находятся в равных соотношениях.

На некоторых месторождениях нами отчетливо наблюдалось изменение окраски берилла одной и той же стадии (жилы) в зависимости от состава вмещающих пород. Так, на ряде месторождений в кварц-альбитовых, кварц-микроклиновых и кварцевых прожилках, залегающих среди роговиков (по порfirитам), габбро и диоритов, развит синий и зеленоватосиний берилл. Иногда встречаются зональные его кристаллы с более густой окраской центральной части, постепенно сменяющейся более светлой в периферии. Эти бериллы обычно обладают плеохроизмом от синего, голубо-

1	2	3	4
101	35	»	Гнейсы, сланцы, фиболитовой
102	35	Пегматит альбит-сподуменовый	Фллов
103	35	»	елей
104	35	»	лков
105	35	»	гелей
106	35	»	весов
107	35	»	арак-
108	18	Пегматит микроклин-альбитовый	тель-
109	д	»	ерили-
110	80	»	, 63—
111	1	Апогранит мусковит-альбитовый	Граниты
112	2	То же	»
113	2	»	»
114	2	»	»
115	2	»	Гранодиориты
116	344/60	»	Граниты
117	1054/61	»	»
118	1054/61	»	»
119	1054/61	Грейзен кварц-топазовый	Граниты
120	1054/61	Грейзен	»
121	1054/61	Грейзен слюдяной	»
122	1054/61	Грейзен кварц-слюдяной	»
123	1	Грейзен флюорит-мусковитовый	Сланцы
124	2	То же	»
125	3	Грейзен-альбит-флюорит-мусковитовый	»
126	10	Грейзен-кварц-сидерофиллитовый	Граниты
127	10	Грейзен мусковит-флюоритовый	»
128	10	То же	Сланцы
129		Кварцевые жилы.	Граниты
130		»	»
131		»	»
132		»	»
133		»	»
134	297	»	»
135	243	»	»
136	1363	»	»
137	102	»	»
138	K-1/560	»	»
139	K-2/60	»	»
140	191	»	»
141	743/61	»	»
142	219	»	»
143	198/64	»	»
144	178/64	»	»
145	867/67	Кварц-микроклиновые жилы	Сланцы
146	867Б/67	То же	Граниты
147	5	Кварцевые жилы	»
148	5	»	»
149	5	»	»
150	5	Альбит-кварцевые жилы	Сланцы
151	5	Альбитовые жилы	»

также многих авторов, отметим лишь, что в настоящем структу

Окончание табл.

Некра	19	20	21	22	23	24
Потап	2,85	100,497	3,50	6,36	0,27	Они же
Рябчи	1,75	99,89	3,43	7,05	0,37	»
	2,74	99,83	3,50	6,37	0,37	»
	1,73	99,541	3,49	4,47	0,38	»
Флеро	2,15	100,168	3,63	5,05	0,53	»
Ферсм	2,97	98,80	3,51	5,58	0,27	»
Шахои	3,15	100,187	3,52	5,98	0,27	»
	2,00	100,41	3,77	1,02	0,77	Бакакин и др., 1967
	2,23	99,30	3,67	—	0,96	Пеструченко и др., 1971
Шнейц	2,16	99,53	3,85	—	0,3	»
E	2,07	100,05	3,85	0,76	0,90	Hall, Walsh, 1971
тв и с	2,14	99,75	3,77	0,86	0,80	Они же
1964;	1,43	99,77	3,60	2,45	0,55	Маршукова, 1969
Устаг	2,00	100,31	3,61	—	0,50	Фекличев, 1964
выше	1,78	100,31	3,83	0,05	0,75	Они же
(Беус)	2,05	100,27	3,67	0,30	0,55	По нашим данным
зиров	1,73	100,51	3,49	1,31	0,61	»
во ще	0,35	99,32	3,12	—	1,41	Некрасов, 1960
кое к						
ложны						
кисло						
пневм						
Подмо	2,26	99,86	3,65	0,77	0,69	Hall, Walsh, 1971
рилло	2,17	99,93	3,57	0,62	0,62	Они же
натны	1,49	100,19	3,61	3,10	0,55	Маршукова, 1969
ся в з	2,02	101,57	3,61	—	0,75	Коркинский, 1967
было	1,75	99,80	3,60	—	1,04	Беус, 1960
вым (1,61	100,04	3,46	4,02	0,78	По нашим данным
лее х	1,32	99,50	3,41	1,09	0,49	То же
весы	1,21	99,59	3,55	0,32	1,33	»
розов	1,28	99,35	3,44	3,48	0,54	»
голуб	1,74	100,07	3,53	0,60	0,50	»
В зе	2,24	100,05	3,60	0,46	0,31	»
соотн	1,83	99,20	3,60	2,06	0,80	»
I	2,25	99,87	3,55	1,04	0,63	»
ние о	1,89	99,55	3,57	0,84	0,84	»
става	1,85	99,725	3,54	0,17	0,52	»
кварц	1,88	100,045	3,56	0,07	0,58	»
виков	2,20	99,96	3,41	0,41	0,76	»
сиций	1,92	100,09	3,47	0,29	0,21	»
окрас	1,18	101,135	3,58	0,95	0,42	Заболотная и др., 1967
рифери	1,05	99,22	3,64	—	0,28	Заболотная и др., 1962
	0,70	100,49	3,48	0,67	0,27	Они же
	0,13	100,39	3,30	—	0,06	Власов, Кутукова, 1960
	1,87	100,462	3,72	—	0,70	Заболотная и др., 1967

ти бериллы обычно обладают плеохроизмом от синего, голубо-

го по Ne до зеленовато-синего и бесцветного по No . В прожилках тех же стадий, развитых в гранитах, преобладают бериллы светло-, желтовато-зеленой окраски, реже бесцветные. Плеохроизм для них обычно не устанавливается. В рудных прожилках штокверка, залегающего среди кварцевых диоритов, развит светло-зеленый (в ранних кварц-полевошпатовых прожилках) слабо окрашенный берилл, а в кварц-флюорит-слюдистых и кварцевых прожилках — бледно-зеленоватый до бесцветного.

Оптическими исследованиями и химическим анализом этих бериллов установлены существенные различия их химического состава, показателей преломления и удельного веса (см. таблицу). Синие бериллы из прожилков в роговиках характеризуются наиболее высокими значениями показателей преломления ($No = 1,593$ — $1,586$, $Ne = 1,589$ — $1,581$) и удельных весов ($d = 2,93$ — $2,86$) и низкими — $No - Ne = 0,004$ — $0,005$. Для них характерно резко пониженное содержание Al_2O_3 (16,20—15,72%) и незначительно — BeO (13,20—12,88%). Существенное значение в составе этих бериллов имеют повышенные содержания Fe_2O_3 (2,50—1,80%), FeO (0,63—0,42%), MgO (0,89—0,40%), составляющие одну кристаллохимическую группу с Al_2O_3 (Рылов, 1970). Характерно повышенное содержание $Na_2O = 1,20$ —0,69%, $Li_2O = 0,15$ —0,056% и $Cs_2O = 0,12$ —0,004%, а содержания K_2O (0,25—0,02%) и Rb_2O (0,04—0,009%) незначимо отличаются от остальных его разностей.

Светло-зеленые бериллы из жил среди гранитов, ассоциирующие с вольфрамитом, гибнеритом, молибденитом, пиритом, флюоритом и другими, от предыдущих отличаются близкими к стехиометрическим количествами Al_2O_3 (18,62—17,75%) и BeO (13,39—13,20%) при небольшом количестве MgO (0,48—0,15%), Fe_2O_3 (0,6—0,28%), FeO (0,52—0,10%) и CaO (0,26—0,13%). Более низкое в них содержание Na_2O (0,54—0,19%), а особенно Li_2O (0,09—0,024%) и Cs_2O (0,04—0,005%). Для этих бериллов характерны минимальные значения No (1,577—1,573), Ne (1,571—1,568), удельного веса ($d = 2,68$) и повышенные $No - Ne$ (0,009—0,005).

Бериллы из рудных прожилков штокверка в кварцевых диоритах отличаются от двух описанных разностей бериллов, занимая по химическому составу и оптическим характеристикам промежуточное положение. Для них характерно несколько пониженное против стехиометрического содержание Al_2O_3 (17,73—17,20%) и BeO (13,08—12,70%). Содержания MgO (0,61—0,41%), CaO (0,86—0,51%) и Fe_2O_3 (0,52—0,30%) имеют промежуточные значения, а FeO (0,18—0,10%) — минимальны. От описанных выше двух типов бериллов эти отличаются большими содержаниями Na_2O (2,18—1,27%), Li_2O (0,35—0,14%) и Cs_2O (0,31—0,17%). Промежуточные значения имеют No (1,585—1,578), Ne (1,579—1,573), $No - Ne$ (0,006—0,005) и удельного веса ($d = 2,78$ —2,72).

Различен состав бериллов из кварцевых и полевошпат-кварцевых жил, и грейзенов, развитых в гранитах и кислых алюмосиликатных породах, карбонатных породах и скарнах.

Поэтому назрела необходимость обобщения всего аналитического материала по бериллам из месторождений не только различных генетических типов, но и различных составов вмещающих пород с целью выявления взаимосвязи с основными позиционными вариантами изоморфизма. В таблице приведен химический состав 184 образцов бериллов из разных месторождений мира, в том числе 30 анализов оригинальных. Изучение литературы по бериллам показало, что многие анализы неполные и неполные (отсутствуют данные о содержании ряда компонентов, чаще MgO , CaO , FeO или Fe_2O_3 , Li_2O , Cs_2O и др.). В таблице приведены лишь анализы, которые, по мнению авторов, наиболее достоверно и полно отражают основные генетические и структурные типы бериллов.

Не вдаваясь в разбор многочисленных представлений о структуре и изоморфных замещениях в бериллах, рассмотренных в специальных работах многих авторов, отметим лишь, что в настоящее время точными структурами

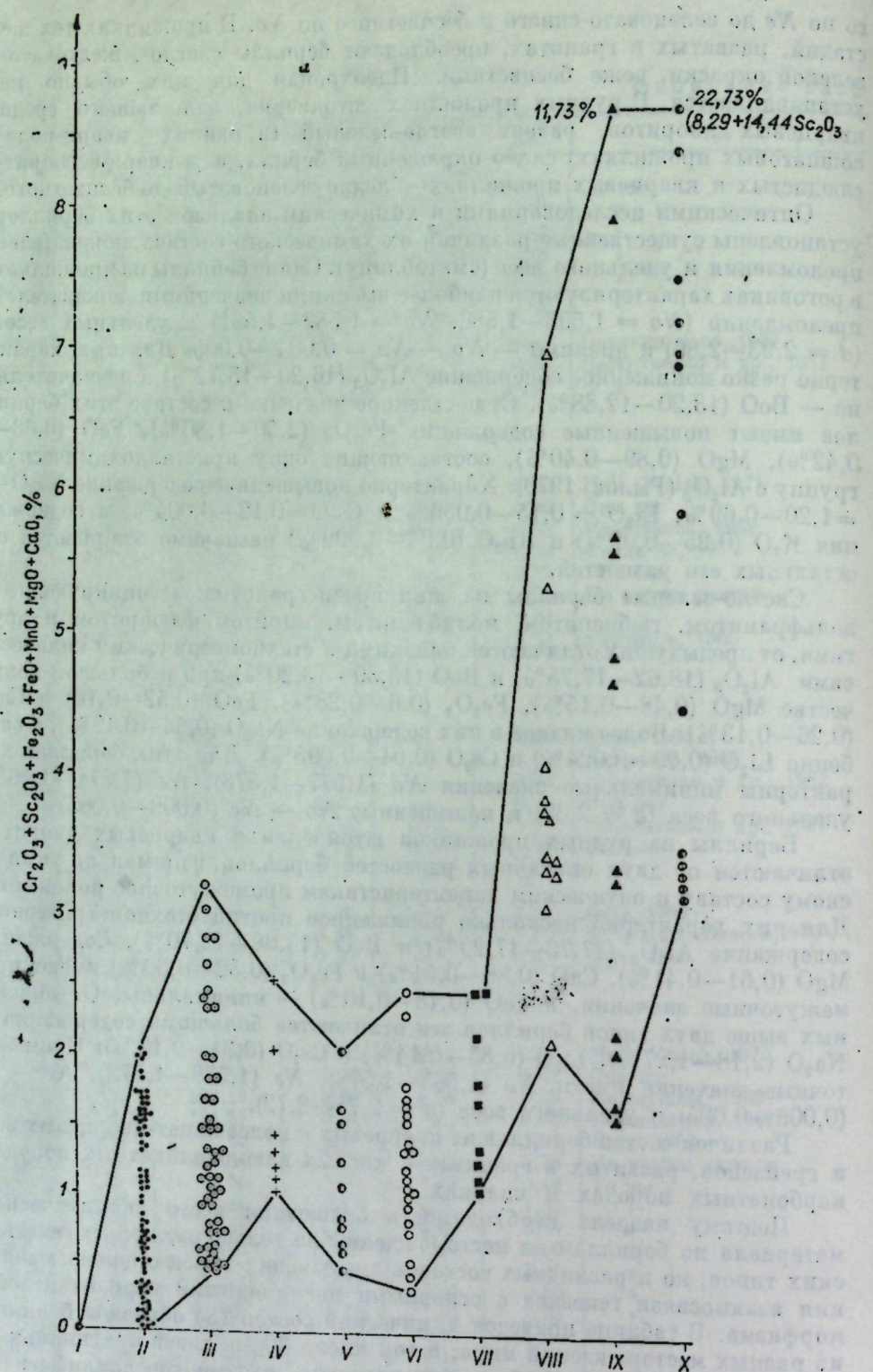


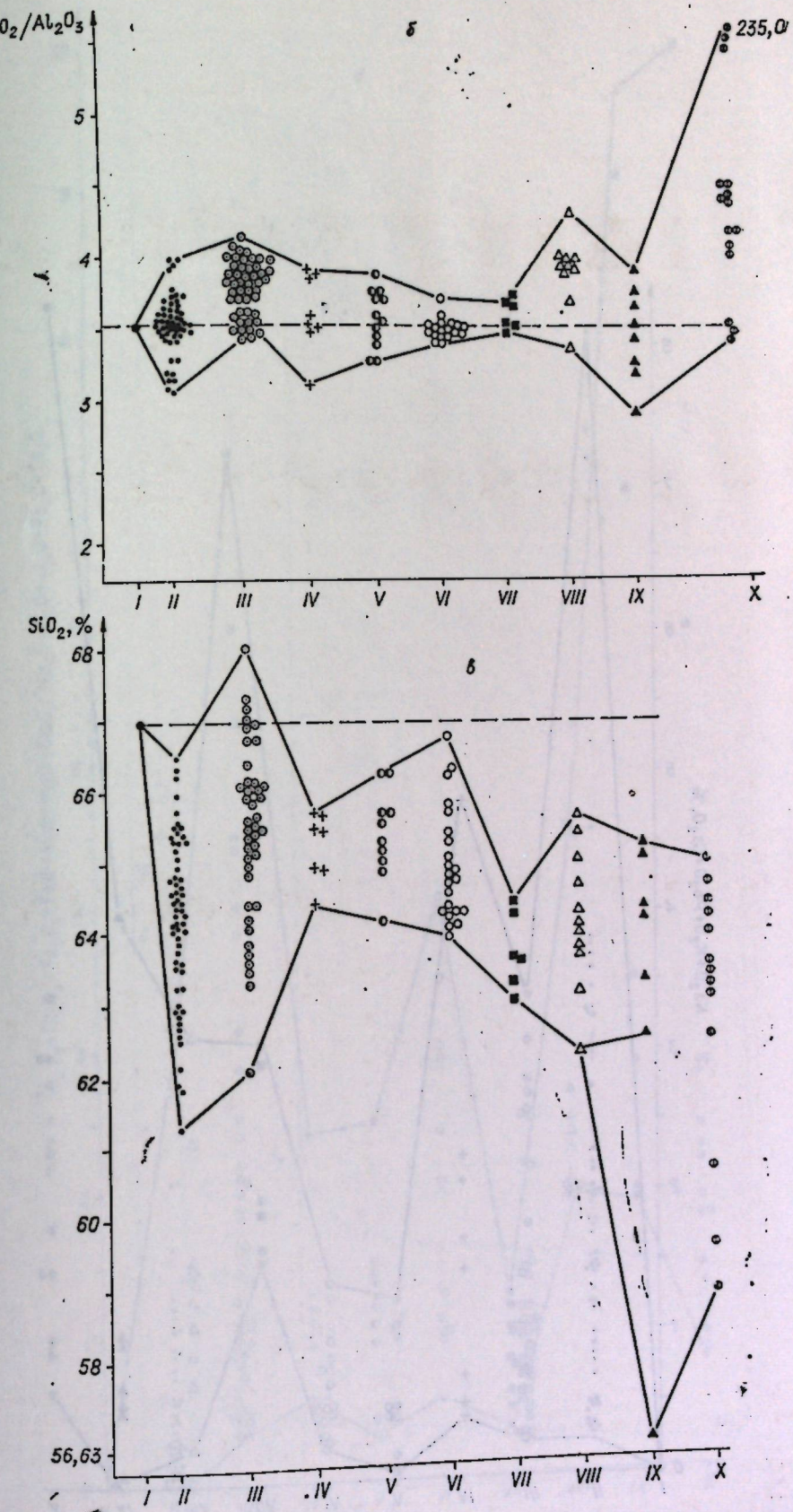
Рис. 1. Состав бериллов в зависимости от генетического типа и вмещающих пород.

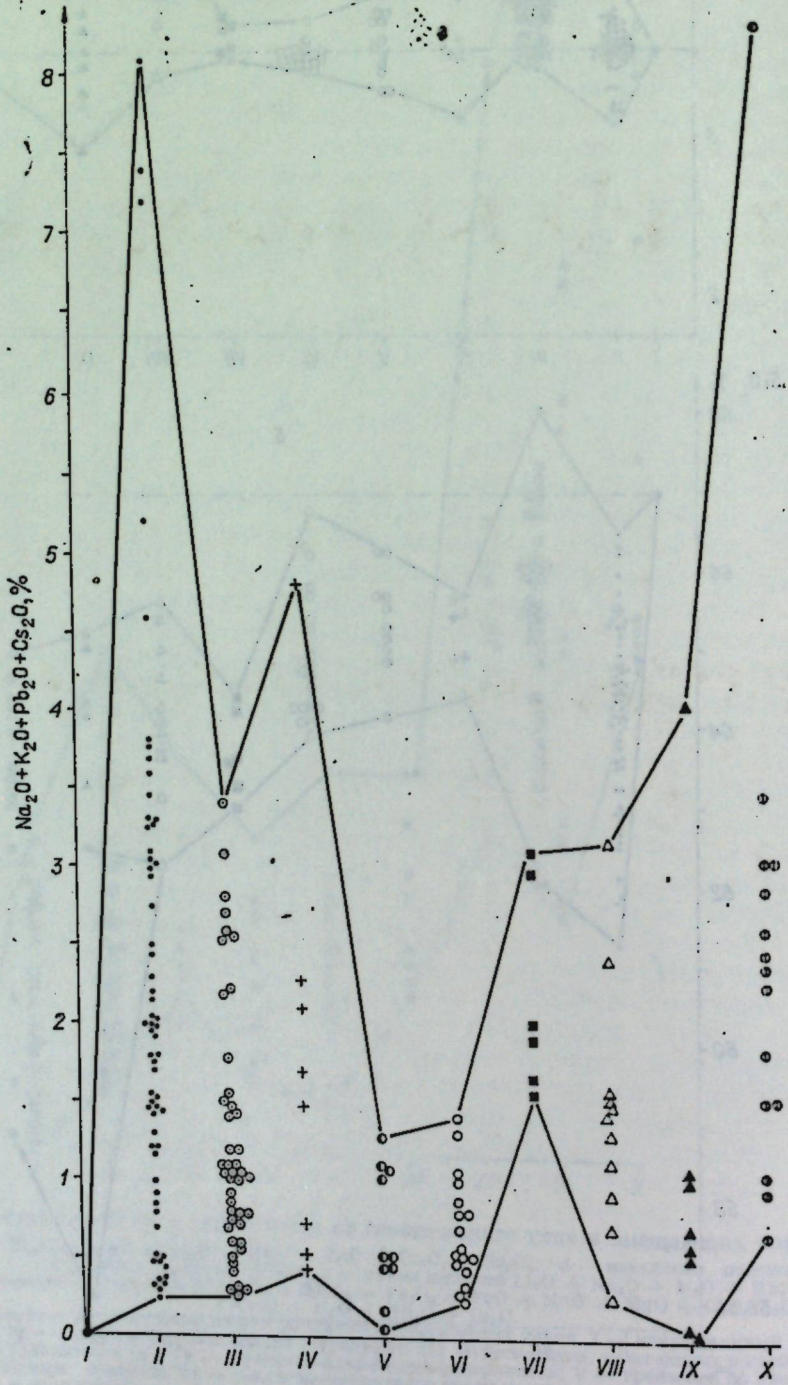
$a = \text{сумма } \text{Fe}_2\text{O}_3 + \text{FeO} + \text{MgO} + \text{MnO} + \text{CaO} + \text{Cr}_2\text{O}_3 + \text{Sc}_2\text{O}_3;$

$\text{SiO}_2/\text{Al}_2\text{O}_3;$ $\delta = \text{изменение содержания } \text{SiO}_2;$

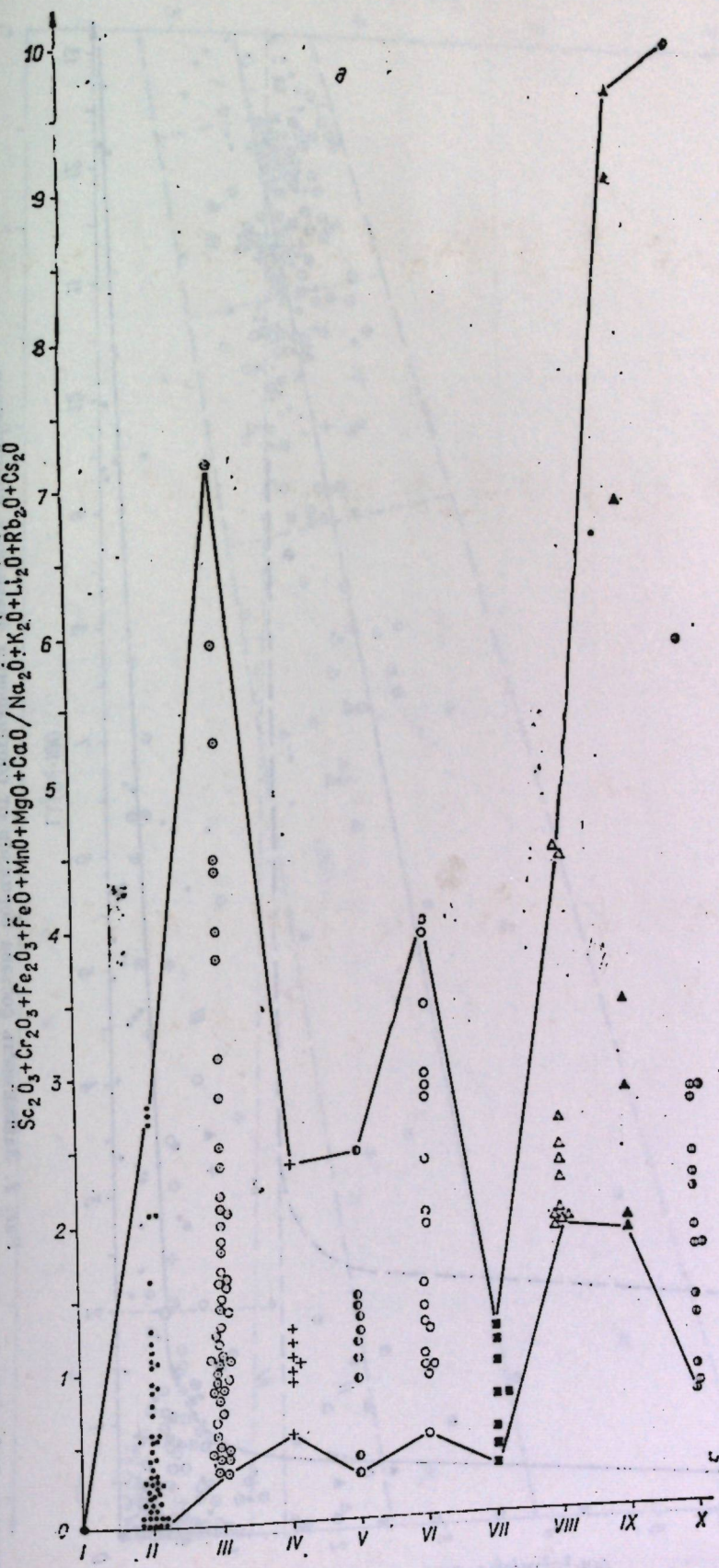
$\varepsilon = \text{изменение отношения } \text{Cr}_2\text{O}_3 + \text{Sc}_2\text{O}_3 + \text{Fe}_2\text{O}_3 + \text{FeO} + \text{MnO} + \text{MgO} + \text{CaO}/\text{Li}_2\text{O} + \text{Na}_2\text{O} + \text{K}_2\text{O} + \text{Rb}_2\text{O} + \text{Cs}_2\text{O}.$

Здесь и далее I — X — бериллы из руд различных генетических типов: I — искусственный беспримесный; II — пегматитов, залегающих в гранитах; III — пегматитов, залегающих в гнейсах, сланцах, амфиболитах и др.; IV — мусковит-альбитовых апогранитов; V — грейзенов по кислым алюмосиликатным породам; VI — жил и метасоматитов среди кислых алюмосиликатных пород; VII — жил и метасоматитов среди гранитоидов среднего состава; VIII — жил и метасоматитов пород повышенной основности; IX — карбонатных пород и скариев; X — основных и ультраосновных пород.





Продолжение рис. 1.



Продолжение рис. 1.

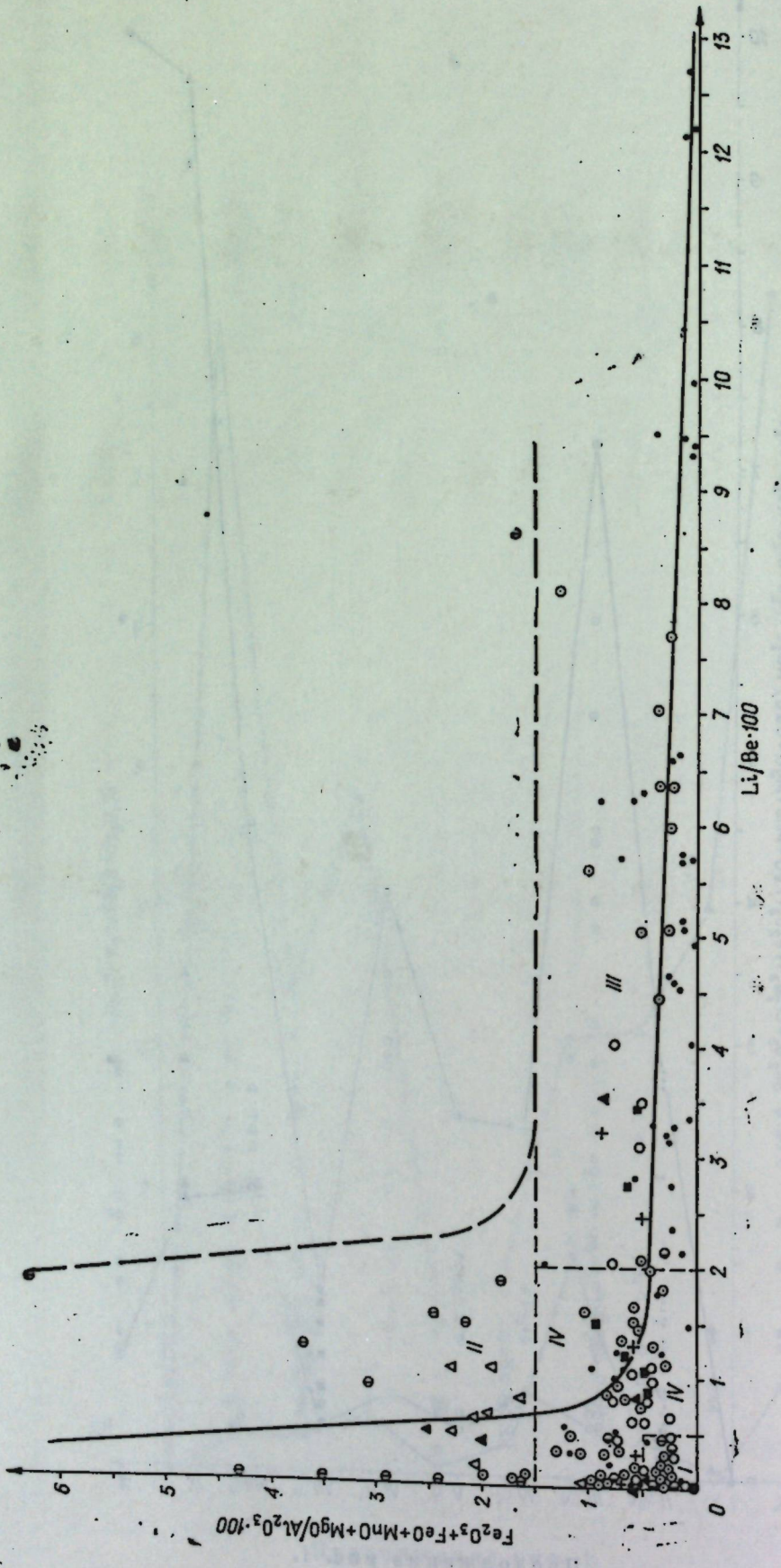
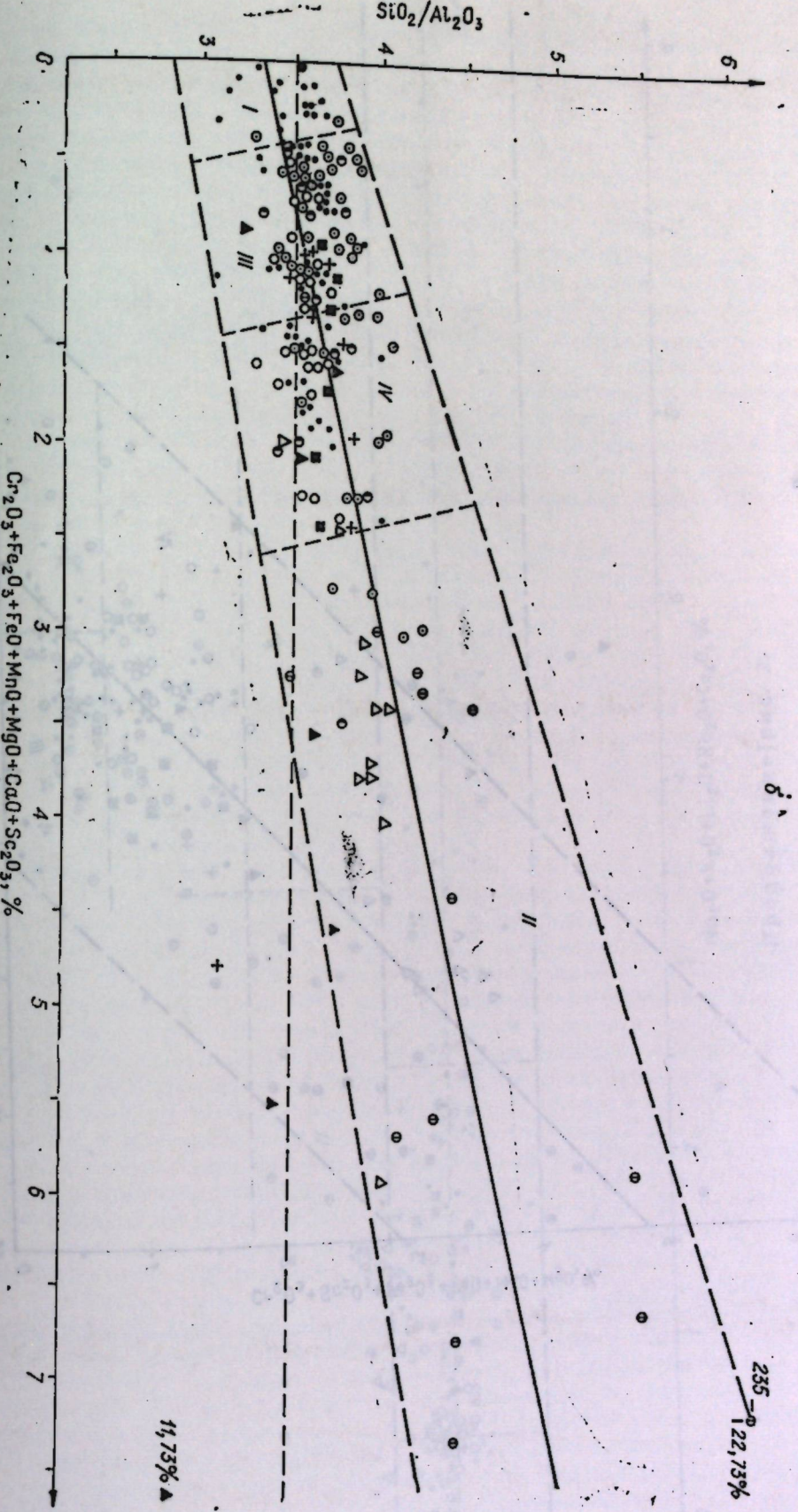
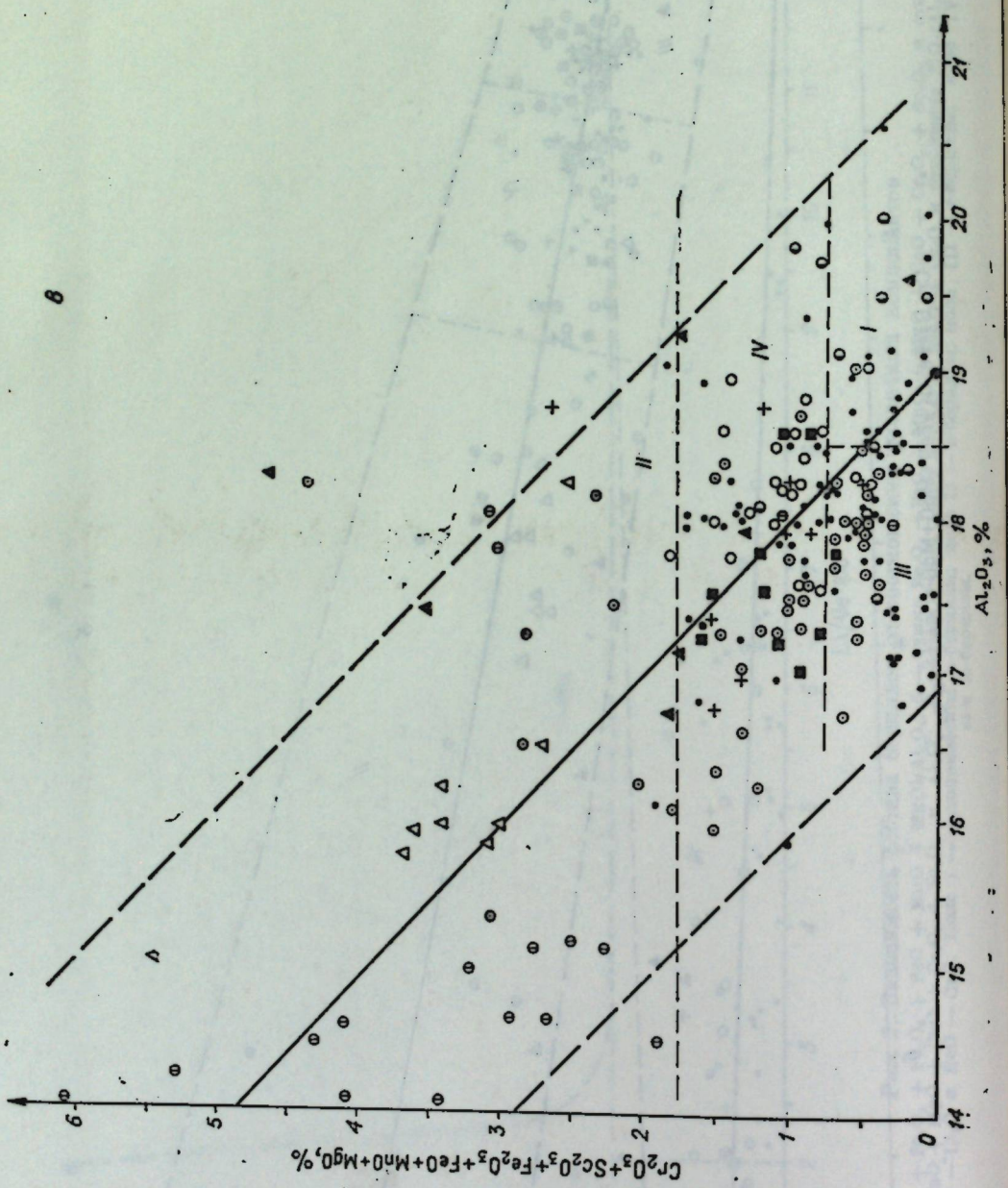
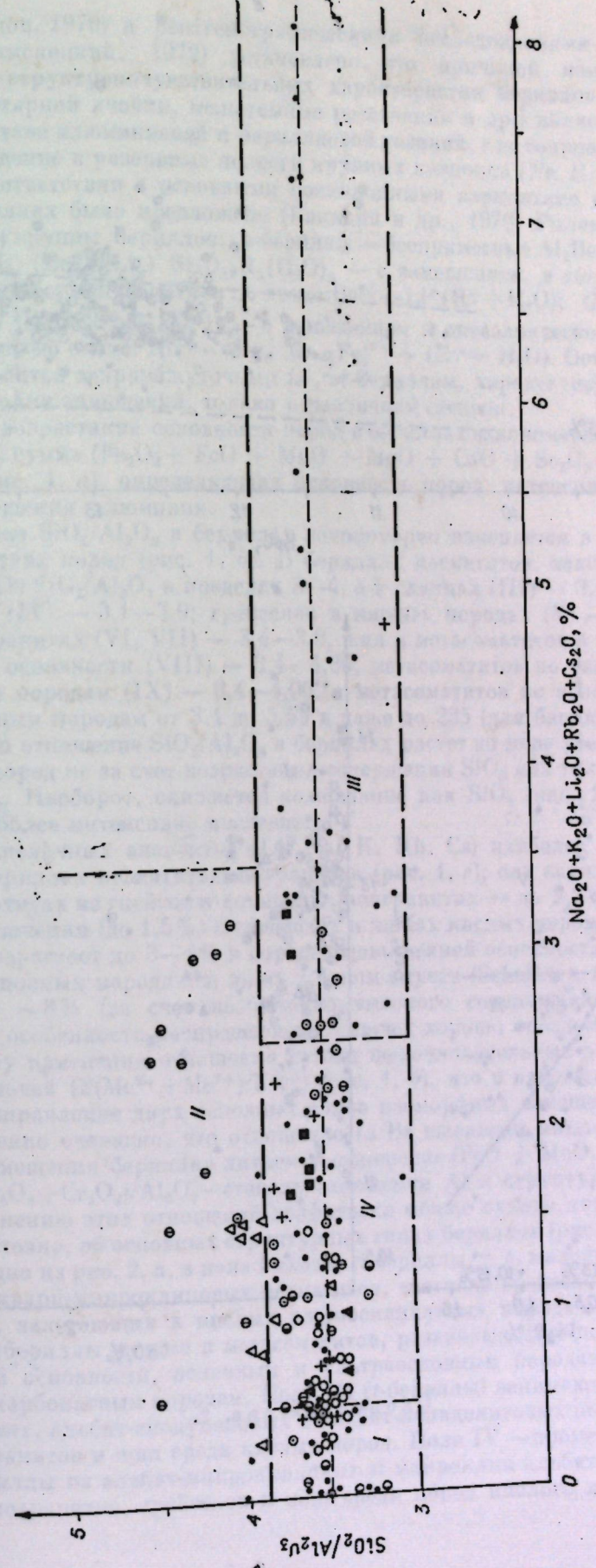
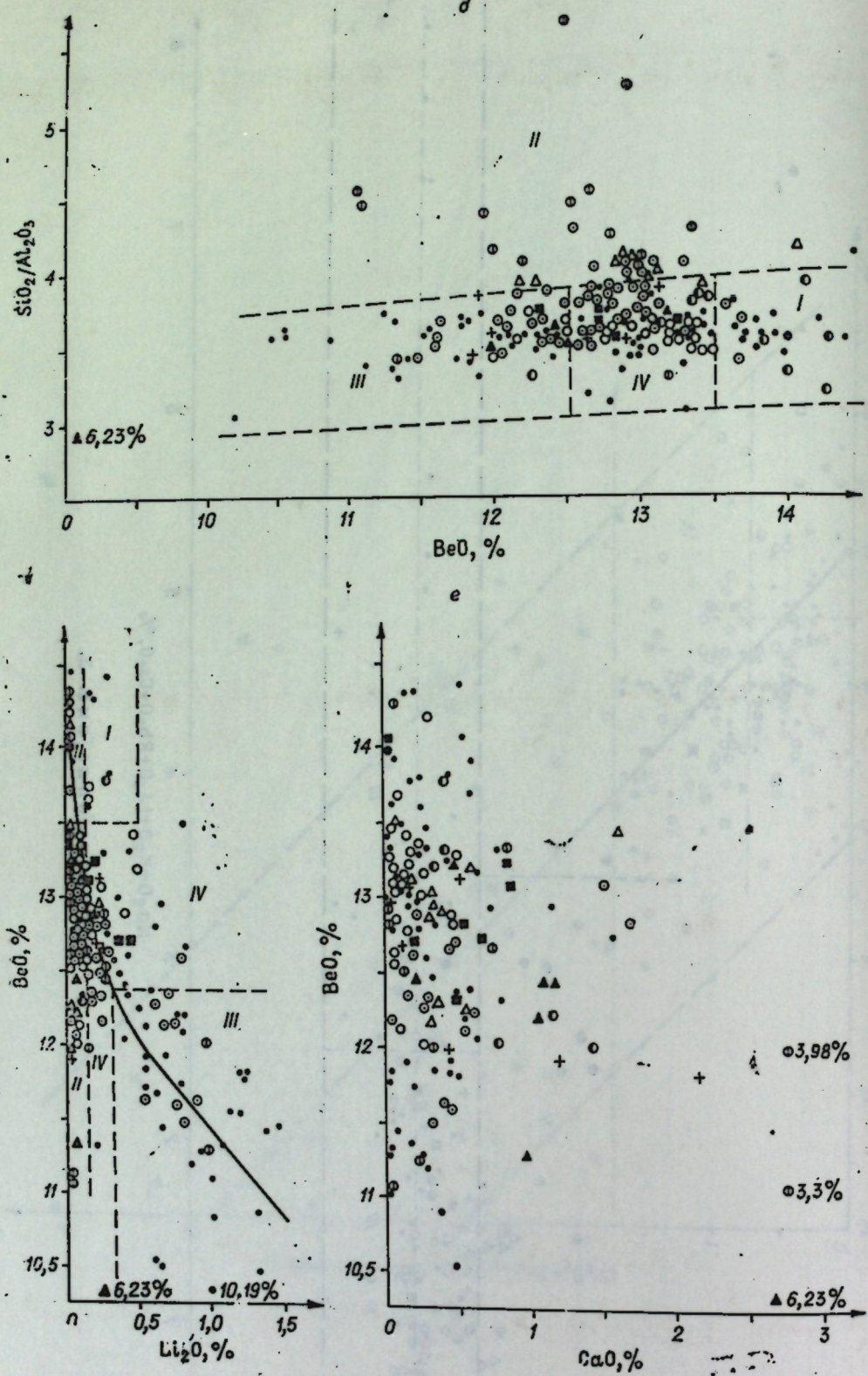


Рис. 2. Зависимость состава бериллов от соотношения различных компонентов
 $a =$ отношение Li/Be и $(\text{Cr}_2\text{O}_3 + \text{Sc}_2\text{O}_3 + \text{MnO} + \text{MgO})/\text{Al}_2\text{O}_3$; $b =$ сумма $\text{Fe}_2\text{O}_3 + \text{FeO} + \text{MnO} + \text{CaO} + \text{Cs}_2\text{O}_3 + \text{Rb}_2\text{O} + \text{Li}_2\text{O} + \text{K}_2\text{O}$ и Al_2O_3 ; $c =$ сумма $\text{Na}_2\text{O} + \text{Cs}_2\text{O} + \text{Rb}_2\text{O}$ и Li_2O ; $d =$ отношение $\text{SiO}_2/\text{Al}_2\text{O}_3$; поле III — α -бериллы; поле II — β -бериллы; поле IV — γ -бериллы.



Продолжение рис. 2.





Окончание рис. 2.

турными (Рылов, 1970) и рентгенографическими исследованиями (Соседко, Франк-Каменецкий, 1972) установлено, что причиной изменения большинства структурочувствительных характеристик бериллов (параметры элементарной ячейки, межатомные расстояния и др.) является изменение в составе алюминиевой и бериллиевой позиций, а не сопровождающие его вхождение в резервные полости крупных катионов (Na, K, Rb, Cs) и воды. В соответствии с основными позиционными вариантами изоморфизма в бериллах было предложено (Бакакин и др., 1970; Рылов, 1970) различать три группы бериллов: *n*-бериллы — беспримесные $Al_2Be_3Si_6O_{18}$; *t*-бериллы $Al_2(Be_{3-x}Li_x)Si_6O_{18}R_x(H_2O)_n$ — с замещением в тетраэдрической позиции берилля литием по схеме: $Be^{2+} \leftrightarrow Li^+(R^++H_2O)$; *O*-бериллы ($Al_{2-x}Mg_x^{2+}Be_3Si_6O_{18}R_x(H_2O)_n$) — с замещением в октаэдрической позиции алюминия по схеме: $Al^{3+} \leftrightarrow (Mg, Mn, Fe)^{2+} + (R^++H_2O)$. Остальные бериллы относятся к промежуточным *to*- и *ot*-бериллам, характеризующимися обоими типами замещений, только в различной степени.

По мере возрастания основности пород в бериллах закономерно растет (в 10—20 раз) сумма ($Fe_2O_3 + FeO + MnO + MgO + CaO + Sc_2O_3 + Cr_2O_3$) элементов (рис. 1, *a*), определяющих основность пород, интенсивность и степень замещения алюминия.

Отношение SiO_2/Al_2O_3 в бериллах закономерно изменяется в зависимости от состава пород (рис. 1, *b*). В бериллах пегматитов, залегающих в гранитах (II) SiO_2/Al_2O_3 в пределах 3—4, а в сланцах (III) — 3,4—4,25; апогранитов (IV) — 3,1—3,9; грейзенов в кислых породах (V) — 3,25—3,9, жил в гранитах (VI, VII) — 3,4—3,8, жил и метасоматитов в породах повышенной основности (VIII) — 3,4—4,36; метасоматитов по скарнам и карбонатным породам (IX) — 3,4—4,00, а метасоматитов по основным и ультраосновным породам от 3,4 до 5,59 и даже до 235 (для баццита). Характерно, что отношение SiO_2/Al_2O_3 в бериллах растет по мере увеличения основности пород не за счет возрастания содержания SiO_2 или только снижения Al_2O_3 . Наоборот, снижается содержание как SiO_2 (рис. 1, *c*), так и Al_2O_3 , но более интенсивно последнего.

Сумма щелочных элементов (Li, Na, K, Rb, Cs) наиболее высокая (до 8%) в бериллах пегматитов из гранитов (рис. 1, *c*); она снижается до 3,5% в пегматитах из гнейсов и сланцев; в апогранитах — до 2,2%; минимальны ее значения (до 1,5%) в грейзенах и жилах кислых пород, а далее она снова возрастает до 3—4% в породах повышенной основности, карбонатных и основных породах, и лишь в одном случае (Scheller e. a., 1962) установлено ~8% (за счет необычайно высокого содержания Cs_2O — 6,68%). Эти особенности распределения щелочей хорошо прослеживаются по характеру изменения отношения суммы щелочноземельных элементов к сумме щелочей ($(\Sigma(Me^{2+} + Me^{3+})/\Sigma R^+)$) (рис. 1, *d*), что в какой-то степени отражает направление двух основных типов изоморфных замещений.

Совершенно очевидно, что отношение Li/Be выражает интенсивность и степень замещения берилля литием, а отношение ($FeO + MnO + MgO + Fe_2O_3 + Cr_2O_3 + Cr_2O_3/Al_2O_3$) — степень замещения Al в структуре берилла. По изменению этих отношений графически можно судить, хотя и относительно условно, об основных структурных типах бериллов (рис. 2, *a*).

Как видно из рис. 2, *a*, в поле I входят *n*-бериллы, т. е. малопримесные бериллы из кварц-микроклиновых пегматитов, частично грейзенов и кварцевых жил, залегающих в кислых алюмосиликатных породах. Поле II включает *o*-бериллы из жил и метасоматитов, развивающихся по породам повышенной основности, основным и ультраосновным породам, частично скарнам и карбонатным породам. Поле III (*t*-бериллы) занимают бериллы из альбитовых, альбит-сподуменовых и альбит-лепидолитовых пегматитов, редко апогранитов и жил среди кислых пород. Поле IV — промежуточные *ot*- и *to*-бериллы из альбит-микроклиновых и микроклин-альбитовых пегматитов, апогранитов, грейзенов и жил среди пород кислого и среднего состава.

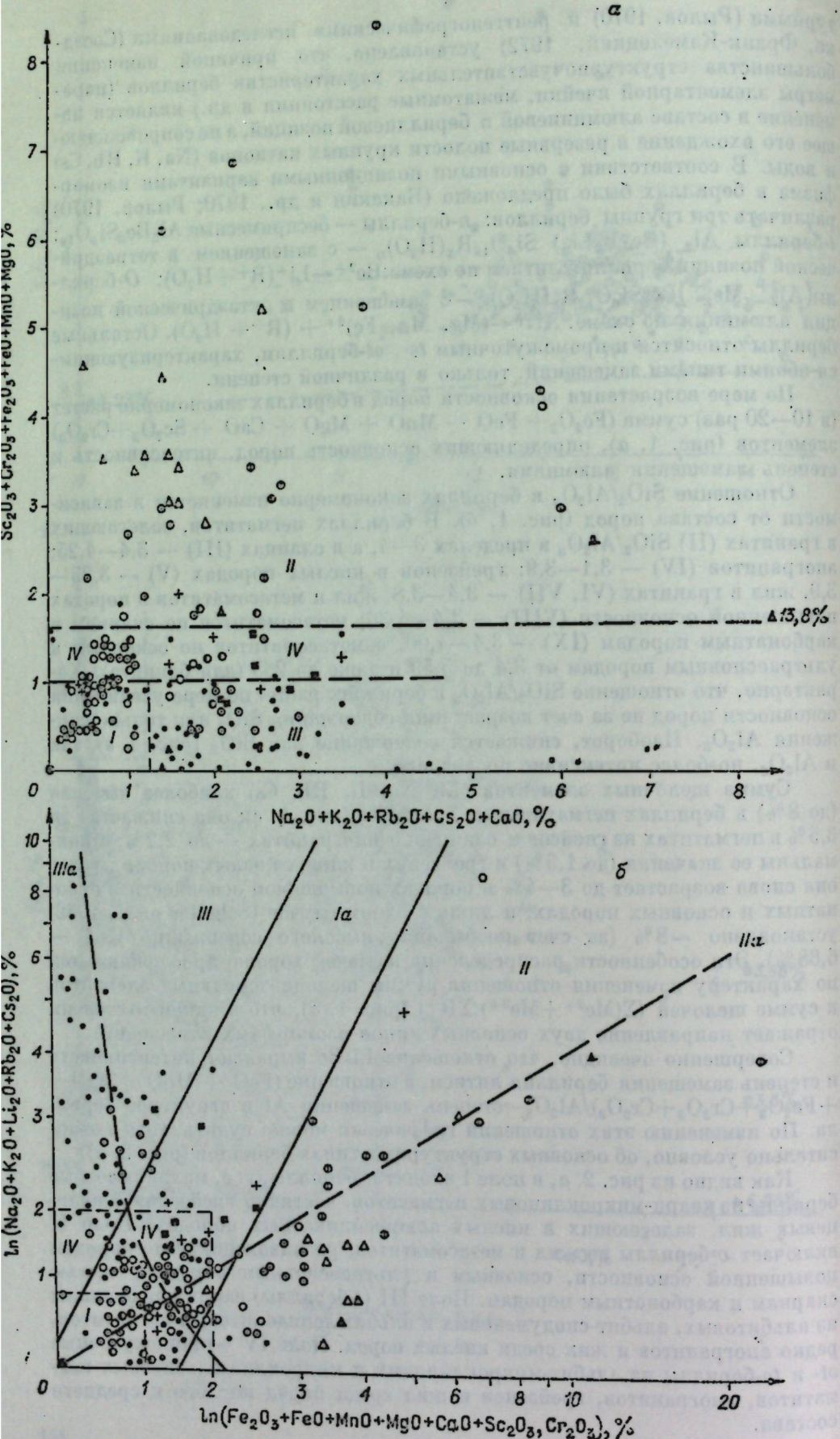
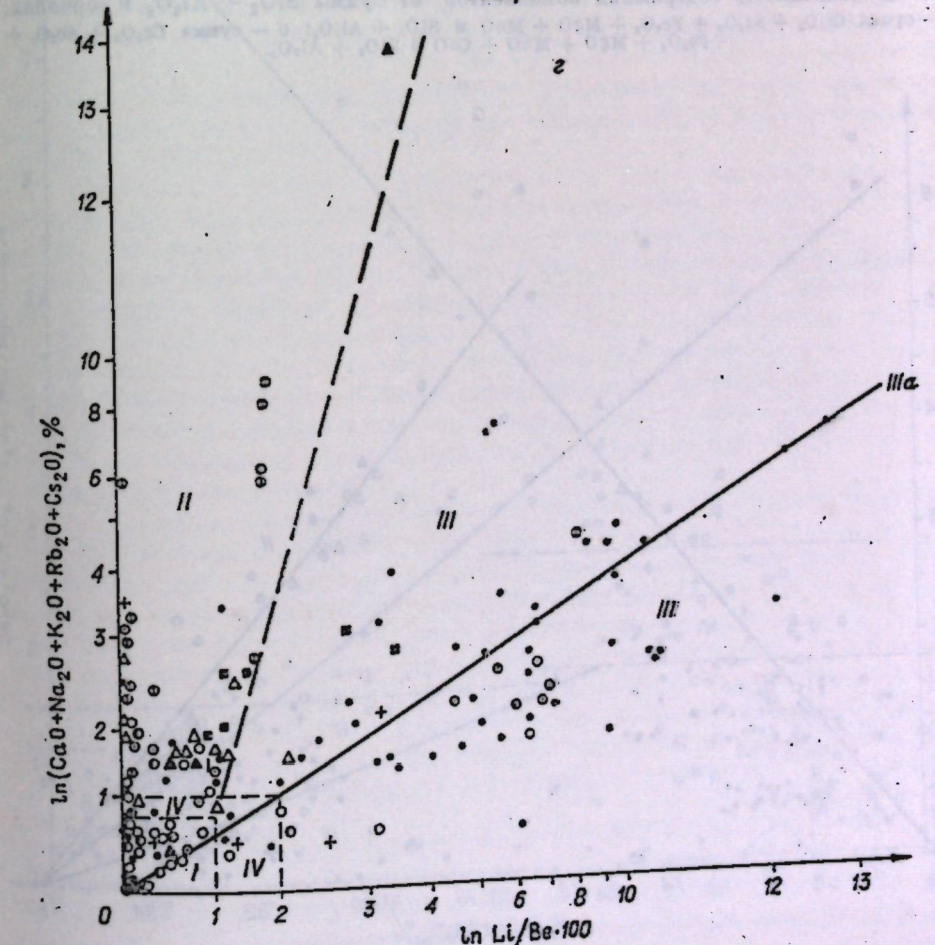
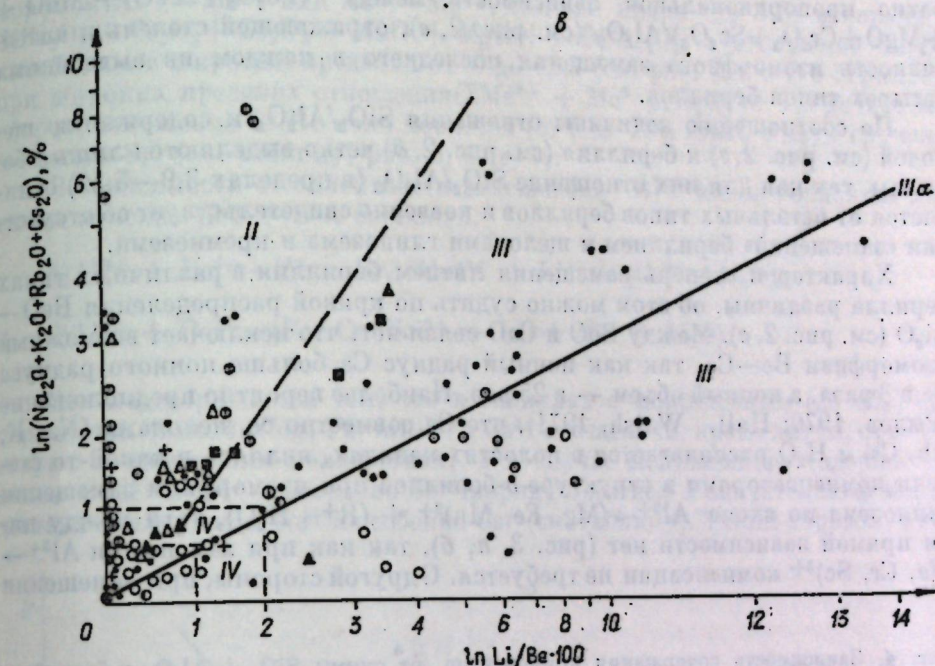


Рис. 3: Зависимость между содержаниями компонентов в бериллах.
 a — сумма $\text{Fe}_2\text{O}_3 + \text{FeO} + \text{MnO} + \text{MgO}$ и сумма $\text{Na}_2\text{O} + \text{K}_2\text{O} + \text{Rb}_2\text{O} + \text{Cs}_2\text{O} + \text{CaO}$; b — $\ln(\text{Na}_2\text{O} + \text{K}_2\text{O} + \text{Li}_2\text{O} + \text{Rb}_2\text{O} + \text{Cs}_2\text{O})$ и $\ln(\text{Fe}_2\text{O}_3 + \text{FeO} + \text{MnO} + \text{MgO} + \text{CaO} + \text{Cr}_2\text{O}_3 + \text{Sc}_2\text{O}_3)$; c — $\ln(\text{Na}_2\text{O} + \text{K}_2\text{O} + \text{Rb}_2\text{O} + \text{Cs}_2\text{O})$ и $\ln \text{Li}/\text{Be}$; d — $\ln(\text{CaO} + \text{Na}_2\text{O} + \text{K}_2\text{O} + \text{Rb}_2\text{O} + \text{Cs}_2\text{O})$ и $\ln \text{Li}/\text{Be}$.

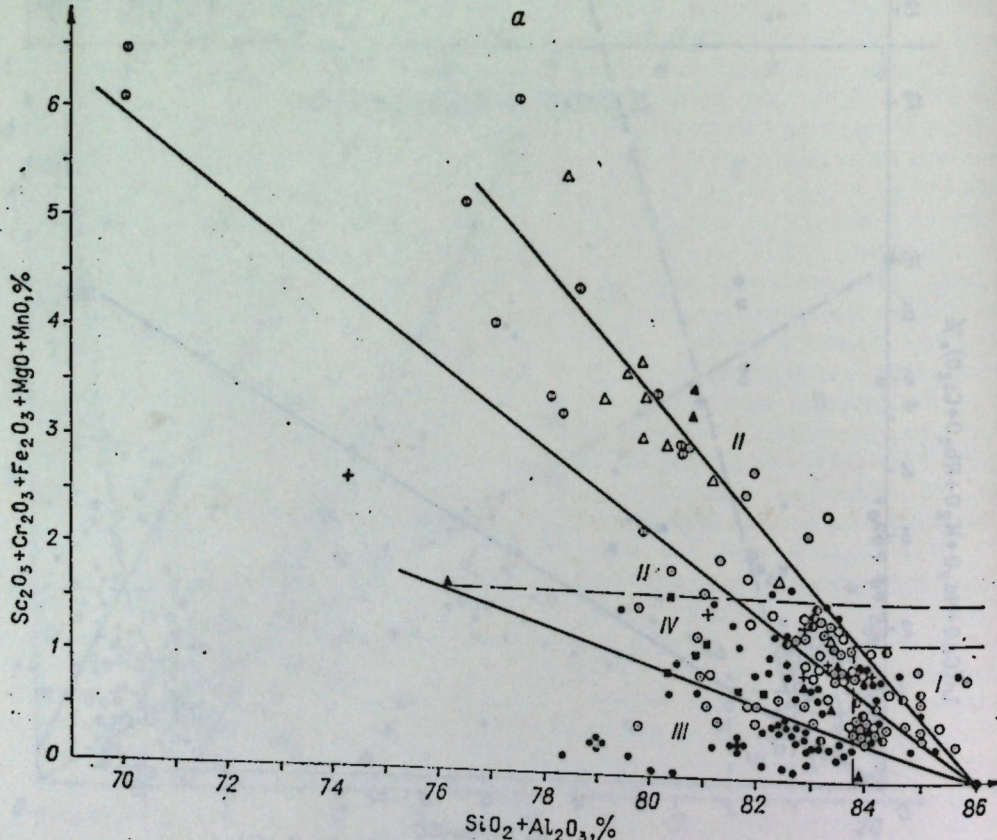


Прямая пропорциональная зависимость между суммой $\text{Fe}_2\text{O}_3 + \text{FeO} + \text{MnO} + \text{MgO} + \text{CaO} + \text{Sc}_2\text{O}_3 + \text{Cr}_2\text{O}_3$ и отношением $\text{SiO}_2/\text{Al}_2\text{O}_3$ (см. рис. 2, б) не случайна: она четко разделяет основные структурные типы бериллов в зависимости от изменения основности пород. Это отчетливо видно по обратной пропорциональной зависимости между $(\text{Fe}_2\text{O}_3 + \text{FeO} + \text{MnO} + \text{MgO} + \text{Cr}_2\text{O}_3 + \text{Sc}_2\text{O}_3)/\text{Al}_2\text{O}_3$ (см. рис. 2, в), отражающей степень и интенсивность изоморфного замещения последнего в каждом из выделенных четырех типов бериллов.

По соотношению величины отношения $\text{SiO}_2/\text{Al}_2\text{O}_3$ и содержанию щелочей (см. рис. 2, г) и берилля (см. рис. 2, д) четко выделяются лишь *o*-бериллы, так как для них отношение $\text{SiO}_2/\text{Al}_2\text{O}_3$ (в пределах 3,9—5,59) отличается от остальных типов бериллов и косвенно свидетельствует об отсутствии «замещений» бериллием и щелочами глинозема и кремнезема.

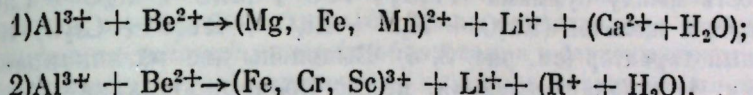
Характер и степень замещения литием берилля в различных типах берилла различны, об этом можно судить по кривой распределения $\text{BeO}-\text{Li}_2\text{O}$ (см. рис. 2, е). Между BeO и CaO связи нет, что исключает возможный изоморфизм $\text{Be}-\text{Ca}$, так как ионный радиус Ca больше ионного радиуса Be в 3 раза, а ионный объем — в 25 раз. Наиболее вероятно предположение (Рылов, 1970; Hall, Walsh, 1971), что Ca совместно со щелочами ($\text{Na}, \text{K}, \text{Rb}, \text{Cs}$) и H_2O располагается в полостях-каналах, являясь в какой-то степени компенсаторами в структуре *o*-бериллов при изоморфном замещении глинозема по схеме $\text{Al}^{3+} \rightarrow (\text{Mg}, \text{Fe}, \text{Mn})^{2+} + (\text{R}^+ + \text{H}_2\text{O})$, хотя между ними прямой зависимости нет (рис. 3, а, б), так как при замещении $\text{Al}^{3+} \rightarrow (\text{Fe}, \text{Cr}, \text{Sc})^{3+}$ компенсации не требуется. С другой стороны, при замещении

Рис. 4. Зависимость содержания компонентов от суммы $\text{SiO}_2 + \text{Al}_2\text{O}_3$ в бериллах. а — сумма $\text{Cr}_2\text{O}_3 + \text{Sc}_2\text{O}_3 + \text{Fe}_2\text{O}_3 + \text{MgO} + \text{MnO}$ и $\text{SiO}_2 + \text{Al}_2\text{O}_3$; б — сумма $\text{Cr}_2\text{O}_3 + \text{Sc}_2\text{O}_3 + \text{Fe}_2\text{O}_3 + \text{MgO} + \text{MnO} + \text{CaO}$ и $\text{SiO}_2 + \text{Al}_2\text{O}_3$.

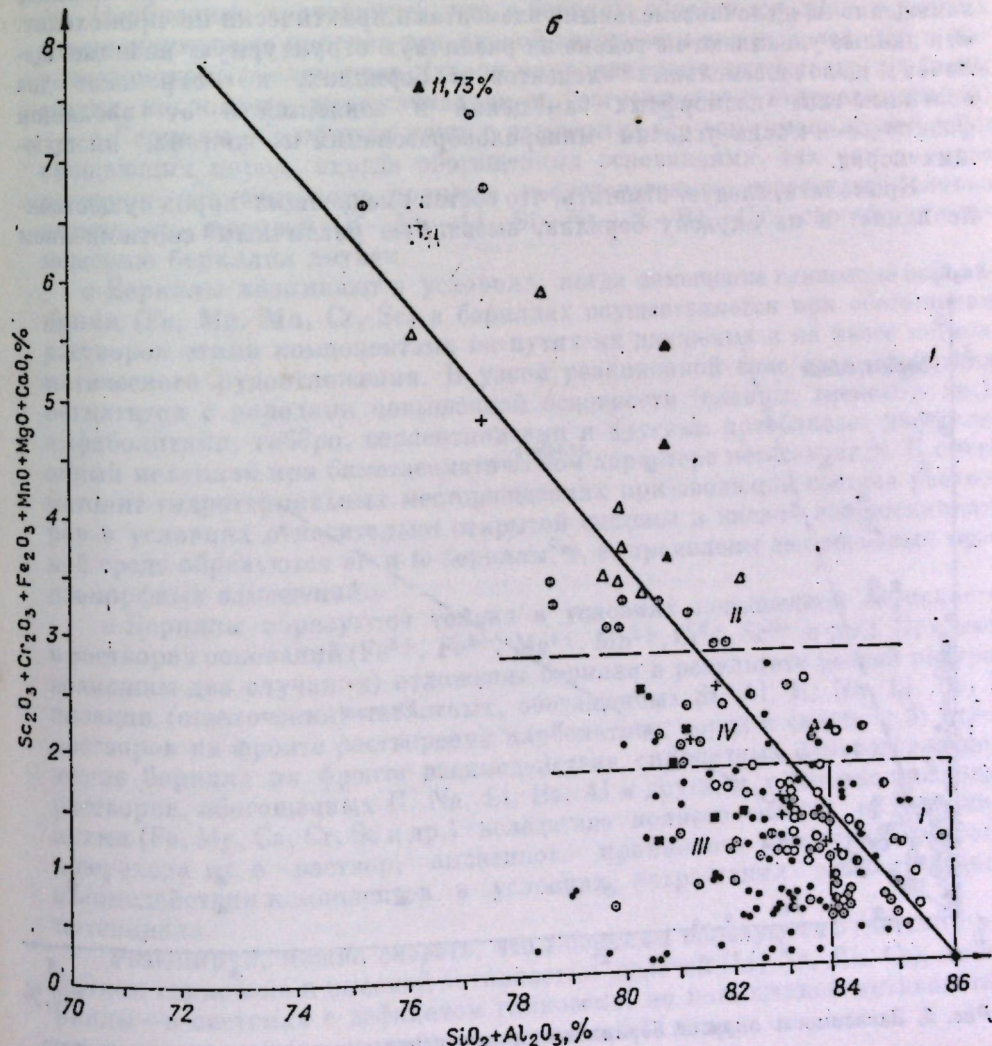


берилля литием компенсация зарядов также происходит щелочами по схеме: $\text{Be}^{2+} \rightarrow \text{Li}^+ + (\text{R}^+ + \text{H}_2\text{O})$, но только в структуре *t*-бериллов, о чем свидетельствует прямая зависимость между отношением Li/Be и ΣR^+ (см. рис. 3, б, в, г, линия IIIа). При этом весьма слабо в них проявлен изоморфизм $\text{Al}^{3+} \rightarrow \text{Me}^{3+}$ или $\text{Al}^{3+} \rightarrow \text{Me}^{2+}$, так как низки (до 1,5) отношения $\Sigma(\text{Fe}_2\text{O}_3 + \text{Cr}_2\text{O}_3 + \text{Sc}_2\text{O}_3 + \text{MnO} + \text{MgO} + \text{FeO})/\text{Al}_2\text{O}_3$, а отношение Li/Be колеблется в широких пределах от 0 до 12,7 (см. рис. 3, в). В *o*-бериллах при широких пределах отношения $(\Sigma \text{Me}^{2+} + \text{Me}^{3+})/\text{Al}_2\text{O}_3$ от 1,5 до 6,5, наоборот, отношение Li/Be мало меняется (от 0 до 2) и лишь в двух случаях достигает 8,6 (см. таблицу, рис. 3, б, в, г).

В зависимости от валентности замещающих Al^{3+} ионов возможны две схемы замещений в *o*- и *to*-бериллах:



Это подтверждается тем, что в бериллах с повышенным (до 4%) содержанием окислов ($\text{Mg}, \text{Fe}, \text{Mn})^{2+}$ и Ca^{2+} все щелочи, кроме лития, присутствуют в небольших количествах, а в случае повышенного содержания окислов Fe^{3+} и Cr^{3+} и особенно Sc^{3+} паряду с литием в значительных количествах обнаружены Na^+ и особенно Cs^+ (см. таблицу). Таким образом, ана-



лиз голубого берилла с высоким содержанием CaO (до 10%) из турмалино-флюоритового грейзена по карбонатным породам (Маршукова, 1969), по нашему мнению, вызывает сомнение. Он, вероятно, представляет смесь берилла, кальцита, флюорита и альбита, что требует специального детального исследования.

Параллельное снижение содержания SiO_2 по мере усиления замещения Al^{3+} в α -бериллах, вероятно, указывает на возможный изоморфизм по схеме $\text{Si}^{4+} \rightarrow (\text{Fe}, \text{Cr}, \text{Sc})^{3+} + (\text{R}^+ + \text{H}_2\text{O})$ или $\text{Si}^{4+} + \text{Al}^{3+} \rightarrow (\text{Fe}, \text{Cr}, \text{Sc})^{3+} + 2(\text{Fe}, \text{Mg}, \text{Mn}, \text{Ca})^{2+}$.

Подтверждение этому можно увидеть в обратно пропорциональной зависимости $\Sigma(\text{Mg}^{2+} + \text{Mn}^{3+}) - \Sigma(\text{SiO}_2 + \text{Al}_2\text{O}_3)$ от n - через to - к α -бериллам (рис. 4, а, б).

Зависимость между суммами $\text{Fe}_2\text{O}_3 + \text{FeO} + \text{MnO} + \text{MgO} + \text{CaO} + \text{Cr}_2\text{O}_3 + \text{Sc}_2\text{O}_3$ и щелочей ($\text{Na}_2\text{O} + \text{K}_2\text{O} + \text{Li}_2\text{O} + \text{Rb}_2\text{O} + \text{Cs}_2\text{O}$) имеет весьма сложный характер (см. рис. 3, б). Выявлены две разнонаправленные тенденции: 1) односторонняя, прямо пропорциональная зависимость (кривая IIa) между этими элементами в бериллах по мере возрастания основности пород, когда по мере усиления замещения Al в октаэдрической позиции и ограниченном замещении $\text{Be} \rightarrow \text{Li}$ (α -бериллах) накопление щелочей менее интенсивно; 2) обратно пропорциональная зависимость наблюдается (кривая IIIa) лишь в бериллах из руд, развивающихся в породах кислого состава; это подчеркивает, что по мере усиления замещения литием бериллия (t -бериллы) резко растет сумма щелочей, а параллельное замещение Al щелочноземельными элементами практически не происходит. Эти данные указывают не только на различную структурную позицию щелочей и щелочноземельных элементов в бериллах, но отражают два основных типа изоморфных замещений в зависимости от эволюции физико-химических условий минералообразования и состава вмещающих пород.

Кроме того, следует отметить, что состав вмещающих пород существенно влияет и на окраску берилла, вызванную различным соотношением

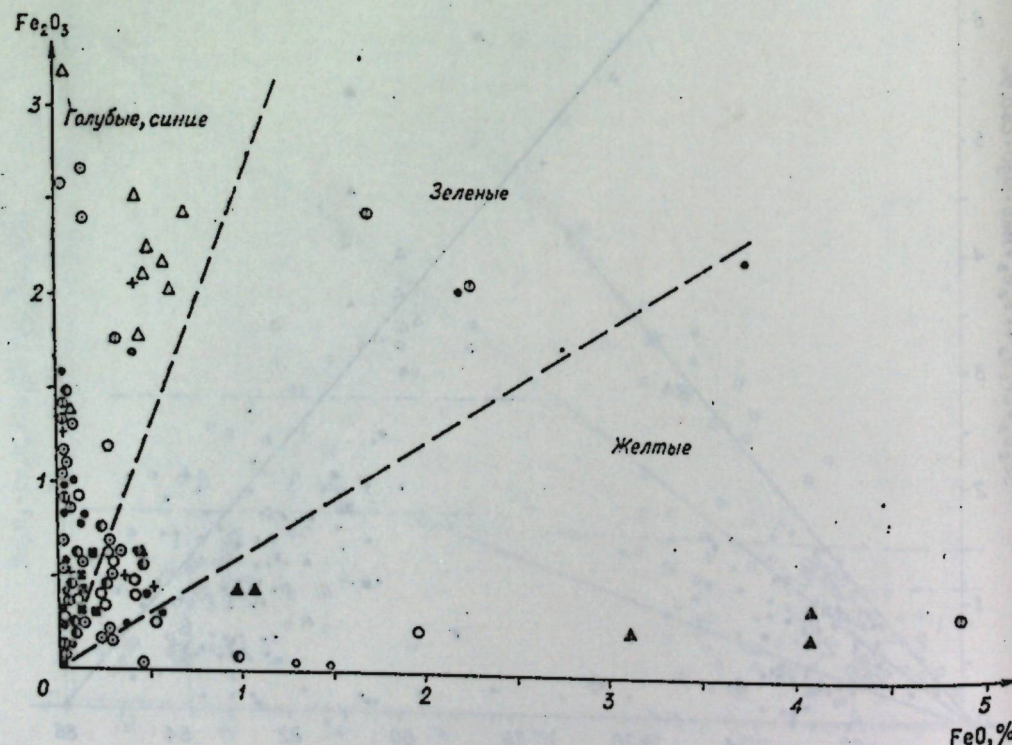


Рис. 5. Зависимость окраски бериллов от соотношения окисного и зажигаемого железа.

окисного и зажигаемого железа (рис. 5). Голубые и синие цвета и оттенки определяются резким преобладанием окисного железа и характерны преимущественно для α - и to -бериллов из пород повышенной основности, осажденное железо, а в зеленых и бесцветных бериллах преобладает зажигаемое железо, а в зеленых совместно присутствует Fe^{2+} и Fe^{3+} в близких, но небольших количествах. Совершенно очевидно, что голубые и синие бериллы (преимущественно α -бериллы) образуются в условиях большего окислительного потенциала, чем желто-зеленые и светлые бериллы. Первые содержат в составе Cr^{3+} и Sc^{3+} и встречаются в ассоциации с окисными соединениями — магнетитом, гематитом, вольфрамитом, шеелитом, а вторые — с сульфидами — пиритом, молибденитом, гельвионом, дананитом, висмутином и др.

Таким образом, приведенный материал свидетельствует о том, что состав и структурные типы бериллов определяются эволюцией физико-химических условий минералообразования в зависимости от состава среды (вмещающих пород), причем важную роль играет режим кислотности — щелочности растворов и кислотно-основное взаимодействие. В этом плане необходимо подчеркнуть некоторое различие масштабов этих явлений в пегматитовых и пневматолит-гидротермальных месторождениях. В пегматитах влияние вмещающих пород весьма ограничено и лишь в узкой эндоконтактовой зоне, а в пневматолит-гидротермальных образованиях это влияние развито широко и играет существенную роль в минералообразовании вообще и берилла, в частности (Косалс, 1972).

Необходимо подчеркнуть, что t -бериллы образуются лишь в кислых алюмосиликатных породах при низкой активности как щелочей, так и щелочноземельных элементов (кварц-микроклиновые пегматиты, грейзены стадии кислотного выщелачивания и безгнейзованные кварцевые жилы).

t -Бериллы образуются лишь в пегматитах без ощущимого воздействия вмещающих пород, иногда обогащенных основаниями, так как по мере развития пегматитового процесса последовательно возрастает валовая активность щелочей ($\text{K}-\text{Na}-\text{Li}-\text{Si}-\text{Na}-\text{K}-\text{Rb}-\text{Cs}$), способствуя замещению берилля литием.

α -Бериллы возникают в условиях, когда замещение глиноzemом основаниями ($\text{Fe}, \text{Mg}, \text{Mn}, \text{Cr}, \text{Sc}$) в бериллах осуществляется при обогащении растворов этими компонентами на путях их движения и на месте метасоматического рудоотложения. В узкой реакционной зоне взаимодействия пегматитов с породами повышенной основности (сланцы, гнейсы и др.), амфиболитами, габбро, серпентинитами и другими преобладает диффузионный механизм при биметасоматическом характере метасоматоза. В пневматолит-гидротермальных месторождениях при эволюции состава растворов в условиях относительно открытой системы в кислой алюмосиликатной среде образуются at - и to -бериллы, т. е. проявлены два основных типа изоморфных замещений.

α -Бериллы образуются только в условиях повышенной активности в растворах оснований ($\text{Fe}^{3+}, \text{Fe}^{2+}, \text{Mg}^{2+}, \text{Mn}^{2+}, \text{Cr}^{3+}, \text{Sc}^{3+}$ и др.). При этом возможны два случая: а) отложение берилла в результате резкой нейтрализации (ощелачивания) кислотных, обогащенных Si, Al, K, Na, Li, Be, F растворов на фронте растворения карбонатных пород и скарнов; б) отложение берилла на фронте взаимодействия силикатных фторсодержащих растворов, обогащенных K, Na, Li, Be, Al и другими, с богатыми основаниями ($\text{Fe}, \text{Mg}, \text{Ca}, \text{Cr}, \text{Sc}$ и др.) вследствие ионного обмена с породами и перехода их в раствор, вызванного принципом кислотно-основного взаимодействия компонентов в условиях возрастания окислительного потенциала.

Резюмируя, можно сказать, что t -бериллы образуются в системе с избытком глиноzemа и высокой активностью щелочей ($\text{Li}, \text{Na}, \text{Rb}, \text{Cs}$), а α -бериллы — в системах с дефицитом глиноzemса, но повышенной активностью его заместителей (оснований) и понижением Li и др.

- Бабаджанян А. К. Редкие минералы Мегринского plutона Армянской ССР.— «Зап. Арм. отд. Всес. минералог. обн-ва», 1970, вып. 4, с. 199—205.
- Бакакин В. В., Рылов Г. М., Белов И. В. Рентгенографическая диагностика изоморфных разновидностей берилла.— «Геохимия», 1970, № 1, с. 1202—1311.
- Беус А. А. Геохимия и генетические типы бериллиевых месторождений. М., Изд-во АН СССР, 1960. 329 с.
- Власов К. А., Кутукова Е. И. Изумрудные копи. М., Изд-во АН СССР, 1960. 250 с.
- Гинзбург А. И. О минералах — геохимических индикаторах и их значении при поисках руд редких металлов в пегматитах.— «Труды Минералог. музея АН СССР», 1952, вып. 3.
- Гордиенко В. В. Минералогия, геохимия и генезис сподуменовых пегматитов. Л., «Недра», 1970. 230 с.
- Заболотная И. П., Новикова М. И., Шацкая В. Т. Вольфрам-молибден-олово-бериллиевые месторождения и условия их образования. М., Госгеолтехиздат, 1962. 96 с. («Геол. месторожд. редких элементов», вып. 8).
- Заболотная И. П., Куприянова И. И., Новикова М. И., Шпаков Е. П. Слюдисто-флюорит-бериллиевые месторождения — важнейший тип бериллиевого сырья. М., «Недра», 1967. 191 с. («Геол. месторожд. редких элементов», вып. 35).
- Ибадуллаев С. И. О патровом берилле одного из пегматитовых полей.— «Узб. геол. журнал», 1958, № 2, с. 93—95.
- Косале Я. А. Влияние состава вмещающих пород и режима кислотности — щелочности минералообразующих растворов на концентрацию бериллиевых руд.— В кн.: Проблемы образования рудных столбов. Новосибирск, «Наука», 1972, с. 401—407.
- Маршукова Н. К. Об изменении состава бериллов на одоворудных месторождениях.— «Труды Минералог. музея АН СССР», 1969, вып. 19, с. 184—188.
- Мец О. Ф. Аксессорный берилл из гранитных пегматитов.— «Известия вузов. Геол. и разн.», 1974, № 4, с. 62—64.
- Некрасов М. Я. О новом типе бериллиевого оруденения.— «Геол. рудных месторожд.», 1960, № 2, с. 32—43.
- Петров Л. В. Вариации химического состава бериллов.— В кн.: Вопросы минералогии и геохимии месторождений Вост. Сибири. Иркутск, 1973, с. 64—69.
- Петрущенко Св., Ариаудов В., Костов Ив. Сравнительное изучение бериллов Болгарии.— «Изв. Геол. ин-та Болг. АН. Серия геохим. минералог. и петрogr.», 1971, 20, с. 45—68.
- Рылов Г. М. Кристаллохимическое исследование минералов со структурой типа берилла. Автореф. канд. дис. Новосибирск, 1970. 23 с.
- Соседко А. Ф. Материал по минералогии и геохимии гранитных пегматитов. М., Госгеолтехиздат, 1961. 154 с.
- Соседко Т. А., Франк-Каменецкий В. А. По поводу структурного типоморфизма щелочных бериллов.— «Минералог. сб. Львовск. Гос. ун-та им. И. Франко», 1972, № 26, вып. 2, с. 159—170.
- Фекличев В. Г. Берилл. М., «Наука», 1964. 162 с.
- Almeida Sampaio Filho H., de, Sighinolfi G. P., Galli E. Contribution to the crystal chemistry of beryl.— «Contribs. Mineral. and Petrol.», 1973, 38, № 4, p. 279—290
- Erämetsä Olavi, Nieminen Kalervo, Niinisto Lauri. Two transparent beryl varieties from the Kaatila pegmatite, Finland.— «Bull. Geol. Soc. Finland», 1973, 45, N 2, p. 125—130.
- Hall A., Walsh J. N. The beryls of the Rosses district, Donegal.— «Miner. Mag.», 1971, 38, N 295, p. 328—334.
- Hutton C. O., Seelye F. T. Contributions to the mineralogy of new Zealand.— P. 1.— «Trans. Roy. Soc., N Z.», 1945, v. 75, p. 160—168.
- Farn A. E. Blue beryls which are not aquamarines.— «J. Gemmol.», 1973, 13, N 8, p. 293—295.
- Jacob T. Drei Analysen von Beryll.— «Schweiz. mineral und petrogr. Mitt.», 1938, v. 18, N 2, S. 607—609.
- Kerr P. F. Kaolinite after beryl from Alto do Gis, Brazil.— «Amer. Mineral.», 1946, v. 31, p. 435—442.
- Kleeman A. W. The analysis of beryl from Booloomata. South Australia.— «Trans. Roy. Soc. South Australia», 1944, v. 68, p. 122—124.
- Machatschki F. Mineralogische Notizen.— «Zeit. Krist.», 1926, v. 63, p. 457—466.
- Quensell P. Minerals of the Varuträike pegmatites, VII. Beryl.— «Geol. Fören. Förh. Stockholm», 1937, v. 59, p. 269—272.
- Peretti L. Beryl of C. Mondei Montescheno (Val d' Ossola).— «Atti. Accad. Italia, Rend. classe Sci. fis. mat. nat., ser. 7», 1939, v. 7, N 1, p. 63—66.
- Roebling W., Tromman H. W. Maxixeberyll. II. Analyse and Beiträge zur Treunung Beryllium.— «Aluminium und den Alkalien. Centr. Min. Abt. A.», 1935. 134 p.
- Schaller W. T., Stewens R. E., Jahns R. H. An unusual beryl from Arizona.— «Amer. Min.», 1962, v. 47, N 5—6, p. 672—699.

- Schmetzer K., Berdesinski W., Bank H. Über die Mineralart Beryll, ihre Farben und Absorptionsspektren.— «Z. dtsch. gemm. Ges.», 1974, 23, N 1, p. 5—39.
- Schlossmacher K., Klang H. Der Maxixeberyll.— «Z. Zentr. Min. Abt.», 1935, A, 37.
- Simpson E. Minerals of Western Australia.— «Perth. West. Australia», 1948, v. 1.
- Tolman C., Goldich S. S. The granite, pegmatite, and replacement veins in the Sheahan quarry, Graniteville, Missouri.— «Amer. Mineral.», 1935, v. 20, N 229.
- Zambonini F., Cagliotti. Ricerche cimiche sulla rosterite di San Piero in Campo (I-sola d' Elba) e su altri in generale.— «Gazz. Chim. Ital.», 1928, N 58, p. 131—132.

Ф. В. СУХОРУКОВ, Б. Л. ЩЕРБОВ

БОР В ГИДРОТЕРМАЛЬНО ИЗМЕНЕННЫХ ПОРОДАХ НЕКОТОРЫХ РАЙОНОВ АКТИВНОГО ВУЛКАНИЗМА

Известно, что во многих районах современного вулканизма (Италия, США, Новая Зеландия) широко распространены проявления термальных вод, богатых бором (Горбов, 1960; Уайт и др., 1965; Ellis, Sewell, 1963). Не составляют исключения в этом отношении Камчатка и Курильские острова, где анализы вод термальных источников показывают повышенные содержания бора (Зеленов, 1958; Набоко, 1963; Сугробов, 1965; Мархинин, Сидоров, 1966; Леонова, 1969; и др.). Естественно, всегда возникает вопрос об источнике бора (как и других элементов) в этих водах. Одним из таких источников могут служить вулканогенные образования, с которыми активно взаимодействуют парогидротермы, превращая их в различного рода измененные породы. Изучение распределения бора в продуктах гидротермального преобразования пород и характера его поведения в процессе изменения вулканогенных образований позволяет судить о их роли в обогащении гидротерм бором. С этой целью нами проведено изучение распределения бора в неизмененных и измененных породах районов Оганичинского перевала (Срединный Камчатский хребет), Паратунского и Пауажетского месторождений термальных вод, вулкана Эбеко и р. Юрьевка (о. Парамушир).

В районе Оганичинского перевала известно несколько зон гидротермально измененных пород, ранее изученных Г. М. Власовым и М. М. Васильевским (1961, 1964). Здесь гидротермальному воздействию подверглись андезиты и андезито-базальты палеоген-миоценового возраста. Вне пределов зон гидротермального изменения эти породы представлены лавовыми образованиями с преимущественно пилотакситовой и микролитовой структурами основной массы и содержат значительное количество пустот, чаще всего заполненных кальцитом, арагонитом, хлоритом и иногда цеолитом и гидрослюдой. Порфировые выделения плагиоклаза, пироксена и роговой обманки нередко затронуты вторичными изменениями, свойственными начальным стадиям пропилитизации. Плагиоклаз по краям зерен слегка зачленен и незначительно карбонатизирован по трещинам и в центральных частях, пироксен и роговая обманка нередко карбонатизированы, слегка хлоритизированы и окаймлены опацитовым агрегатом. Эти породы мы условно относим к неизмененным.

Гидротермальные изменения пород в начальной стадии сводятся к образованию альбита, карбоната и серицита по плагиоклазам, хлорита и опацита по пироксенам и разложению стекла основной массы с развитием в ней карбоната и хлорита. Далее по порфировым выделениям образуются хлорит, гидрослюдя, альбит, каолинит, монтмориллонит и кварц. В основной массе под микроскопом лишь иногда можно различить частично сохранившиеся лейсты плагиоклаза. Роговая обманка полностью замещается гидрослюдой и монтмориллонитом и угадывается только по очертаниям, подчеркиваемым опацитовой каймой. Дальнейшие изменения

ведут к окварцеванию пород и образованию вторичных кварцитов, почти не содержащих карбонатов и хлорита. Основная масса исходных пород полностью превращается в глинисто-кварцевый агрегат. Под микроскопом порфировые выделения в этих породах обнаруживаются довольно легко, благодаря предпочтительному развитию по ним кварца с резко подчиненным количеством глинистого материала. В некоторых зонах района Оганчинского перевала гидротермальные изменения привели к образованию кварцитов с алунитом. В этих разностях порфироное строение исходных пород подчеркивается преимущественным образованием алунита по порфировым выделениям. Эти породы нередко интенсивно пропитываются гидроокислями железа, приобретая красновато-бурый цвет. Иногда встречаются агрегаты каолинит-монтмориллонитового состава, образовавшиеся на месте порфировых выделений. Нередки также скопления цеолитов на стенах пустот в кварцитах.

Таким образом, среди гидротермально измененных пород перевала Оганчи можно выделить следующие разновидности: 1) каолинит-монтмориллонит-хлорит-гидрослюдистые породы; 2) кварц-каолинитовые породы; 3) алунитовые кварциты. Эти типы пород, как правило, слагают отдельные зоны в телах измененных образований, между ними существуют всевозможные переходные разности. Все они довольно четко отличаются содержанием бора¹ (см. таблицу).

Среднее содержание бора в исходных и гидротермально измененных вулканогенных породах различных участков, г/т

Породы	Количество проб	Бор
<i>Оганчинский перевал</i>		
«Свежие» андезиты и андезито-базальты	14	6,4
Каолинит-монтмориллонит-хлорит-гидрослюдистые	12	16
Кварц-каолинитовые	4	12
Алунитовые кварциты	11	1,2
<i>Паратунка</i>		
Пропилитизированные андезито-базальты и их туфи	31	5,0
Аргиллизированные	6	3,6
Кварциты	2	1,0
<i>Река Юрьева</i>		
Неизмененные андезито-базальты	6	33
Гидрослюдисто-опаловые	5	15
Алунит-опаловые	6	13
Существенно алунитовые с кварцем	3	8
Кварциты с алунитом	4	4,5
<i>Паужетка</i>		
Пропилитизированные туфобрекции андезито-базальтов	5	6
» андезито-базальты и их туфи	8	6,5
Интенсивно измененные (цеолитизированные) андезито-базальты	11	2,5

Породы, претерпевшие гидротермальные изменения начальных стадий в сравнении с регионально измененными («свежими») характеризуются более высоким содержанием бора. Каолинит-монтмориллонит-гидрослюдистые и особенно кварц-каолинитовые породы отличаются весьма неравномерным распределением бора (от 4 до 34 г/т). Каолинит-монтмориллонитовый агрегат, образованный за счет порфировых выделений пород и проанализированный нами отдельно, содержит 28,5 г/т бора, тогда как порода

¹ Бор определялся количественным спектральным методом с чувствительностью 1 г/т.

в целом — лишь 16 г/т, т. е. почти в 1,8 раза меньше, причем наблюдается прямая зависимость между содержанием элемента в измененной породе в целом и в глинистом агрегате, образованном по порфировым выделениям. Алунитовые кварциты обладают самым низким содержанием бора (1,2 г/т) при исключительно равномерном его распределении.

Участок Средне-Паратунских термальных источников находится в поле активной деятельности современных гидротерм. Изменения на данном участке подверглись лавы андезито-базальтового состава и их туфы. Измененные породы имеют площадное распространение и окоштуриваются разведочными скважинами, вскрывающими несколько горизонтов термальных вод существенно кальциево-натрового — хлоридно-сульфатного состава с температурой на выходе около 85°C (Набоко, 1963). Гидротермальные преобразования пород проявлены неравномерно и наиболее интенсивно — на участках тектонических нарушений.

Сложность вторичной минерализации, а также крайне слабо выраженная зональность изменений на данном участке затрудняют четкое разделение гидротермально измененных пород на определенные типы. Все же можно выделить более или менее самостоятельные разновидности: 1) пропилитизированные андезито-базальты и их туфы; 2) аргиллизированные породы; 3) кварциты.

Пропилитизированные образования распространены наиболее широко. Основная масса в андезито-базальтах, как правило, сохраняет свой первоначальный структурный рисунок, несмотря на то, что в ней развиты хлорит, цеолиты и реже — кварц. Порфировые выделения плагиоклаза изменены слабо: они лишь незначительно альбитизированы, карбонатизированы по краям и очень редко серicitизированы. По порфировым выделениям пироксена интенсивно образуются карбонат, хлорит, гидрослюд, реже — пирит. В туфах преимущественно развиваются хлорит и эпидот. Содержание бора в пропилитизированных породах составляет 5 г/т.

Аргиллизированные породы от пропилитизированных отличаются значительным развитием глинистых минералов, в основном монтмориллонита. В основной массе породы, подвергающейся преобразованиям, утрачивается первоначальный структурный рисунок, она почти полностью превращается в монтмориллонит, гидрослюд и хлорит. По порфировым выделениям образуются хлорит, карбонат, эпидот, реже — гидрослюд. Пироксен нацело замещается хлоритом и монтмориллонитом. Среднее количество бора в этих породах составляет 3,7 г/т.

В одной из скважин на глубине около 357 м нами отобраны образцы кварцита, в котором под микроскопом кроме кварца обнаружены гидрослюд и эпидот. Гидрослюд образует заливы и отдельные гнезда в кварцевой массе, эпидот развивается отдельными зернами или скоплениями, преимущественно всего в пустотах выщелачивания порфировых выделений исходных пород. Кварциты содержат 1 г/т бора.

Таким образом, гидротермально измененные породы района Средне-Паратунских источников характеризуются низким содержанием бора, причем кварциты в сравнении с другими разновидностями обеднены им в 4—5 раз (см. таблицу).

Район вулкана Эбеко и р. Юрьева в настоящее время является полем активной фумарольно-солифатарной деятельности. Воды района характеризуются низким pH (1—3), присутствием свободных серной и соляной кислот и высокой общей минерализацией (Набоко, 1963). Наиболее распространены андезито-базальты, подвергшиеся гидротермальным преобразованиям; они отобраны нами в среднем кратере вулкана Эбеко и долине р. Юрьева. По характеру и степени изменения первичных пород можно выделить следующие разновидности: гидрослюдисто-опаловые, алунит-опаловые, существенно алунитовые с кварцем и гипсом, кварциты с алунитом.

Свежие андезито-базальты представляют собой плотные темно-серые породы с обильными порфировыми выделениями плагиоклаза и пироксена.

Основная масса сложена тонкими лейстами полевого шпата, редкими мелкими зернами пироксена, буроватым стеклом и обычно имеет пилотакситовую структуру. Плагиоклаз в порфировых выделениях изредка замутнен по зонам, слегка трещиноват; пироксен незначительно хлоритизирован по краям зерен. Стекло основной массы почти не затронуто изменениями. Среднее содержание бора в андезито-базальтах составляет 33 г/т.

Гидрослюдисто-опаловые породы характеризуются полным замещением основной массы опалом, гидрослюдой и другими глинистыми минералами. Порфировые выделения плагиоклаза иногда полностью превращены в глинистый агрегат; пироксен и редкие выделения биотита замещены глинистыми минералами, опалом и опацитовым агрегатом. Нередко наблюдается почти полное исчезновение текстурного рисунка исходных пород, и в таких случаях встречаются отдельные зерна самородной серы и пирита. В среднем эти породы содержат 15 г/т бора.

Алунит-опаловые породы сохраняют некоторые признаки исходных андезито-базальтов, хотя под микроскопом чаще всего наблюдается исчезновение границ порфировых выделений с основной массой. Эти породы пористы, в них широко развит пирит, иногда присутствуют самородная сера и ангидрит. Алунит развивается как по порфировым выделениям, так и тонкими прожилками в основной массе. Содержание бора в этих разностях в 2,5 раза ниже, чем в неизмененных андезито-базальтах (13 г/т).

Существенные алунитовые породы с кварцем представляют собой осветленные образования, в которых наряду с алунитом широко развиты опал и кварц, и в незначительных количествах присутствуют гидрослюд, самородная сера и ангидрит. Эти породы являются переходными от алунит-опаловых к кварцитам и содержат в среднем 8 г/т бора.

Кварциты данного района очень похожи на аналогичные образования Оганчинского участка, но в отличие от последних не сохраняют ни малейших признаков текстуры и структуры исходных пород. Кроме того, они часто несут обильную пиритовую минерализацию. Среднее содержание бора в кварцитах 4,5 г/т.

Участок Паужетских горячих источников расположен у северо-западного подножия Камбального хребта на юге Камчатки. Здесь известно несколько групп термальных источников и разведано месторождение горячих вод. Воды большинства Паужетских источников принадлежат к типу хлоридно-натровых с величиной pH от 5,4 до 8,2 и общей минерализацией 2,5–3,4 г/л (Сугробов, 1965).

Район Паужетского месторождения сложен вулканомиктовыми песчаниками, туфобрекциями и туфами дацитов, андезитов и андезито-базальтов. Гидротермальные изменения пород имеют площадной характер и сводятся в основном к цеолитизации, карбонатизации, хлоритизации, эпидотизации и аргиллитизации. Все перечисленные выше измененные породы грубо можно разделить на три группы: 1) пропилитизированные туфобрекции андезито-базальтов; 2) пропилитизированные андезито-базальты и их туфы; 3) интенсивно измененные цеолитизированные андезито-базальты и их туфы (см. таблицу). Несмотря на петрографическое разнообразие пород, все они характеризуются низким и довольно монотонным распределением бора (от 1 до 8 г/т). Исключение составляют туфопесчаники, где количество его иногда достигает 15–25 г/т.

На одной из термальных площадок вблизи гейзера Пятиминутка на дневной поверхности распространены валуны андезито-базальтового состава с интенсивной внешней зоной, имеющей мощность от 0,5 до нескольких сантиметров. Под микроскопом видно, что во внешней зоне по основной массе развивается тонкодисперсный слабо поляризующий глинистый агрегат. Порфировые выделения за исключением роговой обманки остаются неизмененными. Содержание бора в самой внешней, наиболее измененной зонке (мощность ее около 0,5 см) равно 1 г/т, в следующей, менее измененной (мощность около 2 см) — 2,6 г/т и в центральной

части глыбы, где порода изменена меньше всего, — 6,5 г/т. В другой глыбе литокристаллокластического туфа внешняя измененная зона содержит 8 г/т, а внутренняя — 14 г/т.

Из приведенного материала, а также литературных данных (Хардер, 1965) видно, что, несмотря на различия в петрографическом составе, а также в характере и степени изменения вулканогенных пород, в большинстве случаев происходит вынос бора из пород, подвергающихся гидротермальному воздействию, и наименьшие количества бора наблюдаются в наиболее измененных разностях. Выносится бор из пород и при изменении их параметрами в поверхностных условиях (Паужетский участок).

Характер распределения бора в измененных породах хорошо согласуется с расчетными данными А. Л. Павлова и О. Г. Кипэ (1971) по устойчивости некоторых его соединений в водных растворах. Согласно диаграмме устойчивости некоторых комплексов бора и кремния, бор наиболее подвижен в средах с $\text{pH} < 6,0$ и $> 8,5$, и мы вправе ожидать низкие содержания в продуктах изменения пород, образовавшихся при таких условиях. При pH растворов 6,0–8,5 предпочтительнее всего идет пропилитизация и близкие к ней процессы (Павлов, 1975), поэтому в двух рассмотренных нами случаях (пер. Оганица, р. Паратунка) наблюдается увеличение количества бора в продуктах начальной стадии изменения (пропилитизация) и уменьшение в более поздних, когда pH среды минералообразования падает.

Таким образом, не вызывает сомнения факт извлечения бора гидротермальными растворами областей активного вулканизма из боковых пород. Ярким примером могут служить измененные породы района р. Юрьевы. Какова доля бора, извлекаемого из пород, в термальных минерализованных водах, говорить пока трудно, поскольку нет возможности оценить многие параметры гидротермальных систем, в том числе объем их на глубине и источник вод в этих системах.

Рекой Юрьевы при дебите пытающих ее источников в $1,5 \text{ м}^3/\text{с}$, по данным Д. Г. Вороновой и С. С. Сидорова (1966), ежесуточно выносится 10–14 т метаборной кислоты. Грубый подсчет показывает, что количество бора, выносимое ежесуточно р. Юрьевы в море, должно полностью извлекаться из 30–35 тыс. м^3 пород, что не согласуется с расчетными данными Р. И. Ткаченко (1966), который показал, что присутствующие в водах реки HCl и H_2SO_4 обеспечивают разложение только 120 м^3 вулканогенных пород в сутки.

Можно допустить, что цифра, полученная Р. И. Ткаченко, запижена, так как достоверно неизвестны масштабы гидротермально измененных пород на глубине, но несомненно, что какая-то доля бора в гидротермах попадает в состав мобилизованных поровых растворов и поверхностных вод, за счет которых эти гидротермы формируются (Эллис, Уилсон, 1965; Аверьев, 1966; Мархинин, Сидоров, 1966)². Какое-то количество бора в гидротермах поступает и в составе кислых газов, отделяющихся от магматического очага. Доля собственно ювелирного (мантинного) бора в гидротермах, вероятно, невелика, так как известно, что все продукты вулканической и поствулканической деятельности в областях, где отсутствует гранитный слой коры, бедны бором (Хардер, 1965; Александров и др., 1968; Ellis, Sewell, 1963), что указывает на коровый его источник в продуктах вулканической деятельности.

В связи с вопросом об источнике бора в морских глинистых осадках можно отметить, что глинистые продукты разрушения гидротермально измененных пород областей активного вулканизма не привносили и не привносят сколько-нибудь заметного количества бора в своем составе в бассейны седimentации, несмотря на то, что наибольшая его доля в изме-

² Р. И. Ткаченко называет цифру 240 м^3 для рек Лагерной, Горшкова и Юрьева, из них примерно половина приходится на р. Юрьеву.

иенных породах связана с глинистыми минералами. Последнее замечание, вероятно, не может быть распространено на гидротермально измененные породы, образовавшиеся в других условиях и изученные в этом отношении крайне слабо.

ЛИТЕРАТУРА

- Аверьев В. В. Гидротермальный процесс в вулканических областях и его связь с магматической деятельностью.— В кн.: Современный вулканализм. М., «Наука», 1966, с. 118—188.
- Александров С. М., Барсуков В. Л., Щербина В. В. Геохимия эндогенного бора. М., «Наука», 1968. 180 с.
- Власов Г. М., Василевский М. М. Высокоглинистые фации вторичных кварцитов в Срединном Камчатском хребте.— «Геохимия», 1961, № 7, с. 630—633.
- Власов Г. М., Василевский М. М. Гидротермально измененные породы Центральной Камчатки, их рудоносность и закономерности пространственного размещения. М., «Недра», 1964. 220 с.
- Воронова Л. Г., Сидоров С. С. Химический состав современных гидротерм. Южно-Сахалинск, 1966. с. 148—161. (Труды СахКНИИ, вып. 16).
- Воронова Л. Г., Сидоров С. С., Суринина Л. В. Эволюция гидротермальной деятельности вулкана Эбеко в период с 1951 по 1963 г. Южно-Сахалинск, 1966, с. 162—168. (Труды СахКНИИ, вып. 16).
- Горбов А. Ф. Условия образования и закономерности размещения боратовых месторождений вулканогенно-осадочного типа.— «Труды ВНИИГалургии», Л., 1960, вып. 40, с. 3—69.
- Леонова Л. Л. К вопросу об источнике бора в термальных водах Горячего пляжа (с. Куриашир).— «Геохимия», 1969, № 10, с. 1278—1280.
- Зеленов К. К. О выносе растворенного железа в Охотское море гидротермами вулкана Эбеко (о. Парамушир).— «Докл. АН СССР», 1958, 120, № 5, с. 1089—1092.
- Мархинин Е. К., Сидоров С. С. Систематическое описание гидротермальных проявлений вулканов Эбеко и Владавца по состоянию на 1959—1960 гг.— «Труды СахКНИИ», Южно-Сахалинск, 1966, вып. 16, с. 135—147.
- Пабоко С. И. Гидротермальный метаморфизм пород в вулканических областях. М., Изд-во АН СССР, 1963. 172 с.
- Павлов А. Л., Кинз О. Г. Некоторые особенности эволюции гидротермальных систем в формировании оловорудных месторождений турмалинового типа касситерит-силикатно-сульфидной формации.— В кн.: Физические и физико-химические процессы в динамических рудообразующих системах. Новосибирск, «Наука», 1971, с. 113—132.
- Павлов А. Л. Эволюция физико-химических параметров гидротермальных систем при рудообразовании. Новосибирск, «Наука», 1976. 300 с.
- Сугробов В. М. Химический состав термальных вод, вскрываемых скважинами.— В кн.: Паужетские горячие воды на Камчатке. М., «Наука», 1965, с. 64—75.
- Ткаченко Р. И. Гидротермальное изменение пород и перемещение основных породообразующих компонентов водами вулканического происхождения.— В кн.: Современный вулканализм. М., «Наука», 1966, с. 168—173.
- Хардер Г. Геохимия бора. М., «Недра», 1965, 136 с.
- Уайт Д. Е., Андерсон Е. Т., Грубб Д. Е. О вероятии рудообразующем магматическом рассоле и метаморфизующих породах, вскрытых глубокой скважиной в Южной Калифорнии.— В кн.: Геохимия современных поствулканических процессов. М., «Мир», 1965, с. 167—172.
- Эллис А., Уилсон С. Геохимия ионов щелочных металлов в гидротермальной системе Вайракей.— В кн.: Геохимия современных поствулканических процессов. М., «Мир», 1965, с. 108—127.
- Ellis A. J., Sewell J. R. Boron in waters and rocks of New Zealand Hydrothermal areas.— «N. Z. J. Sci.», 1963, v. 6, N 4, p. 589—606.

Л. А. МИХАЛЕВА

РАЗНОВОЗРАСТНЫЕ ДАЙКИ ОСНОВНЫХ ПОРОД И РУТНОЕ ОРУДЕНЕНИЕ ЦЕНТРАЛЬНОЙ ТУВЫ

Дайки и силлы основных пород, широко развитые в Центральной Туве, давно привлекают внимание исследователей, поскольку с ними ассоциируют рутные месторождения и рудопроявления. При этом формирова-

ние даек и силлов предшествует оруденению, а рудные тела часто локализуются непосредственно в дайках.

Вопрос о возрасте рутного оруденения Тувы рассматривался многими исследователями и решался неоднозначно. Некоторые исследователи полагают, что рутное оруденение связано с нижне-среднедевонским вулканизмом, которым заканчивается каледонский тектономагматический цикл в данном регионе, и поэтому возраст оруденения следует считать девонским, точнее, докийветским (Павлов, 1971; Симкин, 1971 г.; Туркин, 1972 г.; Анастасиев, Гречишев, 1975 г.; и др.). В. А. Кузнецов и А. А. Оболенский (1969), В. А. Кузнецов (1974, 1975) связывают рутное оруденение Тувы с процессами мезозойской тектономагматической активизации — с проявлениями базальтоидной магмы.

Для выяснения нижнего возрастного предела рутного оруденения прежде всего необходимо установить петрологические особенности и геологический возраст магматических пород — основных дайковых и силловых — на которые накладывается рутная минерализация. Основные дайковые и силловые породы изучались нами как в рутно-рудных районах, так и за их пределами и главным образом в тех районах, где отчетливо устанавливаются возрастные взаимоотношения между разновозрастными интрузивными образованиями основного состава, а также интрузивными и эффузивными породами, относящимися к разнородным магматическим комплексам.

Как известно, А. П. Кривенко (1965) выделил среди интрузивных пород основного состава Центральной Тувы производные двух магматических комплексов: 1) баянкольского, включающего эффузивы нижнедевонского возраста, субвулканические тела, а также более молодые поствулканические интрузивы, изменяющиеся по составу от диабазов до кварцевых порфиров; 2) торгайского, представленного габбро-диабазами, оливино-выми габбро, габбро-перидотитами, граносиенитами, щелочными и биотитовыми гранитами. Возраст комплекса верхнедевонский — нижнекаменно-угольный.

Наряду с этим существует представление (Туркин, 1973 г.), согласно которому все эффузивные и интрузивные породы основного состава объединены в один комплекс, поскольку между дайковыми габбро-диабазами и покровными андезитами отмечаются постепенные переходы. А. Н. Павлов (1971) дайки и силлы основных пород Терлигхайского рутно-рудного района относил к производным баянкольского комплекса и считал, что они имеют последний нижнедевонский, но докийветский возраст. Он отмечал, что на дайках основного состава с размывом залегают как нижнекаменно-угольные, так и живетские отложения.

Полученные в результате наших исследований дополнительные данные по интрузивному магматизму Центральной Тувы позволили выделить разновозрастные дайки основного состава, принадлежащие к различным базальтоидным комплексам, проявившимся в данном регионе неоднократно. Прежде чем перейти к характеристике этих образований, необходимо остановиться на возрастных соотношениях их, а также на понятиях объема баянкольского и торгайского комплексов.

А. П. Кривенко, А. Н. Павлов (1963) относили эффузивы различного состава, а также силлы и дайки диабазов и диабазовых порфиритов к баянкольскому комплексу. Наши исследования, проведенные в Терлигхайском рутно-рудном районе совместно с Б. Н. Лапиным, изучавшим девонские эффузивы, показали, что в состав баянкольского комплекса были включены разновозрастные и разнородные образования, относящиеся, по нашему мнению, к различным магматическим комплексам. Производными более раннего нижнедевонского андезито-дацитового вулканогенного комплекса являются эффузивы андезито- и риолито-дацитового состава, а также субвулканические дайки дацитовых плагиопорфиров. Последние прорывают эффузивы и формируются в завершающие стадии развития вул-

Таблица 1

Химический состав диабазовых порфиритов, слагающих силил и даики Терлихтского рудного района

Номер пробы	SiO ₂	TiO ₂	Al ₂ O ₃	FeO	Fe ₂ O ₃	CaO	MgO	MnO	Na ₂ O	K ₂ O	P ₂ O ₅	H ₂ O—	П. п. п.	Сумма
993а	46,50	1,80	16,10	4,18	9,52	8,00	4,71	0,16	3,20	0,86	0,42	0,60	3,80	99,85
953а	47,80	1,94	17,15	4,34	6,93	5,58	6,63	0,28	3,90	0,30	0,60	4,50	100,25	
1063и	51,60	1,54	18,70	4,42	4,35	8,20	3,95	0,12	3,62	0,83	0,43	2,66	99,99	
1063р	45,00	2,33	17,20	7,89	5,00	8,00	5,00	0,30	2,94	0,43	0,27	5,50	99,50	
1066в	46,30	1,82	16,80	3,32	6,42	12,40	4,95	0,16	2,99	0,34	0,27	5,24	100,44	
1066г	45,00	1,70	15,63	5,68	3,40	11,80	5,90	0,24	2,68	0,27	0,27	7,85	100,45	
1/2	46,74	2,98	14,29	4,54	6,52	10,68	3,97	0,15	3,15	0,45	0,48	0,34	5,31	99,60
1063в	45,00	1,85	18,10	2,58	7,29	9,82	3,05	0,26	3,81	1,40	Не опр.	7,42	100,28	
1036г	49,00	1,26	14,55	7,45	3,53	11,45	4,47	0,19	2,62	0,29	0,29	5,52	100,33	
995в	50,00	2,08	13,75	6,98	6,07	5,09	3,49	0,16	4,40	0,48	1,30	0,40	5,90	99,44
995г	49,50	2,12	14,05	6,51	6,23	4,61	4,01	0,25	4,90	0,22	1,23	0,90	5,80	100,33
998	43,00	2,46	15,50	6,98	4,00	10,67	1,92	0,28	2,70	1,30	0,37	0,60	10,70	100,48
1063а	52,00	1,32	14,00	3,39	8,04	6,60	2,20	0,17	4,13	0,81	Не опр.	8,06	100,72	

Числовые характеристики (по А. И. Заварницкому)

Номер пробы	a	c	b	s	r'	m'	c'	n	t	φ	Q	a/c	$\frac{\text{FeO}}{\text{MgO}}$	% $\frac{\text{FeO} + \text{MgO}}{\text{FeO} + \text{MgO} + \text{MnO}} \times 100\%$
993а	9,1	7,0	25,2	58,7	52,2	34,2	13,6	84,6	2,9	34,5	-7	1,3	0,9	74,4
953а	9,6	7,2	23,4	59,7	46,7	51,2	22,9	95,5	2,9	26,8	-7	1,3	0,7	63,0
1063и	9,8	8,5	17,7	64,0	47,8	39,9	12,3	86,6	2,2	22,2	—	1,2	1,1	69,0
1063р	7,7	8,9	24,6	58,8	54,2	38,4	7,7	92,1	3,6	19,0	-7	0,8	1,6	72,0
1066в	7,5	8,4	25,9	58,2	35,3	34,5	30,2	94,1	2,9	21,5	-7	0,9	0,7	64,3
1066г	6,9	7,9	27,8	57,4	33,2	39,2	27,6	93,4	2,7	11,3	-7	0,9	0,9	80,8
1/2	8,2	6,2	25,8	59,8	41,5	27,8	30,3	91,0	4,4	15,9	-3	1,3	1,1	73,8
1063и	11,2	8,1	21,3	59,4	47,7	27,1	25,3	83,6	3,0	33,2	-11	1,4	0,9	76,8
1036г	6,5	7,0	26,5	60,0	40,9	29,9	29,2	93,3	1,9	11,9	—	0,9	1,6	70,9
995и	10,7	4,5	21,5	63,2	59,9	29,8	10,3	97,3	3,0	26,0	—	2,4	2,0	78,7
995г	11,8	4,1	21,7	62,3	57,9	33,5	8,6	97,6	3,0	26,4	-3	2,8	1,3	76,0
998	9,3	7,5	23,5	59,7	51,4	16,0	32,6	75,7	4,1	17,0	-4	1,2	3,6	85,2
1063а	11,1	4,6	19,3	65,0	57,5	21,0	21,5	88,0	4,8	38,3	+3	2,4	1,5	83,9

Приимечания. Химический анализ выполнен: 1) в химической лаборатории СО АН СССР весовым методом аналитиками Г. А. Абакумовой и П. А. Сердюковой (993а, 953и, 995и, 995г и 2) в спектральной лаборатории ГГИУ СО АН СССР спектрометрическим методом институтом аналитиком М. Н. Зернитовой (1063и, 1066и, 1036г, 995и). Диабазовый порфирит, кровли силила, илл. Западом; 1963и — диабазовый порфирит, промежуточная зона силила, I участок; 1066и — диабазовый порфирит, подсплошная силила, II участок; 1/2 — оливин-пироксеновая зона силила, II участок; 1036г — диабазовый порфирит, альбовая силила, III участок; 995и — диабазовый порфирит, дайка, центральная часть силила, IV участок; 995г — то же, там же; 995и — диабазовый порфирит, дайка, переносные зоны, IV участок; 1063а — диабазовый порфирит, дайка, переносные зоны, IV участок; 1036г — диабазовый порфирит, дайка, переносные зоны, IV участок.

канической деятельности. От эфузивов дайковые плагиопорфиры отличаются формой тел с рвущими контактами, более крупным размером вкраепленников плагиоклаза, высоким содержанием вторичных минералов. Вместе с тем тождество петрографического состава петрохимических особенностей дайковых пород и эфузивов, а также близкий возраст позволяют считать, что эти образования генетически связаны между собой и принадлежат единому магматическому (баянкольскому) комплексу.

К более позднему среднедевонскому базальтоидному комплексу относятся основные по составу породы — оливин-пироксеновые и пироксеновые базальтовые и диабазовые порфиры, образующие покровы, силлы и дайки. Между излиянием эфузивов, с одной стороны, и формированием силлов и даек с другой, отмечается значительный разрыв во времени. К моменту образования силлов и даек диабазовых порфиритов эфузивно-осадочная толща была уже дислоцирована и нарушена разломами, которые контролировали размещение интрузивных тел. На это ранее указывал А. Н. Павлов (1967). Возраст субвуликанических диабазовых порфиритов, слагающих силлы, хорошо устанавливается в бассейне р. Сев. Торгальник (Кривенко, 1965), где они интрудируют песчано-сланцевые отложения среднего девона (D_2), а сами, в свою очередь, прорываются штокообразным телом гипабиссальных пироксеновых габбро-диабазов торгальского комплекса верхнедевонского — нижнекаменноугольного возраста. В верховье р. Тебек дайки диабазовых порфиритов пересекают эфузивные риолиты среднего девона (D_2).

Очень интересные взаимоотношения даек основных пород и отложений нижнекарбонового возраста установлены А. Н. Павловым в 17 км на юго-восток от Терлигхайского месторождения, в верховье р. Карасуг. Там, на правом берегу долины, многочисленные дайки основных пород северо-западного направления (320°) мощностью 5—6 м пересекают фаунистически охарактеризованные осадочные породы силура, которые перекрываются отложениями карбона. Дайки, не достигая 1,5—2 м до границы между отложениями силура и карбона, тупо выклиниваются и далее в породах карбона не прослеживаются. На границе с карбоновыми отложениями дайковые породы подвергнуты интенсивному выветриванию (и в связи с этим — дезинтеграции), а по мере удаления от границы с карбоном в глубь силура интенсивность выветривания падает.

Следовательно, возраст даек диабазовых порфиритов может быть до-карбоновым. К сожалению, в гальке нижнекарбоновых базальных конгломератов диабазовые порфиры не были обнаружены. В этом случае окончательное решение вопроса о возрасте дайковых пород связано с обнаружением их в гальке базальных конгломератов карбона.

По петрографическому составу, петрохимическим особенностям дайковые породы, по нашему мнению, близки к среднедевонским пироксеновым диабазовым порфирам, слагающим силлы, и отличаются от последних гипабиссальным обликом, большей степенью раскристаллизации основной массы.

Вкраепленники представлены хлоритизированным пироксеном и альбитизированным плагиоклазом, погруженными в хлорит-магнетит-плагиоклазовую основную массу ойтотового строения. По химическому составу эти породы отличаются от диабазовых порфиритов силлов несколько повышенным содержанием кремния и суммы щелочей, что связано с альбитизацией плагиоклаза (табл. 1, анализы 999в, 995г) и присутствием вторичного кварца. Эти дайки, на наш взгляд, следует рассматривать в качестве подводящих каналов силлов диабазовых порфиритов среднедевонского возраста.

Наряду со среднедевонскими дайками основных пород, как будет показано ниже, в Центральной Туве, в частности в Терлигхайском ртутно-рудном районе, развиты и более молодые по возрасту дайки базитов. Поэ-

тому описанные выше взаимоотношения среднедевонских дайковых основных пород и нижнекаменноугольных отложений нельзя распространять на все разновозрастные типы даек основных пород.

В состав торгальского комплекса были включены габбро, габбро-граниты, оливиновые габбро, габбро-перидотиты, биотитовые и щелочные риолиты, и оливиновыми габбро и габбро-перидотитами, с одной стороны, постепенные переходы. Гранитоиды рассматривались в качестве производных второй фазы торгальского комплекса.

Наши исследованиями в бассейне р. Сев. Торгальник установлено, что между пироксеновыми габбро-диабазами и биотит-пироксен-оливиновыми долеритами (оливиновыми габбро, по А. П. Кривенко) постепенных переходов не существует. Долериты — самые молодые интрузивные образования Центральной Тувы — довольно широко распространены. Они развиты, по данным А. П. Кривенко, также в бассейне рек Кадыр-Оргул, Куве-Даба, Оруктуг-Тытыг-Хем. Долериты р. Сев. Торгальник слагают вертикально падающие дайки меридионального и субмеридионального простирания, совершившие отчетливо секущие вмещающие их габбро-диабазы. Последние в контакте с дайками долеритов грубо рассланцованны. Кроме того, габбро-диабазы испытывают воздействие гранитоидов, которое сводится к перекристаллизации плагиоклаза, амфиболизации, биотитизации пироксена, а также развитию калишпата и кварца. Сами долериты — «свежие», кайнотипного облика породы, не подверженные каким-либо метаморфическим изменениям. Необходимо отметить, что отнесение гранитоидов к торгальскому комплексу является проблематичным. Гранитоиды, на наш взгляд, относятся к производным более позднего по времени формирования гранитоидного комплекса, как считала ранее Т. Н. Иванова (1959). Этот сложный вопрос требует специального рассмотрения.

Возраст даек долеритов определяется, таким образом, тем, что они интрудируют не только верхнедевонские — нижнекарбоновые (?) габбро-диабазы, но и более молодые по возрасту гранитоиды. Два определения абсолютного возраста долеритов, проведенные по валовому составу пород в Лаборатории геохронологии ИГиГ СО АН СССР, показывают цифры 190 ± 2 млн. лет (табл. 2). Следовательно, есть основания полагать, что дайки долеритов — проявления позднепалеозойского или даже более молодого мезозойского базальтоидного магматизма.

Учитывая сказанное, целесообразно сохранить наименование «торгальский комплекс», выделенный ранее А. П. Кривенко (1965), включив в него широко распространенные гипабиссальные средне- и крупнозернистые пироксеновые габбро-диабазы, слагающие штоки, лакколиты, а также мелкозернистые габбро-диабазы, образующие многочисленные дайки. Указания А. Н. Кена и И. С. Туркина на наличие постепенных переходов между покровными эфузивами и дайковыми габбро-диабазами не подтвердились нашими исследованиями. В бассейне р. Сев. Торгальник дайки габбро-диабазов, аналогичные по структурно-текстурным особенностям и составу вмещающим их средне-крупнозернистым габбро-диабазам и близкие им по возрасту, отчетливо пересекают силлы субвуликанических диабазовых порфиритов и являются, несомненно, более поздними магматическими образованиями. Возраст габбро-диабазов торгальского комплекса мы, следуя за А. П. Кривенко (1965), считаем верхнедевонским — нижнекарбоновым (?). В районе с. Хандыгайты и бассейна р. Сев. Торгальник габбро-диабазы торгальского комплекса интрудируют отложения среднего — верхнего девона, а на юго-западе Тувы на стыке с Горным Алтаем многочисленные дайки габбро-диабазов, аналогичные дайкам габбро-диабазов торгальского комплекса, интрудируют флористически охарактеризованные верхнедевонские — нижнекаменноугольные осадочные отложения и метаморфизованные в контакте с позднепалеозойскими гранитами Юстыд-

Таблица 2
Результаты определения абсолютного возраста основных пород

Номер пробы	Место взятия пробы	Порода	<i>K, %</i>	Возраст, млн. лет
<i>Терлигхайское месторождение</i>				
998	Эндоконтактовая зона силла, VI участок	Оливин-пироксеновый диабазовый порфирит	$0,25 \pm 0,01$	273 ± 23
998в	Центральная часть того же силла	Гидротермально измененный крупнолейстовый диабазовый порфирит	0,73	320 ± 1
992ж	Дайка, II участок	Гидротермально измененный габбро-диабаз	0,30	334 ± 28
958	Дайка, IV участок	Гидротермально измененный габбро-диабаз	0,20	375 ± 10
<i>Бассейн р. Сев. Торгалик</i>				
980в	Силл	Контактово-измененный диабазовый порфирит	$1,85 \pm 0,01$	280 ± 12
982д	Шток	Крупнозернистый габбро-диабаз	$0,32 \pm 0,02$	260 ± 3
988л	"	Контактово-измененный габбро-диабаз	0,53	368 ± 2
990г	Дайка	Мелкозернистый габбро-диабаз	$1,13 \pm 0,02$	316 ± 13
988м	"	Оlivиновый долерит	$1,22 \pm 0,0$ (два определения)	190 ± 2

ского комплекса (Михалева, Скуридин, 1971). Геологическим данным о возрасте даек габбро-диабазов не противоречат результаты определения их абсолютного возраста калий-argonовым методом. Определение выполнено по валовому составу пород в лаборатории геохронологии ИГиГ АН СССР. Цифры абсолютного возраста габбро-диабазов варьируют

ным образом в пределах 260—316 млн. лет (см. табл. 2).

Следует отметить, что абсолютный возраст дайковых габбро-диабазов (все гидротермальное изменение (хлоритизация, карбонатизация, интенсивное), 334—375 млн. лет. Эта цифра несколько завышена, поскольку в альбиносе габбро-диабазов 316 млн. лет. Следует отметить, что абсолютный возраст дайковых габбро-диабазов 316 млн. лет, совершенство отчетливо пересекают вмещающие их крупные магматические образования — силловых диабазовых порфиритов 280 ± 12 млн. лет.

К постторгальским мы относим также маломощные субвуликанические дайки черных афантитовых микродолеритов. Эти дайки установлены нами в районе Карабедыкского рудопроявления, в нижнем течении р. Баян-Кол, севернее одноименного поселка. Здесь на левом берегу долины в интервале 500 м встречено шесть крутонаращающих даек северо-западного направления мощностью 0,5—1,0 м. Дайки микродолеритов пересекают габбро-диабазы, отнесенные А. П. Кривенко (1965) (на наш взгляд, совершенством спроведено) к производным торгальского комплекса. Габбро-диабазы слагают мощное дайкообразное тело, прорывающее осадочные породы байкальской свиты нижнего кембрия, а сами пересечены многочисленными дайками граносиенитов и сиенитов, в контакте с которыми они испытали метаморфизм (перекристаллизация, биотитизация, амфиболизация и др.). В отличие от габбро-диабазов более поздние дайковые микродоле-

риты не испытали контактового метаморфизма и почти лишены продуктов вторичных изменений. Дайки микродолеритов контролируются разрывными нарушениями северо-западного направления, которыми пересекаются как габбро-диабазы, так и гранитоиды. Эти разрывные нарушения, будучи наиболее молодыми структурами, оперяют разлом, ограничивающий владину, выполненную нижнекаменноугольными отложениями.

Таким образом, установленные возрастные взаимоотношения даек основных пород друг с другом и породами разнородных магматических комплексов, а также особенности их состава позволяют выделить по крайней мере три возрастные группы:

1) субвуликанические дайки и силлы оливин-пироксеновых и пироксеновых диабазовых порфиритов среднедевонского возраста.

2) гипабиссальные дайки пироксеновых габбро-диабазов, производные торгальского комплекса верхнедевонского — нижнекаменноугольного (?) возраста.

3) гипабиссальные дайки биотит-пироксен-оливиновых долеритов и субвуликанические дайки безоливиновых микродолеритов позднепалеозойского или мезозойского (?) возраста.

СИЛЛЫ И ДАЙКИ ОЛИВИН-ПИРОКСЕНОВЫХ И ПИРОКСЕНОВЫХ ДИАБАЗОВЫХ ПОРФИРИТОВ

Силлы изучены нами в Терлигхайском ртутно-рудном районе и в бассейне р. Сев. Торгалик, где они контролируются разрывными нарушениями северо-восточного и северо-западного направлений. Силлы являются согласными пластообразными довольно круто падающими ($50-60^\circ$) телами, залегающими параллельно направлению слоистости осадочных пород нижне- и среднедевонского возраста. Отмечаются секущие интрузивные взаимоотношения апофиз основных силловых тел с вмещающими породами. Мощность силлов варьирует от 15 до 50 м. Силлы сложены оливин-пироксеновыми и пироксеновыми диабазовыми порфиритами, в которых (в подошве и кровле) встречаются ксенолиты девонских алевролитов и песчаников размером 5×3 см и менее. Породы ксенолитов интенсивно карбонатизированы, а границы между ними и вмещающими диабазовыми порфиритами четкие.

Силлы характеризуются анизотропным полосчатым строением, обусловленным различной степенью раскристаллизации пород, слагающих эндоконтактовые и центральные зоны. Границы между полосами могут быть резкими; чаще афантитовые зальбандовые породы постепенно переходят в кристаллические разности промежуточных и центральных зон. Силлы обычно имеют следующее строение от кровли к подошве:

Зона I — кровля мощностью 1,0—1,5 м сложена плагиоклазовыми диабазовыми порфиритами темно-серого цвета с вишневым оттенком. Они содержат порфировые вкраепленники плагиоклаза и многочисленные округлые мицдалины размером 15×25 см и менее. Для пород этой зоны типичны текстуры течения (фото 1), которые обусловлены параллельной ориентировкой игольчатых и призматических лейст плагиоклаза и однозначной ориентировкой ксенолитов вмещающих пород, располагающихся параллельно контакту. Реже отмечается трахитоидная текстура, характеризующаяся плоскопараллельным расположением таблитчатых зерен плагиоклаза, уплощенных по второму пинакоиду. Там, где поверхность контакта выпуклая, породы интенсивно обогащены мицдалинами, составляющими 20—30% от всего объема породы.

Зона II — промежуточная (мощность 4,0—5,0 м), сложена темно-серыми, почти черными диабазовыми порфиритами с вкраепленниками плагиоклаза и мицдалинами. Количество тех и других в породах уменьшается, а структура основной массы становится ойтовой.

Таблица 3

Состав клинопироксена в оливин-пироксеновых диабазовых порфиритах (по оптическим данным)

Шлиф	Nр	2v, град	Состав
953ж	1,702	54	$En_{32}Wo_{44}Fs_{24}$
993	1,690	52	$En_{42}Wo_{43}Fs_{15}$
993п	1,689	50	$En_{43}Wo_{41}Fs_{16}$
993а	1,700	60	$En_{30}Wo_{49}Fs_{21}$
998	1,692	50	$En_{41}Wo_{41}Fs_{18}$

П р и м е ч а н и е. 993ж — кровля силла II участка Терлигхайского месторождения; 993а — промежуточная зона силла, там же; 998 — эндоконтакт (со стороны лежачего бока) дайкообразного тела VI участка Терлигхайского месторождения.

зоимальное строение породообразующих минералов вследствие неравновесных условий кристаллизации пород, а также широкое развитие продуктов автометаморфических и гидротермальных изменений.

Плагиоклаз — главный породообразующий минерал, представленный таблицами и гломеропорфировыми скоплениями во вкраепленниках и удлинено-призматическими кристаллами — в основной массе. Зернам его свойственны зональное строение и полисинтетическая структура двойникования. Состав минерала по разрезу силла изменяется от андезина (в кровле) до андезин-лабрадора (в подошве). Содержание аортита в зональных зернах уменьшается от центра (андезин-лабрадор № 50—60) к периферии (андезин № 30—40).

Оlivин присутствует в породах в переменных количествах. Повышенное содержание его отмечается обычно в подошве силла, но не превышает 10%. Характерными морфологическими разновидностями его являются гломеропорфировые обособления идиоморфных кристаллов размерами в несколько миллиметров; идиоморфные кристаллы с оплавленными контурами — во вкраепленниках и скоплениях мелких (от 0,1 мм до 0,01 мм) изометричных зерен — в составе основной массы. Отмечается почти повсеместный идиоморфизм оливина как по отношению к плагиоклазу, так и к пироксену. Минерал всегда замещен вторичными продуктами: боуллингитом, иддингитом, тонко рассеянным магнетитом, карбонатом, хлоритом и кремнистым веществом. Наблюдаются случаи зонального замещения: внутренняя часть зерен замещается оранжево-красно-бурым минералом боуллингит-иддингитового ряда или карбонатом и кремнистым веществом, а наружная — черным магнетитом. Последний иногда полностью замещает зерна оливина.

Пироксен, параду с плагиоклазом, — один из главных минералов породы. Он образует неправильной формы зерна бурого цвета, выполняющие интерстиции зерен плагиоклаза, а чаще всего встречаются в виде ойлокристаллов. По сравнению с оливином этот минерал устойчив к замещению и не образует с ним реакционных взаимоотношений, что указывает на их независимую друг от друга кристаллизацию; по составу относится к авгиту и салит-авгиту (табл. 3).

По направлению к верхним горизонтам силлов в составе клинопироксена увеличивается содержание ферросилиловой молекулы (от 15 до 24%). Минералу свойственно зональное строение; зональность прямая; с накоплением ферросилилита в краевых частях зерен отмечается обогащение клинопироксена железом по отношению к магнию в более поздние стадии кристаллизации:

	Nр	2v°	
Центральная часть зерна	1,700	60	$En_{30}Wo_{49}Fs_{21}$
Периферическая	1,704	60	$En_{27}Wo_{48}Fs_{23}$

Рудный минерал представлен магнетитом и титано-магнетитом, часто лейкоксенитизированным. Он образует разновеликие ксеноморфные зерна, рассеянные по породе или встречающиеся в виде скоплений. В качестве акцессорных минералов присутствуют апатит, единичные зерна рутила и

Зона III (мощность 3,5—5,0 м) — далее в глубь силла породы про- между зонами переходят в диабазовые порфириты с поликристаллическими микрофитовой и микропойкилофитовой, реже — гранулито-офитовой структурами основной массы. В породах отмечаются редкие вкраепленники плагиоклаза. В составе основной массы параду с пироксеном появляется оливин.

Зона IV — подошва силла (мощностью 1,5 м) с зоной III связана постепенным, но быстрым переходом. Она представлена оливин-пироксеновыми диабазовыми порфиритами с вкраепленниками плагиоклаза и оливина. Основной массе свойственно гранулито-офитовое строение. Породы подошвы силла, как и кровли, содержат ксенолиты сланцев и песчаников.

В силлах, таким образом, по слою чередуются породы различной структуры и минерального состава, обусловливающие первично-полосчатую текстуру течений; отмечается несимметричное строение: более меланократовые, богатые оливином диабазовые порфириты приурочены к подошве силла, а более лейкократовые, обогащенные плагиоклазом, — к кровле. Центральная часть силла сложена поликристаллическими оливинсодержащими диабазовыми порфиритами, обогащенными клинопироксеноем. Сказание свидетельствует о том, что в формировании силлов имела место гравитационная дифференциация.

Дайки — апофизы силлов встречаются как в подошве, так и в кровле (Терлигхайское месторождение). Мощность их достигает 2—3 м. По составу и структурно-текстурным особенностям породы, слагающие их, являются полными аналогами диабазовых порфиритов, слагающих центральные части силлов. Дайки, служащие, очевидно, подводящими каналами силлов, развиты в породах кембрия, силура и нижнего девона. Они отмечаются в бассейне рек Карасуг, Тебек, Баян-Кол и другие, имеют обычно северо-западное (320—340°) направление и прослеживаются по простиранию на 1—3 км. Мощность их 2—5 м.

Дайки характеризуются зональным строением. Эндоконтактовые зоны сложены диабазовыми порфиритами с флюидальной текстурой, обусловленной ориентированным расположением вкраепленников плагиоклаза, параллельным контакту. Центральные части сложены хорошо раскристаллизованными диабазовыми порфиритами с вкраепленниками плагиоклаза и реже — пироксена, замещенного хлоритом. Основная масса имеет офиотовое строение и состоит из лейст плагиоклаза, интерстиции которых выполнены хлоритом, карбонатом и магнетитом.

Текстура пород неоднородна: мицдалекаменая. Полосчатость обусловлена наличием зон (ширина 0,8 м — 1,0 м), обогащенных плагиоклазом и чередующихся с зонами (ширина 0,20 м — 0,25 м), где вкраепленники плагиоклаза редки. Отмечается также чередование полос, обогащенных мицдальниками и почти лишенных их. Дайковые породы иногда грубо рассланцованны и милонитизированы.

Оливин-пироксеновые диабазовые порфириты представляют собой плотные тонкозернистые порфировые породы темно-зеленовато-серого цвета, характеризующиеся большим разнообразием структурно-текстурных особенностей. Текстура пород обычно такситовая, обусловленная различной степенью раскристаллизации пород, а также перемежаемостью меланократовых и лейкократовых участков, сложенных плагиоклазом и пироксеном или оливином и хлоритом. Порфировая структура пород обусловлена наличием вкраепленников плагиоклаза, иногда оливина и пироксена (фото 2). По взаимоотношениям плагиоклаза, оливина и пироксена, слагающих основную массу оливин-пироксеновых диабазовых порфиритов, установлены микрофитовые, микропойкилофитовые и гранулито-офитовые структуры, которые почти всегда сочетаются в пределах одного шлифа (фото 3).

Для пород характерен постоянный минеральный парагенезис: плагиоклаз, клинопироксен, оливин, магнетит, титаномагнетит. Отмечается

циркона. Апатит отмечается в виде бесцветных длинных тонких призм, образующих агрегаты причудливой формы и пронизывающих плагиоклаз.

Крупнолейстовые оливин-пироксеновые диабазовые порфириты — плотные темно-зеленовато-серые крупнопорфировидные породы с тонкозернистой цементирующей массой. В контакте с вмещающими породами они переходят в миндалекаменные диабазовые порфириты. Крупнолейстовая порфировая структура пород обусловлена наличием обильных крупных (до 1—2 см по длиной оси) вкраплеников плагиоклаза и более редких — оливина, погруженных в хорошо раскристаллизованную гранулитоофитовую, пойкилоофитовую или офитовую основную массу. Главные пордообразующие минералы ее — плагиоклаз, оливин, пироксен, магнетит, титаномагнетит. Из акцессорных минералов наиболее часто встречаются апатит, редко — циркон.

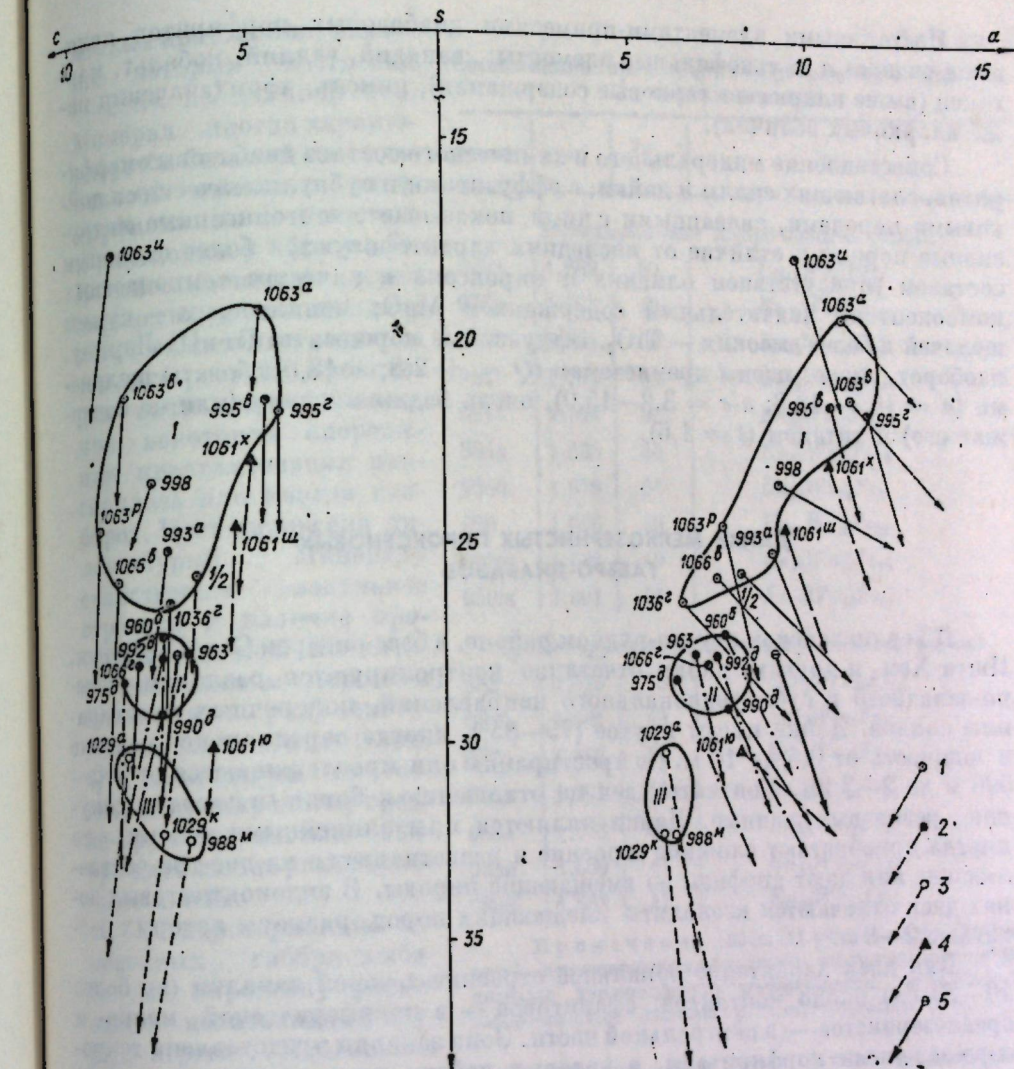
Плагиоклаз во вкраплениках образует крупные идиоморфные и гипидиоморфные призмы и таблицы, составляющие около 30% от всего объема породы. Минерал зональный: в центре — 65% An, в краевых частях зерен — 55% An. Необходимо отметить, что плагиоклаз, слагающий вкрапленики диабазовых порфиритов эндоконтактовых зон интрузивных тел, всегда «свежий», лишенный продуктов замещения (фото 4) по сравнению с вкраплениками плагиоклаза пород из центральной части, сильно измененными и замещенными агрегатом из каолинита и карбоната. Размеры вкраплеников последних во много раз превышают размеры вкраплеников плагиоклаза диабазовых порфиритов эндоконтактовых фаций.

Оlivин во вкраплениках присутствует в незначительном количестве (не более 5—7% от всего объема породы) в виде разновеликих (от 1,5 до 5 мм) изометрических зерен, ребра и вершины которых в той или иной степени растворены, в связи с чем отмечаются округлые зерна. Иногда оливин образует пойкилитовые включения в плагиоклазе и всегда характеризуется отчетливым идиоморфизмом по отношению к нему (фото 5). Реже идиоморфные кристаллы оливина встречаются в виде гломеропорфировых обособлений. Минерал всегда замещен вторичными продуктами, в диабазовых порфиритах эндоконтактовой зоны — агрегатом карбоната и хлорита, а иногда по трещинам и краям зерен развивается гидрослюдя с отчетливым плеохроизмом от слабо желтовато-зеленого до сине-зеленого цвета. В диабазах центральной части тел оливин чаще замещен агрегатом карбоната и кварца. Для него типично наличие черной магнетитовой каймы и замещение его красно-бурым боулингитом и иддингситом.

Основная масса сложена плагиоклазом, клинопироксеном, оливином, титаномагнетитом, апатитом и цирконом. Плагиоклаз № 55—60 (лабрадор) относится ко второй генерации. Оливин отмечается обычно в виде скоплений мелких изометрических зерен размером до 0,1 мм, что обуславливает гранулитоофитовый характер структуры. Пироксен в отличие от оливина входит только в состав основной массы в виде ксеноморфных зерен буроватого цвета, выполняющих интерстиции зерен плагиоклаза. Размеры зерен его варьируют от 0,1 до 0,3 мм. По оптическим данным ($2v = 50^\circ$, $N_p = 1,692$), минерал отвечает авгиту состава $En_{41}Wo_{41}Fs_{18}$.

Таким образом, общие характерные структурно-текстурные и минеральные особенности пород этой группы следующие: 1) порфировый характер структуры и миндалекаменное сложение; 2) темноцветные компоненты представлены железистым оливином и клинопироксеном (салитом и салитавгитом).

По химическому составу диабазовые порфириты относятся к нормальному ряду, чаще всего к лейко-меланократовым ($20 < v < 25$) образованиям, насыщенным или слабо насыщенным кремниесилотой и бедным щелочами с натровой специализацией. На петрохимической диаграмме (см. рисунок) начальные точки векторов, отображающие состав этих пород, довольно разнообразны: они отличаются переменным содержанием фемических компонентов, кремниесилотой и суммы щелочей, варьируя по составу от квар-



Векторная диаграмма химического состава основных пород, слагающих силлы и дайки р. Сев. Торгалик и Терлигайского ртуть-рудного района (по А. Н. Заварийскому).

Номера векторов соответствуют номерам анализов в таблицах 4, 6 и 7.
1 — среднедевонские диабазовые порфириты; 2 — верхнедевонские — нижнемезозойские (1) габбро-диабазы торгалийского комплекса; 3—4 — позднедевонские — нижнемезозойские оливиновые долериты (3) и безоливиновые микродолериты (4); 5 — среднее из 12 химических анализов габбро-диабазов торгалийского комплекса (по данным А. П. Кривенко и А. Н. Павлова, 1963).

цевого базальта до диабаза. Особенностью пород является преобладание фемических компонентов над салическими ($1,6 > \frac{b}{a+c} > 1$) и довольно высокое отношение железа к магнию. Некоторые разновидности диабазовых порфиритов, обогащенные оливином и пироксеном и слагающие подушку силлов, характеризуются повышенным содержанием фемических компонентов и более низкой суммой щелочей. Они относятся к классу пород, слабо недосыщенных кремнеземом, к группе бедных щелочами и к подгруппе меланократовых. Диабазовые порфириты, слагающие кровлю силлов, обычно лейкократовые, насыщены кремнеземом и бедны щелочами. Такое различие в составе пород обусловлено процессами внутрикарьерной дифференциации.

В целом диабазовые порфириты имеют андезито-базальтовый лейко-меланократовый состав при натровом балансе щелочей и значительном распространении разностей, слабо насыщенных кремнеземом.

Постоянными элементами-примесями диабазовых порфиритов являются сидеро- и халькофильные элементы: ванадий, галлий, кобальт, марганец (выше кларка и кларковые содержания), никель, хром (значения ниже кларковых величин).

Сопоставление минерального и химического состава диабазовых порфиритов, слагающих силлы и дайки, с эфузивами и субвулканическими дайковыми породами, связанными с ними, показывает, что описанные интрузивные породы в отличие от последних характеризуются более основным составом (присутствием оливина и пироксена в качестве темноцветных компонентов), значительным содержанием MgO , пониженным — суммы щелочей и более высоким — TiO_2 . Эфузивные породы, по Б. Н. Лапину, наоборот, пересыщены кремнеземом ($Q = +2,8; +18,6$), богаты щелочами ($a = 16,5-18,3$; $a/c = 3,2-15,0$), очень бедны магнием (или не содержат его) и титаном ($t = 1,6$).

ДАЙКИ МЕЛКОЗЕРНИСТЫХ ПИРОКСЕНОВЫХ ГАББРО-ДИАБАЗОВ

В Терлигхайском ртутьно-рудном районе, в бассейне рек Сев. Торгалык, Илги-Хем и других, дайки отчетливо контролируются разломами северо-западного и субмеридионального направлений, поперечных простирации силлов. Дайки имеют крутое ($75-85^\circ$), иногда вертикальное падение и мощность от 0,5 до 10 м. По простирации они прослеживаются от 300—500 м до 2—3 км. Контакты даек по отношению к боковым породам секущие, резко выраженные. Дайки являются прямолинейными телами, но иногда приобретают сложное строение и разветвляются на две-три составляющие или дают апофизы во вмещающие породы. В эндоконтактовых зонах даек отмечаются ксенолиты вмещающих пород, размеры которых достигают 2—3 м.

Для даек характерно зональное строение с зоной закалки (не более 10—20 см) около контактов: афанитовое — в периферической, мелко- и среднезернистое — в центральной части. Зона закалки представлена темно-серо-зелеными порфиритами, в которых листы плагиоклаза погружены в микроофитовую основную массу. Вкрапленники плагиоклаза ориентируются согласно поверхности контакта, обусловливая флюидальный характер текстуры пород. Центральные части даек сложены полнокристаллическими призматически-зернистыми или пойкилоофитовыми пироксеновыми (без оливиновыми) габбро-диабазами, главные пордообразующие минералы которых — плагиоклаз и клинопироксен. Изменчивость минерального состава дайковых пород от эндоконтакта к центру вызвана дифференциацией расплава в процессе его кристаллизации. При этом накопление ранних продуктов кристаллизации — плагиоклаза — в породах эндоконтактовых фаций лучше всего объясняется дифференциацией в потоке, содержащем жидкую и твердую фазы.

Пироксеновые габбро-диабазы — темно-зеленовато-серые, с голубоватым оттенком, кристаллически-зернистые породы. Микроструктура неоднородная: призматически-зернистая или пойкилоофитовая, ойтовая. Главные минералы — плагиоклаз и клинопироксен — сопровождаются довольно обильным титаномагнетитом. Из акцессорных встречается апатит. Вторичные минералы: карбонат, хлорит, соссюрит, цеолит.

Плагиоклаз (55—60% An) присутствует в виде беспорядочно расположенных удлиненных призм, варьирующих по размерам. Зональный. По периферии зерен часто развивается розовато-красный цеолит, который может образовывать самостоятельные псевдоквадратные зерна, располагающиеся в интерстициях плагиоклаза. Пироксен встречается в виде крупных удли-

ненных кристаллов, размеры которых достигают 3—5 мм по длиной оси. Минерал иногда характеризуется большей или одинаковой степенью идиоморфизма по отношению к плагиоклазу (фото 7). Взаимоотношения зерен пироксена и плагиоклаза могут свидетельствовать о том, что рост их происходил почти одновременно, при некотором опережении кристаллизации плагиоклаза или иногда наоборот. Цвет пироксена лиловово-бурый. Минералу свойственны зональное строение и наличие простых двойников. По оптическим данным пироксен относится к ряду энстатит-диопсид-авгита (табл. 4) и аналогичен по составу клинопироксену средне-крупнозернистых габбро-диабазов торгалыкского комплекса.

В гидротермально измененных габбро-диабазах по пироксену развивается пелитовидный бурый агрегат. Плагиоклаз обычно альбитизирован, каолинизирован, и в этом случае появляется обильный апатит.

Пироксеновые габбро-диабазы по химическому составу (табл. 5) довольно однообразны. На петрохимической диаграмме (см. рисунок) начальные точки векторов, отображающие состав этих пород, располагаются кучно в поле среднего типа долерита, по Р. Дэли. Габбро-диабазы по сравнению с породами предыдущей группы характеризуются более высоким содержанием фемических компонентов ($27 < b < 32$), а $1,5 < \frac{b}{a+c} < 2$ и незначительным содержанием суммы щелочей ($a = 6-8$), при этом содержание Na_2O в 5—10 раз выше содержания K_2O . Габбро-диабазы имеют меланократово-базальтовый состав (при натровом балансе щелочей) при значительном распространении разновидностей пород недонасыщенных кремнеземом, с высоким содержанием TiO_2 .

Габбро-диабазы, как и диабазовые порфириты, слагающие силлы и связанные с ними дайки, характеризуются содержанием сидерофильных и главным образом халькофильных элементов-примесей, свойственных базальтоидным магмам. Вместе с тем количество Pb и Zn в габбро-диабазах на целый порядок выше по сравнению с диабазовыми порфиритами.

По минеральному составу, петрохимическим и текстурно-структурным особенностям дайковые мелкозернистые габбро-диабазы тождественны средне- и крупнозернистым габбро-диабазам торгалыкского комплекса, отличающиеся от последних лишь меньшими размерами зерен породообразую-

Таблица 4
Состав клинопироксено в габбро-диабазах торгалыкского комплекса

Шлиф	n	$2v$, град	Состав
<i>Мелкозернистые габбро-диабазы (дайки)</i>			
975д	1,689	50	$En_{43}Wo_{41}Fs_{16}$
976а	1,692	49	$En_{42}Wo_{40}Fs_{18}$
980б	1,691	50	$En_{42}Wo_{41}Fs_{17}$
981	1,704	50	$En_{32}Wo_{40}Fs_{23}$
981а	1,704	52	$En_{32}Wo_{41}Fs_{27}$
984а	1,685	50	$En_{47}Wo_{41}Fs_{12}$
984б	1,676	51	$En_{34}Wo_{39}Fs_7$
990	1,696	49	$En_{33}Wo_{40}Fs_{22}$
992ж	1,689	49	$En_{43}Wo_{41}Fs_{16}$
950ж	1,691	51	$En_{41}Wo_{44}Fs_{21}$
<i>Средне-крупнозернистые габбро-диабазы (шток)</i>			
982	1,696	48	$En_{38}Wo_{40}Fs_{22}$
982б	1,681	49	$En_{40}Wo_{40}Fs_{11}$
982в	1,688	54	$En_{41}Wo_{39}Fs_{13}$
982д	1,691	48	$En_{43}Wo_{40}Fs_{17}$
988а	1,688	50	$En_{44}Wo_{41}Fs_{15}$
988ж	1,689	47	$En_{44}Wo_{39}Fs_{17}$
988к	1,688	47	$En_{44}Wo_{40}Fs_{16}$

Приложение. 992ж (II участок), 950ж (IV участок) — клинопироксены из дайковых мелкозернистых габбро-диабазов Терлигхайского месторождения, остальные — из габбро-диабазов бассейна р. Сев. Торгалык.

Химический состав габбро-диабазов, слагающих дайки торгальского комплекса

Номер проба	SiO_2	TiO_2	Al_2O_3	FeO	Fe_{2}O_3	CaO	MgO	MnO	Na_2O	K_2O	P_2O_5	H_2O	H_2O	$\frac{\text{FeO} + \text{Fe}_{2}\text{O}_3}{\text{MgO}} \cdot 100$	$\frac{\text{FeO} + \text{Fe}_{2}\text{O}_3}{\text{MgO}} \cdot 100$	Сумма
950ш	46,50	2,25	14,35	10,85	5,90	3,64	6,45	0,90	2,70	0,32	0,53	0,40	0,40	5,40	100,08	
960б	47,00	1,96	15,75	9,30	4,20	9,46	5,06	0,37	3,00	0,65	0,40	0,40	0,40	2,50	100,05	
963	43,50	2,20	14,75	14,75	14,75	8,10	4,90	0,25	2,55	0,29	0,10	0,30	0,30	8,60	99,44	
992д	47,30	1,60	15,75	7,20	4,68	9,46	6,63	0,17	2,65	0,80	0,82	0,07	0,07	3,60	100,33	
990д	45,50	1,81	15,85	7,28	4,56	11,0	6,07	0,20	2,80	0,19	0,20	0,07	0,07	3,54	99,43	
975д	48,10	1,12	16,50	7,29	2,26	11,4	7,50	0,19	2,65	0,31	0,82	0,2	0,2	2,40	100,48	
13	46,80	2,12	16,19	8,20	4,27	8,55	6,86	0,31	3,43	—	—	—	—	2,45	100,20	

Числовые характеристики (по А. И. Заваринскому)

Номер проба	a			b			c^*			d^*			e^*			n			t			φ			Q			a/c			$\frac{\text{FeO}}{\text{MgO}}$		
	a	c	s	r	m^*	s^*	t^*	n^*	t^*	n^*	u	v	w	x	y	z	u	v	w	x	y	z	u	v	w	x	y	z					
950ш	6,6	4,5	32,2	56,6	52,2	35,1	28,2	18,1	93,6	3,6	16,2	—	—	—	—	—	—	—	—	—	—	—	—	—	—	—	—	—	—	—	—		
960б	7,7	7,2	27,3	57,8	48,8	33,1	18,1	95,4	3,1	13,3	—	—	—	—	—	—	—	—	—	—	—	—	—	—	—	—	—	—	—	—	—	—	
963	6,8	7,2	27,8	58,2	52,5	33,6	13,9	93,3	3,7	8,9	—	—	—	—	—	—	—	—	—	—	—	—	—	—	—	—	—	—	—	—	—	—	
992д	7,4	7,3	27,8	57,5	41,4	41,9	16,7	82,7	2,5	14,8	—	—	—	—	—	—	—	—	—	—	—	—	—	—	—	—	—	—	—	—	—	—	
990д	7,7	7,3	29,2	55,8	39,8	36,9	23,3	83,0	2,9	14,0	0,9	0,9	0,9	0,9	0,9	0,9	0,9	0,9	0,9	0,9	0,9	0,9	0,9	0,9	0,9	0,9	0,9	0,9	0,9	0,9			
975д	6,3	8,2	28,4	57,1	32,9	45,9	21,2	95,5	1,7	—	—	—	—	—	—	—	—	—	—	—	—	—	—	—	—	—	—	—	—	—	—	—	
13	9,1	6,6	27,8	56,5	42,6	42,8	14,6	85,2	—	—	—	—	—	—	—	—	—	—	—	—	—	—	—	—	—	—	—	—	—	—	—	—	—

Приемы химических анализов выполнены в химической лаборатории ИГИГ СО АН СССР песчаным методом. Анализик П. А. Сердюкова, 950ш, 960б, 963, 992д — среднее из 12 анализов габбро-диабазов габбро-диабазового месторождения; 990 д, 975д — дайки из 12 анализов габбро-диабазов торгальского комплекса, по А. И. Кравченко и А. Н. Пашкову (1963).

ших минералов и иногда наличием призматически-зернистых микроструктур. Как те, так и другие испытали контактовый метаморфизм под воздействием более молодых по возрасту гранитоидов.

ДАЙКИ БЕЗОЛИВИНОВЫХ МИКРОДОЛЕРИТОВ

Эти дайки, как упоминалось, установлены пами в Терлигхайском ртутьно-рудном районе в бассейне р. Баян-Кол (Карабедыкское рудопротогоралыкского комплекса, а также маломощные дайки сенитов, интрузирующие последние. Дайки микродолеритов контролируются разломами субмеридионального направления и имеют вертикальное падение. Мощность их 0,5—1,0 м. По простирации дайки прослеживаются на 200—700 м, и интервалы между ними составляют 50—100 м. Мощность по простирации и падению изменяется в местах раздува до 1,0 м, в местах пережима — до 0,2—0,3 м.

Безоливиновые микродолериты в отличие от описанных выше пород характеризуются свежестью, отсутствием вторичных изменений. По внешнему виду это темные, почти черные эфузивоподобные породы со скользкой отдельностью. Под микроскопом они обнаруживают порфировое строение: вкраепленники представлены листами плагиоклаза, погруженными в буроватую основную массу (фото 8). Последняя имеет офитовую, долеритовую, интэрсертальную структуры и сложена беспорядочно расположенным микролитами плагиоклаза, промежутки между которыми выполнены мелкими зернами клинопироксена, титаномагнетита и иногда бурым стеклом. Пироксен лишен вторичных изменений, характеризуется бурым цветом, с лиловым оттенком, наличием простых двойников, зональным строением и структурой песочных часов, что позволяет отнести его к титан-авгиту.

По химическому составу безоливиновые микродолериты близки к среднему типу муджиэрита, по Р. Дэли (отличаясь от него меньшим значением суммы щелочей), или к среднему типу оливинового диабаза. Они относятся (табл. 6) к породам нормального ряда, к меланократовым образованиям, насыщенным или слабонедосыщенным кремнекислотой и бедным или умеренно богатым щелочами. Типичными элементами-примесями в породах являются халькофильные элементы (медь, кобальт, свинец и др.).

По сравнению с породами, описанными выше, микродолериты характеризуются титан-авгитовым составом клинопироксена, более высоким содержанием суммы щелочей, титана (до 3,17%) и, наоборот, дефицитом полевошпатовой извести, отсутствием (в пределах чувствительности метода) хрома и никотином содержанием никеля (десятитысячные доли процента или следы). Кроме того, цинк в микродолеритах установлен в десятых долях процента, что на целый порядок выше в отличие от габбро-диабазов и на два порядка выше, чем в диабазовых порфиритах.

ДАЙКИ ОЛИВИНОВЫХ ДОЛЕРИТОВ

Дайки оливиновых долеритов меридионального простирания и вертикального падения развиты в бассейнах рек Сев. Торгалик, Ишти-Хем, Кадыр-Оруг и др. Мощность их 15—50 м. Они пересекают метаморфизованные средне- и крупнозернистые габбро-диабазы торгальского комплекса, не испытывая kontaktового метаморфизма под воздействием гранитоидов. Долериты — массивные средне- и крупнозернистые темно-серые, почти черного цвета, кайнотипные породы. Микроскопически они имеют долеритовую и пойкилофитовую структуры и сложены главным образом оливином, пироксеноем и плагиоклазом; в подчиненных количествах при-

Таблица 6

Химический состав безоливиновых микродолеритов и оливиновых долеритов

Номер пробы	SiO ₂	TiO ₂	Al ₂ O ₃	FeO	Fe ₂ O ₃	CaO	MgO	MnO	Na ₂ O	K ₂ O	П.п.п.	Сумма
-------------	------------------	------------------	--------------------------------	-----	--------------------------------	-----	-----	-----	-------------------	------------------	--------	-------

Безоливиновые микродолериты р. Балы-Кол												
1061ш	48,70	3,10	14,10	7,37	6,82	6,20	4,55	0,26	3,97	0,13	4,05	99,25
1061ю	46,50	2,38	14,80	5,23	9,10	11,60	5,00	0,24	3,41	0,48	1,46	100,20
1061х	49,60	3,17	14,70	4,20	9,04	6,10	4,30	0,36	4,24	0,69	3,30	99,70

Оливиновые долериты бассейна р. Сев. Торгалик												
1029а	47,60	1,53	15,30	9,73	2,90	8,00	9,00	0,28	2,34	0,62	2,12	100,30
988м	48,00	1,22	14,10	9,60	2,83	6,80	11,60	0,16	2,41	0,52	2,20	99,44
1029к	45,60	1,40	15,25	2,63	9,07	9,05	10,00	0,18	2,53	0,40	2,20	100,31

Числовые характеристики, по А. Н. Заварицкому

Номер пробы	a	c	b	s	f'	m'	c'	n	t	φ	Q	a/c	FeO/MgO	FeO+Fe ₂ O ₃ /100%	FeO+Fe ₂ O ₃ +MgO
-------------	---	---	---	---	----	----	----	---	---	---	---	-----	---------	--	---

Безоливиновые микродолериты р. Балы-Кол														
1061ш	9,3	5,2	24,6	60,9	56,1	32,9	11,0	98,4	4,6	25,0	-2	1,8	1,6	75,5
1061ю	8,3	5,9	30,1	55,7	43,5	28,5	28,0	91,7	3,7	26,2	-11	1,4	1,4	74,0
1061х	10,7	4,9	22,9	61,5	54,4	33,2	12,4	90,6	4,6	34,8	-3	2,1	0,9	75,4

Оливиновые долериты бассейна р. Сев. Торгалик														
1029а	6,0	7,4	30,2	56,4	40,4	51,4	8,2	86,0	2,3	8,3	-7	0,8	0,6	58,3
988м	6,0	6,4	32,3	55,3	33,5	60,8	5,7	88,2	1,9	4,6	-8	0,9	0,4	51,7
1029к	6,2	7,3	32,3	54,2	34,6	53,4	12,0	90,9	2,3	6,8	-11	0,8	0,5	53,7

Приимечание. Химические анализы выполнены в спектральной лаборатории ИГИГ СО АН СССР квантиметрическим методом. Аналитик М. И. Зеркалова.

существуют роговая обманка, биотит и титаномагнетит. Плагиоклаз образует призматические кристаллы с зональным строением: более основной 80% An — в центре и более кислый — в красной части — 55–60% An. Оливин встречается в виде изометрических зерен округлой формы и по составу относится к магнезиальному гиалосидериту (27% Fa, Np = 1,688). Зерна оливина встречаются в виде идиоморфных пойкилитовых включений в плагиоклазе, иногда же степень идиоморфизма оливина и плагиоклаза примерно одинаковая, что свидетельствует о близко одновременной кристаллизации этих минералов.

Пироксен образует ксеноморфные зерна, часто содержащие пойкилитовые вrostки плагиоклаза и оливина. Изредка мелкие зерна пироксена встречаются в виде включений в оливине. Судя по взаимоотношениям минералов, пироксен начал кристаллизоваться несколько позже оливина и плагиоклаза, но в дальнейшем происходила одновременная кристаллизация плагиоклаза, оливина и пироксена. По составу пироксен отвечает пижонит-авгиту ($Nm = 1,698$; $Np = 1,692$; $2v = 42^\circ$; $En_{43}Wo_{35}Fs_{22}$). Амфибол представлен бурой разновидностью, плеохроирующую от светло-желтого до буровато-коричневого цвета. Минерал резко ксеноморфен по отношению к плагиоклазу, оливину и пироксену, выполняя интерстиции между ними или замещая кристаллы последнего. Биотит образует индивидуальные чешуйки, плеохроирующие от светло-желтого до красно-коричневого цвета, и ксеноморфные по отношению ко всем упомянутым минера-

лам. По оптическим данным ($Nm = 1,636$), биотит представлен магнезиальной разновидностью — мероксеном. Титаномагнетит присутствует в небольшом количестве в виде ксеноморфных зерен и, судя по его взаимоотношениям с охарактеризованными минералами, кристаллизуется позже них.

Оливиновые долериты по химическому составу (см. табл. 6) близки, по Р. Дэли, к среднему типу оливинового базальта и отличаются от него большей меланократостью. По классификации А. Н. Заварицкого, они относятся к классу пород, не насыщенных кремнеземом, к группе бедных щелочами и подгруппе меланократовых.

По сравнению с описанными выше дайковыми породами долериты характеризуются присутствием в качестве темноцветных минералов магнезиальных гиалосидерита и биотита, а клинопироксен в них относится к пижонит-авгиту. Долериты — наиболее меланократовые породы, богатые магнием, и, наоборот, бедные щелочами и титаном. Спектральными анализами в них установлены самые высокие содержания никеля (сотые доли процента) и низкие — цинка (тысячные доли).

Сопоставление петрографического состава и петрохимических особенностей разновозрастных основных пород показывает следующее.

Субвуликанические диабазовые порфириты, слагающие силлы и дайки среднедевонского возраста, имеют андезито-базальтовый лейко-меланократовый состав при натровом балансе щелочей и значительном развитии разновидностей пород, слабо насыщенных кремнеземом. Клинопироксен в них представлен главным образом салитом и салит-авгитом.

Гипабиссальные габбро-диабазы верхнедевонского — нижнекарбонового? возраста имеют меланократово-базальтовый состав также при резко натровом балансе щелочей, но широком распространении пород, недосыщенных кремнеземом, с более высоким содержанием титана и низким — суммы щелочей. Клинопироксен габбро-диабазов относится к ряду энстатит-диопсид-авгита.

Гипабиссальные оливиновые долериты характеризуются еще большей меланократостью, самым высоким содержанием магния и, наоборот, меньшим количеством титана и суммы щелочей. Клинопироксен этих пород представлен пижонит-авгитом. Пироксеновые (безоливиновые) микродолериты — лейко-меланократовые и меланократовые породы, отличающиеся от оливиновых долеритов более низким содержанием магния, значительным содержанием никеля, отсутствием хрома и, наоборот, более высоким содержанием титана и суммы щелочей.

Если рассматривать эти разновозрастные группы основных пород в качестве продуктов дифференциации единого гомогенного базальтоидного расплава, то в более поздних продуктах дифференциации должны накапливаться щелочи ($FeO + Fe_2O_3$) и кремнезем, что противоречит имеющимся фактическим данным. Более поздние по времени формирования оливиновые долериты содержат меньше суммы щелочей и железа. Состав клинопироксенов разновозрастных основных пород также различный. Как показали исследования (Добрецов и др., 1971), клинопироксены базальтов и долеритов разных формаций различаются между собой, а состав минералов и их относительное количество являются функциями физико-химических условий формирования породы. Особенности состава пород каждой разновозрастной группы обусловлены составом базальтоидного расплава, из которого они кристаллизовались. Различный состав базальтоидных расплавов, в свою очередь, лучше всего может быть объяснен снижением зоны выплавления в зависимости от глубины заложения разломов, контролирующих размещение очагов базальтоидных магм.

Вместе с тем разновозрастным группам основных пород свойственные и общие признаки. Все группы основных пород образовались в условиях малых глубин — близповерхностных и гипабиссальных — в средне-верхнепалеозойское (или нижнекемезойское?) время, обнаруживая связь

Таблица 7

Содержание ртути в основных породах, %

Номер пробы	Ртуть	Номер пробы	Ртуть
Терлигхайский ртутно-рудный район	Бассейн р. Сев. Торгалик		
998б	1·10 ⁻⁶	975д	1·10 ⁻⁶
998	1·10 ⁻⁵	975е	1·10 ⁻⁶
998в	8·10 ⁻⁶	976	1·10 ⁻⁶
962	3·10 ⁻⁴	977	1·10 ⁻⁶
963а	1,5·10 ⁻⁴	978	1·10 ⁻⁶
992в	5·10 ⁻⁵	980в	1·10 ⁻⁶
992г	8·10 ⁻⁴	981а	8·10 ⁻⁶
992ж	8·10 ⁻³	981б	5·10 ⁻⁶
994а	1·10 ⁻⁶	982г	1·10 ⁻⁶
994б	1·10 ⁻⁶	985	3·10 ⁻⁶
994г	3·10 ⁻⁶	987	1·10 ⁻⁶
995б	1·10 ⁻⁶	990в	5·10 ⁻⁶
995в	1·10 ⁻⁶	990д	5·10 ⁻⁶
993и	2·10 ⁻⁵	990е	3·10 ⁻⁶
993п	2·10 ⁻⁵	990ж	4·10 ⁻⁶
		988м	1·10 ⁻⁶

Приимечание. 998, 998б, 998в— крупнопластовые оливин-пироксеновые диабазовые порфириты, VI участок, Терлигхайское месторождение; 962, 963а— пироксеновые габбро-диабазы, дайка, IV участок; 992в, 992г, 992ж— пироксеновые габбро-диабазы, дайка, II участок, Терлигхайское месторождение; 994а, 994б, 994г, 995б, 995в— диабазовые порфириты, дайки, верховье р. Тебек; 993и, 993п— оливин-пироксеновые диабазовые порфириты, синклиниальный под заводом Терлигхайское месторождение; 975д, 975е, 976, 977, 978, 980в, 981а, 981б, 982г, 985, 987, 990в, 990д, 990е, 990ж— габбро-диабазы, дайки, штоки, р. Сев. Торгалик; 988м— оливиновые долериты, дайка там же.

Учитывая тот факт, что базальтоидный магматизм проявился в Центральной Туве, в частности в Терлигхайском ртутно-рудном районе, и в более позднее время (верхнем палеозое или нижнем мезозое), есть основание полагать, что нижняя возрастная граница ртутного оруденения может быть и более высокой. Следовательно, полученные нами данные свидетельствуют о постдевонском возрасте нижней границы ртутного оруденения Центральной Тувы и подтверждают представления тех исследователей, которые считают возраст ртутного оруденения Тувы позднепалеозойским или даже мезозойским.

ЛИТЕРАТУРА

- Айдиньян И. Х. Определение малых количеств ртути в природных объектах. М., «Наука», 1960, с. 42—53. (Труды ИГЕМ, вып. 46).
 Добрецов И. Л., Кочкин Ю. И., Кривенко А. П., Кутолин В. А. Породообразующие пироксены. М., «Наука», 1971. 453 с.
 Дали Р. О. Изверженные породы и глубины Земли. М., Изд-во АН СССР, 1936. 205 с.
 Заваринский А. Н. Пересчет химических анализов изверженных горных пород и определение химических типов их. М., Госгеолтехиздат, 1960. 153 с.
 Иванова Т. И. Основные черты истории развития магматизма Тувы.— «Сов. геол.», 1959, сб. 11, с. 65—83.
 Кривенко А. П., Павлов А. И. Магматические комплексы девонского прогиба Тувы.— В кн.: Магматические комплексы Алтас-Саянской складчатой области. Новосибирск, 1963, с. 5—43. (Труды ИГИГ СО АН СССР, вып. 33).
 Кривенко А. П. Вопросы происхождения пород тургалийского интрузивного комплекса Тувы.— В кн.: Магматические формации Алтас-Саянской складчатой области. М., «Наука», 1965, с. 65—83. (Труды ИГИГ СО АН СССР).
 Кузнецов В. А. Месторождения ртути.— В кн.: Рудные месторождения СССР. Т. 2. «Недра», 1974, с. 274—318.
 Кузнецов В. А. Центрально-Азиатский пояс мезозойской тектономагматической активизации и ртутного оруденения.— В кн.: Закономерности размещения полезных ископаемых. Т. XI. М., «Наука», 1975, с. 190—200.

с послескладчатой разрывной тектоникой. Степень дифференцированности разновозрастных комплексов незначительная, преобладают слабо дифференцированные и недифференцированные интрузивы. Породы комплексов довольно устойчивы по составу и структурно-текстурным особенностям. Наиболее типичной ассоциацией пород является основной плагиоклаз и клинопироксен, иногда оливин (в наиболее ранних по возрасту диабазовых порфиритах — железистый; в поздних долеритах — магнезиальный гиалосидерит). Породы всех трех разновозрастных комплексов относятся к нормальному ряду, слабо насыщены или недосыщены кремнеземом, обычно бедны щелочами (при резком преобладании патрия над калием). Геохимическая специализация пород комплексов халькофильная, сидерофильная (титан, ванадий, галий, кобальт, марганец, медь, никель, хром, свинец, цинк).

Породы разновозрастных комплексов обнаруживают, таким образом, черты родства, что позволяет объединить их в один петрогенетический базальтоидный ряд с присущим ему антидромным характером.

ВЗАИМООТНОШЕНИЕ РАЗНОВОЗРАСТНЫХ ДАЕК ОСНОВНЫХ ПОРОД И РТУТНОГО ОРУДЕНЕНИЯ

В Центральной Туве известно три ртутных месторождения — Терлигхайское, Арзакское и Торасаирское (Терлигхайский ртутно-рудный район), которые расположены в зонах наибольшего распространения даек основных пород, а рудные тела Торасаирского месторождения локализуются непосредственно в дайках.

В пределах Терлигхайского месторождения развиты среднедевонские силлы и дайки — апофизы оливин-пироксеновых и пироксеновых диабазовых порфиритов, которые контролируются разрывными нарушениями северо-восточного простирания. Более поздние по времени формирования дайки габбро-диабазов отчетливо локализуются в разломах северо-западного направления, поперечного простиранию силлов. Они являются полными аналогами дайковых габбро-диабазов верхнедевонского — нижне-карбонового (?) тургалийского комплекса. Ртутное оруденение накладывается на разновозрастные интрузивные образования, в том числе дайковые габбро-диабазы. Последние содержат вкраепленность киновари и гидротермально изменены с образованием гидрослюд, каолинита, хлорита, карбоната и др. Рудные тела локализуются в разломах северо-западного направления, которые контролируют размещение даек габбро-диабазов.

На Торасаирском месторождении интрузивные образования представлены, так же как и на Терлигхайском, среднедевонскими силлами диабазовых порфиритов, небольшим штокообразным телом среднезернистых габбро-диабазов и дайками мелкозернистых габбро-диабазов. Одна из таких даек — северо-западного направления, в которой локализуются рудные тела месторождения, пересекает упомянутые интрузивные породы. Рудные тела контролируются субмеридиональными разрывными нарушениями, которыми дайка габбро-диабазов смещена и разбита на отдельные блоки.

С целью выяснения поведения ртути в дайковых и силловых породах последние были проанализированы методом абсорбционного анализа в лаборатории рудных формаций ИГИГ СО АН СССР аналитиком Л. И. Гущиной (табл. 7). Исследования показали, что анализируемым породам свойственны кларковые содержания ртути (весовой кларк — $9 \cdot 10^{-6}$ для основных пород, по А. П. Виноградову (1962)). Лишь в некоторых пробах силловых диабазовых порфиритов и главным образом в дайковых габбро-диабазах содержание ртути достигает $n \cdot 10^{-4}$ — $n \cdot 10^{-3}\%$. Петрографическое изучение пород этих образцов показало, что они испытали интенсивный гидротермальный метаморфизм (хлоритизация, карбонатизация, об-

- Кузнецов В. А., Оболенский А. А. Проблема возраста ртутного оруденения Алтас-Саянской складчатой области.— «Геол. и геофиз.», 1969, № 5, с. 3—10.
- Лапин Б. И. Геологическое строение Терлигхайского рудного поля (Тувы) и вопрос возраста ртутного оруденения.— В кн.: Геология и генезис рудных месторождений юга Сибири. Новосибирск, «Наука» (в печати).
- Михалева Л. А., Скуридин В. А. Раннекаледонская формация батолитовых гранитов Горного Алтая и ее металлогенические особенности. Новосибирск, «Наука», 1971. 273 с.
- Павлов А. И. О различном генезисе эффузивовидных тел девонской вулканогенно-осадочной толщи Баянкольского района Центральной Тувы.— «Геол. и геофиз.», 1967, № 11, с. 121—126.
- Павлов А. И. О возрасте ртутных месторождений Тувы.— В кн.: Материалы по геологии Тувинской АССР. Кызыл, 1969, с. 58—63.
- Павлов А. И. Геологические условия образования и закономерности пространственного размещения ртутных месторождений и рудопроявлений Центральной Тувы. Автореф. канд. дис. Томск, 1971. 18 с.

В. И. СИНЯКОВ

МЫШЬЯКОВИСТАЯ МЕДЬ И АЛЬГОДОНИТ ИЗ ЖЕЛЕЗОРУДНЫХ МЕСТОРОЖДЕНИЙ ГОРНОЙ ШОРИИ

Мышьяковистая медь и альгодонит — весьма редкие минералы, и находки их не в медных, а в железорудных месторождениях имеют большой минералогический и генетический интерес. Альгодонит в СССР встречен в заметных количествах лишь в Джезказганском медном месторождении (Сатпаева, 1958), и описание его нового месторождения весьма полезно. Нами эти минералы обнаружены в небольших кальцит-кварцевых жилках, секущих кварц-гематитовые руды в зоне известняковых брекчий в северной части Пыхтунского железорудного месторождения.

Пыхтуское месторождение, отнесенное нами к жильному типу месторождений магнетитовой мангансидеритовой формации, — наиболее крупное и интересное железорудное месторождение Тазского рудного узла, в Тельбесском рудном поясе Горной Шории (Синяков, 1975). Оно расположено в толще нижнекембрийских известняков, в 700—800 м от контакта небольшого Мостокольского диоритового интрузива. Рудные тела представлены маломощными крутопадающими жилообразными залежами, приуроченными к предрудным зонам дробления. Они сложены тонкозернистыми карбонатно-магнетитовыми рудами, обогащенными на верхних горизонтах сульфидами (пиритом, галенитом, сфалеритом и халькопиритом).

Мышьяковистая медь и альгодонит приурочены к участку молодой (D_{1-2}) гидротермальной гематитовой и сульфидной (халькозин, борнит, теннантит) минерализации и являются самыми поздними гипогеническими образованиями на месторождении. Минералы встречены в кварцевых жилках в виде мелких (1—8 мм) выделений неправильной крючковатой формы. В свежем изломе они имеют латунно-розовый цвет и сильный металлический блеск. При долгом хранении на воздухе тускнеют и становятся серовато-черными. Минералы мягкие и ковкие. Полируются они хорошо, в апшлифах имеют красновато-желтый, желтовато-ро-

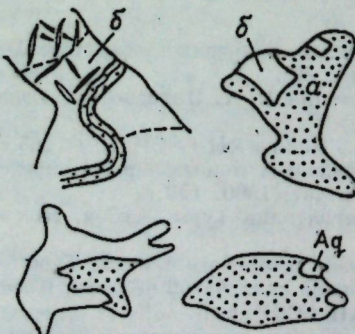


Рис. 1. Форма выделений мышьяковистой меди и альгодонита в кварце.
а — мышьяковистая медь, б — витиент с вростками альгодонита, Ag — самородное серебро, $\times 50$.

а — мышьяковистая медь, б — витиент с вростками альгодонита, Ag — самородное серебро, $\times 50$.

зовый цвет, более светлый, чем у самородной меди, но более желтый и розовый, чем у домейкита.

Микроскопическим изучением включений было установлено два компонента, каждый из которых может встречаться самостоятельно, образуя неправильной формы выделения, или давать совместные срастания (рис. 1). Компонент а имеет однородное строение. В отраженном свете он обладает характерным красноватым (меди-красным) цветом и наиболее высокой отражательной способностью. Это мышьяковистая медь. Компонент б имеет сложное строение. При большом увеличении с иммерсией и особенно при травлении зерен соляной кислотой в них выявляется тончайшая решетчатая структура, образованная прерывистыми пластинчатыми вростками в трех направлениях (фото 1). Вростки имеют веретенообразную форму с уменьшением ширины пластинок в местах пересечений. Крупные пластинчатые выделения напоминают форму листьев олеандра (структура «олеандровых листьев»). Пластинчатые вростки в отраженном свете голубовато-белого цвета, а на фоне основного кремово-белого минерала кажутся более серыми. Особенно хорошо это заметно в иммерсии. Минерал обладает очень слабой, заметной при нестрогом скрещенных николях анизотропностью.

Оптические свойства, данные рентгеноструктурного и химического анализа (табл. 1, 2) показывают, что это альгодонит (Cu_6As), образующий в мышьяковистой меди с предельным содержанием мышьяка (витиенте) пластинчатые вростки (структура распада твердого раствора меди и мышьяка). Таким образом, мелкие зерна самородного металла, встречающиеся в виде вростков в кварце на месторождении Пыхту, представлены тремя минералами: мышьяковистой медью с переменным содержанием мышьяка, витиентом и альгодонитом. Внутри отдельных зерен мышьяковистой меди были обнаружены мелкие зернышки самородного серебра. В парагенезисе с минералами меди установлен гематит в виде мелких пластинок и в форме колломорфных агрегатов (фото 2).

В образцах мышьяковистой меди из Пыхтунского и Тайметского месторождений определены некоторые свойства меди в зависимости от содержания в ней мышьяка (см. табл. 1). Материал для анализа был отобран под бинокуляром.

Результаты измерения отражательной способности (R) мышьяковистой меди с разным содержанием в ней мышьяка по эталону галенита в монохроматическом свете позволили построить кривые дисперсии R , характер которых закономерно меняется с изменением содержания мышьяка (рис. 2). В зеленой области спектра с увеличением количества мышьяка отражательная способность мышьяковистой меди растет, а в красной —

Таблица 1

Состав мышьяковистой меди (%), отражательная способность ($R, \%$) и микротвердость ($H, \text{кг}/\text{мм}^2$)

Компонент	Месторождение				H	87,50
	Тайметское		Пыхтан			
Cu	92,10	89,55	92,20	5,83	>11	10,70
As	0,56	1,86	1,40			0,20
Fe	2,03	2,66	0,25			2,00
И. о.	5,15	5,30				
Сумма	99,84	99,37	99,68		—	100,40
R						
зеленый	61,0	—	67		63,7	67,7
оранжевый	77,7	—	72		73,1	75,0
красный	82,1	—	74		75,3	71,9
H	91—94	88—94	123—135		94—106	232—239

П р и м е ч а н и е. Анализы 1, 2, 3, 5 выполнены в химлаборатории Сибирского металлургического института, г. Новокузнецк; анализы 4, 6 — в химлаборатории ЗСГУ.

Таблица 2

Результаты рентгеноструктурного изучения мышьяковистой меди (Cu, As)

hkl	Медь	Мышьяковистая медь						(Cu, As)+альгодонит						Альгодонит	
		1			2			3			4				
		1	d_{α}	1	1	d_{α}	1	1	d_{α}	1	1	d_{α}	1		
111	9 2,0851	10	2,08	10	2,09	10	2,092	10	2,09	10	2,105	9	2,10	10	2,25
200	8 1,8060	9	1,806	6	1,810	8	1,812	6	1,816	4	1,820	1	1,820	2	2,13
220	10 1,2762	9	1,277	8	1,279	8	1,282	6	1,285	4	1,286	2	1,287	—	2,00
311	9 1,0887	8	1,088	9	1,090	9	1,093	8	1,095	4	1,096	8	1,098	10	1,05
222	5 1,0419	7	1,042	7	1,044	7	1,047	7	1,048	3	1,051	5	1,055	10	1,080
			3,607		3,609		3,615		3,625		3,631		3,640		3,640

a_0 Примеч. 1—6—номера образцов; анализ пропелена в рентгеноструктурной лаборатории ЗСГУ. Условия съемки: Fe—антинод; 35кV; 11mA; экспозиция 3 ч 30 мин. Диаметр камеры 57,3 мм, d образца 0,7 мм. Исправлено по снимку смеси с NaCl. Рентгенолог В. Г. Эренберг. Параметр a_0 рассчитан по линиям 311, 220, 222.

уменьшается. В результате этого кривая дисперсии R для образца с содержанием 10,7% мышьяка имеет экстремум в оранжевой части спектра. Подобный характер изменения кривых дисперсии отражательной способности мышьяковистой меди полностью соответствует ее цвету.

Микротвердость мышьяковистой меди в сильной степени зависит от количества растворенного в ней мышьяка (см. табл. 1). При этом в пределах области гомогенности, вплоть до насыщения, микротвердость мышьяковистой меди увеличивается в соответствии с увеличением содержания в ней мышьяка, а при переходе в двухфазную область остается постоянной (рис. 3). Это давно уже используется в металлографии для определения границы перехода из однофазной в двухфазную область (Глазов, Бигдорович, 1962). В нашем случае это позволяет ориентировочно определить предел растворимости мышьяка в меди — он равен примерно 8% мышьяка.

Проведенные рентгеноструктурные исследования мышьяковистой меди показали, что в одних образцах присутствует только медь, тогда как плоскостные расстояния изученных образцов и справочные данные по меди и альгодониту. На графике (рис. 4), построенном по этим материалам с использованием экспериментальных данных по системе Cu—As, видно, что в однофазной области твердого раствора меди и мышьяка (Cu, As), параметр элементарной ячейки (a_0) мышьяковистой меди увеличивается с возрастанием содержания мышьяка по линейному закону, в двухфазной же области ((Cu, As) + альгодонит) остается постоянным. Переход из одной фазовой области в другую происходит при содержании 7,8% мышьяка, что подтверждается экспериментальным изучением бинарной системы Cu—As (Hansen, 1958).

На основании изложенного можно заключить, что медь может растворять в условиях равновесия до 7,8% мышьяка, это предельное содержание характерно для минерала витицита¹. Мышьяковистая медь, содержащая мышьяка в большем количестве, чем верхняя граница твердого раствора (Cu, As), содержит в структуре, помимо этой фазы, альгодонит, т. е. представляет собой смесь фаз (витицит + альгодонит). Таким образом, используя данные по отражательной способности, микротвердости и особенно результаты рентгеноструктурных исследований мышьяковистой меди, можно определить примерное содержание мышьяка в минерале.

Образование мышьяковистой меди и альгодонита в месторождении Пыхтун происходило в одну из последних стадий гидротермального процесса, по всей вероятности, за счет восстановления меди из растворов при окислении закисного железа, о чем свидетельствует ее парагенезис с гематитом. Для определения температурных условий минералообразования были использованы результаты изучения газово-жидких включений в кварце и кальците. Включения эти овально-вытянутой или неправильной

¹ Мышьяковистой медью мы предлагаем называть медь с примесью мышьяка до 7,8%; витицитом — мышьяковистую медь с предельным содержанием мышьяка, содержащую альгодонит.

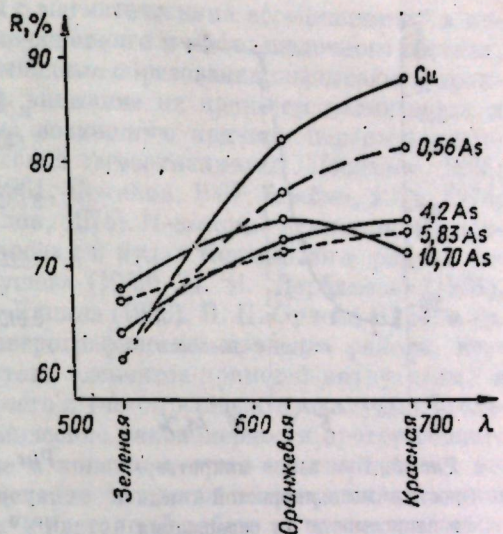


Рис. 2. Кривые дисперсии отражательной способности мышьяковистой меди.

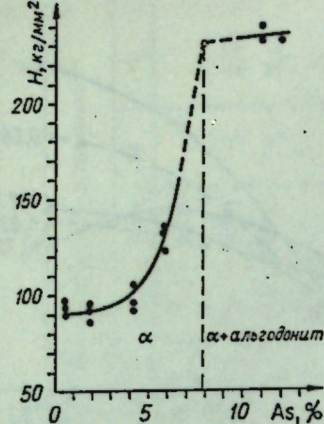


Рис. 3. Изменение микротвердости мышьяковистой меди в зависимости от содержания мышьяка: α — твердый раствор мышьяковистой меди; альгодонит — Cu_6As .

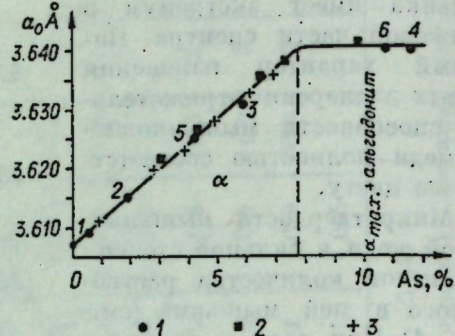


Рис. 4. Зависимость параметра элементарной ячейки (a_0 Å) мышьяковистой меди от содержания мышьяка: α — твердый раствор мышьяковистой меди; альгодонит — Cu_6As . 1 — образцы Пытунского и Тайметского месторождений (см. табл. 1); 2, 3 — экспериментальные данные (Hansen, 1958).

формы, очень мелкие (0,003—0,006 мм), газовый пузырек в них занимает 10—30% объема, гомогенизируются в жидкую фазу, в одном случае — в газ. Гомогенизация включений происходила в температурном интервале 400—360—200°C, причем включения с температурой гомогенизации ниже 360° являются первично-вторичными. Приведенные данные позволяют сделать вывод, что мышьяковистая медь и альгодонит образовались при высокой температуре (400—360°C). Это первые данные, объективно характеризующие температурные условия гидротермального минералообразования витнента и альгодонита.

ЛИТЕРАТУРА

- Глазов В. М., Вигдорович В. И. Микротвердость металлов. М., Металлургиздат, 1962. 224 с.
 Сатпаева Т. А. Минералогические особенности месторождений типа медистых песчаников. Алма-Ата, Изд-во АН КазССР, 1958. 240 с.
 Синяков В. И. Формационные типы железорудных месторождений Тельбесского рудного пояса (Горная Шория). Новосибирск, «Наука», 1975. 193 с.
 Hansen M. Constitution of binary Alloys. New-York — Toronto, London, 1958.

И. Н. МАЛИКОВА, Л. В. АЛАБИН

ОСНОВНЫЕ ГЕОХИМИЧЕСКИЕ ТЕНДЕНЦИИ РАЗВИТИЯ КОНДОМСКОЙ МЕТАЛЛОГЕНИЧЕСКОЙ ЗОНЫ [Горная Шория]

Кондомский район — один из крупнейших железорудных районов Горной Шории и всей Алтай-Саянской области. Кроме того, в районе известны проявления редкometальной и другой минерализации (Pb, Zn, Au, Sb, Co). Район расположен в эвгеосинклинальной зоне, характеризующейся преобладающим развитием вулканических пород андезито-базальтового состава, а также сиенитов и гранитов. Развитие магматизма и образование рудных месторождений в нем происходит на основе слабодифференцированной коры по типу близкой к океанической, что и позволяет выделить его как фемическую структурно-металлогеническую зону (Кузнецov B. A., 1963; Кузнецov B. A. и др., 1966). Замечено, что месторождения

в подобных зонах обычно связаны с магматическими ассоциациями, в которых присутствуют породы средне-основного и кисло-щелочного состава, тогда как малоконтрастные базальтоидные образования оказываются практически безрудными. Обращалось внимание на процессы палингенеза и поглощения вещества в Кузнецко-Алатаусской эвгеосинклинали (Поспелов, 1955; Ильинок, 1960, 1970; Щербаков, 1961; Поляков, 1967; Алабин, 1971, 1974; Корель, 1973; Чистяков, 1971; Орлов, 1974). Некоторые данные по распределению элементов-примесей в породах и рудах Кондомского района содержатся в работах В. А. Вахрушева (1959), И. В. Дербикова (1961), Г. М. Ивановой (1966, 1969), С. С. Лапина (1973), В. П. Орлова (1974) и др.

Нами проводилось геолого-петрографическое изучение района, изучение химического состава и состава элементов-примесей интрузивных и вмещающих пород, на основании чего с учетом данных предыдущих исследователей показаны общие геохимические закономерности прогрессивного этапа магмообразования, которые в конечном итоге предопределяют металлогенезию района. Перераспределение вещества на регressive этапе при постмагматических процессах в настоящей работе не рассматривается.

Железорудные месторождения Кондомского района размещаются в отложениях среднего кембрия, развитых в зоне Таштагольско-Кондомской ветви Алтас-Кузнецкого глубинного разлома древнего заложения, выделенного В. А. Кузнецовым (1954, 1963). Они представлены в основном андезито-базальтами с подчиненным количеством субщелочных вулканитов, терригенных пород и известняков. С угловым несогласием кембрийские породы перекрываются отложениями нижнего ордовика с галькой магнетита и сиенитов в базальном конгломерате.

По геофизическим данным, Кондомский железорудный район располагается в надинтрузивной зоне крупного гранитоидного plutона с кровлей на глубине 1,5—2 км, который в виде нескольких гранитных и сиенитовых массивов разного возраста выходит на поверхность эрозионного среза (Сучков и др., 1974). Ввиду активизации, неоднократно проявляющейся вдоль глубинного разлома, данные абсолютного возраста магматических пород не вполне надежны. Геологические наблюдения позволяют установить относительную возрастную последовательность их формирования: сиениты и скарново-магнетитовые тела рассекаются гранитами Сарлыкского массива, граниты Мустагского plutона контактируют метаморфизуют отложения ордовика, хотя среди них возможны и более древние гранитоиды.

Гранитоиды Нижнекаменушинского и Малокаменушинского массивов по облику, петрографическим особенностям, насыщенности ксенолитами напоминают гранитоиды сиенорогенного лебедского комплекса, наблюдающиеся к югу от Кондомского района и относящиеся к формированию гранитоидных батолитов пестрого состава (Кузнецов Ю. А. и др., 1971).

Образование сиенитов и гранитов в районе сопровождалось глубокими изменениями вмещающих пород. Породы андезито-базальтового состава претерпели в зоне глубинного разлома интенсивный динамотермальный метаморфизм и превращены в зеленые сланцы. Их первичный минеральный состав изменен, и в настоящее время главными слагающими их минералами являются серицит, хлорит, эпидот, карбонаты. Первичные темноцветные минералы, пироксен и роговая обманка полностью разложены или сохранились лишь в виде реликтов. Основная масса пород обычно тонко-зернистая, рассланцованные, иногда с реликтами микролитового строения. Особенно широко рассланцованные породы представлены на Таштагольском и Кочурицком месторождениях. Характерные свилевые текстуры здесь сочетаются с линзовидно-параллельными. Линзы обычно выполнены хлоритом, альбитом, карбонатом. Регионально метаморфизованные породы содержат часто значительные количества рудных компонентов, главным образом магнетита и гематита. Обычно рудные минералы мелко- и тонкозернистые и приурочены к хлориту и его границам с карбонатами.

скоплениями. Видимо, значительная часть рудных минералов в рассланцованных породах возникла в результате замещения высокотемпературных железистых силикатных минералов главным образом хлоритом. При этом железо переходит в хлорит и окислы.

Важно подчеркнуть, что положение пород Кондомского района в зоне долгоживущего разлома обусловило длительное протекание динамотермальных процессов с неоднократной их активизацией. Прежде всего это относится к рассланцеванию, которое характерно для начального этапа метаморфизма, но местами отмечается и на этапе образования сиенитизированных пород и сиенитов, фиксируясь линзовидным реликтовым хлоритовым материалом, свилями серицита и полевошпатовыми линзами. Можно полагать, что на разных этапах метаморфизма вмещающих пород их положение в зоне разлома, служащего активным флюидопроводником, обеспечивало поступление флюидов, способствовавших перекристаллизации и дифференциации вещества (Кузнецова Ю. А., Изох, 1969).

Поступающие в зону разлома флюиды, несущие с собой легко подвижные компоненты и тепло, были причиной перекристаллизации вмещающих пород, предшествующей образованию сиенитов и гранитоидов. Изменение носит направленный прогрессивный характер. Рассланцованные тонкозернистые породы карбонат-эпидот-серицит-хлоритового состава переходят в более массивные, часто порфировые и порфиритовые породы с гранобластовой структурой, в которых характерны полевые шпаты, преимущественно плагиоклаз, роговая обманка и биотит. Увеличивается степень их зернистости. Начальная стадия преобразований — укрупнение размеров зерен пордообразующих минералов, полевошпатовых линз, разрыв свиевых серицитовых агрегатов и их постепенное исчезновение. Далее за счет хлорита образуются мелкие ветвистые тонкочешуйчатые скопления биотитоподобного минерала. При дальнейшей перекристаллизации возникают мелкие таблички типичного бурого биотита.

В породах, обогащенных кальцием, среди новообразованных темно-цветных минералов преобладает роговая обманка. Она обычно замещается биотитом на более поздних стадиях процесса, видимо, в связи с усилением привноса калия. Роговая обманка образуется за счет хлорита в виде незавершенных метакристаллов. Конечным результатом являются породы типа роговообманково-плагиоклазовых, хотя распространены и породы хлорит-биотит-роговообманково-полевошпатового состава. Иногда выделения роговой обманки располагаются согласно со сланцеватостью пород и частично разлинованы. Кристаллы роговой обманки, замещенные биотитом, наблюдаются в некоторых сиенитах (Кочуринский массив), где они, возможно, имеют такое же происхождение. В редких случаях реликты биотит-роговообманково-плагиоклазовой стадии перекристаллизации пород фиксируются в сиенитах в виде ксенолитов.

Образование хлорит-биотит-полевошпатовых и роговообманково-плагиоклазовых пород сочетается в участках, прилегающих к сиенитам, с возникновением пород с роговиковоподобными структурами до типичных мозаичных в биотит-полевошпатовых и биотит-роговообманково-полевошпатовых роговиках.

Сохранение в породах начальных стадий перекристаллизации большого количества карбонатных скоплений и хлорита, фиксирующих по своим границам рудное вещество, препятствует его высвобождению. Частично отмечен переход рудного вещества из окисной формы в силикатную (роговая обманка, биотит). Уменьшение количества силикатных железосодержащих минералов резко выражено при образовании собственно сиенитов и далее гранитов, что приводит к высвобождению особенно значительных количеств железа.

Образованию гранитов предшествовало формирование ореолов роговиков биотит-роговообманково-полевошпатового, иногда пироксен-полевошпатового состава с типичными мозаичными структурами. Рудные ми-

Таблица 1

Породы	Средние химические составы пород Кондомского района, вес. %										$\frac{\text{FeO} + \text{MnO}}{\text{FeO}}$	$\frac{\text{Fe}_{\text{2+}}}{\text{FeO}}$	$\frac{\text{Fe}_{\text{3+}}}{\text{FeO}}$	
	SiO_2	TiO_2	Al_2O_3	$\text{Fe}_{\text{2+O}}$	FeO	MnO	MgO	CaO	Na_2O	K_2O				
Андезито-базальты	36	47,64	0,84	16,85	5,39	6,20	0,25	4,40*	7,66	3,33	2,99 (49)	0,53	11,44	0,87
Серпентин-хлоритовые сланцы	6	50,56	0,70	20,18	5,79	2,95	0,49	2,26 (19)	4,14	2,64 (19)	2,17 (19)	0,38	8,58	1,96
Хлорит-биотит-полевошпатовые	15	54,17	0,56	17,52	2,87	4,67	0,42	2,66 (20)	4,47	3,79 (20)	4,06 (20)	0,36	7,46	0,61
Роговообманково-плагиоклазовые	14	54,21	0,98	16,51	3,17	5,36	0,18	3,56 (31)	6,35	3,97 (31)	2,82 (31)	0,29	8,44	0,59
Габброниты	17	47,94	0,94	13,75	3,54	6,44	0,29	7,70 (23)	11,81 (23)	2,41 (23)	1,08 (23)	0,29	9,88	0,55
Роговики	18	54,25	0,63	17,19	3,02	4,46	0,26	2,63 (32)	6,94 (32)	3,08 (32)	4,04 (32)	0,35	7,39	0,68
Сиенитизированные	25	56,40	0,40	17,98	3,26	2,80	0,20	1,36 (44)	4,16 (44)	3,07 (44)	7,32 (44)	0,27	5,99	1,17
Микросиениты	9	59,06	0,39	18,72	1,39	1,92	0,18	1,36 (13)	2,05 (12)	3,07 (12)	6,53 (12)	0,14	3,27	0,72
Сиениты	33	61,88	0,27	17,04	1,69	2,22	0,18	0,79 (66)	2,45 (64)	4,71 (64)	5,86 (64)	0,13	3,84	0,59
Плагиограниты Иченского массива	5	71,01	0,28	14,45	0,67	2,12	0,05	0,83 (25)	1,44 (25)	4,69 (25)	5,86 (25)	0,08	2,77	0,72
Биотитовые граниты Саринского массива	19	71,93	0,25	14,19	1,07	1,25	0,08	0,38 (26)	1,14 (26)	4,01 (26)	4,64 (26)	0,03	2,29	0,86
Биотитовые граниты Мустагского массива	22	75,33	0,17	13,35	0,07	1,11	0,04	0,46 (43)	0,52 (43)	3,97 (46)	4,29 (46)	0,03	1,76	0,87

* Здесь и далее в скобках — количество выполненных анализов.

Таблица 2

в породах Кондомского района, г/т

Средние содержания элементов-примесей

Породы	Коли- чество анали- зован-	Cr	Co	Ni	V	Sr	Ba	Pb	Zn	Zr
Анадезито-базальты	46	8,9	20,8 (38)	11,3	135	740 (21)	590	11	90	79 (46)
Серпент-хлорито- вые сланцы	42	6,2 (39)	1,13 (41)	7,3	82	350 (36)	500	4,8	53	66
Хлорит-биотит-по- левощатовые	19	2,1	11,8 (17)	5,0	94	500 (7)	740	8	68	65,5
Роговообманково- плагиоклазовые	31	32,1 (36)	12,7 (27)	11,1 (32)	74,6	400 (26)	360 (33)	9	48	62,2
Габброиды . . .	18	118,3	17,3 (17)	26,9	76	390	100	1	48	36,6
Биотит-роговооб- манково-полево- шпатовые р- говики . . .	49	4,8	8,9 (45)	3,6	72 (50)	500 (37)	780 (50)	10	39	84
Спенитизированные	26	1,6	10,1 (18)	1,5	80	540 (17)	1400	12	51	74
Спенитизированные роговики . . .	18	6,3	6,7 (14)	2,2	53	540 (11)	1400 (17)	19	60	100
Микроспенит-пор- фиры . . .	14	2,5	5,2 (12)	1,6	53,8	650 (6)	850 (13)	7	29	81
Спениты . . .	75	4,1	5,0 (59)	0,8 (76)	32,7	490 (45)	720 (76)	9	20	109
Плагиограниты Иенского массива	23	5,7	5,9	5,1	44	440 (24)	360	24	34	159
Биотитовые грани- ты Сарлыкского массива . . .	12	5,0	3,0 (10)	0,3	46,6	250	318	25	10	101
Биотитовые грани- ты Мустагского массива . . .	37	2,3	1,7	1,1	5,5 (35)	120	310	30	40	113
Гранодиориты Ник- ис-Каменушин- ского массива	3	5,0	10,0	9,0	66,7	370	530	15	10	110

Примечание. Количественный спектральный анализ на Co, Cr, Ni, V, Be, Zr выполнен (ИГИГ СО АН СССР); Вt, Rb, Cs определены атомно-адсорбционным методом И. Ю. Иванченко, В. И. Симоновой (ИГИГ); Ta, Nb, F — химическим методом (А. В. Сухаренко, П. П. Сердюкова).

нералы распределены в роговиках неравномерно, что обусловлено неравномерным выносом железа из контактной зоны на регressiveном этапе и отчасти наложением.

В участках Кондомской зоны, прилегающих к Мустагскому и Мало-каменушинскому гранитным массивам, гранитообразование проходило при повышенных температурах, что привело к формированию диорито-подобных пород роговообманково-, пироксен-плагиоклазового состава и пород гибридного облика. Гибридные породы обнаружены непосредственно вблизи зоны гранитообразования. В них наблюдаются округлые пятна — ксенолиты диоритового состава, промежутки между которыми заполнены более лейкократовой и крупнозернистой массой кварц-спенит-диоритового и гранодиоритового состава, реже образованиями типа игольчатых диоритов. С увеличением количества кварца породы теряют пятнистый облик и переходят в плагиограниты, с удалением от контакта

Be	Ta	Nb	Li	Rb	Cs	B	F	Nb/Ta	K/Rb	Zn/Pb	Mg/Li	Sr/Ba	K/Ba	Ca/Sr
0,9 (45)	0,4 (9)	57,9 (9)	15,0 (15)	45,6 (15)	4,0 (9)	26,3 (11)	1100 (12)	145 (9)	509	8,2	1627	1,25	39,3	73,9
1,3 (54)	0,9 (3)	39,4 (3)	22,0 (13)	67,1 (13)	3,2 (13)	75,0 (3)	1200 (3)	44,8	268	11,0	618	0,70	36,0	84,6
1,2 (21)	0,5 (2)	41,3 (2)	10,6 (5)	70,0 (5)	2,1 (4)	30,5 (2)	1400 (2)	89,8	483	8,5	1528	0,68	45,7	63,8
1,3 (48)	0,2 (2)	59,2 (2)	18,0 (17)	62,0 (17)	3,2 (17)	24,5 (2)	2100 (2)	246,5	377	5,3	1194	1,11	65,0	113,5
0,7 (24)			27,0 (6)	25,0 (6)	0,4 (6)				360	1718	3,90	90,0	216,4	
1,1 (58)	1,5 (7)	22,3 (7)	18,5 (15)	79,6 (15)	5,3 (12)	31,4 (7)	1600 (7)	15,4	428	3,9	865	0,64	43,7	99,2
1,4 (33)	1,1 (5)	22,1 (5)	6,2 (11)	105,0 (11)	3,9 (8)	35,6 (5)	1100 (5)	19,4	487	4,3	1355	0,39	36,5	53,5
1,5 (20)	1,2 (6)	19,9 (6)	5,0 (8)	119,0 (8)	5,0 (8)	29,0 (8)	600 (6)	16,3	542	3,2	1560	0,39	46,1	57,2
1,4 (15)	0,5 (3)	20,3 (3)	9,2 (5)	105,0 (5)	<5,0 (5)	72,0 (3)	1700 (3)	41,4	516	4,1	891	0,77	63,8	22,5
1,9 (92)	0,5 (18)	13,9 (18)	6,2 (34)	92,3 (33)	2,4 (30)	31,6 (15)	1100 (16)	27,3	526	2,2	774	0,68	67,5	35,7
1,9 (42)	0,5 (2)	9,0 (2)	18,3 (19)	92,0 (19)	7,8 (20)			17,2	347	1,4	273	1,22	88,6	23,4
2,6 (17)	2,4 (5)	28,7 (5)	52,0 (7)	130,6 (7)	4,4 (6)	15,0 (1)	1100 (1)	12,1	295	0,4	44	0,79	121,1	32,4
2,4 (60)	0,3 (9)	4,4 (9)	35,5 (23)	135,9 (24)	8,0 (24)			16,2	259	1,3	28	0,39	113,5	30,8
1,8	0,3	13,1	35,3	70,0	5,1			52,2	401	0,7	300	0,70	53,0	

Е. М. Дороховой (СНИИГГИМС); полуколичественный спектральный анализ — Н. А. Яковлевой (ИГИГ); Ba, Sr, Zn, Be, В — количественным спектральным методом аналитиками Г. В. Еремеевой, ИГИГ).

сменяющиеся роговообманково-биотитовыми и биотитовыми гранитами. Образования регressiveного постмагматического этапа представлены пироксен-гранатовыми, гранат-магнетитовыми скариями, скаполитовыми породами, а также интенсивной эпидотизацией, актинолитизацией, серпентизацией, карбонатизацией. С регressiveным этапом связано отложение промышленных магнетитовых руд.

Таким образом, «общий порядок геологических событий» в Кондомском железорудном районе соответствует процессу палингенного рожде-ния и эволюции сиенитовой и гранитной магмы, по представлению Ф. Н. Шахова (1960, с. 148): «региональный метаморфизм (рассланцевание, перекристаллизация, метасоматоз) — контактовый метаморфизм (перекристаллизация, метасоматоз, роговики) — зоны гибридных магм — гра-ниевые магмы — ритмическая (пульсационная) кристаллизация и уход летучих — застывание plutона».

Сравнение средних химических составов и содержаний элементов примесей в

Породы	Вес, %									
	Si	Ti	Al	Fe	Mn	Mg	Ca	Na	K	
По К. Турекьяну и К. Ведеполю (1961)	Базальты	23,0	1,38	7,8	8,65	0,15	4,6	7,6	1,8	0,83
	Сиениты	29,1	0,35	8,8	3,67	0,085	0,58	1,8	4,04	4,8
	Граниты, бедные Са	34,7	0,12	7,2	1,42	0,039	0,16	0,51	2,58	4,2
	Граниты, богатые Са	31,4	0,34	8,2	2,96	0,054	0,94	2,53	2,84	2,52
	Анделито-базальты	22,3	0,50	+	+	+	—	—	—	
		8,9	8,9	9,4	0,27	2,5	5,5	2,5	2,4	
	Серицит-хлорито- вые сланцы	23,6	0,42	+	—	0,14	1,3	3,0	2,0	1,8
	Сиениты	28,9	—	10,7	7,2	0,14	—	—	—	
		8,9	20,8	11,3	135	740	590	11	90	
	Иенские граниты	—	0,16	9,0	3,2	0,14	0,5	1,8	3,5	4,9
По нашим данным	Иенские граниты	33,2	0,17	7,7	2,2	0,04	0,5	1,0	3,5	3,2
	Сарлыкские гра- ниты	33,6	0,15	7,5	1,9	0,06	0,23	0,8	3,0	3,9
	Мустагские гра- ниты	35,2	0,10	7,1	1,4	0,03	0,10	0,4	2,9	3,6
	Каменушинские гранитоиды	—	—	—	—	—	—	—	—	

Примечание. Знак плюс — повышение, минус — понижение по сравнению с кларковыми

Ниже рассматривается поведение важнейших элементов и элементов-примесей в этих процессах (табл. 1, 2). Для подсчета средних химических составов пород по группам, существенно важным при рассмотрении процесса формирования сиенитоидов и гранитоидов, частично использованы результаты полных силикатных анализов ЗСГУ (см. табл. 1).

Состав вулканогенных пород Кондомского района отвечает ряду от базальтов до андезитов (Белоусов и др., 1969). Средний химический состав их близок к составу базальтов геосинклиналей, приведенному А. Б. Роновым и А. А. Ярошевским (1967) по Р. Дэли. Отличие состоит в несколько большем содержании в них алюминия и калия и меньшем — кремния, магния, кальция и титана. Те же особенности их обнаруживаются и при сравнении с толентовыми слабодифференцированными базальтами метаморфизованных эвгеосинклинальных толщ, по данным Н. Л. Добрецова (1975), и континентальной оливин-базальтовой формации, по данным В. А. Кутолиша (1969).

Средние химические составы андезито-базальтов, сланцев, сиенитов и гранитов Кондомского района сравнивались с данными по содержанию элементов в породах этих типов по К. Турекьяну и К. Ведеполю (Turekian, Wedepohl, 1961) (табл. 3). Кондомские андезито-базальты отличаются большими содержаниями алюминия, железа, марганца, натрия и калия и меньшими — титана, магния и кальция по сравнению с кларковыми. Наблюдающиеся различия в значительной степени могут быть результатом перекристаллизации и сиенитизации, в той или иной степени затрагивающих обычно андезито-базальты, от чего не удается полностью избавиться при подборе материала для анализа. В рассланцованных их разностях увеличиваются количества калия и алюминия и уменьшаются

Таблица 3
породах Кондомского района с кларковыми (по Турекьяну и Ведеполю, 1961)

Cr	Co	Ni	V	Sr	Ba	Pb	Zn	Zr	Be	Fa	Nb	г/т				
												Li	Rb	Cs	B	F
170	48	130	250	465	330	6	111	140	1	1,1	19	17	30	1,1	5	400
2	1	4	30	200	1600	12	130	500	1	2,1	35	28	110	0,6	9	1200
4,1	1	4,5	44	100	840	19	39	175	3	4,4	21	40	170	4	10	850
22,0	7	15	88	440	420	15	60	140	2	3,6	20	24	110	2	9	520
8,9	20,8	11,3	135	740	590	11	90	79	0,9	0,4	57,9	15	45,6	4	26,3	1100
6,2	11,3	7,3	82	350	500	4,8	53	66	1,3	0,9	39,4	22	67,1	3,2	75,0	1200
+	+	—	+	+	—	—	—	—	—	—	—	—	—	—	—	—
4,1	5,0	0,8	32,7	490	720	9	20	109	1,9	0,5	13,9	6,2	92,3	2,4	31,6	1100
+	+	+	+	+	—	—	—	—	—	—	—	—	—	—	—	—
5,7	5,9	5,1	44	440	360	24	34	159	1,9	0,5	9,0	18,3	92,0	7,8	—	—
+	+	—	+	+	—	—	—	—	—	—	—	—	—	—	—	—
5,0	3,0	0,3	46,6	250	318	25	10	101	2,6	2,4	28,7	52,0	130,6	4,4	15	1100
—	—	—	—	—	—	—	—	—	—	—	—	—	—	—	—	—
2,3	1,7	1,1	5,5	120	310	30	40	113	2,4	0,3	4,4	35,5	135,9	8	—	—
+	+	+	+	+	—	—	—	—	—	—	—	—	—	—	—	—
5,0	10,0	9,0	66,7	370	530	15	10	110	1,8	0,3	13,1	35,3	70,0	5,1	—	—

значениями.

содержания титана, железа, магния и кальция по сравнению с кларковыми для пород базальтового состава. При сопоставлении этих рассланцованных разностей с наименее измененными андезито-базальтами района обнаруживается уменьшение содержания главным образом двухвалентных катионов (Fe, Ca, Mg, Mn) при увеличении суммы кремния и алюминия.

Сиениты Кондомского района по среднему составу близки к составу, приведенному К. Турекьяном и К. Ведеполем (Turekian, Wedepohl, 1961) (см. табл. 3).

Все граниты района попадают в группу бедных кальцем. Химические составы гранитов Иенского и Сарлыкского массивов во многом сходны: в них повышены содержания титана, железа, магния, натрия, кальция относительно кларковых. Граниты Сарлыкского массива более близки к среднему граниту земной коры (Ронов, Ярошевский, 1967), гранитоиды Мустагского массива более аляскитовые.

Сравнение средних составов сиенитов и гранитов с составом исходных андезито-базальтов показывает увеличение в них содержания щелочей и кремния и вынос главной массы всех фемических компонентов. Расчет изменения содержаний Si, K и Na при палингенизм образование сиенитов и гранитов, произведенный только по уменьшению объема при выносе, дает более низкие содержания Si, K и отчасти Na по сравнению с фактическими данными. Это свидетельствует о необходимости их привноса.

Нами проведен подсчет баланса вещества для процесса образования сиенитов и сарлыкских гранитов за счет андезито-базальтов с учетом изменения объема по методу, описанному в работе В. В. Потапцева и И. Н. Маликовой (1974) (табл. 4). Образование сиенитов и гранитов палингенизм путем за счет пород андезито-базальтового состава возможно толь-

Таблица 4

Баланс вещества в процессе образования сиенитов и гранитов Кондомского района

Породы	Привнос				Вынос			
	Si	K	Na	Ti	Fe	Mg	Ca	
Сиениты								Об. %
Δc_1	7,20—10,55	7,76—9,28	2,72—3,71	0,14—0,16	1,44—1,62	2,34—2,64	4,74—5,50	
Σv	17,68—23,51 ($\bar{x}=20,61$)			8,66—9,92 ($\bar{x}=9,29$)				
Δv			11,32					
Граниты								Вынос
Δc_1	11,13—15,62	3,96—5,36	0,84—1,78	0,13—0,16	1,81—2,13	2,64—3,03	6,04—7,06	
Σv	15,93—22,76 ($\bar{x}=19,34$)			10,62—12,38 ($\bar{x}=11,50$)				
Δv			7,81					
Сиениты				Bес. %				
Δc_2	6,28—9,21	2,50—2,99	0,99—1,35	0,24—0,27	4,24—4,77	1,52—1,72	2,75—3,19	
Σp	9,77—13,55 ($\bar{x}=11,66$)			8,75—9,95 ($\bar{x}=9,34$)				
Δp			2,32					
Граниты								Примечания. Δc_1 и Δc_2 — пределы изменения содержаний элементов; Σv и Σp — пределы суммарного привноса и выноса; Δv и Δp — разница между средними привносом и выносом.
Δc_2	9,71—13,63	1,27—1,73	0,30—0,65	0,22—0,27	5,33—6,27	1,72—1,97	3,51—4,10	
Σp	11,28—16,01 ($\bar{x}=13,65$)			10,78—12,61 ($\bar{x}=11,69$)				
Δp			1,96					

ко при условии привноса одних компонентов (Si, K, Na) и выноса других (Fe, Ca, Mg, Ti). Суммарный привнос при образовании сиенитов около 11,7%; гранитов — 13,7 вес.%. При этом меняются количества всех приносимых элементов. Соотношение их в общем привносе составляет для сиенитов Si : K : Na = 6,6 : 2,4 : 1 и для гранитов — 35 : 3 : 1. При этом отношение кремния к суммарному привносу щелочей Si/K + Na меняется от 6 до 2.

Сравнение полученных результатов с результатами подсчета баланса тем же методом по Каркаралинскому массиву (Центральный Казахстан), расположенному в многосигнальных толщах (Потапьев, Маликова, 1974), показывает, что при образовании сарлыкских гранитов наблюдаются значительно большие величины привноса и выноса вещества. Для каркаралинских гранитов в поле распространения андезитовых порфиритов сарлыкских гранитов. Статистически значимый привнос натрия в Каркаралинском массиве наблюдался только в случае образования гранодиоритов по вулканогенным породам андезитового состава. В Кондомской эвгесинклинали при образовании сиенитов привнос Na очень незначителен. При необходимости содержание Na уже достигается только за счет выноса Fe, Mg и других компонентов.

Таким образом, источником Si и K отчасти служат глубинные флюиды (Коржинский, 1972; и др.). Определение истинного соотношения между их ролью и ролью местной дифференциации вещества в системе, границы которой выбираются произвольно, не представляется возможным, при более, что пока нет достаточно полных данных для учета объемов пород при подсчетах баланса.

На этапе регионального метаморфизма, характеризующемся состоянием сжатия, дифференциация натрия и калия может быть связана с процессом образования слоистых решеток; при этом натрий в присутствии калия обнаруживает большую подвижность. Фиксация калия в участках прогрессивного сжатия ограничена, и они могут быть его поставщиками. На этапе растяжения (формирование сиенитов и гранитов) наиболее емкими решетками для кремния и калия являются кварц и калиевый полевой шпат (Ициксон, 1970). Дифференциация магматического этапа и образование сиенитов представляются результатом увеличения химического потенциала щелочей в условиях начальных стадий магмообразования в породах основного и карбонатного состава (Коржинский, 1967).

Расчет баланса вещества при образовании сиенитов и гранитов Кондомского района показал, что суммарные привнос и вынос вещества увеличиваются в стадию формирования гранитов. Большую долю среди компонентов выноса составляет железо (по весу). Так, для случая образования сиенитов соотношение количеств выносимых компонентов Fe : Ca : Mg : Ti = 18 : 12 : 6,5 : 1, а гранитов — 23 : 15 : 7 : 1. Это подчеркивает большую роль сиенитов и гранитов как источников рудного вещества. Его локализация потенциально возможна с теми и другими породами.

Необходимо отметить существенный вынос кальция из зон магмообразования. Это определяет не только ассоциацию более кислых плагиоклазов, замену роговой обманки биотитом, но и резкое сокращение количества карбонатного вещества, что имеет большое значение для увеличения степени подвижности железа. Количество железа, как и других элементов-модификаторов, которое может удерживаться в возникающих богатых SiO_2 расплавах, ограничено (Мархасев, 1965).

По мере перехода от андезито-базальтов к рассланцованным разностям и затем к роговикам, сиенитизированным породам, сиенитам и гранитам последовательно уменьшается содержание суммарного железа (см. табл. 1). Наиболее резкие изменения отмечаются при переходе от андезито-базальтов к сланцам, в процессе сиенитизации и образования сиенитов и затем

при переходе к гранитам. Это свидетельствует о наиболее существенных изменениях физико-химических условий. Резкое уменьшение содержания железа в сланцах говорит о частичной его мобилизации и возможной концентрации уже на стадии регионального метаморфизма пород. В зоне глубинного разлома на стадии динамотермального метаморфизма на большой площади фиксируется переход значительной части железа из высокотемпературных силикатных минералов в более подвижную для его последующей мобилизации форму. Процесс деформации может вызывать перераспределение рудного материала, приводя к его концентрации, в то время как в формациях с недеформированной структурой этот материал находится в рассеянном виде (Громин, 1974).

От андезито-базальтов к сланцам резко возрастает степень окисленности железа (от 0,87 до 1,96 $\text{Fe}_2\text{O}_3/\text{FeO}$, см. табл. 1), что соответствует его переходу в рудные минералы и хлорит. На стадии контактового метаморфизма количество суммарного железа несколько снижается по сравнению со сланцами, степень окисленности значительно ниже (0,68). При переходе к сиенитизированным породам выносится железо преимущественно двухвалентной формы, при переходе к собственно сиенитам — трехвалентной. В дальнейшем при образовании гранитов также выносится железо трехвалентной формы (см. табл. 1).

Динамику изменения содержания железа по отношению к магнию дает анализ железистости пород ($\Sigma \text{FeO}/\text{FeO} + \text{MgO}$, см. табл. 1). Если на стадии рассланцевания пород вынос железа преобладал над выносом магния, то в стадию образования сиенитов и особенно гранитов в относительно большей пропорции выносится магний. При этом максимальную железистость имеют биотитовые граниты Мустагского массива (0,87). Возможно, более интенсивный вынос магния способствовал образованию в магматическую стадию рудной магнезиально-скарновой ассоциации.

Сравнение средних содержаний элементов-примесей в андезито-базальтах района с кларковыми содержаниями в базальтоидах, по К. Турекьянну и К. Ведеполю (Turekian, Wedepohl, 1961) (см. табл. 3), показывает более низкие содержания в породах района Cr, Co, Ni, V, отчасти Zn и несколько более высокие Sr, Ba, Cs, Pb, Nb, Rb и особенно В и F. Это, видимо, связано не столько с более кислым средним составом вулканитов, сколько с процессами их последующей перекристаллизации и преобразования как в стадию гранитизации, так и в постмагматическую стадию и в последующие стадии активизации. Еще более четко это выражено в рассланцованных породах, которые характеризуются уменьшением содержания Cr, Co, Ni, V, Sr, Pb, Zn, Zr, Ta как по сравнению с кларковым значением для базальтоидов, так и по сравнению с андезито-базальтами Кондомского района. Видимо, состав сланцев является сложной функцией перечисленных выше процессов; точно учесть степень влияния каждого типа пока не представляется возможным, хотя при подборе материала для анализа мы старались избежать наложенной минерализации.

Содержания Ta и Zr во вмещающих породах базальтоидного состава ниже кларковых, по К. Турекьянну и К. Ведеполю, а Be и Li — близки к ним. Это, вероятно, отражает особенности первичного состава пород.

Образование пород с биотитом, роговой обманкой и пироксеном (вплоть до типичных диоритов и габбро) приводит к фиксации железомагнезиальных компонентов в силикатной форме. Для них характерны также высокие содержания Cr, Co, Ni, V, Nb, за исключением Cr и Ni в хлорит-биотит-полевошпатовых породах, низкие содержания Pb, Zr и Ta. Содержания Li довольно высокие, что соответствует высокому содержанию Mg в них. При этом отношение Mg к Li сохраняется на уровне андезито-базальтов (см. табл. 2).

Большое геохимическое сходство с роговообманково-плагиоклазовыми и особенно хлорит-биотит-полевошпатовыми породами обнаруживают биотит-роговообманково-полевошпатовые роговики. Оно проявляется

прежде всего в особенности их макросостава: одинаковых содержаниях кремния и калия, алюминия, магния, суммарного железа и других петро- и степень окисленности железа. Все эти данные показывают, что роговики образуются в результате непосредственного развития процесса перекристаллизации хлорит-биотит-полевошпатовых пород в изохимических условиях. Однако на этом этапе отмечаются некоторые существенные изменения состава элементов-примесей: уменьшаются содержания Co, Ni, V, Zn, Nb, несколько возрастают содержания Zr, Li, Rb, Cs, В, Ta, F. Характерно снижение Mg/Li-отношения (за счет увеличения количества Li) и особенно Nb/Ta-отношения.

На этапе образования сиенитизированных пород и сиенитов наблюдается дальнейшее снижение содержания Zn, Co, Ni, V, Nb. Намечается тенденция к увеличению содержания Zr, Rb, Be, с некоторым увеличением K/Rb-отношения. В сиенитизированных породах сохраняется высокое Mg/Li-отношение, которое в два раза снижается в собственно сиенитах. Хотя уровень содержания Li и в тех и в других породах примерно одинаков, они существенно различаются по содержанию магния. Таким образом, на этапе формирования сиенитов судьба этих двух геохимически связанных элементов различна.

Содержание Sr в сиенитах выдерживается примерно на том же уровне, что и в роговиках и в хлорит-биотит-полевошпатовых породах, в то время как содержание CaO уменьшается в них в два-три раза (Ca/Sr-отношение изменяется от 64—100 до 23—36). В этой связи интересно отметить, что в хлорит-серпентитовых сланцах содержание Sr уменьшается параллельно уменьшению содержания кальция в породах. Таким образом, пары Mg и Li, Ca и Sr по-разному ведут себя в процессе сиенитизации. Содержание Ba в отличие от Sr увеличивается особенно резко в сиенитизированных породах. Это соответствует самим низким величинам Sr/Ba- и K/Ba-отношений. С увеличением содержания калия в породах Sr и Ba ведут себя различно: возрастание содержания калия не сопровождается уменьшением содержания Sr, как это ранее отмечалось (Emiliani, Fabbri, 1970).

Сиенитизированные породы и сиениты значительно отличаются по содержанию Ta и Nb. В сиенитизированных породах содержания Ta (1,4—1,5 г/т) близки к содержанию в роговиках и несколько выше (1,1 г/т), содержания Nb в тех и других породах практически одинаковы (20—22 г/т) и, видимо, унаследуются от роговиков. В собственно сиенитах содержание Ta резко падает (0,5 г/т), уменьшается также и содержание Nb (14 г/т). Однако если для Ta это болееично, так как он характеризуется более кислотными свойствами, чем Nb, то для Nb болееично возрастание содержания с ростом щелочности пород. Этой тенденции соответствует возрастание в сиенитах Nb/Ta-отношения. Вероятно, Nb и Ta в процессе образования сиенитов проявляют большее родство с фемиическими компонентами пород и следуют в своем поведении за Ti. Переход от сиенитизированных пород к сиенитам сопровождается уменьшением количества темноцветных минералов, которые, очевидно, служат основными посителями Ta и Nb. В отличие от редкометаллоносных массивов здесь, вероятно, нет условий для перехода Ta и Nb в собственные минералы.

Распределение элементов-примесей в процессе формирования гранитов показано на примере четырех массивов: гранит-гранодиоритового Нижнекаменушинского, плагиогранитов Иенского, биотитовых и роговообманково-биотитовых гранитов Сарлыкского и Мустагского. Последний располагается уже за пределами Кондомской зоны, но, по геофизическим данным, попадает в общий контур единого гранитоидного plutona.

Прежде всего, нужно отметить, что все граниты в целом характеризуются более низкими, чем для сиенитов, содержаниями Sr, Ba и более высокими содержаниями Pb и Li.

Таблица 5

Сравнение химического состава гранитоидов Каменушинского массива и Лебедского комплекса, вес. %

Породы	Количество анализа	SiO ₂	TiO ₂	Al ₂ O ₃	Fe ₂ O ₃	FeO	MnO	MgO	CaO	Na ₂ O	K ₂ O	P ₂ O ₅	ΣFeO
Граниты Лебедского района*	54	67,08	0,46	15,89	2,24	2,17	0,07	1,49	3,77	4,33	2,32	0,17	4,35
Граниты Верхнекондомского района*	36	67,31	0,46	16,45	1,59	2,44	0,07	1,32	3,13	4,58	2,53	0,13	3,87
Гранитоидит (Нижнекаменушинский)	1	58,00	0,80	18,55	—	—	0,14	3,07 (2)	6,03	3,37 (2)	2,67 (2)	—	5,36
Киселолит из гранитоидита (Нижнекаменушинский)	1	49,00	0,84	18,35	—	—	0,48	6,13 (2)	7,30	3,03 (2)	2,83 (2)	—	7,65
Гранит (Мал. Каменушинский)	1	65,00	0,41	18,20	—	—	0,08	1,00 (3)	3,00	3,91 (3)	1,73	—	3,42
Киселолит из гранита (Мал. Каменушинский)	1	63,00	0,84	18,00	—	—	0,10	1,20 (2)	2,20	3,87 (2)	3,56 (2)	—	4,50

* По данным Г. В. Поликова и др., 1977. Аналитик М. А. Зерка она.

Вместе с тем по содержанию ряда элементов-примесей гранитоидные массивы отличаются друг от друга. Обращают на себя внимание более высокие содержания Cr, Co, Ni, V, Sr, Ba в гранитоидах Нижнекаменушинского массива. Наблюдаются более низкие содержания в них Ta, Rb, K/Rb и Mg/Li — самые высокие для гранитоидов района. Эти их geoхимические особенности подтверждают предположение о пришадлежности каменушинских гранитоидов к более ранним и наименее дифференцированным раннепалеозойским гранитоидам (Кузнецов Ю. А. и др., 1971). По данным единичных квантострических анализов каменушинских гранитоидов, наблюдается близость их химического состава к химическому составу гранитов Лебедского и Верхнекондомского районов (табл. 5). Наиболее резко отличаются содержания калия и алюминия. И, наконец, небезынтересно отметить, что абсолютный возраст нижнекаменушинских гранитов по биотиту 411 и 434 млн. лет, по данным ЗСГУ.

В мустагских гранитах общий уровень содержания Cr, Co, Ni, V, Sr, Ba наименьший и максимальный — для Pb, Zn, Rb, Cs; высокое содержание Be. Все это свидетельствует о том, что граниты Мустагского массива представляют собой более дифференцированный тип гранитоидов. Для них к тому же характерны наиболее низкие Mg/Li- и K/Rb-отношения. Обращает на себя внимание тот факт, что в мустагских гранитах наблюдаются самые низкие по району содержания CaO, MgO, суммарного железа и самые высокие SiO₂. Пониженные содержания фемических компонентов сочетаются со значительным понижением содержаний Nb и Ta.

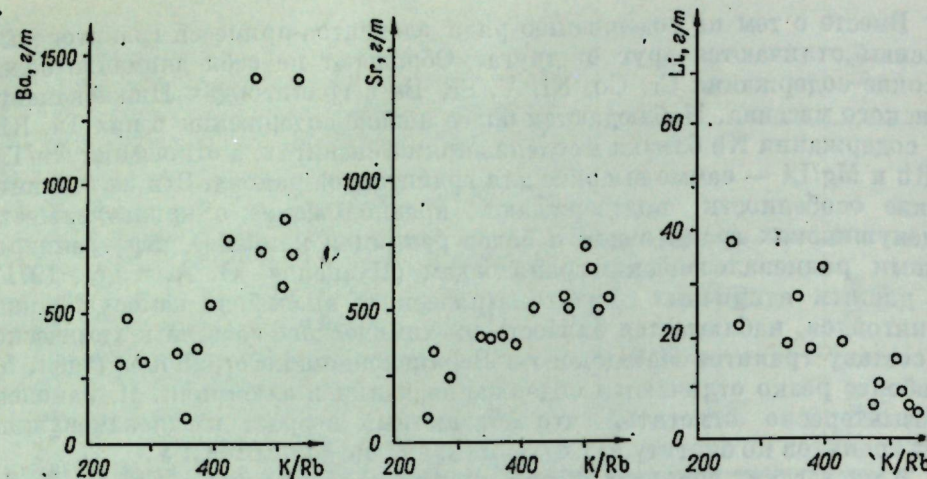
Граниты Сарлыкского массива не обладают столь отчетливо выраженным отдельными чертами: по количеству некоторых элементов (Cr, V, Sr, Zn, Cs) они напоминают гранитоиды Нижнекаменушинского массива, по содержанию ряда других элементов (Ba, Pb, Be, Rb) они близки к мустагским гранитам, отличаясь от тех и от других весьма низким содержанием Ni и высокими содержаниями Nb, Ta и Li. Последнее на данной стадии исследования не получает пока объяснения. Приведенные данные позволяют только сделать предположение о том, что по степени дифференциации вещества сарлыкские граниты занимают некоторое двойственное положение, сочетая в себе черты высоко- и слабодифференцированных гранитоидов.

Некоторые особенности гранитоидов района, очевидно, объясняются также различиями в составе исходных для них пород, в уровне их эрозионного среза. Детальный анализ этих факторов предполагается провести в дальнейшем.

Интересно отметить, что K/Rb-отношение в сиенитизированных породах и сиенитах близко и несколько выше, чем в андезито-базальтах, что, видимо, подчеркивает их гибридный характер (Зинченко, 1970); в гранитах оно значительно более низкое. То же можно сказать о Mg/Li- и Zn/Pb-отношении. Это свидетельствует об образовании гранитов на более высокой ступени дифференциации вещества. Наиболее близки к сиенитам по величине K/Rb-отношения гранитоиды Нижнекаменушинского массива.

K/Rb-отношение — один из надежных показателей степени дифференцированности гранитоидных пород (Таусон, 1961). Было показано, что распределение ряда элементов и прежде всего Li, Ba, Sr в породах зависит от содержания Rb и величины K/Rb-отношения (Коваленко, 1975; Boussely, Sokkari, 1975) (см. рисунок). Отчетливо прослеживается тенденция уменьшения Sr и Ba и рост содержания Li с уменьшением K/Rb-отношения (см. рисунок). Это свидетельствует о наличии общей тенденции в изменении вещественного состава пород Кондомского района, несмотря на сложный характер дифференциации вещества исходных андезито-базальтов.

Подводя итог рассмотрению распределения петрогенных элементов и ряда элементов-примесей в породах Кондомского района, нужно отме-



Зависимость средних содержаний Li, Sr и Ba в породах Кондомского района от величины K/Rb-отношения.

тить закономерное уменьшение в них содержаний Cr, Co, Ni, V, Nb, Zn, Ti, Mn, Mg, Ca, Fe, P и увеличение Si, K, Pb, Li, Zr, Be, Rb и других по мере изменения первичного андезито-базальтового субстрата. Процессы изменения выражаются в рассланцевании пород и региональном низкотемпературном метаморфизме, образовании хлорит-биотит-полевошпатовых и биотит-роговообманково-полевошпатовых роговиков, сиенитизированных пород и сиенитов и гранитов. Все это в итоге приводит ко все более полной дифференциации вещества исходных андезито-базальтов, сопровождающейся образованием гибридных, богатых железом пород (роговообманково-плагиоклазовых и роговообманково-пироксеново-плагиоклазовых), железных руд и скарнов. В этом смысле процесс мобилизации, а возможно, и концентрации рудного вещества является многоэтапным, полигенным, хотя, видимо, главная масса промышленных руд непосредственно связана со стадией образования сиенитов, что отмечается многими исследователями (Поспелов, 1958; Вахрушев, 1959; Поляков, 1971; Корель, 1972; и др.). Возможность мобилизации рудного вещества при гранитообразовании в региональном плане была показана А. В. Миловским и С. С. Матвеевой (1970).

Необходимо отметить, что элементы, содержание которых уменьшается по мере перехода от андезито-базальтов к сиенитам и гранитам, представляют собой центростремительные и минимально-центробежные, по классификации Ю. Г. Щербакова (1969). В поведении некоторых центробежных элементов (Sr, Ba, Ta, Li) наблюдались особенности, отмеченные выше. Содержания таких центробежных элементов, как Si, K, Pb, Zr, Rb, Li, дефицитно-центробежного Be увеличиваются в наиболее дифференцированных породах. Содержания дефицитно-центробежных Ag, Bi, Sn, Sb, Вi, часто Mo весьма малы и находятся за пределами чувствительности спектрального анализа.

Таким образом, перераспределение вещества в породах Кондомского района, в конечном итоге приводящее к образованию железорудных месторождений, выражает общий процесс дифференциации земной коры. Примечательно, что на этой стадии содержания большинства центростремительных и минимально-центробежных элементов в наиболее дифференцированных породах превосходят кларковые, в то время как для многих центробежных элементов кларковые значения не достигаются. Это важное свидетельство ведущей роли степени дифференциации субстрата в формировании состава гранитоидов и связанных с ними рудных месторождений (Щербаков, 1964).

ВЫВОДЫ

1. Изучение последовательных изменений петрографического и химического состава пород Кондомской металлогенической зоны приводит к выводу о наличии общей закономерности дифференциации андезито-базальтового вещества с привносом Si и щелочей и палингенного образования сиенитов и гранитов. Подсчет баланса вещества с учетом изменения объема показал величину суммарного привноса Si, K и Na при образовании сиенитов 11,7 вес. %, при образовании гранитов — 13,7 вес. % и величину привнесенного Si и вынесенных Fe, Mg, Ca, Ti — 9,3 и 11,7 вес. % соответственно. При этом доля привнесенного Si и вынесенных Fe, Mg, Ca возрастает в стадию образования гранитов.

2. Этот процесс сопровождается общей тенденцией уменьшения в породах содержания ряда центростремительных и минимально-центробежных элементов-примесей (Cr, Co, Ni, V, Zn) и связанных с фемическими компонентами (главным образом, видимо, с Ti), Nb и отчасти Ta. Содержания центробежных Pb, Zr, Rb, Li, дефицитно-центробежного Be увеличиваются в наиболее дифференцированных породах. Таким образом, дифференциация вещества в Кондомской зоне в главных чертах отражает общее направление дифференциации земного вещества (Виноградов, 1959; Виноградов, Ярошевский, 1970; Щербаков, 1969).

3. Процесс дифференциации исходного андезито-базальтового вещества многостадийный: 1) рассланцевание пород и региональный низкотемпературный метаморфизм; 2) образование хлорит-биотит-полевошпатовых пород и биотит-роговообманково-полевошпатовых роговиков; 3) образование сиенитизированных пород и сиенитов и 4) гранитов. Он сопровождается образованием силикатных пород средне-основного состава, рудных магнезиальных скарнов, а на регressive этапе — известковых скарнов и железных руд и другой минерализации. Таким образом, процесс мобилизации, а возможно, и концентрации рудного вещества, является многоэтапным, полигенным.

4. Гранитоиды Кондомского района, образованные за счет слабодифференцированного субстрата, содержат повышенные по сравнению с кларковыми количества ряда центростремительных и минимально-центробежных элементов (Ti, Fe, Mg, Ca, Na, Cr, Co, Ni) и Sr и более низкие — центробежных и дефицитно-центробежных элементов (K, Ba, Zr, Ta, Nb, Li, Rb). Это, видимо, общая черта, отличающая эвгесинклинальные гранитоиды от миогеосинклинальных, образующихся на основе более дифференцированной коры. Она показывает зависимость состава гранитов от состава исходных пород, что в конечном итоге определяет их металлогеническую специализацию.

ЛИТЕРАТУРА

- Алабин Л. В. О явлениях магматического замещения при формировании гранитоидов Мартайгинского комплекса. — В кн.: Вопросы геологии Сибири, Изд-во ТГУ, 1971, с. 173—174.
 Алабин Л. В. Геохимические особенности рицинапалеозойских гранитоидов фемических зон эвгесинклинали Кузнецкого Алатау. — В кн.: Магматизм, литология и вопросырудоносности Сибири. Новосибирск, Зап.-Сиб. кн. изд-во, 1974, с. 46—51. (Труды зап.-сиб. отд. Всес. минералог. об-ва, вып. 1).
 Белоусов А. Ф., Кочкин Ю. Н., Полякова З. В. Вулканические комплексы рифей и нижнего палеозоя Горного Алтая, Горной Шории и Салаирского кряжа. М., «Наука», 1969, с. 283.
 Вахрушев В. А. Вопросы минералогии, геохимии и генезиса железных руд Кондомского района Горной Шории (Западная Сибирь). Новосибирск, Изд-во СО АН СССР, 1959.
 Виноградов А. П. Химическая эволюция Земли. М., РИО АН СССР, 1959.
 Виноградов А. П., Ярошевский А. А., Ильин И. П. Физико-химическая модель разделения элементов в процессе дифференциации вещества мантии. — «Геохимия», 1970, № 4, с. 389—402.

- Громин В. И. О структурах геологических формаций.— В кн.: Вопросы общей и теоретической тектоники. Хабаровск, 1974, с. 86—90.
- Дербиков И. В. К вопросу о первичной зональности лиофильных элементов в железорудных скарновых месторождениях Западной Сибири.— В кн.: Материалы по геологии и полезным ископаемым Западной Сибири. М., Госгеолтехиздат, 1961, с. 3—43. (Труды СНИИГГИМС, вып. 6).
- Добрецов П. Л. Петрохимические особенности океанических и рифигеосинклинальных базальтов.— «Геол. и геофиз.», 1975, № 2, с. 11—25.
- Зинченко О. В. К геохимии рубидия в процессах гибридизма гранитоидной магмы.— В кн.: Материалы по геологии, гидрогеологии, геофизике и геохимии Украины, Казахстана и Забайкалья. Киев, Изд. Киевского ун-та, 1970, с. 58—63.
- Иванова Г. М. Геохимические особенности габбро-свенитового комплекса на участке рудника Таштагол.— «Известия ТПИ», 1966, т. 151, с. 149—151.
- Иванова Г. М. К вопросу состава габбро-свенитового комплекса в южной части Кондомской железорудной зоны.— «Известия ТПИ», 1969, т. 166, с. 51—63.
- Ильин С. С. Связь явлений магматического замещения с рудообразованием.— В кн.: Основные идеи М. А. Усова в геологии. Алма-Ата, 1960, с. 435—444.
- Ильин С. С. Генетические связи оруденения с интрузиями.— В кн.: Геология золоторудных месторождений Сибири. Новосибирск, «Наука», 1970, с. 3—30.
- Ициксон Г. В. Кристаллохимическое фракционирование калия и натрия в метаморфических процессах и его металлогеническое значение.— В кн.: Региональный метаморфизм и метаморфическое рудообразование. Л., «Наука», с. 172—195.
- Коваленко В. И. Некоторые проблемы происхождения редкометальных гранитоидов.— «Записки Всес. минералог. об-ва», 1975, ч. 104, вып. 6, с. 664—677.
- Корель В. Г. Петрология магнетитовых месторождений Алтай-Саянской области. М., «Недра», 1972. 150 с.
- Корель В. Г. Об энергии контактового процесса.— В кн.: Новые данные по рудным полезным ископаемым Сибири.— «Труды СНИИГГИМС», 1973, вып. 171, с. 8—14.
- Коржинский Д. С. Режим кислотности и щелочности трансмагматических растворов.— В кн.: Проблемы кристаллохимии минералов и эндогенного минералообразования. Л., «Наука», 1967, с. 163—169.
- Коржинский Д. С. Потоки трансмагматических растворов и процессы гранитизации. В кн.: Магматизм, формации кристаллических пород и глубины Земли. М., «Наука», 1972, с. 144—152.
- Кузнецов В. А. Геотектоническое районирование Алтай-Саянской складчатой области.— В кн.: Вопросы геологии Азии. Т. I. М., Изд-во АН СССР, 1954, с. 202—227.
- Кузнецов В. А. Тектоническое районирование и основные черты эндогенной металлогении Горного Алтая.— В кн.: Вопросы геологии и металлогении Горного Алтая. М., «Наука», 1963, с. 7—66. (Труды ИГИГ, вып. 13).
- Кузнецов В. А., Дистанов Э. Г., Оболенский А. А., Сотников В. И., Тычинский А. А. Основы формационного анализа эндогенной металлогении Алтай-Саянской области. Новосибирск, «Наука», 1966. 156 с.
- Кузнецов Ю. А., Изюх Э. П. Геологические свидетельства интрапеллурических потоков тепла и вещества как агентов метаморфизма и магмообразования.— В кн.: Проблемы петрологии и генетической минералогии. Т. 1. М., «Наука», 1969, с. 7—20.
- Кузнецов Ю. А., Богибов В. И., Дистанова А. Н., Сергеева Е. С. Раннепалеозойская гранитоидная формация Кузнецкого Алатау. М., «Наука», 1971. 352 с.
- Кутолин В. А. Статистическое изучение химизма базальтов разных формаций. М., «Наука», 1969. 142 с.
- Лапин С. С. Термохимические условия развития рудообразующих систем и распределение элементов-примесей в магнетите Кондомских железорудных месторождений (Горная Шория).— В кн.: Физическое и физико-химическое моделирование рудообразующих систем. Новосибирск, «Наука», 1973, с. 162—180.
- Мархасев Б. И. О строении расплавленных спилков. ЖСХ, 1965, т. 6, № 1.
- Миловский А. В., Матвеева С. С. Поведение элементов в процессе гранитизации пород.— «Геол. рудных месторожд.», 1970, № 3, с. 3—22.
- Орлов В. П. К вопросу о магматическом замещении при образовании свенитов Кондомского района.— В кн.: Геология и полезные ископаемые Сибири. Т. 2. Томск, 1974, с. 20—21.
- Поляков Г. В. Явления мобилизации железа при образовании эндогенных магнетитовых месторождений юга Сибири.— «Геол. рудных месторожд.», 1967, № 1, с. 3—18.
- Поляков Г. В. Палеозойский магматизм и железоруденение юга средней Сибири. М., «Наука», 1971. 312 с.
- Поляков Г. В., Кривенко А. П., Богибов В. И. Корреляция состава базитовых и гранитоидных комплексов раннего палеозоя в структурах салаирод Алтай-Саянской складчатой области.— В кн.: Магматические формации Сибири. Новосибирск, «Наука», 1977 (Труды ИГИГ, вып. 359).
- Поспелов Г. Л. О явлениях замещения при образовании эфузивовидных пород и об особенностях некоторых рудоносных вулканических комплексов Западной Сибири.— В кн.: Магматизм и связь с ним полезных ископаемых. М., Изд-во АН СССР, 1955, с. 345—371.
- Поспелов Г. Л. Генетические типы железорудных месторождений Алтай-Саянской горной области.— В кн.: Железорудные месторождения Алтай-Саянской горной области. Т. 1, кн. 1. М., Изд-во АН СССР, 1958, с. 93—124.
- Потапьев В. В., Маликова И. П. Баланс вещества в процессе формирования Каркарапонов А. Б., Ярошевский А. А. Химическое строение земной коры.— «Геохимия», 1967, № 11, с. 1285—1309.
- Суников В. П., Мамонтов И. Ф., Ашурков В. А., Антипин М. И. Некоторые особенности тектонического строения Кондомского железорудного района по геофизическим данным.— В кн.: Проблемы генезиса, закономерности размещения железоруденения Алтай-Саянской складчатой области. Новосибирск, 1974, ч. 2, с. 106—119.
- Таусон Л. В. Геохимия редких элементов в гранитоидах. М., Изд-во АН СССР, 1961. 231 с.
- Чистяков В. Г. Геохимические особенности интрузивных и ультраметаморфических комплексов Алтай-Саянской складчатой области.— В кн.: Вопросы геологии Сибири. Томск, Изд-во ТГУ, 1971, с. 168—169.
- Шахов Ф. И. О происхождении гранитных магм и рудных месторождений.— В кн.: Магматизм и связь с ним полезных ископаемых. М., 1960, с. 110—121.
- Щербаков Ю. Г. Новые данные о геологическом строении Горной Шории.— «Геол. и геофиз.», 1961, № 6, с. 61—73.
- Щербаков Ю. Г. О корреляционной зависимости рудных комплексов, связанных с гранитоидами, от состава вмещающих формаций.— «Докл. АН СССР», 1964, т. 156, № 2, с. 359—362.
- Щербаков Ю. Г. Распределение химических элементов в Земле и рудоносность магм.— В кн.: Вулканализм и рудообразование. Новосибирск, 1969, с. 44—48. (Труды СНИИГГИМС, вып. 90).
- Bouscilly A. M., Sokkary A. A. The relation between Rb, Ba and Sr in granitic rocks.— «Chem. geol.», 1975, 16, p. 207—219.
- Emiliani F., Fabbri B., Paganelli L., Vespiagnani-Balsani. Sr, Ba, Fe, Mg, Mn and Ti distribution in the leucomonzodioritesyenite series of the Predazzo intrusive complex.— «Mineral et petrograph. acta», 1970, v. XVI, p. 45—73.
- Turekian K. K., Wedepohl K. H. Distribution of the elements in some major units of the earth's crust.— «Bull. Geol. Soc. of Amer.», 1961, v. 72, № 2.

М. П. МАЗУРОВ, М. М. ФЕДОСЕЕВА

ТЕМПЕРАТУРЫ КРИСТАЛЛИЗАЦИИ БАБИНГОНИТА И ИЛЬВАНТА В ЖЕЛЕЗОНОСНЫХ ИЗВЕСТКОВЫХ СКАРНАХ

Железосодержащие кальциевые силикаты бабингтонит и ильвант встречаются в природе редко и не образуют при этом крупных скоплений. С трудом поддаются они и синтезу. В литературе описаны единичные случаи удачного синтеза ильванта в гидротермальных условиях (Малиновский, 1973; Gustafson, 1974; и др.). Бабингтонит же впервые был получен Г. Ю. Шведенковым при исследовании кинетики гидротермального синтеза андрадита в системе $\text{CaCo}_3 - \text{Fe}_2\text{O}_3 - \text{SiO}_2$ раствор NaCl при температуре 500°C и давлении 500 атм (Шведенков, Калиниченко, 1972). Ограниченнная распространенность при довольно простом составе этих минералов позволяет предполагать о специфичности условий их образования. Вероятно, поля их устойчивости значительно ограничены температурой и величиной окислительно-восстановительного потенциала, так как оба минерала содержат разновалентные катионы железа. Может оказаться, что минеральные парагенезисы с их участием — хорошие индикаторы параметров гидротермального минералообразования.

Нами сделана попытка определить температурные условия кристаллизации бабингтонита и ильванта в известковых скарнах и железных рудах минералотермометрическими методами (гомогенизацией газово-жидких

включений и декрепитацией). Материалом для исследования послужила коллекция, собранная при изучении Ирбисского железорудного поля в Восточном Саяне. Геологическая позиция, петрология и генетические особенности месторождений обстоятельно изложены в коллективной монографии (Дымкин и др., 1975). Образование бабингтонита и ильвайта здесь связывается с гидротермальным преобразованием известковых скарнов и содержащихся в них железных руд в контактовом ореоле послерудной интрузии сиенитов (Мазуров и др., 1975). Совместно эти минералы не были обнаружены.

Минеральные ассоциации с бабингтонитом встречены пока только на Центральном месторождении. Достаточно обособлены друг от друга три минеральных парагенетических ассоциации с бабингтонитом: 1) бабингтонит + эпидот + пренит + кальцит; 2) бабингтонит + эпидот + актинолит + кальцит; 3) бабингтонит + магнетит + гранат + эпидот + актинолит. Бабингтонит-эпидот-пренит-кальцитовые новообразования слагают цемент брекчированных и перекристаллизованных пироксен-гранатовых скарнов, образующих ветвящиеся трубообразные тела сечением в несколько метров и протяженностью до 20 м. От контакта с интрузией сиенитов они удалены на 70–100 м. По оптическим свойствам состав обломков граната и пироксена идентичен их регенерационным каймам. Гранат отвечает формуле $\text{And}_{96} \text{ Gross}_{04}$ ($N = 1,883$), а пироксен — $\text{Di}_4 \text{ Ged}_{55}$ ($Ng = 1,730$; $Np = 1,697$). Эпидот ($Ng = 1,773$; $Np = 1,737$, 32% ферросиликатового минала) и бабингтонит ($Ng = 1,753$; $Nm = 1,731$, $Np = 1,721$, сильный плеохроизм: по Ng — оранжево-коричневый, по Nm — зеленовато-коричневый, по Np — голубовато-зеленый) образуют тесные взаимные срастания и вместе с кальцитом ($No = 1,683$) слагают интерстиции граната и пироксена (см. фото). Пренит ($Ng = 1,653$, $Np = 1,619$) встречается в единичных игольчатых и розетковидных зернах, корродирующих все остальные минералы. Более распространены он в существенно карбонатных гнездах, где, как и бабингтонит и эпидот, образует хорошо ограниченные кристаллы. Эпидот в карбонатных гнездах имеет меньшую железистость ($Ng = 1,760$, $Np = 1,725$, $f = 24$), все другие минералы по оптическим свойствам идентичны. Изредка здесь отмечаются зерна кварца и минералов последующих стадий — хлорита и апофиллита.

Бабингтонит-эпидот-актинолит-кальцитовая минеральная ассоциация обнаружена в перудных прослоях оруденелых и амфиболизированных пироксен-гранатовых скарнов. Бабингтонит здесь образован несколько раньше эпидота. Последний вместе с кальцитом почти полностью замещают ранее образованные минералы, сохранив лишь мелкие иглы актинолита и одиночные зерна бабингтонита, выделяющиеся по рельефу, яркому плеохроизму и спайности по (001).

Бабингтонит-магнетит-гранат-эпидот-актинолитовая минеральная парагенетическая ассоциация развита в форме друз среди перекристаллизованной магнетитовой руды. Бабингтонит здесь встречается в виде прекрасно ограниченных смоляно-черных кристаллов (2–3 мм длиной), сопротивляемых с кристаллами других минералов. Многочисленная индукционная штриховка граней и ребер минерала достаточно определенно свидетельствует о совместном росте этих минералов в полостях выщелачивания. По оптическим свойствам бабингтонит этой ассоциации одинаков с предыдущими. Химический состав минерала, тщательно отобранный из друз, следующий (вес. %): $\text{SiO}_2 51,27$; $\text{Al}_2\text{O}_3 2,09$; $\text{Fe}_2\text{O}_3 14,38$; $\text{FeO} 5,14$; $\text{MnO} 3,00$; $\text{MgO} 3,06$; $\text{CaO} 18,91$; $\text{Na}_2\text{O} 0,26$; $\text{K}_2\text{O} 0,07$; $\text{Li}_2\text{O} 0,07$; $\text{H}_2\text{O} - 0,04$; $\text{H}_2\text{O}^+ 1,56$; сумма 99,85 (аналитик Э. С. Гулецкая, ИГиГ СО АН СССР). Пересчет на основе 10 катионов: $\text{Si} 4,81$; $\text{Al} 0,23$; $\text{Fe}^{3+} 1,00$; $\text{Fe}^{2+} 0,40$; $\text{Mg} 0,41$; $\text{Mn} 0,24$; $\text{Ca} 1,90$; $\text{Na} 0,04$; $\text{K} 0,01$; $\text{OH} 0,96$. По химическому составу, оптическим свойствам и минеральным парагенезисам он очень близок к бабингтонитам из железорудных месторождений Одинцовское и Рудный Каскад в соседнем районе Восточного Саяна (Виноградова, Плюснина, 1967).

Наиболее подходящей для минералотермометрических исследований оказалась бабингтонит-эпидот-пренит-кальцитовая парагенетическая ассоциация, где удалось выявить и провести гомогенизацию газово-жидких включений во всех минералах. Эксперименты выполнены в термокамере конструкции Ю. А. Долгова и Л. Ш. Базарова (1965). Герметичность включений проверялась повторением опытов. Все полученные цифры приводятся ниже без поправок на давление и солевой состав включений, оценить которые не удалось из-за очень мелкого размера включений и связанных с этим технических трудностей.

Как и следовало ожидать, наиболее высокотемпературными оказались включения в гранатах и пироксенах. В интервале 740–760°C гомогенизированы газово-жидкие включения овальной или каплевидной формы, размером менее 0,005 мм каждое, которые группами, по 5–7, размещаются в центре однородных зерен пироксена и зональных зерен граната. Максимальное число исследованных включений в гранатах гомогенизировано в интервале 540–600°C. Эти включения размещаются либо на плоскостях ступенчатых граней ромбододекаэдра, имея при этом неправильную форму с неровными линейно-округлыми очертаниями, либо сосредоточены группами в участках соприкосновения растущих граней двух или нескольких индивидов. В последнем случае они более мелкие, изометрической формы и очень редко удлиненные. Во всех включениях содержится жидккая углекислота. Соотношения газа и жидкости изменчивы в различных зернах и зонах, но какой-либо закономерности в этом не устанавливается. Все они гомогенизированы в жидкость. Для гранатов характерно, что кристаллизация их начинается с многочисленных зародышей, последовательно объединенных общими внешними гранями вплоть до образования крупных метакристаллов. Однаковый температурный интервал гомогенизации включений, размещенных на гранях и индукционных ребрах, подтверждает предположение, что метакристаллы формируются в процессе изначального роста, а не при последующей перекристаллизации. Цепочками, ориентированными незакономерно относительно кристаллографических элементов, развиты в гранатах и пироксенах вторичные включения. Часть из них размещена на продолжении прерывистых микротрещин, по которым эти минералы корродируются более поздними эпидотом и бабингтонитом. Температура гомогенизации 450–500°C.

В бабингтоните первичные газово-жидкие включения немногочисленны. С полной достоверностью выполнена гомогенизация лишь их трех групп, осуществившаяся при 450–480°C в жидкость. Газово-жидкие включения имеют овальную форму, соотношение фаз близко 1:1. Более многочисленны первично-вторичные включения, особенно в зернах, размещающихся в кальцитовых гнездах. Гомогенизируются они при 360–400°C, что сопровождается потемнением препарата и затрудняет наблюдения.

В прените газово-жидкие включения имеют чаще всего прямоугольный облик, изменчивые соотношения газовой и жидкой фаз, гомогенизированы при 360–400°C. Самое большое число включений содержится в кальците; гомогенизация их осуществлена в широком интервале — от 500 до 300°C.

Таким образом, наиболее вероятные температуры кристаллизации бабингтонит-эпидот-пренит-кальцитовой минеральной ассоциации находятся в интервале 480–360°C. При более низких температурах минералы хотя и устойчивы, но даже не регенерируют свои зерна. Самый высокотемпературный минерал — бабингтонит, образующийся при 450–480°C, а при более низких температурах регенерирующий свои кристаллы.

Ильвайт в Ирбисском рудном поле встречен нами (Мазуров, 1970) в северной части Гранатового месторождения, среди катализированной апоскарновой пирротин-магнетитовой руды в контактовом ореоле послерудной интрузии сиенитов. Ильвайт здесь представлен хорошо ограниченными короткопризматическими кристаллами (около 5 мм длиной) и зерни-

стыми скоплениями, образующими вместе с кальцитом, кварцем и другими минералами гнезда до нескольких сантиметров в поперечнике. По наблюдениям в шлифах, ильвант замещает магнетит, широтин, гастигсит ($Ng = 1,705$, $Np = 1,676$) и гранат состава Гед₃₂Гед₆₈ (Н_g = 1,710, Н_p = 1,685), широксен состава Грос₆₀Андр₄₀ (Н_g = 1,799), находится во взаимных срастаниях с кварцем и корродируется кальцитом, хлоритом, гематитом, халькопиритом и пиритом. Химический состав ильванита следующий (вес. %): SiO₂ 29,52; TiO₂ 0,13; Al₂O₃ 0,82; Fe₂O₃ 17,97; FeO 30,91; MnO 4,01; MgO 0,78; CaO 13,09; Na₂O 0,12; K₂O 0,07; H₂O⁺ 2,23; P₂O₅ 0,03; сумма 99,68 (Аналитик Л. А. Непешина, ИГИГ СО АН СССР). Пересчет на основе 9 атомов кислорода: Si 2,00; Al 0,07; Fe³⁺ 0,91; Mg 0,08; Mn 0,73; Fe²⁺ 1,72; Ca 0,99; OH 0,99. Оптические свойства: Н_g = 1,917; Н_p = 1,775. Микротвердость (кг/мм²): максимальная — 662, минимальная — 580.

Ильвант — слабо прозрачный минерал. В толстых препаратах он неопрозрачен, а в тонких пластинах почти все содержащиеся в нем газово-жидкие включения разрушаются.

С целью температурных оценок нами выполнена декрепитация нескольких мономинеральных фракций ильванита на декрепитографе марки Д-1. Полный цикл нагревания пробы в этом приборе производится от температуры окружающего воздуха до 900°C в течение 35 мин. Прибор регистрирует импульсы декрепитации с частотой следования не менее 5 имп./с. Слабые эффекты растрескивания включений отмечались в пробах начиная с 330°C. Массовая декрепитация осуществлялась в интервале 420—510°C, причем наибольший эффект декрепитации отвечает температуре 420°C. Известный по литературным данным (Родзянко и др., 1973) интервал декрепитации ильванита из Тырныаузы составляет 185—500°C, что довольно близко исследованному нами образцу.

Важную информацию о температурах кристаллизации ильванита можно получить, как это было показано в свое время Л. Н. Хетчиковым (1956), исследуя ассоциирующийся с ним кварц. В кварце из кварц-кальцит-ильванитовой ассоциации Ирбинского рудного поля содержатся многочисленные газово-жидкие включения, пригодные для термометрических наблюдений. Твердые фазы во включениях крайне редки. Жидкость и газ находятся примерно в одинаковых количествах. Во всех включениях в очень небольших количествах содержится жидккая углекислота. Форма включений каплевидная, овальная, удлиненная, трубчатая и варьирует в зависимости от сечения препарата. Так, на гранях призмы форма включений удлиненная, а в срезе, перпендикулярном удлинению кристалла, включения имеют каплевидную, близкую к изометрической форму.

Всего было выполнено 87 опытов по гомогенизации первичных газово-жидких включений в кварце. Наибольший интерес представили препараты, в которых отчетливо наблюдались одновременно несколько групп включений, сосредоточенных по зонам роста. В центральных участках зерен кварца включения меньше, гомогенизированы они при 460—480°C. Самая большая группа включений (68 из 87 опытов) гомогенизирована в интервале 360—420°C. Несколько групп включений в периферических частях зерен кварца гомогенизированы при 320—340°C. Все остальные включения, гомогенизирующиеся при более низкой температуре и развитые неизвестно по отношению к зонам роста, отнесены нами в разряд вторичных. Их возникновение связано с заливанием трещин, образованных в кварце при более поздней хлоритизации и сульфидном (халькопирит-глениит-сфалеритовом) оруденении.

Таким образом, термометрическое исследование кварца показывает, что начало кристаллизации кварца осуществилось при 460—480°C, а массовый его рост — при 360—420°C. Интервал 360—420°C мы принимаем за наиболее вероятный для формирования кварц-ильвантового парагенезиса. Более высокие цифры температур декрепитации обусловлены, как это принято считать, «инерционностью» декрепитографов, которая для каждого

минерала имеет свою величину и должна в каждом конкретном случае определяться экспериментально.

Выполненные минералогометрические исследования позволяют заключить, что бабингтонит и ильвант в железоносных известковых скарнах действительно имеют достаточно узкий интервал температур образования. Бабингтонит участвует в нескольких парагенезисах, в том числе находится в равновесных соотношениях с магнетитом и гранатом. Наиболее вероятный интервал кристаллизации бабингтонит-эпидот-пренит-кальцитовой ассоциации составляет 480—360°C, причем бабингтонит вместе с эпидотом кристаллизуются преимущественно при температурах 450—480°C, а вместе с пренитом и эпидотом — при 450—360°C. Ильвант находится в реакционных соотношениях со скарновыми минералами, а также с гастигситом, магнетитом и пирротином и образуется совместно с кварцем (и кальцитом). Наиболее вероятно, что кристаллизация кварц-ильвантовой ассоциации осуществлялась при температурах 420—360°C. В железоносных известковых скарнах поле устойчивости ильванита смешено в более низкотемпературную область по отношению к полю бабингтонита.

ЛИТЕРАТУРА

- Виноградова Р. А., Плюснина И. И. Состав, свойства и кристаллохимические особенности минералов изоморфного ряда ферробабингтонит-магнабабингтонит. — «Вестник МГУ. Серия геол.», 1967, № 4, с. 54—67.
- Долгов Ю. А., Базаров Л. Ш. Камера для исследования включений минералообразующих растворов-расплавов при высоких температурах. — В кн.: Минералогическая термометрия и барометрия. М., «Наука», 1965, с. 118—123.
- Дымкин А. М., Мазуров М. П., Николаев С. М. Петрология и особенности формирования магнетитовых месторождений Ирбинского рудного поля (Восточный Саян). Новосибирск, «Наука», 1975. 188 с.
- Мазуров М. П. Ильвант из Ирбинского рудного поля (Восточный Саян). — В кн.: Проблемы региональной геологии и петрографии Сибири и методы геохимических и геофизических исследований. Вып. 2. Новосибирск, 1970, с. 72—74.
- Мазуров М. П., Могилева М. П., Непешина Л. А. Преобразования магнетитовых руд и известковых скарнов в контактовых зонах послерудных интрузий Ирбы. — В кн.: Локальный метаморфизм руд. Новосибирск, «Наука», 1975, с. 45—57. (Труды ИГИГ, вып. 269).
- Малиновский И. Ю. Парагенетические ассоциации магнетита в системе CaCO₃—Al₂O₃—SiO₂—Fe₂O₃ в растворах хлоридов натрия и калия. Новосибирск, «Наука», 1973. 112 с.
- Родзянко Н. Г., Нефедов И. К., Свириденко А. Ф. Редкометальные скарны Тырныауза. М., «Недра», 1973. 216 с.
- Хетчиков Л. Н. Об ильванте скарново-полиметаллических месторождений. — «Минералог. сб. Львов. геол. об-ва», 1956, № 10, с. 298—304.
- Шведенков Г. Ю., Калинин Д. В. Влияние избытка Fe₂O₃ и SiO₂ на скорость синтеза андрадита в системе CaCO₃—Fe₂O₃—SiO₂—раствор NaCl. — «Докл. АН СССР», 1972, т. 205, № 2, с. 443—445.
- Gustafson W. I. The stability of andradite, hedenbergite and related minerals in the system Ca—Fe—Si—O—H. — «J. Petrol.», 1974, v. 15, N 3, p. 454—496.

Ю. И. МАЛИКОВ, И. Н. МАЛИКОВА, Л. Н. ПОСПЕЛОВА

АКЦЕССОРНЫЕ МАГНЕТИТЫ КОНДОМСКОГО РАЙОНА (Горная Шория)

Геохимические особенности акцессорных магнетитов широко используются для целей формационной корреляции магматических образований, решении вопросов генетической связи с ними железо- и золоторудных месторождений, а магнетит в паре с ильменитом — в качестве геотермометра

и кислородного барометра (Линдслей, 1969; Лихович, 1968; Миловский, 1962; Вахрушев, 1963, 1973; Коллегов, 1972; Чистиков, 1972; Фоминых, Ярош, 1970; Щербаков, 1974; и др.). Эти работы обычно основываются на химических и спектральных анализах магнетитов и титаномагнетитов, содержащих кроме изоморфных примесей и сверхтонких вростков пластинки и решетки ильменита, ульвошпинели, герцинита и других шпинелевых минералов (Рамдор, 1962), являющихся продуктами распада твердых растворов.

Для решения некоторых задач такой подход вполне приемлем. Однако он основывается на не вполне строгой геохимической характеристике минералов, а приводимые в литературе анализы относятся к смесям нескольких минералов в разных пропорциях (Лихович, 1968). Поэтому эти результаты трудно сопоставимы, особенно в случаях, когда они не сопровождаются минерографическими описаниями и указанием метода выделения магнетита, а иногда приводят и к искаженной картине распределения отдельных элементов. Главным образом это касается титана. Это приводит некоторых исследователей к выводу, что примесь титана и других элементов нельзя без дополнительных данных использовать для решения генетических задач (Дымкин, Шарапов, 1967; Рокачев, 1974).

Средний состав окислов железа и титана, по данным химического и спектрального анализов, обычно принимается за состав первичного титаномагнетита. Однако неполное выделение материала, особенно тонкозернистого магнетита, неучитываемая возможность присутствия примесей других минералов вносит в это определение существенные ошибки. В некоторых случаях восстановить состав первичного титаномагнетита невозможно из-за того, что породы претерпевают необратимые изменения, сопровождающиеся привносом-выносом вещества (Богатиков и др., 1971). Введение в практику минералого-геохимических исследований электронного микрозондирования открывает новые возможности для анализа природных магнетитов.

При изучении петрологических и геохимических особенностей пород Кондомской металлогенической зоны было показано, что они отражают процесс формирования сиенитов и гранитов, который проходил с привносом кремния и щелочей и сопровождался значительным выносом железа, кальция, магния, титана и ряда элементов-примесей (Маликова, Алабин, настоящий сборник). Таким образом, содержание железа и титана в породах и, очевидно, их соотношение в рудных минералах не оставались постоянными. Обычно наблюдающееся уменьшение отношения $\text{Pm}/\text{Ilm} + \text{Mt}$ при увеличении степени кислотности пород отражает условия прогрессивного окисления (Czamanske, Mihalik, 1972). Поэтому нами для определения составов акцессорных магнетитов в породах Кондомского района применен метод электронного микрозондирования.

Определенный при анализе состав соответствует магнетиту, претерпевшему воздействие ряда процессов, приводивших к его изменению (перекристаллизация, растворение, распад твердых растворов, окисление и др.) и, таким образом, служит их отражением. Именно благодаря этим процессам прежде всего и выравнивается, видимо, состав магнетитов; это не просто функция геологического времени, как представляет В. К. Чистиков (1970). Рассмотрим характер распределения и особенности выделения акцессорного магнетита и сопутствующих ему рудных минералов в породах района в процессе их перекристаллизации, сиенитизации и гранитообразования.

Исходные породы в Кондомском районе представлены главным образом андезито-базальтами. Были выделены следующие группы пород, отражающие основные процессы преобразования андезито-базальтового вещества: 1) серицит-хлоритовые сланцы; 2) хлорит-биотит-полевошпатовые и хлорит-роговообманково-полевошпатовые породы; 3) биотит-роговообманково-полевошпатовые роговики; 4) сиенитизированные породы; 5) сиениты

и 6) граниты. Ниже дано краткое описание акцессорного магнетита в этих породах.

В наименее измененных андезито-базальтах содержание магнетита колеблется от 0,26 до 2,90 об. %. Вариации количественного содержания магнетита в них определяются в значительной мере степенью перекристаллизации. Преобладают зерна магнетита размером 5—50 мкм, иногда они доходят до 120 мкм. Решеток распада твердых растворов не наблюдается. Ильменит встречается в сростках с магнетитом. Иногда по магнетиту развивается гематит (мартизация), в единичных случаях магнетит полностью мартизирован. В некоторых случаях магнетит не обнаружен, сульфиды установлены в небольших количествах (пирротин, пирит, размером достигают 500—600 мкм, редко каплевидный халькопирит).

В рассланцованных породах содержание рудных минералов колеблется от 0,5 до 4,0 об. %. Они представлены магнетитом, ильменитом, гематитом. Магнетит часто, иногда полностью, мартизирован. Размеры его варьируют от 1—16 до 600 мкм. Зерна магнетита часто раздавлены, в некоторых видах тонкая решетка распада со шпинелями и иногда с ильменитом. Красные части зерен в некоторых случаях перекристаллизованы (отсутствуют вростки нерудных минералов и решетки распада твердых растворов). Для пород подрудной толщи характерны более высокие содержания рудных минералов (обычно 3,5 об. %); представлены они мартитом и гематитом (скелетные структуры). Очень редко встречается лейкоксен. Интересно, что в породах рудовмещающей толщи рудных минералов меньше, чем в подрудной толще (0,5—2,0%). Представлены они чаще сульфидами (пирит, халькопирит, пирротин), редко и в небольшом количестве — лейкоксенизированным ильменитом, иногда в виде скелетных образований. В рассланцованных породах надрудной толщи рудных минералов около 1—2%, это магнетит и ильменит, также почти полностью лейкоксенизированные. Сульфиды встречаются редко. В отдельных случаях отмечаются две генерации магнетита. Более мелкий (1—40 мкм) и чистый магнетит имеет правильную кристаллографическую форму, решеток распада в нем не наблюдается. Для всех рассланцованных пород характерно расположение рудных минералов согласно полосчатости, часто они образуют вытянутые мелкозернистые скопления.

В хлорит-биотит-полевошпатовых и роговообманково-плагиоклазовых породах, представляющих стадию прогрессивной перекристаллизации, содержание рудных минералов также непостоянно (0,5—3,3 об. %). Они представлены в основном магнетитом и ильменитом (ильменит составляет около 30 об. %). Размер зерен магнетита обычно от 1 до 100 мкм, редко — до 160 мкм. Часто наблюдаются сростки с ильменитом и решетки распада с ильменитом и ульвошпинелью, а также мирамекит ильменита. Иногда ильменит лейкоксенизирован.

Изредка отмечаются сульфиды (главным образом пирит) и гидроокислы железа. В широксен-роговообманково-плагиоклазовых породах, которые распространены главным образом в пределах Мустагского plutона, рудные минералы существенных отличий не имеют. Можно только отметить, что они менее изменены, сульфиды встречаются еще реже, гидроокислы железа отсутствуют. Решетка распада твердого раствора наблюдается очень редко и магнетиты более чистые.

В биотит-роговообманково-полевошпатовых роговиках рудные минералы представлены в основном магнетитом, количество которого сильно варьирует (0,2—4,2 об. %). Здесь он более мелкозернистый (1—50 мкм), очень редко в единичных зернах достигает 200 мкм (фото 1). Зерна магнетита правильной формы, хорошей степени сохранности. Решеток распада твердых растворов в них не встречено. Изредка отмечаются сростки с ильменитом и мирамекитом ильменита. В очень редких случаях магнетит неизначительно мартизирован. Сульфиды в выбранных для исследования образцах с минимально наложенной минерализацией очень редки, это в ос-

новиом пирит (до 40 мкм), пирротин (50—200 мкм); халькопирит развит главным образом по пирротину.

В сиенитизированных породах рудных минералов меньше; они представлены главным образом магнетитом, реже — ильменитом и гематитом. Количество рудных минералов 0,2—1,68 об. %, в редких случаях — до 3,6 об. %. Отмечаются две генерации магнетита: 1) более крупный (200—300 мкм) сильно изменен, изъеден, встречается в виде реликтов, иногда в срастании с ильменитом; 2) более мелкозернистый магнетит (1—30 мкм) образует выделения правильной формы, часто скопления вблизи темноцветных минералов. По своим размерам и форме он сходен с магнетитом роговиков. В крупных зернах магнетита, как правило, присутствует решетка распада твердого раствора с ильменитом и, возможно, с ульвошинелью, много включений нерудных минералов. Магнетит и ильменит часто имеют мирамекитовую структуру. Гематит встречен главным образом в сиенитизированных породах рудовмещающей толщи (1—1,5 об. %) в виде хорошо оформленных крупных (до 1000 мкм) кустистых образований, возможно, частично развитых по магнетиту.

В сиенитах рудные минералы также представлены в основном магнетитом. Содержание его в породах до 2 об. %. Встречается, как правило, магнетит двух генераций. 1. Более крупные зерна (от 40 до 400—600 мкм), сильно измененные, часто давленые, характерны различные (тонкие и более грубые) решетки распада с ильменитом и ульвошинелью (фото 2). Иногда по магнетиту развивается гематит.

Встречаются мирамекиты магнетита и ильменита. В некоторых случаях прослеживается рекристаллизация этого магнетита в более мелкозернистый магнетит (фото 3), иногда бывшие крупные кристаллы обновлены (фото 4) (центральная часть монокристаллов имеет массу нерудных включений, периферическая же свободна от них, приобретает хорошую оканку). 2. С этим периодом «обновления», видимо, и связано образование второй генерации магнетита. Размеры его зерен от 1 до 40 мкм, изредка до 60—80 мкм. Этот магнетит равномерно распространен во всей породе и иногда образует скопления и реакционные каймы возле магнетита первой генерации и темноцветных минералов. Ильменит встречается редко, и главным образом, в виде решетки распада твердых растворов в зернах магнетита первой генерации. Большая его часть лейкоксенализирована.

В гранитоидах рудные минералы представлены, главным образом, магнетитом, в небольшой степени ильменитом, в единичных случаях гематитом. В биотитовых гранитах количество магнетита обычно не более 1 об. %, размер зерен от 20—30 до 200 мкм, очень редко до 500 мкм. Приурочен он к темноцветным минералам гранитов, иногда в сростках с ильменитом. Почти всегда наблюдаются структуры распада твердого раствора с ильменитом (фото 6, 7). Магнетит незначительно мартитизирован. В более аляскитовых разностях гранитов, местами встречающихся в пределах Мустагского массива, где биотита мало или он практически отсутствует, количество магнетита увеличивается до 1,3—2,2 об. %.

Таким образом, при образовании сиенитов и гранитов изменяются характер выделения магнетита и его размеры. Формирование роговиков идет обычно с уменьшением размеров зерен магнетита. В большинстве пород наблюдаются две генерации магнетита. Решетки распада твердых растворов с ильменитом встречаются в сиенитизированных породах, сиенитах и гранитах. Перекристаллизация магнетита в хлорит-биотит-полевошпатовых и роговообманково-плагиоклазовых породах сопровождается увеличением в них количества ильменита, в рассланцованных породах — лейкоксена, а в гранитоидах — сфена. Количество ильменита в сиенитах и гранитах заметно уменьшается.

Некоторые особенности акцессорных рудных минералов (замещение магнетита гематитом, лейкоксенализация ильменита, появление сульфидов и др.), вероятно, в значительной степени объясняются частичным наложе-

нием постмагматических процессов, усложняющих общую картину распределения магнетита в породах. От их влияния не удается полностью избавиться при подборе геологического материала в связи с неоднократным проявлением в районе процессов активизации.

Нами проведены определения ряда элементов-примесей в магнетитах Кондомского района, они выполнены на микроанализаторе MS-46 фирмы «Самес» с углом выхода рентгеновского излучения 18°. Подготовка к анализу образцов и эталонов проводилась по методике, предложенной Ю. И. Маликовым (Чепуров и др., 1974; Лаврентьев и др., 1974).

Все магнетиты характеризуются весьма незначительными, ниже предела чувствительности, содержаниями кремния и кальция, что свидетельствует о небольшом влиянии включений породообразующих минералов (табл. 1). Наблюдается существенный разброс содержания TiO_2 в магнетитах из всех изучаемых пород: в хлорит-полевошпатовых, роговообманково-плагиоклазовых, сиенитизированных породах и роговиках TiO_2 — от 0,05 до 0,50%; в серицит-хлоритовых сланцах — примерно в тех же пределах, но наряду с этим встречено зерно магнетита с очень тонкой решеткой распада (видимо, ульвошинель), содержащее до 8,67% TiO_2 , что, очевидно, объясняется наличием реликтового магнетита андезито-базальтов.

Проанализированные нами магнетиты из андезито-базальтов содержат 1,88—2,63% TiO_2 . По данным других исследователей, в условиях быстрой кристаллизации образуются однородные магнетиты с высоким содержанием титана (по Д. С. Штейнберг, В. Г. Фоминых — до 16—20% TiO_2). Микроанализ трех магнетитов из базальтовой формации Нижней Силезии, чистых от вростков присутствующей в них ульвошинели, показал содержание TiO_2 2,5% (Hubicka-Ptasinska, 1974). Магнетиты с повышенным содержанием титана обнаружены нами также в сиенитах (ранняя генерация). Сравнение содержания TiO_2 в акцессорных магнетитах, определенных методом электронного микрозондирования, с данными В. К. Чистякова (1972) и В. К. Чистякова, И. П. Ивонина (1972) для сарлыкских и мустагских гранитов (табл. 2) показывает расхождение в 3—4 раза и больше. При этом результаты, полученные на микрозонде, всегда более низкие. Та же картина наблюдается и в отношении марганца.

Сравнение результатов определения ванадия показывает, что химический метод и метод электронного микрозондирования дают близкие результаты и второй метод — несколько более высокие. Это свидетельствует о преимущественном вхождении ванадия непосредственно в решетку магнетита и большем его содержании в магнетите по сравнению с продуктами распада твердых растворов.

Некоторые авторы отмечают повышенное содержание ванадия в более ранних высокотемпературных магнетитах (Dipkan, Taylor, 1968). В этой связи интересно отметить повышенное содержание ванадия в магнетитах из каменушинских гранитоидов и некоторых пород прогрессивного этапа перекристаллизации. Иногда в этих магнетитах видны сверхтонкие трудно диагностируемые прорастания, видимо пирофилит (см. фото 2). За счет тонких вростков в магнетите иногда повышаются содержания алюминия и магния. Но в большинстве своем перекристаллизация магнетита, вероятно, привела к достаточно полной очистке от магния, а в ряде случаев и от ванадия; кристаллизация новообразованного магнетита проходила в условиях более низких содержаний этих элементов.

Для полного и достоверного сопоставления составов акцессорных магнетитов с данными микрозондирования составлена табл. 3 (Руб и др., 1975). Из нее видно существенно более низкое содержание TiO_2 , полученное методом электронного микрозондирования, что говорит о наличии в них в виде продуктов распада твердых растворов минералов

Таблица 1

Породы	Место юзти образца	Номер пробы	SIO ₂	TIO ₂	Al ₂ O ₃	MnO	MgO	CaO	V ₂ O ₅
Серпент-хлоритовые сланцы	г. Таштагол, горизонт 70 пос. Шарегеш, скв. 542	91/36	0,20	0,22-8,67	0,12	не обн.	не обн.	не обн.	0,10
Роговообманково-плагиоклазовые	г. Таштагол, скв. 309	150/18	0,11	0,44	0,10	0,03	0,06	0,10	0,14
Хлорит-полевошпатовые	гора Испир	119,64	0,25	0,07	0,05	0,13	0,03	0,07	0,30
Биотит-роговообманково-полевошпатовые роговики	рудник Шалым	256/1	не обн.	0,08	0,49	0,22	1,67	не обн.	0,58
Сланцы	пос. Шарегеш, скв. 546	377/1a	0,04	0,22	0,07	0,17	0,03	»	0,23
	г. Таштагол, скв. 364	377/16	0,09	0,38	0,02	0,03	»	0,07	0,10
	г. Таштагол, скв. 364	120/67	0,18	0,54	0,13	0,01	»	0,10	0,20
	р. Ниж. Каменушка	120/3	0,11	0,11	0,08	0,06	0,69	0,06	0,03
	Северный контакт	185/1a	0,02	0,51	0,28	0,03	не обн.	0,01	0,17
	Сарлыкского массива	185/16	0,07	0,24	0,05	0,03	»	0,16	0,03
	пос. Шарегеш, скв. 511	338/1	0,02	0,22	0,19	0,03	»	0,06	0,27
	гора Шарегеша	154/27	0,07	0,07	0,02	0,05	0,18	0,05	0,25
	Верховья р. Мал. Каменушки	395/2	0,03	0,07	0,02	0,03	не обн.	0,01	не обн.
	р. Кочура	320/1	0,09	0,15	0,04	0,04	не обн.	0,01	0,08
	Шалымское месторождение, штоллии	392/1a	0,10	7,74	0,05	1,14	»	»	»
	р. Ниж. Каменушка	392/16	0,06	0,13	0,08	0,08	0,06	0,06	0,03
	р. Мал. Каменушка	420/1a	0,07	1,00	0,02	0,03	не обн.	0,03	0,02
	гора Иси	420/16	0,56	0,49	0,10	0,07	не обн.	0,01	0,01
	» Критикал	231/1	0,22	0,25	0,05	0,11	»	»	0,36
	» Сарлык	242/1	0,07	0,36	0,10	0,02	»	0,12	0,05
		269/1	0,02	0,68	0,10	0,20	»	0,22	0,22
		334/2	0,02	0,77	0,16	0,16	»	0,12	0,12

П р и м е ч а н и е. а — магнетит, рашен. б — магнетит подлинной генерации.

Таблица 2
Состав акцессорных магнетитов Кондомского района (вес. %) по данным химического анализа (В. К. Чистяков, 1972)

Характеристика используемых материалов	Количество анализов	TIO ₂	MnO	V ₂ O ₅	Cr ₂ O ₃
Магнетит из сиенитов Кондомского района	17	2,92	1,040	0,092	0,008
Магнетит из гранитов Сарлыкского массива	22	1,73	0,550	0,160	0,025
Магнетит из гранитов Мустагского plutона	45	1,97	0,596	0,193	0,021
Мустагский plutон, магнетит из разреза в основании горы Мустаг	13	2,48	0,490	0,371	0,036
Мустагский plutон, магнетит из разреза по вершине горы Мустаг	10	2,74	0,845	0,031	0,003

титана и, возможно, срастаний с самостоятельными зернами ильменита. Аналогичная, но менее ярко выраженная картина наблюдается для марганца и хрома. Для ванадия, как и для пород Кондомского района, характерны обратные соотношения.

Таким образом, эти результаты показывают, что определение элементов-примесей в акцессорных магнетитах методом электронного микрозондирования позволяет в значительной степени избавиться от влияния, которое оказывают на результаты химического и спектрального анализов примеси других минералов. Только в отдельных случаях при анализе на микрозонде магнетитов Кондомского района сверхтонкие вrostки ($\ll 1$ мкм) служат причиной более высоких содержаний марганица, алюминия и марганца, что свидетельствует о недостаточно полном выносе этих элементов при перекристаллизации пород, сиенитизации и гранитообразовании.

Для сравнения акцессорных магнетитов с магнетитами из руд месторождений Кондомской группы нами проведено электронное микрозондирование 17 магнетитов из разных рудных тел этих месторождений. Образцы магнетитов и результаты их химического анализа по Шерегешевскому, Шалымскому и Таштагольскому месторождениям были любезно предоставлены С. С. Лапиным, а по Кочурицкому месторождению — Л. К. Павловой. Просмотр этих магнетитов в отраженном свете показал, что в них отсутствуют решетки распада твердых растворов с ильменитом и ульвошипинелью, но постоянно, за исключением таштагольских руд, присутствуют в различных количествах субмикроскопические включения, по-видимому, алюминиевых шпинелей (фото 8).

Таблица 3
Содержание элементов-примесей в акцессорных магнетитах из пород Сихотэ-Алинского антиклиниория, по данным М. Г. Руб и др. (1975), вес. %

Порода	Количество анализов	TIO ₂	V ₂ O ₅	MnO	Cr ₂ O ₃
Магнетит из трахитов					
Спектральный анализ	3	16,67	1,69	0,70	0,18
Микрозонд	3	3,68	1,65	0,40	0,09
Магнетит из моноцититов					
Спектральный анализ	3	7,33	1,48	0,44	0,92
Микрозонд	3	1,48	1,71	0,21	0,28
Магнетит из граусиенитов					
Спектральный анализ	5	12,00	0,93	0,41	0,67
Микрозонд	5	4,99	1,11	0,56	0,25

Сравнение данных таблиц 4 и 1 показывает, что рудные магнетиты от акцессорных отличаются более равномерным распределением титана и более низким его содержанием (0,07–0,34%), что говорит об их кристаллизации из растворов, не несущих значительных количеств титана. Четко выделяются рудные тела с малотитанистым магнетитом (0,08–0,13%) и несколько более титанистым (0,28–0,31%), что, по данным С. С. Лапина (1973), определяется их образованием по породам разного состава. Определения TiO_2 методом электронного микрозондирования обнаруживают хорошую сходимость с данными химического анализа.

Интересные результаты дает сравнение составов акцессорных и рудных магнетитов и по другим элементам. Так, содержание алюминия в акцессорных магнетитах близко к содержанию его в магнетите большинства рудных тел, но данным электронного микрозондирования. Но в некоторых рудных телах (главные рудные тела Шерегешевского и Шалымского месторождений) микрозонд также дал высокое содержание Al_2O_3 , (в среднем 0,70%). На Шерегеше магнетит сопровождается структурами распада с алюминиевой шпинелью, а на Шалыме Al_2O_3 , видимо, полностью входит в решетку магнетита. Об этом свидетельствует сопоставление результатов химических анализов и минерографических наблюдений. Магнетит главного рудного тела Шерегешевского месторождения также обогащен марганцем и магнием, причем сравнение с данными химического анализа показывает преимущественное вхождение марганца в структуру магнетита, а магния — в решетки распада алюминиевых шпинелей. По литературным данным (Рамдор, 1962), повышенные содержания алюминия и магния характерны для более высокотемпературных магнетитов, однако для магния большую роль может играть и более высокая щелочность растворов (Павлов, Ревердатто, 1965). Содержание ванадия в рудных магнетитах более низкое, чем в акцессорных, что подчеркивает их более низкотемпературный характер.

Таким образом, достаточно хорошая сходимость результатов изучения рудных магнетитов химическим методом и методом электронного микрозондирования по титану и ванадию дает возможность предполагать, что они входят в магнетит в виде изоморфных примесей и неоднородность их распределения в нем более высокого порядка. Сравнение данных по алюминию, магнию и марганцу свидетельствует об их более сложном распределении. Сопоставление результатов анализов по кремнию и кальцию показывает, что нам удалось избавиться от влияния на них тонких вростков силикатного и карбонатного материалов.

Для магнетитов Шерегешевского месторождения (табл. 5) также наблюдается хорошая сходимость различных методов по определению содержаний TiO_2 . Содержания других элементов трудно сопоставимы, так как они получены на разном геологическом материале, а распределение марганица, марганца и алюминия, как уже указывалось выше, сложное. Однако в общем прослеживается, что электронный микрозонд дает более низкие содержания алюминия и, отчасти, магния, а содержания марганца остаются примерно на том же уровне, что и при других видах анализов.

Существенно иные соотношения содержания ряда элементов-примесей отмечаются Л. В. Чернышовой и др. (1975) при сравнении данных химических анализов магнетитов и электронного микрозондирования для магматического титаномагнетитового месторождения Мал. Куйбас, связанного с габбро-диабазами. Лишь небольшая часть титана и магния изоморфио входит в магнетит. В наиболее гомогенных участках магнетит, по данным микрозондирования, характеризуется повышенными содержаниями хрома и ванадия и более низкими — марганца. Сравнение полученных нами результатов по магнетитам из kontaktово-метасоматических месторождений Кондомского района с данными Л. В. Чернышовой, В. Г. Фоминых и др. для месторождения другого

Таблица 4

Содержание элементов-примесей в магнетитах из руд Кондомского района, вес. %

Место взятия образца	Номер образца	SiO ₂		TiO_2		Al_2O_3		MnO		CaO		V_2O_5	
		а	б	а	б	а	б	а	б	а	б	а	б
Талыгольское месторождение, рудное тело 10, горизонт +140	ЛТ 1/63	1,59	0,31	0,11	0,09	0,44	0,25	0,05	0,02	Не обн.	0,11	0,07	0,04
	ЛТЛ 7/63	1,31	0,02	0,12	0,07	0,13	0,02	0,13	0,10	0,08	0,57	0,11	0,04
	ЛТЛ 8/63	2,45	0,04	0,12	0,09	0,33	0,02	0,05	0,02	Не обн.	0,11	0,02	0,04
Шалымское месторождение, горизонт +850	Среднее	1,78	0,12	0,08	0,30	0,10	0,08	0,05	0,03	0,26	0,07	0,04	0,03
	ШЛ 4/64	2,05	0,04	0,30	0,25	0,89	0,02	0,12	0,23	0,25	0,11	0,04	0,01
	ШЛ 5/64	1,17	0,23	0,28	0,25	1,02	0,16	0,09	0,17	0,33	0,03	Не обн.	Не обн.
Шалымское месторождение, горизонт +850	ШЛ 10/64	1,01	0,09	0,25	0,34	0,51	0,05	0,04	0,06	0,25	0,34	0,02	0,01
	ШЛ 11/64	1,41	0,12	0,25	0,28	0,81	0,08	0,08	0,15	0,28	0,01	0,01	0,01
	Среднее	1,41	0,12	0,25	0,28	0,81	0,08	0,08	0,15	0,28	0,01	0,01	0,01
Шалымское месторождение	ШЛ 20/64	1,89	0,14	0,10	0,11	0,88	0,81	0,04	0,52	0,25	0,11	Не обн.	0,03
	ШЛ 21/64	0,69	0,07	0,10	0,16	0,43	0,75	0,05	0,14	0,05	0,23	»,	0,02
	ШЛ 22/64-1	0,77	0,04	0,10	0,11	0,24	0,83	0,08	0,04	0,08	0,23	»,	0,02
Главное рудное тело	ШЛ 22/64-2	1,12	0,07	0,10	0,13	0,52	0,71	0,06	0,14	0,11	0,19	»,	0,03
	Среднее	1,12	0,07	0,10	0,13	0,52	0,71	0,06	0,14	0,11	0,19	»,	0,03
Шерегешевское месторождение	ШР 6/63	0,48	0,02	0,33	0,29	1,61	0,64	1,59	4,49	3,75	1,27	0,61	0,02
	ШР 8/63	0,42	Не обн.	0,30	0,33	0,96	0,75	2,47	4,32	2,61	1,21	0,82	0,03
	ШР 9/63	1,52	0,04	0,33	0,31	1,38	0,65	1,69	1,99	1,85	0,06	0,87	0,03
Главное рудное тело, горизонт +525	ШР 0,81	0,81	0,02	0,32	0,31	1,32	0,68	1,92	3,60	2,68	0,77	0,77	0,03
	Среднее	0,81	0,02	0,32	0,31	1,32	0,68	1,92	3,60	2,68	0,77	0,77	0,03
Шерегешевское месторождение, II рудный участок, горизонт +525	ШР 34/63	1,10	Не обн.	0,20	0,05	0,53	0,02	0,70	0,61	0,56	Не обн.	0,85	0,04
	ШР 39/63	1,80	0,16	0,16	0,11	0,89	0,13	1,43	1,13	1,56	0,10	0,91	0,02
	ШР 42/63	0,72	0,04	0,18	0,13	0,93	0,33	2,10	2,10	2,15	0,98	0,42	0,02
Кочуринское месторождение	Среднее	1,31	0,07	0,18	0,10	0,78	0,16	1,41	1,28	1,42	0,36	0,73	0,01
	Ш-4/72	0,72	0,07	0,02*	0,22	0,05	0,3*	0,07	0,06	0,07	0,16	0,05	0,07
	Ш-34/72	0,02	0,02*	0,09	0,15	0,09	0,05	0,06	0,20	0,18	0,65	0,05	0,03
Среднее		0,11	0,02	0,15	0,11	0,09	0,05	0,06	0,15	0,15	0,65	0,05	0,03

Примечание: а — химический анализ, по данным С. С. Лапина (1973); б — электронное микрозондирование, по данным авторов; звездочной отмечен полуколичественный спектральный анализ, по данным Л. К. Павловой.

Таблица 5

Содержание некоторых элементов-примесей в магнетитах из руд Шерегешевского месторождения, по данным разных авторов

№ п/п	Характеристика используемых данных	Количество анализов	TiO ₂	MnO	MgO	Al ₂ O ₃
1	Среднее по Шерегешевскому месторождению	53	0,26	1,53	1,46	0,95
2	Участок Главный	51	0,20	0,50	0,71	1,09
3	Участок Подрусловый	34	0,05	0,33	0,46	0,81
4	Среднее по Шерегешевскому месторождению	23	0,37	1,10		
5	То же	5	0,36	1,09	0,53	2,06
6	Магнезиальные скарны		0,22	0,66	0,07	0,21
7	Аноскарины		0,23	2,0	2,34	0,34
8	Известковые скарны		0,09	0,55	0,28	0,06

П р и м е ч а н и е. 1 — результаты химического анализа (С. С. Лапин, 1973); 2,3 — минерохимический и спектральный анализ (данные ЗСГУ, В. П. Орлов); 4 — данные В. И. Шаранова и М. И. Каминской; 5 — химический анализ (В. А. Вахрушев, 1965); 6—8 — результаты электронного микрозондирования. Данные В. Приходько, аналитик — Л. И. Постелова. Рудные месторождения СССР, 1974.

генетического типа показывает различия в распределении элементов-примесей, которые могут быть положены в основу решения вопросов, касающихся генезиса рудных месторождений.

В заключение авторы выражают глубокую благодарность Ф. В. Сухорукову, советами которого неоднократно пользовались в процессе минерографических исследований, и С. С. Лапину, любезно предоставившему образцы рудных магнетитов и данные их химических анализов.

ВЫВОДЫ

1. В процессе прогрессивной перекристаллизации пород Кондомского района, сопровождающей формирование сиенитов и гранитов, изменяется характер выделения акцессорного магнетита и его соотношение с титановыми минералами. В большинстве случаев в породах (хлорит-серпентитовые сланцы, роговообманково-плагиоклазовые породы, роговики, сиенитизированные породы, сиениты) наблюдаются две генерации магнетита, из которых более ранняя, вероятно, унаследована от исходных андезито-базальтовых пород и имеет более высокие содержания ряда элементов-примесей.

2. Определение содержаний элементов-примесей в наиболее гомогенных участках акцессорных магнетитов показывает тенденцию их освобождения в процессе образования сиенитов и гранитов от титана, марганца и в большинстве случаев от алюминия, магния и ванадия.

3. Сопоставление результатов электронного микрозондирования акцессорных магнетитов из сиенитов и гранитов и химических анализов (по литературным данным) показывает значительные расхождения содержаний TiO₂ за счет широкого проявления в них решеток распада твердых растворов. Рудные магнетиты от акцессорных отличаются более равномерным и более низким содержанием TiO₂, что говорит об их кристаллизации из растворов, не несущих значительных его количеств. Достаточно хорошо сходятся результаты электронного микрозондирования рудных магнетитов и химических анализов по титану и ванадию. Эти соотношения и сопоставления других элементов-примесей позволяют рассматривать некоторые вопросы относительно формы их вхождения в магнетит.

Все это необходимо учитывать при сравнении результатов анализов магнетитов, полученных на материале разной степени гомогени-

ти, предварительно оценивая ее по полированным шлифам изучаемых пород и руд.

4. Сравнение распределения элементов-примесей в рудных магнетитах kontaktово-метасоматических месторождений Кондомского района с литературными данными по магматическому титано-магнетитовому месторождению Мал. Куйбас (Южный Урал), полученными также с применением метода электронного микрозондирования, свидетельствует о различиях, которые могут послужить основой для решения вопросов, касающихся генезиса месторождений железа, а возможно, и других рудных месторождений, содержащих магнетит. Этот аспект применения электронного микрозондирования к анализу природных магнетитов весьма перспективен и требует дальнейшей разработки.

ЛИТЕРАТУРА

- Богатиков О. А., Карнова О. В., Печерский Д. М., Шаронова З. В. Гомогенизация титаномагнетитов и восстановление состава первичного титаномагнетита. — «Известия АН СССР. Физика земли», 1971, № 7, с. 68—79.
- Вахрушев В. А. Элементы-примеси в магнетите железорудных месторождений Алтас-Саянской области. — В кн.: Материалы по генетической и экспериментальной минералогии, т. 1. Новосибирск, «Наука», 1963, с. 31—41.
- Вахрушев В. А. Минералогия, геохимия и генетические группы kontaktово-метасоматических железорудных месторождений Алтас-Саянской области. М., «Наука», 1965. 291 с.
- Вахрушев В. А. Рудные минералы изверженных горных пород и их значение при петрологических исследованиях. М., «Наука», 1973. 124 с.
- Дымкин А. М., Шаранов В. И. Некоторые закономерности распределения элементов-примесей в магнетитах метасоматических железорудных месторождений. — В кн.: Геология и генезис магнетитовых месторождений Сибири. М., «Наука», 1967, с. 184—190.
- Коллегов Л. И. К использованию геохимических особенностей магнетита с целью формационно-комплексной корреляции интрузий (на примере Березовского месторождения в Восточном Саяне). — «Труды ТГУ. Серия геол.», 1972, т. 232, с. 96—105.
- Лаврентьев Ю. Г., Постелова Л. И., Соболев И. В., Маликов Ю. И. Определение состава породообразующих минералов методом рентгеноспектрального микронализма с электронным микрозондом. — «Заводская лаборатория», 1974, № 4, с. 657—661.
- Лапин С. С. Термохимические условия рудообразующих систем и распределение элементов-примесей в магнетите Кондомских железорудных месторождений. — В кн.: Физическое и физико-химическое моделирование рудообразующих систем. Новосибирск, «Наука», 1973, с. 162—180.
- Лапин С. С. Магнетитовые рудные тела, их внутреннее строение и магнитные свойства. Новосибирск, «Наука», 1976.
- Лихович В. В. Акцессорные минералы. М., «Наука», 1968. с. 275.
- Линдлей Д. Х. Оксиды Fe и Ti как геологический термометр и кислородный барометр. М., «Недра», 1969, с. 7—14. (Труды геофиз. лаборатории ин-та Карниги за 1962—1963 гг.).
- Миловский А. В. Геохимическая характеристика акцессорного и рудного магнетита (Восточный Саян). — «Геохимия», 1962, № 12, с. 1094—1100.
- Павлов А. Л., Ревердатто В. В. О генезисе магнитомагнетита. — «Геол. и геофиз.», 1965, № 12, с. 73—79.
- Рамдор П. Рудные минералы и их срастания. М., ИЛ, 1962. 1132 с.
- Рокачев С. А. Распределение элементов-примесей в магнетитовых месторождениях Тургая. — В кн.: Минералогия и геохимия железорудных месторождений Урала. Свердловск, 1974, с. 100—108. (Минералог. сборник, № 11).
- Руб М. Г., Гладков И. Г., Павлов В. А., Троицкая И. В. Акцессорные магнетиты и хромшипилиты как индикаторы генезиса магматических пород. — «Известия АН СССР. Геология», 1975, № 10, с. 10—26.
- Рудные месторождения СССР. Т. I. М., «Недра», 1974. 327 с.
- Фоминых В. Г., Ярош И. А. Состав и распределение магнетита в различных типах гранитоидов Урала. — В кн.: Вопросы петрологии гранитоидов Урала. Вып. 85. Свердловск, 1970, с. 167—202.
- Цветков А. И., Мисников И. А. О природе пластинчатых образований в титаномагнетите. — «Известия АН СССР. Геология», 1965, № 2, с. 16—32.
- Чернышова Л. В., Фоминых В. Г., Шевченко В. И., Дубакина Л. С. О фазовом составе, структурах и свойствах магнетитов месторождения Малый Куйбас. — В кн.: структурах и свойствах магнетитов месторождения Малый Куйбас. — В кн.:

- Минералы и парагенезисы минералов эндогенных месторождений. Л., «Наука», 1975, с. 23—31.
- Чепуров А. И., Лаврентьев Ю. Г., Покачалова О. С., Маликов Ю. И. Состав включений расплава в минералах ислевдолейцитита (Центральный Алдан).— «Геол. и геофиз.», 1974, № 4, с. 55—60.
- Чистяков В. К. К вопросу о формах вхождения элементов-примесей в магнетит.— «Геохимия», 1970, № 2, с. 217—227.
- Чистяков В. К. К вопросу об использовании элементов-примесей в магнетите как критерия минерало-геохимической связи месторождений с интрузиями.— «Труды ТГУ. Геология», 1972, т. 232, с. 106—118.
- Чистяков В. К., Ивонин И. П. Элементы-примеси в акцессорном магнетите ультраосновных, основных и щелочных пород некоторых интрузивных комплексов Алтая-Саянской области. «Труды ТГУ. Геология», 1972, т. 232, с. 85—95.
- Штейнберг Д. С., Фоминых В. Г. Генетическое и практическое значение изучения акцессорных окисных железо-титановых минералов в изверженных горных породах.— В кн.: Акцессорные минералы изверженных пород. М., «Наука», 1968, с. 281—287.
- Щербаков Ю. Г. Геохимия золоторудных месторождений в Кузнецком Алатау и Горном Алтае. Новосибирск, «Наука», 1974. 277 с.
- Buddington A. F., Lindsley D. H. Iron-titanium oxide minerals and synthetic equivalents.— «J. Petrol.», 1964, v. 5, p. 310—357.
- Czamanske G. K., Mihalik P. Oxidation during magmatic differentiation, Finnmarka complex, Oslo area, Norway: part one the opaque oxides.— «J. Petrol.», 1972, v. 13, N 3, p. 493—509.
- Dasgupta H. Influence of temperature and oxygen fugacity on fractionation of manganese between coexisting titaniferous magnetites and ilmenites.— «J. Geol.», 1970, v. 78, p. 248.
- Duncan A. R., Taylor S. R. Trace element analyses of magnetites from andesitic and dacitic lavas from Bay of Plenty, New Zealand.— «Contr. mineral. and Petrol.», 1968, v. 20, p. 30—33.
- Hubicka-Ptasinska M. Iron and titanium oxide minerals in some rocks of volcanic basaltic formation of Lower Silesia.— Prace Min.— Polska Akad. Nauk, 1974, 38, 15—28.

ПРИЛОЖЕНИЯ

РННЭЖОПНЯП

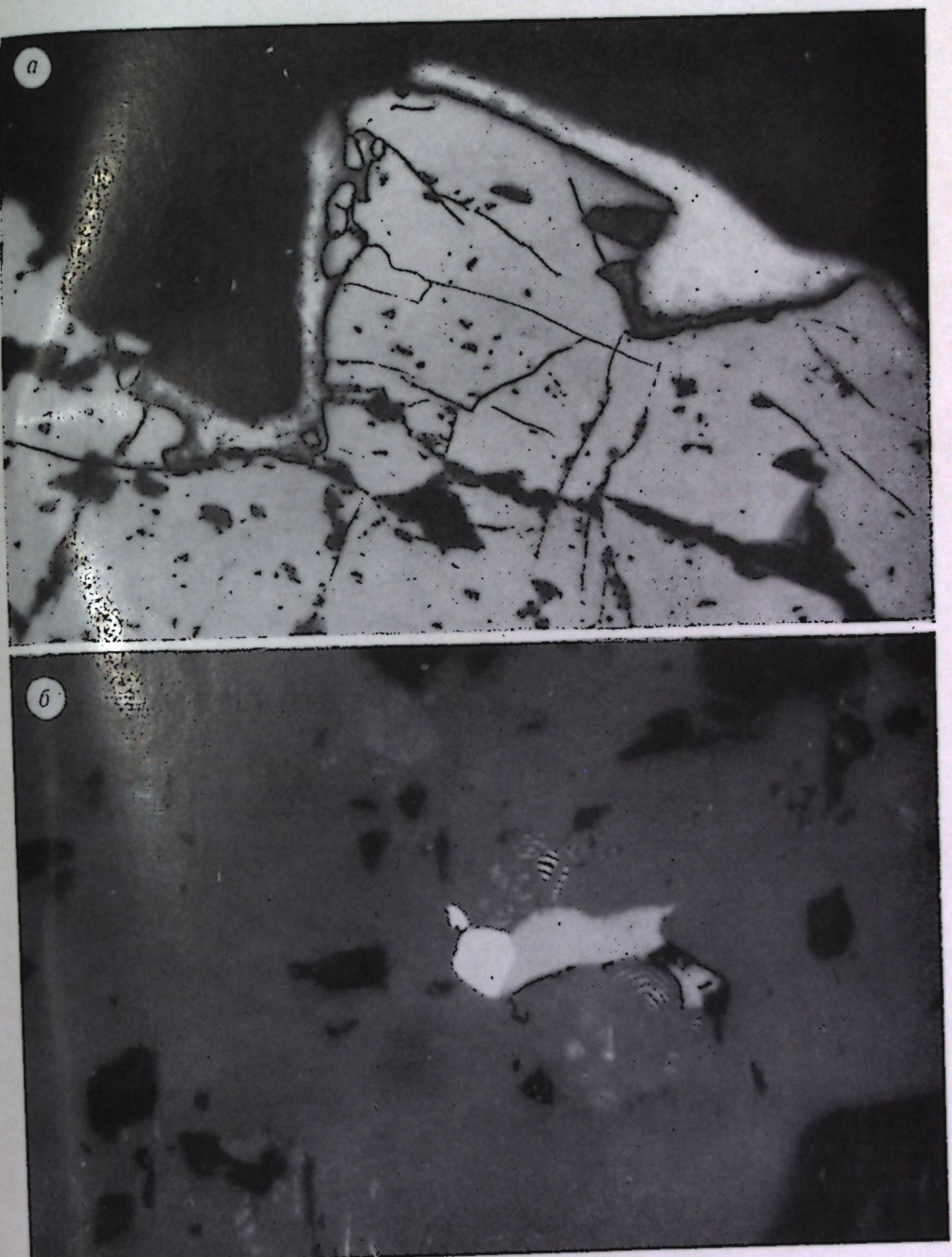


Фото I.

а — электрум (белое) нарастает на пирите (светло-серое). Чёрное — кварц. Глубина 80 м, $\times 611$.
б — электрум (белое) с галенитом (серое) включены в сфалерите (тёмно-серое). Глубина 391 м, $\times 1500$.

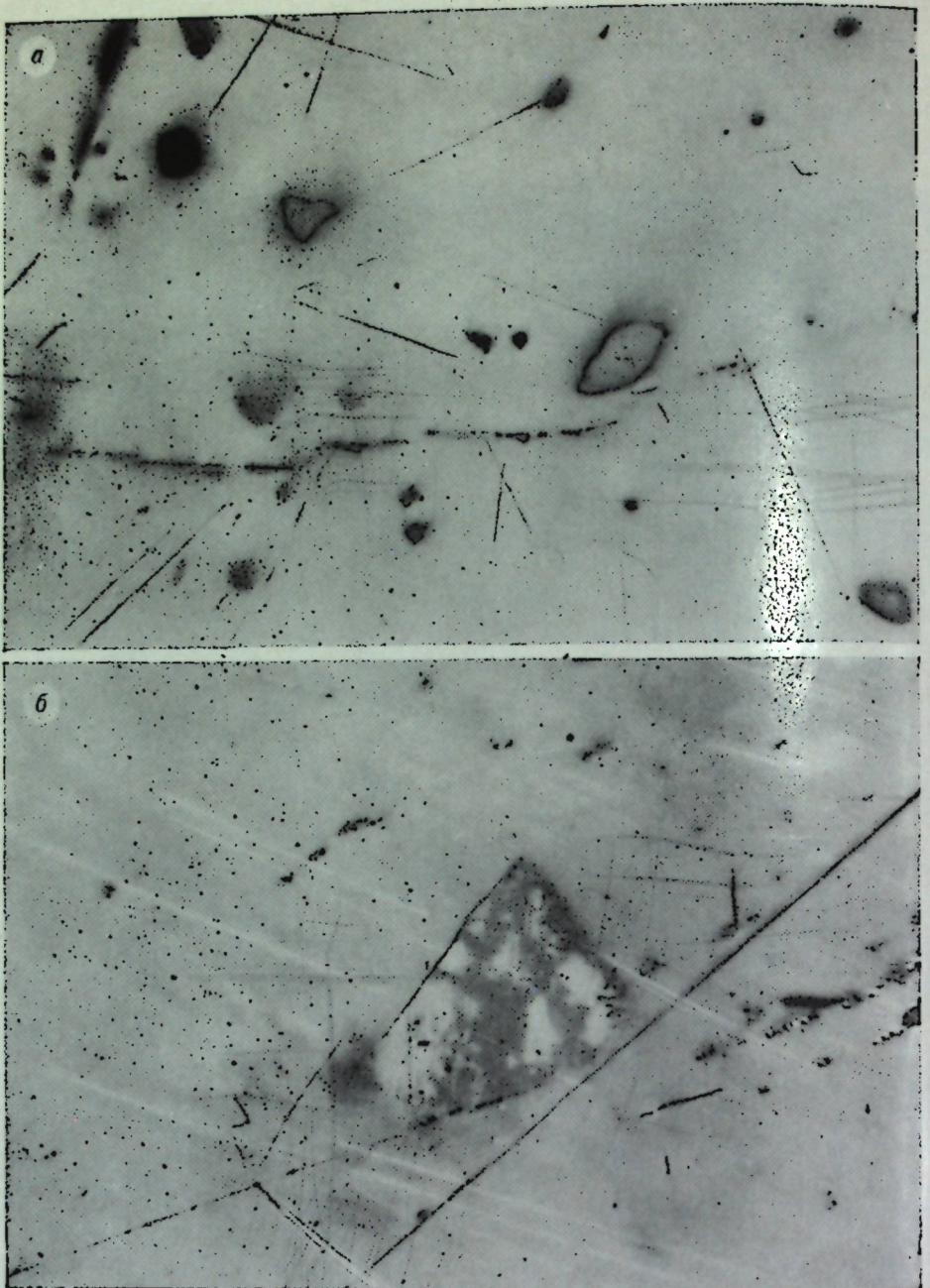
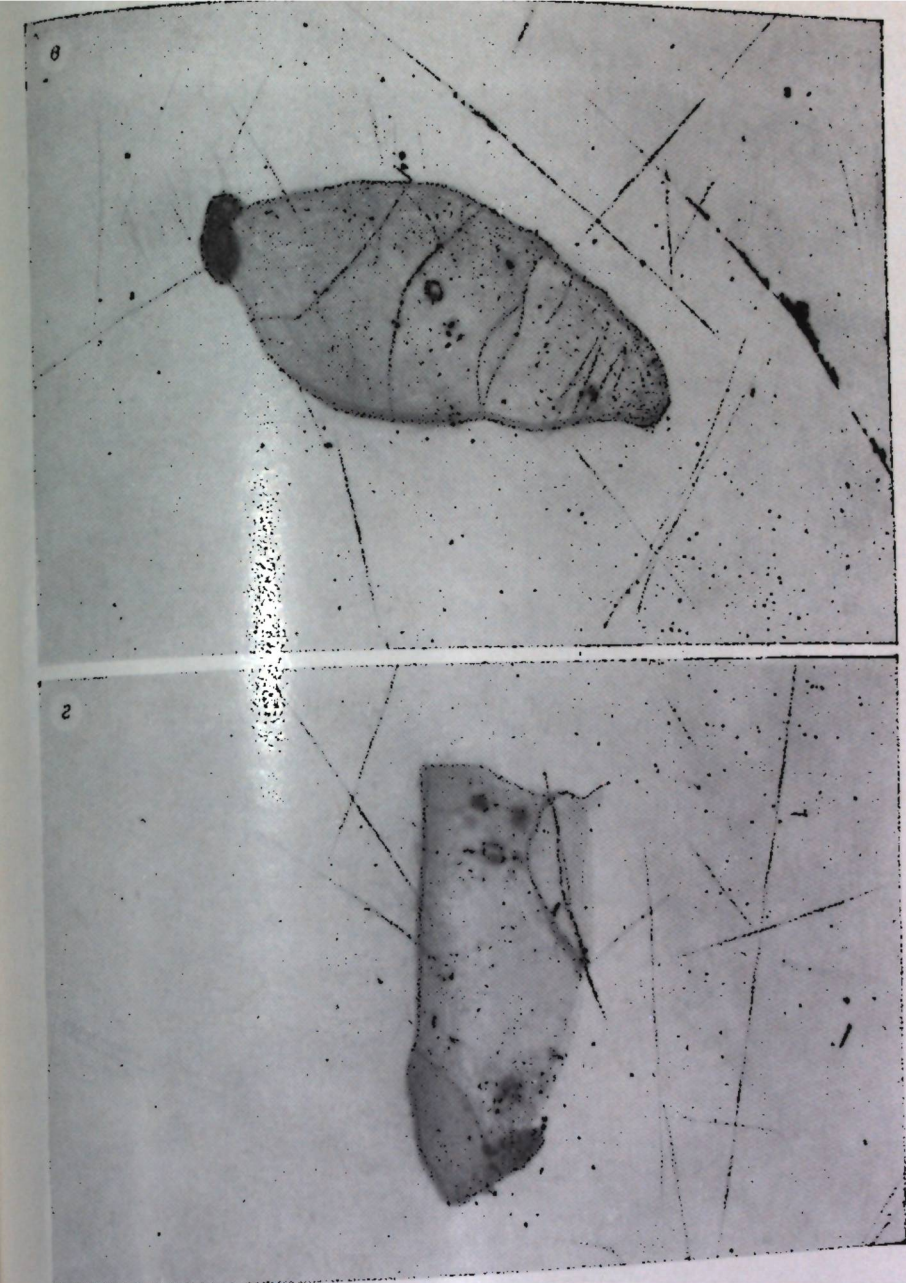


Фото 2.

а — галенит (серовато-белое поле) с включениями гессита, кан菲尔дита, буланикерита и др. тонаркетное двойникование в гессите. Глубина 391 м, $\times 1307$, б—включение в галените (белое), го сульфоантимонита серебра (серое) и гессита (светло-серое). Глубина 80 м, $\times 670$, г — галенит фоантимонита серебра № 2 (серое), теллурсодержащего кан菲尔дита



(серое). Чёрное — кварц. Глубина 80 м, $\times 100$, б — мелкозернистая структура и пластичная состоящее из сросшихся зерен теллурсодержащего кан菲尔дита (темно-серое), теллурсодержащего сульфоантимонита серебра (серое) и гессита (светло-серое). Глубина 80 м, $\times 600$.



Фото 3. Включение в галените (белое), состоящее из гессита (серовато-белое с черными точками и полосами) и пластинок теллурсодержащего сульфоантимонита серебра № 2 (светло-серые пластины). Глубина 100 м, $\times 1366$.

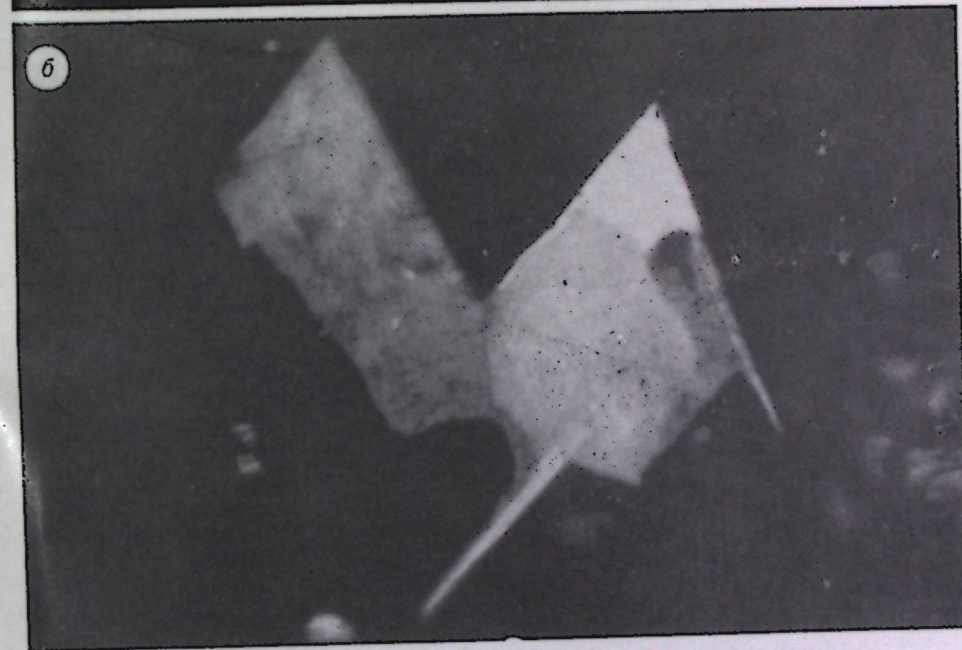
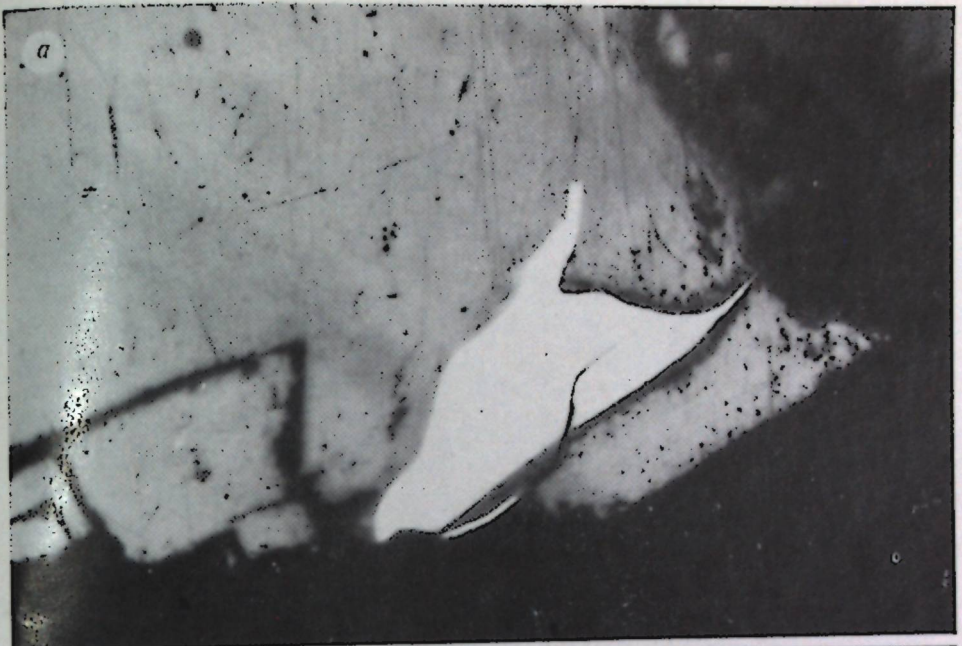


Фото 4.
а — алтант (белое) проникает по спайности в галенит (серебро-серое). Чёрное — края амелифа.
Глубина 391 м, $\times 1250$, б — алтант (белое) в срастании с галенитом (серебро) и гесситом (серое, грязное) в карбонате (чёрное). Глубина 80 м, $\times 1280$.



Фото 5.

a — аллотриоморфиозернистый агрегат буланикерита. Глубина 80 м, $\times 336$, *b* — зерна диопсигита (белое) ромбического сечения в карбонате (серое). Темно-серое с высоким рельефом — кварц. Глубина 80 м, $\times 323$.

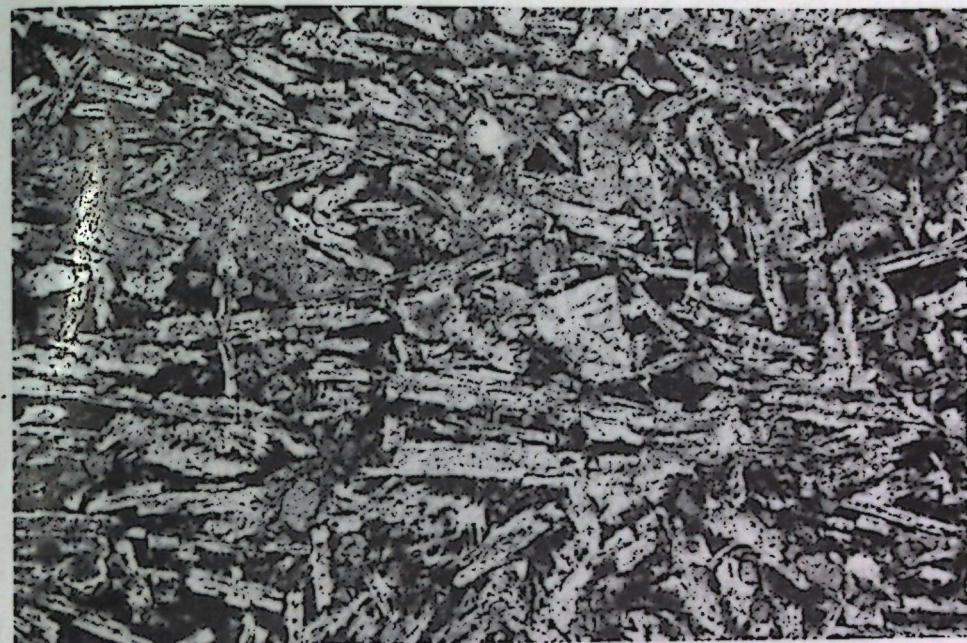


Фото 1. Диабазовый порфирит, II участок Терлигхайского месторождения. Линейная текстура течения. Видны параллельные ориентированные призматические листы плагиоклаза, интерстиции которых выполнены пироксеном, магнетитом и хлоритом. Шлиф 993 к, $\times 30$, без анализатора.



Фото 2. Диабазовый порфирит.

Порфировая структура. На фоне микрофитовой основной массы выступают вкрапленники плагиоклаза и клинопироксена, обтекаемые листами плагиоклаза, входящими в состав основной массы. Шлиф 993 д, $\times 30$, без анализатора.



Фото 3. Диабазовый порфирит.

Микрофиличитовая структура. Видны неизмененные ойнокристаллы клинопироксена (темное) и плагиоклаза (светлое). Шлиф 993 д, $\times 30$, без анализатора.



Фото 4. Оливин-широксеновый диабазовый порфирит (эндоконтактовая фация). Порфировая структура. Вкрапленники плагиоклаза и оливина замещены вторичными продуктами. Шлиф 998а, $\times 70$, николи +.

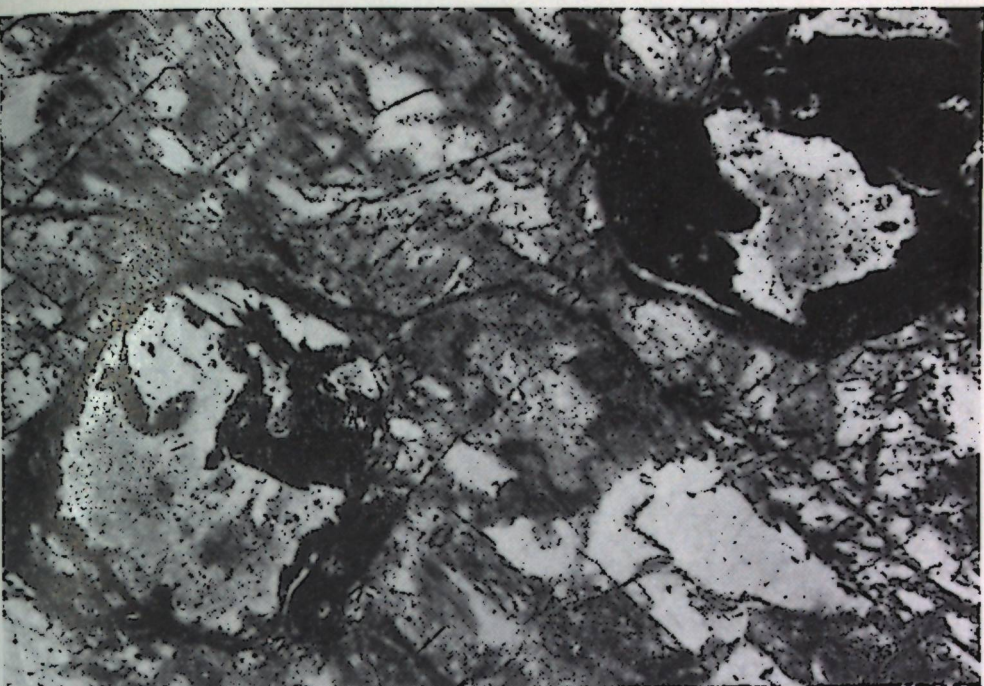


Фото 5. Крупнолейстовий оливин-широксеновый диабазовый порфирит, VI участок.

Вкрапленники основного плагиоклаза и идиоморфные по отношению к нему зерна оливина со склерозированными ребрами. Оливин заменен карбонатом (светлое, в центре) и магнетитом (черное, по трещинам и по периферии). Шлиф 998 в, $\times 70$, без анализатора.



Фото 6. Пироксеновый габбро-диабаз. Призматическая и ойтовая структуры. Видны удлиненные призмы клиноциркона, иногда более идиоморфные по отношению к плагиоклазу. Шлиф 992 ж, $\times 30$, без анализатора.



Фото 7. Плагиоклазовый микродолерит. Вкрапленники плагиоклаза на фоне микродолеритовой и микрофитовой основной массы.



Фото 8. Мелкозернистый долерит. Офитовая и микродолеритовая структуры. Видны изометрические зерна клиноцироксена, обладающие одинаковой или большей степенью идиоморфизма по отношению к плагиоклазу.

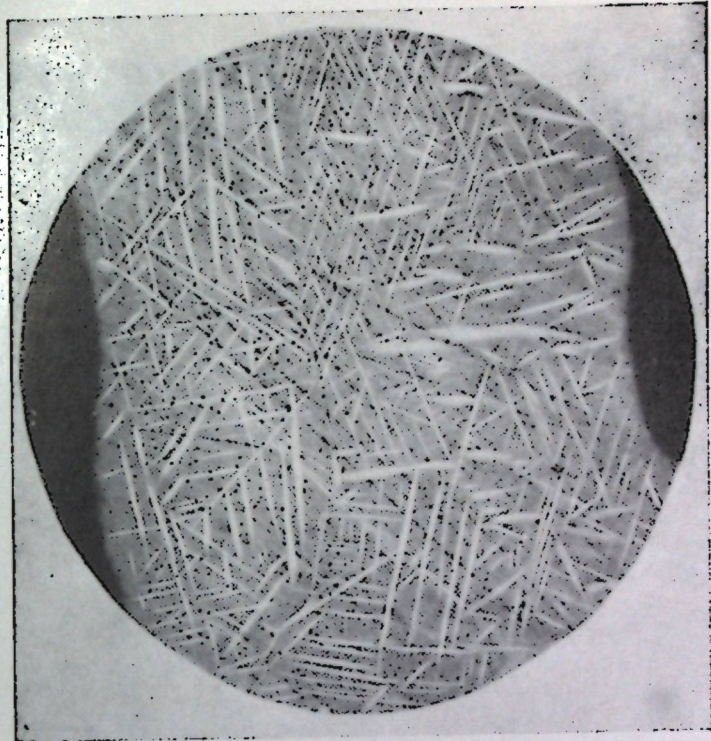


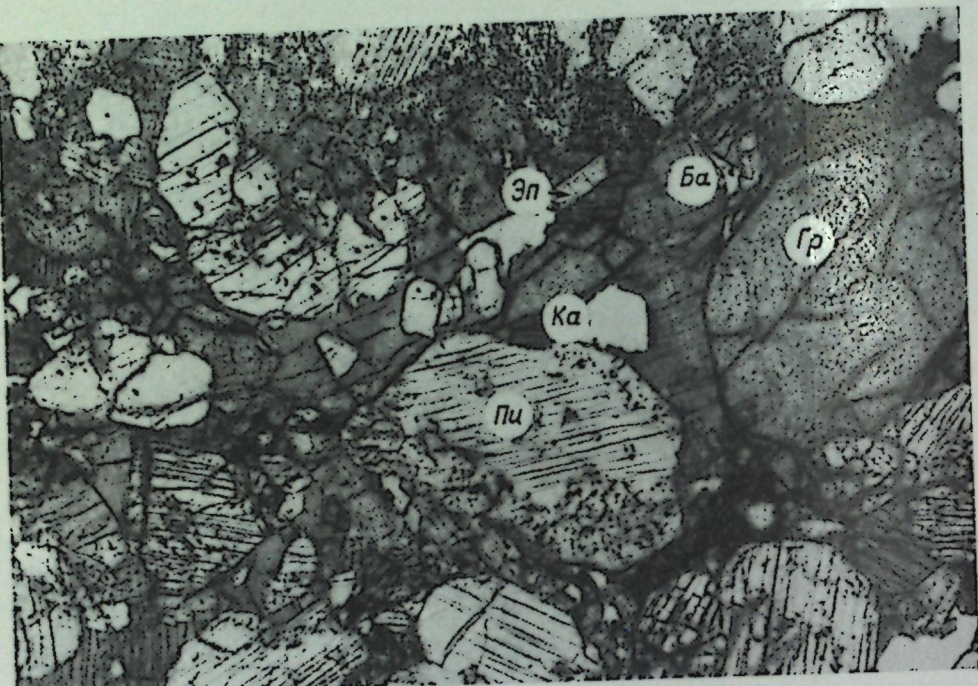
Фото 1. Структура распада твердого раствора мышьяка и меди; серое — витисит (8% As); светлые пластинчатые вростки — альгодонит. Анишлиф, $\times 150$.



Фото 2. Выделения мышьяковистой меди в кварце в ассоциации с колломорфным гематитом. Анишлиф, $\times 100$.

К статье М. П. Мазурова, М. М. Федосеевой

«ТЕМПЕРАТУРЫ КРИСТАЛЛИЗАЦИИ БАБИНГОНИТА И ИЛЬВАИТА...»



Бабингтонит (Ба), эпидот (Эп) и кальцит (Ка) в интерстициях граната (Гр) и цироксена (Пи). В центре рисунка хорошо заметно замещение цироксена бабингтонитом.
Обр. 242/456, $\times 60$.

К статье Ю. И. Маликова, И. И. Маликовой и др.

«АКЦЕССОРНЫЕ МАГНЕТИТЫ...»

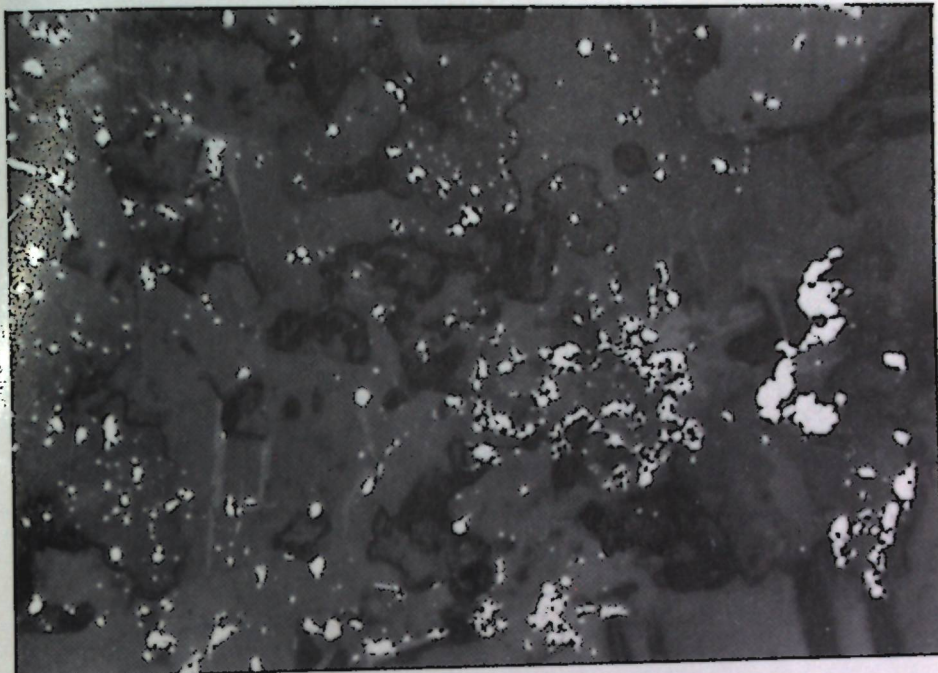


Фото 1. Неправильно распределенный точковершинный магнетит в биотит-рогово-обманково-излевощатовом роговике. Таштагольское месторождение. Полированный шлиф, $\times 350$.



Фото 2. Магнетит (белое) с тончайшей сеткой пирофилита по его октаэдрической отдельности. Более светлые и с заметным рельефом пластинки — гематит. В средней части снимка более крупные пластиники (темно- и светло-серые за счет двутрассения) ильменита. Иммерсия, $\times 3000$.

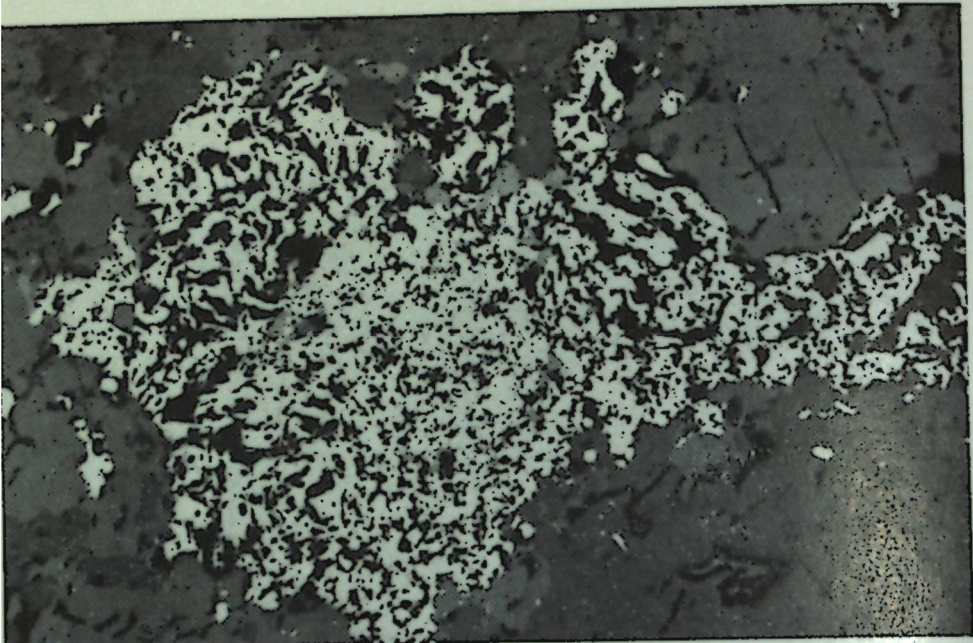


Фото 3. Перекристаллизация крупиозернистого магнетита в мелкозернистый агрегат. Сиенит. Прозрачный полированный шлиф, $\times 100$.

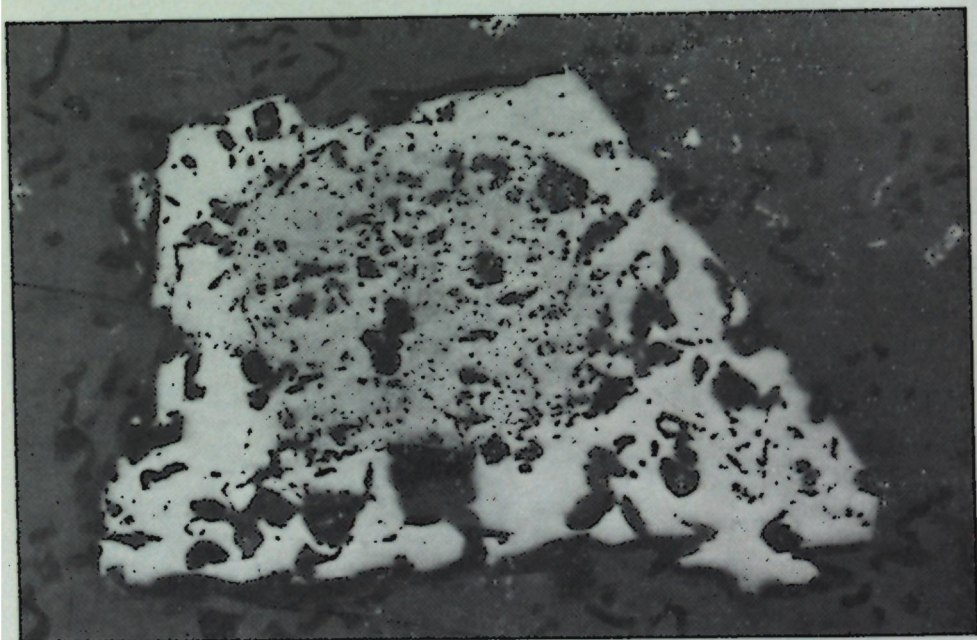


Фото 4. Кайма новообразованного магнетита вокруг более раннего зерна с большим количеством мелких включений нерудных минералов. Сиенит. Таитагольское месторождение. Прозрачный полированный шлиф, $\times 360$.



Фото 5. Магнетит второй генерации, проросший ильменитом (ветлые на стыках через все зерно). Сиенит; гора Шерегешева. Полированный шлиф, $\times 810$, николи +.

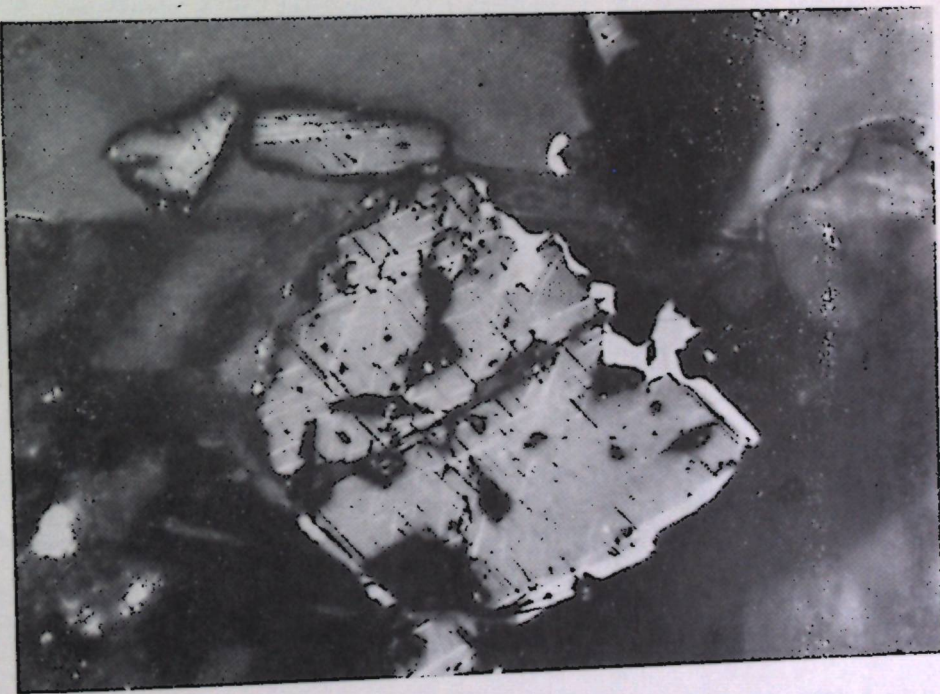


Фото 6. Тонкая решетка распада твердого раствора ильменита в магнетите. Вокруг зерна магнетита кайма ильменита. Гранит, гора Критикал. Полированный шлиф, $\times 330$, николи +.

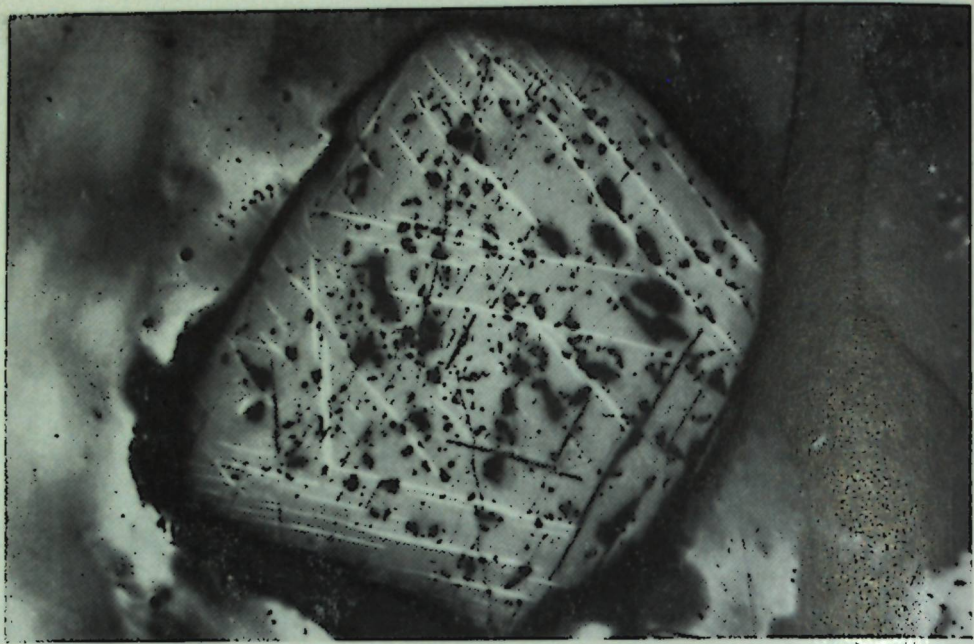


Фото 7. Грубая решетка распада твердого раствора ильменита в магнетите. Гранит. Сарлыкский массив. Полированный шлиф, $\times 150$, николи +.



Фото 8. Магнетит (светло-серая масса) с субмикроскопическими выделениями алюминиевой шпинели (темные). Мелкие белые включения не определены. Шерегешевское месторождение. Главное рудное тело. Полированный шлиф, $\times 3000$. Иммерсия.

Ю. Г. Щербакова. Систематика месторождений золота	4
Н. В. Рослякова, И. Е. Радостева, Л. Н. Поспелова, А. Д. Киреев, Д. Л. Шипилов. Золото-серебряная минерализация в нижнепалеозойском комплексе Кузнецкого Алатау	12
В. Г. Петров. Золото и органическое вещество в осадочно-метаморфических толщах Енисейского кряжа	21
В. А. Злобин, Л. В. Вьюшкова. Геохимическая характеристика терригенных пород, вмещающих рудную минерализацию на Енисейском кряже и в Ленском районе	34
Н. А. Росляков, Ф. В. Сухоруков, Б. Л. Щербаков, Р. Д. Мельникова, В. Г. Цимбалист, Н. А. Яковleva. Золото в древних корах выветривания каолинового типа	46
В. Г. Кулебакин, Н. А. Росляков, В. С. Цимбалист, Р. Д. Мельникова, Л. А. Непеина. О роли тионовых бактерий в гипертгенной миграции и концентрации золота	75
Г. В. Нестеренко. О способах концентрации золота в россыпях	86
Г. В. Нестеренко, А. И. Дмитриев, А. А. Бишаев, Т. И. Штатнова. Генетический анализ золотоносных россыпей с помощью математических средств	100
А. П. Берзина, В. И. Сотников, В. И. Королюк. Сравнительный анализ состава биотитов и хлоритов медно-молибденовых месторождений Сибири и Средней Азии	114
Е. И. Никитина, В. И. Сотников, Л. Н. Поспелова. Состав магнетита из пород Шахтаминского молибденового месторождения в связи с его генезисом	121
В. В. Потапьев, В. О. Поляков, Е. П. Щербакова. Кассiterиты из минерализованных куполов Чалбинского plutона (Якутская АССР)	127
Я. А. Косале, Г. М. Рылов. Зависимость геохимических особенностей бериллов от состава вмещающих пород	134
Ф. В. Сухоруков, Б. Л. Щербаков. Бор в гидротермально измененных породах некоторых районов активного вулканизма	153
Л. А. Мигалева. Разновозрастные дайки основных пород и ртутное оруденение Центральной Тувы	158
В. И. Синяков. Мыньяковистая медь и альгидонит из железорудных месторождений Горной Шории	178
И. И. Маликова, Л. В. Альбин. Основные геохимические тенденции развития Кондомской металлогенической зоны (Горная Шория)	182
М. Н. Мазуров, М. М. Федосеева. Температуры кристаллизации бабиниттоита и пльвайита в железоносных известковых скарнах	199
Ю. И. Маликов, И. И. Маликова, Л. Н. Поспелова. Аксессорные магнетиты Кондомского района (Горная Шория)	203

УДК 550.42

Систематика месторождений золота. Щербаков Ю. Г. Минералогия и геохимия рудных месторождений Сибири. Новосибирск, «Наука», 1977, с. 4—12.

Известные золоторудные и золотосодержащие формации рассмотрены в статье по признакам и определенным типам земной коры, отвечающим последовательным уровням геохимического развития.

Приведены характеристики выделенных рудных формаций, условий их образования в зависимости от состава вмещающих пород и масштабов перераспределения металлов в рудообразующих процессах. Библ. 5.

УДК 546.59+553.411(412)+549.2(3).

Золото-серебряная минерализация в нижнепалеозойском комплексе Кузнецкого Алатау. Ростякова И. В., Радостева Н. Е., Пониселова И. И., Киреев А. Д., Шинилов Л. Д. Минералогия и геохимия рудных месторождений Сибири. Новосибирск, «Наука», 1977, с. 12—20.

Статья посвящена рассмотрению золото-серебряной минерализации в породах нижнепалеозойского возраста. Особое внимание уделено характеристике золота и минералов серебра, теллура, висмута, сурьмы и олова. Приведены результаты базирующиеся на современных методах исследования: микрозондирование, термометрия, микроспектральном, нейтронно-активационном и изотопном анализах. Илл. 1, фото 5, библ. 16.

УДК 553.411+553.983(571.51)

Золото и органическое вещество в осадочно-метаморфических толщах докембрия Енисейского кряжа. Петров В. Г. Минералогия и геохимия рудных месторождений Сибири. Новосибирск, «Наука», 1977, с. 21—34.

Рассмотрено распределение органического вещества и золота в докембрийских отложениях Енисейского кряжа. Выделено четыре уровня повышенного накопления органического вещества и хемогенного золота, соответствующих панимбинской, ударейской, потоскайской и шунтарской свитам опорного разреза докембрия региона. Установлено, что главная масса золота входит в состав битумоидной части пород этих свит. Илл. 2, библ. 45.

УДК 550.42+553.42

Геохимическая характеристика терригенных пород, вмещающих рудную минерализацию на Енисейском кряже и в Ленском районе. Зобин В. А., Вьюиков Л. В. Минералогия и геохимия рудных месторождений Сибири. Новосибирск, «Наука», 1977, с. 34—45.

Приведена сравнительная геохимическая характеристика терригенных толщ, вмещающих золоторудную, золото-сульфидную, колчеданную, колчеданно-полиметаллическую и медную минерализации. Разновидности руды приурочены к черным углеродистым сланцам и серовитым отложениям, обогащенным на клярковом уровне ураном. Установлены различия геохимических особенностей пород, вмещающих разные типы руд, и геохимические особенности рудоносных пород в Ленском районе и Енисейском кряже. Показано, что формирование золотой и золото-сульфидной оруденения происходит в результате гидротермально-метасоматического процесса, типоморфными элементами для которого служат калий, мышьяк, висмут и сурьма. На основе гамма-спектрометрического, спектрального и спектрохимического анализа на золото приведены геохимические и геофизические индикаторы различного типа руд. Илл. 7, библ. 6.

УДК 550.4:546.59:622.791

Золото в древних корах выветривания каолинового типа. Ростякова И. А., Сухоруков Ф. В., Щербаков Б. Л., Мельникова Р. Д., Цибаттог В. Г., Яковлев И. А. Минералогия и геохимия рудных месторождений Сибири. Новосибирск, «Наука», 1977 с. 46—75.

На основе использования нейтронно-активационного и спектрохимического методов определения рассматриваются распределение и формы нахождения золота в древних корах выветривания Сибири, Казахстана, Средней Азии и Украины. Установлены общие закономерности перераспределения золота при выветривании кислых, основных и метаморфических пород. При выветривании пород с клярковыми содержаниями золота коэффициент его концентрации в профилях выветривания не превышает 10. Современные процессы выветривания существенно влияют на распределение золота в древних корах. Илл. 6, библ. 49.

МИНЕРАЛОГИЯ И ГЕОХИМИЯ РУДНЫХ МЕСТОРОЖДЕНИЙ СИБИРИ

Ответственные редакторы

Юрий Гаврилович Щербаков, Виталий Иванович Сотников

Редакторы Л. И. Замуло, Е. Г. Макеенко

Художественный редактор М. Ф. Глазырина

Художник Н. А. Савельева

Технический редактор Н. М. Бурлаченко

Корректоры А. С. Матушевская, Н. В. Кузнецова

Сдано в набор 21 сентября 1976 г. Подписано к печати 12 мая 1977 г. МН 00409. Формат 70 × 108^{1/16}. Бумага типографская № 1. 13,5 печ. л.+1,5 печ. л. на мел. бум. 21 усл. печ. л. +1 вкл. 22,4 уч.-изд. л. Тираж 1100 экз. Заказ № 265. Цена 2 р. 24 к.

Издательство «Наука», Сибирское отделение. 630099, Новосибирск, 99, Советская, 18. 4-я типография издательства «Наука». 630077, Новосибирск, 77, Станиславского, 25.

УДК 550.4+553.41

О роли тионовых бактерий в гипергениной миграции и концентрации золота. Кулебакин В. Г., Родников И. А., Чимбалист В. Г., Мельникова Р. Д. и Непешина Л. А. Минералогия и геохимия рудных месторождений Сибири. Новосибирск, «Наука», 1977, с. 75—86.

Проведены эксперименты по выщелачиванию золота из сульфидов и руд растворами, содержащими бактерии *Thiobacillus ferrooxidans*. В фильтратах и их осадках золото анализировалось нейтронно-активационным и спектрохимическим методами. Наряду с золотом определялись медь, свинец, цинк и другие компоненты руд. Установлено, что растворы с *Thiobacillus ferrooxidans* способствуют нахождению золота в остаточных продуктах окисления сульфидов, тогда как медь, свинец и цинк в присутствии бактерий переходит в раствор. Ряд устойчивости сульфидов к бактериальному выщелачиванию аналогичен ряду при их электрохимическом растворении. Илл. 2, библ. 16.

УДК 553.411.3

О способах концентрации золота в россыпях. Нестеренко Г. В. Минералогия и геохимия рудных месторождений Сибири. Новосибирск, «Наука», 1977, с. 86—100.

Разбираются два принципиально разных способа концентрации золота в аллювиальных и прибрежно-морских отложениях: гравитационного остаточного (и отстающего), обогащения и плиновой косовой концентрации. В основе этих способов лежит очень низкая подвижность в водной среде крупного самородного золота и высокая — тонкого косового металла. Илл. 6, библ. 31.

УДК 519.95:553.411.3(571.55)

Генетический анализ золотоносных россыпей с помощью математических методов. Нестеренко Г. В., Дмитриев А. Н., Бицава А. А., Штатинова Т. И. Минералогия и геохимия рудных месторождений Сибири. Новосибирск, «Наука», 1977, с. 100—114.

Излагаются результаты сравнительного изучения 28 россыпей и россыпных проявлений трех золотоносных узлов одного из районов с помощью логико-дискретного анализа. На основе определения возможности с помощью отдельных геологических признаков и их групп различия россыпи и россыпные проявления делается вывод об их генетическом и диагностическом значении. Приведены упорядоченные по этим свойствам ряды признаков. Илл. 4, библ. 4.

УДК 553.462:553.43+549.623

Сравнительный анализ состава биотитов и хлоритов медно-молибденовых месторождений Сибири и Средней Азии. Берзина А. И., Сотников В. И., Королько В. И. Минералогия и геохимия рудных месторождений Сибири. Новосибирск, «Наука», 1977, с. 114—121.

По результатам рентгеноспектрального анализа выявляется специфика состава биотитов интрузивных пород и метасоматитов из медно-молибденовых месторождений различных районов Сибири и Средней Азии. Анализируются особенности состава образующихся по биотиту хлоритов. Сравнительный анализ состава биотитов и хлоритов свидетельствует о вы свобождении в процессе хлоритизации ряда элементов (калий, фтор, хлор, титан и др.), которые могут оказать существенное влияние на состав минералообразующих растворов. Илл. 1, библ. 9.

УДК 553.462:549.5

Состав магнетита из пород Шахтаминского молибденового месторождения в связи с его генезисом. Никитин Е. И., Сотников В. И., Попов Е. А. и Л. И. Минералогия и геохимия рудных месторождений Сибири. Новосибирск, «Наука», 1977, с. 121—126.

На рентгеноспектральном микроанализаторе исследован состав магнетита из пород субвуликанического рудоносного комплекса, имеющих их шахтаминских гранитоидов, дисплазиевых брекций и окологлыбинных метасоматитов Шахтаминского молибденового комплекса. Приводятся количественные спектральные определения никеля, кобальта, меди и молибдена в магнетитах. Состав магнетитов анализируется в связи с решением вопросов генезиса месторождения. Библ. 10.

УДК 549.51+552.322

Кассiterиты из минерализованных куполов Чалбинского plutона (Якутская АССР). Потапьев В. В., Поляков В. О., Щербакова Е. И. Минералогия и геохимия рудных месторождений Сибири. Новосибирск, «Наука», 1977, с. 127—134.

Кассiterиты в рудопроявлениях Чалбинского plutона приурочены к куполам разного порядка и характеризуются типоморфными особенностями. Выявлено, что в интервале температур кристаллизации 380—330°С на габбитус кристаллов кассiterита существенно влияет состав рудоносных растворов; форма существования в растворе олова и концентрации примесей, в частности tantalа и ниобия. Делается вывод, что различного порядка куполы plutона, функционируя одновременно, контролировали и выделяли специфические по составу рудоносные растворы. Илл. 3, библ. 15.

УДК 550.4

Зависимость геохимических особенностей бериллов от состава вмещающих пород. Косале Я. А., Рылов Г. М. Минералогия и геохимия рудных месторождений Сибири. Новосибирск, «Наука», 1977, с. 134—153.

На основе обобщения литературных и оригинальных данных по химическому составу 186 образцов бериллов различных генетических типов рассмотрено влияние состава вмещающих пород на состав и структуру бериллов. Показаны закономерности образования основных и переходных структурных типов (n-, l-, o-, ol-, lo-бериллов), отражающих два основных типа изоморфных замещения: $\text{Be}^{2+} \rightarrow \text{Li}^{+}(\text{R}^{+} + \text{H}_2\text{O})$ и $\text{Al}^{3+} \rightarrow \text{Me}^{3+} + (\text{R}^{+} + \text{H}_2\text{O})$ или $\text{Al}^{3+} \rightarrow \text{Me}^{3+}$ в зависимости от состава вмещающих пород и эволюции физико-химических условий минералообразования. Предложены некоторые возможные вариации изоморфных замещений и физико-химические факторы, вызывающие изменение геохимических и структурных особенностей бериллов. Илл. 5, библ. 37.

УДК 550.4:546.27

Бор в гидротермально измененных породах некоторых районов активного вулканизма. Сухоруков Ф. В., Щербаков Б. И. Минералогия и геохимия рудных месторождений Сибири. Новосибирск, «Наука», 1977, с. 153—158.

Изучено распределение бора в исходных и гидротермально измененных породах некоторых районов Камчатки и о. Парамушир с целью выяснения источников бора в термальных водах областей современного вулканизма. Выделены различные типы гидротермально измененных пород. Начальные стадии воздействия термальных вод на породы характеризуются перераспределением и некоторым нахождением бора в глинистой составляющей измененных пород (калинит, гидрослюдя, монтмориллонит). Дальнейшие изменения приводят к резкому выносу бора из пород.

Бор поступает в гидротермы, видимо, не только из вмещающих пород, но и в составе ювелирных или морских вод, которые могут принимать участие в формировании этих гидротерм. Библ. 19.

УДК 552.11+553.2

Разновозрастные дайки основных пород и ртутное оруденение Центральной Туры. Михайлова Л. А. Минералогия и геохимия рудных месторождений Сибири. Новосибирск, «Наука», 1977, с. 158—178.

В статье приводятся данные о возрасте и составе основных дайковых пород Центральной Туры, позволяющие выделить три разновозрастные группы. Установлен нижний возрастной предел ртутного оруденения, который не древнее верхнего девона — нижнего карбона, что противоречит представлению о связи ртутного оруденения с нижне-среднедевонским вулканализмом. Фото 8, библ. 9.

УДК 549.281+553.271

Мышьяковистая медь и альгодонит из железорудных месторождений горной Шории. Синяков В. И. Минералогия и геохимия рудных месторождений Сибири, с. 178—182.

Редкие минералы — мышьяковистая медь и альгодонит — встречаются в кварцевых кисликах, секущих кварц-гематитовые руды Пыхтунского месторождения. Установлено, что они образовались в одну из последних стадий гидротермального процесса в температурном интервале 400—360°C. Выявлены корреляции оптических свойств (R), параметра ячейки и микротвердости мышьяковистой меди от содержания в ней мышьяка. Илл. 6, библ. 4.

УДК 550.4+552.11(571.1)

Основные геохимические тенденции в развитии Кондомской металлогенической зоны. М а л и к о в а И. И., А л а б и н Л. В. Минералогия и геохимия рудных месторождений Сибири. Новосибирск, «Наука», 1977, с. 182—199.

В статье рассматриваются геохимические особенности процесса палигенического образования сиенитов и гранитов в условиях Кондомской автогенотипической зоны. Показано, что палигенизм возможен только с привносом кремния и щелочей и сопровождается выносом Fe, Mg, Ca, Ti и ряда центробежных и минимально-центробежных элементов-примесей, что обуславливает сидерофильный, халькофильный и другой характер металлогенической специализации района. Ил. 1, табл. 5, библ. 47.

УДК 548.4:549.6

Температура кристаллизации бабингтонита и ильванита в железоносных известковых скарнах. М а з у р о в М. П., Ф е д о с е е в а М. М. Минералогия и геохимия рудных месторождений Сибири. Новосибирск, «Наука», 1977, с. 199—203.

Выполнено минералотермометрическое исследование бабингтонита, ильванита и ассоциирующихся с ними минералов из железоносных известковых скарнов. Ирбинских магнетитовых месторождений Восточного Саяна. Показано, что пироксен-гранатовые скарны образованы в интервале 540—760°, бабингтонит-эпидотовая ассоциация — при 450—480°С, бабингтонит-пренит-кальцитовая — 360—450°С, а кварц-ильванитовая — 360—420°С. Интервал декристаллизации ильванита 330—510°С, максимальный эффект — при 420°С. Бабингтонит устойчив вместе с магнетитом и гранатом, а ильванит находится в реакционных соотношениях с широксеном, гранатом, магнетитом, пирротином, гастингситом. Поле устойчивости ильванита смешено в более низкотемпературную область относительно поля бабингтонита. Илл. 1, библ. 10.

УДК 550.4+553.311+543.422.8(571.1)

Аксессорные магнетиты Кондомского района (Горная Шория). М а л и к о в Ю. И., М а л и к о в а И. И., П о с и л о в а Л. И. Минералогия и геохимия рудных месторождений Сибири. Новосибирск, «Наука», 1977, с. 203—214.

Рассматриваются особенности аксессорных магнетитов в породах Кондомского района в процессе формирования сиенитов и гранитов. Используются данные электронного микрозондирования для характеристики содержания в них элементов-примесей, сравнения с рудными магнетитами, рассмотрения формы их вхождения в магнетит. Обсуждаются методические вопросы применения электронного микрозондирования для анализа природных магнетитов, в том числе и в связи с проблемой генезиса рудных месторождений. Табл. 5, библ. 31.

СИБИРСКОЕ ОТДЕЛЕНИЕ ИЗДАТЕЛЬСТВА «НАУКА»

готовит к выпуску следующие книги.

Петрология и метаморфизм древних офиолитов (на примере Полярного Урала и Западного Саяна)

Зятькова Л. К. Структурная геоморфология Алтае-Саянской горной области

Геология и генезис ртутных месторождений Алтае-Саянской области

Ушаков Г. Д. Аппаратура и методы изучения деформаций горных пород

Докембрий континентов. Основные черты тектоники

Проблемы дифференциации вещества в магматических и рудообразующих процессах

Николаева И. В. Минералы группы глауконита в осадочных формациях

Роль рифтогенеза в геологической истории Земли

Вопросы генезиса стратiformных свинцово-цинковых месторождений Сибири

Феоктистов Г. Д. Петрология и условия формирования трапповых силлов

Книги высыпаются наложенным платежом. Заказы направляйте по адресу: 630090, Новосибирск, 90, Морской проспект, 22. Магазин «Наука».

Для получения книг и журналов почтой заказы просим направлять по адресу: 117464 Москва, В-464, Мичуринский проспект, 12, магазин «Книга — почтой» Центральной конторы «Академкнига», 197110, Ленинград, П-110, Петрозаводская ул., 7, магазин «Книга — почтой» Северо-Западной конторы «Академкнига» или в ближайший магазин «Академкнига».

Адреса магазинов «Академкнига»

- 480391, Алма-Ата, 91, ул. Фурманова, 91/97
370005, Баку, 5, ул. Джапаридзе, 13
320005, Днепропетровск, 5, проспект Гагарина, 24
734001, Душанбе, 1, проспект Ленина, 95
664033, Иркутск, 33, ул. Лермонтова, 303
252030, Киев, 30, ул. Ленина, 42
277012, Кишинев, 12, ул. Пушкина, 31
443002, Куйбышев, 2, проспект Ленина, 2
192104, Ленинград, Д-120, Литейный проспект, 57
199164, Ленинград, Менделеевская линия, 1
199004, Ленинград, 9-я линия, 16
103009, Москва, ул. Горького, 8
117312, Москва, ул. Вавилова, 55/7
630076, Новосибирск, 76, Красный проспект, 51
630090, Новосибирск, 90, Морской проспект, 22
620151, Свердловск, 151, ул. Мамина-Сибиряка, 137
700029, Ташкент, Л-29, ул. Ленина, 73
700100, Ташкент, ул. Шота Руставели, 43
634050, Томск, 50, Набережная реки Ушайки, 18
450075, Уфа, 75, ул. Коммунистическая, 49
450075, Уфа, 75, проспект Октября, 129
720001, Фрунзе, 1, бульвар Дзержинского, 42
310003, Харьков, 3, Уфимский пер., 4/6.